

AQUISICAO DE DADOS EM EXPERIENCIAS DE RPE
USANDO MINICOMPUTADOR DE TEMPO REAL

Roberto Alves Nogueira

Tese apresentada à Universidade Federal de Minas Gerais como
requisito parcial para a obtenção do grau de Doutor em Ciências

Junho/90

Agradecimentos

- ao Prof. Geraldo Mathias, pela orientação.
- aos Profs. Manoel, Fábio, Ramayana e Geraldo Alexandre pelas inúmeras discussões e constante incentivo ao nosso trabalho.
- aos Profs. Sampaio, Maria Sylvia, Elmo, Paulo Sérgio e aos estudantes de pós-graduação Alvaro, Carlos Joel, Genivaldo e Rosana, pela indispensável colaboração no laboratório.
- aos Engs. José Geraldo e Gilberto, pelo bom funcionamento da eletrônica e ao Cleber, pelos desenhos.
- à Nelci, pela xerografia, e à Tia Maria pelo reconfortante cafezinho do início da noite.
- às agências FINEP, CNPq, AIEA e FAPEMIG pelo apoio financeiro que permitiu a aquisição e manutenção de vários dos equipamentos usados neste trabalho.
- à minha família, Maria Helena, Daphne e Nano, pelo carinho e compreensão.

Abstract

In this work we developed two real-time data acquisition computer systems, for data acquisition in Electron Paramagnetic Resonance Experiments. In both, a high degree of freedom was kept in the measuring instruments configuration and programming, with the aim of making easy a future reassignment to other experimental technics to be installed in the laboratory.

One of the systems is an improved version of the so called Passive Monitoring System and was built in such a way that it can be used in conjunction with the normal operation mode of the spectrometer. The other system incorporates, in addition to the data acquisition facilities, an step motor based gear to drive the sweep of the magnetic field.

Furthermore, a large program was also developed to facilitate the processing of the spectra and their transportation to other computers.

Índice

	PAGINA
INTRODUÇÃO	1
CAPITULO 1: AQUISIÇÃO DE DADOS E COMPUTAÇÃO EM TEMPO REAL	
Aquisição de Dados	7
O Teorema da Amostragem	9
O Fenômeno de "Aliasing"	11
Fontes de Ruídos	13
Redução de Ruídos: "Signal Averaging"	14
Redução de Ruídos: Filtros Digitais	17
Computação em Tempo Real	25
CAPITULO 2: SMAP - SISTEMA MELHORADO DE AQUISIÇÃO PASSIVA	
O Método da Aquisição Passiva	32
O Sistema Melhorado de Aquisição Passiva	35
Recursos Adicionais do SMAP	64
Aplicações e Resultados	75
Resultados do SMAP	76
CAPITULO 3: SMOP - SISTEMA DO MOTOR DE PASSO	
Introdução	91
O Sistema do Motor de Passo	92
O Bloco Motor de Passo / Helipot	97
O Registro dos Espectros	113
Recursos Adicionais do SMOP	117
Aplicações e Resultados	120
Resultados Adicionais	134
CAPITULO 4: CONCLUSOES	
Conclusões	141
BIBLIOGRAFIA.....	144

APENDICES :

APENDICE 1: O Programa MASPE

APENDICE 2: O Programa SMAP

APENDICE 3: O Programa SMOP

APENDICE 4: O Computador HP 1000

APENDICE 5: Outros Programas do Sistema

Introdução

O advento do uso dos computadores nos laboratórios de pesquisa tem contribuído de maneira sensível para a realização de avanços científicos consideráveis e, na maioria das áreas do conhecimento, tornou-se praticamente impossível manter a competitividade de um laboratório que não tenha acesso aos modernos recursos computacionais.

No caso específico da Física, o uso dos computadores data da época da criação destas máquinas e os físicos teóricos têm estado, desde então, entre os grandes usuários desses recursos. Já para os físicos experimentais, até bem pouco tempo, o uso do computador em suas atividades limitava-se, quase que exclusivamente, ao ajuste dos dados obtidos no laboratório e introduzidos no computador por meio de cartões ou fitas de papel.

A partir do início da década de 70, abriram-se novas perspectivas para o trabalho de laboratório pois, em virtude do aparecimento dos mini e micro computadores e dos chamados "instrumentos inteligentes", tornou-se viável a criação de novos sistemas de controle de experiências e aquisição de dados.

As pessoas que se envolveram inicialmente com esses sistemas enfrentaram uma série de dificuldades, decorrentes da falta de padronização nos mecanismos de interconexão dos primeiros equipa-

mentos desta nova geração. Essas dificuldades foram sensivelmente reduzidas a partir da standardização das interfaces GP-IB (General Purpose Interface Bus - norma IEEE/488), CAMAC, etc., que vieram permitir a ligação simultânea de vários instrumentos a uma única interface do computador de controle, com um protocolo de comunicação de uso simplificado e padronizado.

Dentro desse espírito de informatização, começaram a aparecer nessa mesma época os "sistemas computadorizados de laboratório", que normalmente trazem embutidos dispositivos de medida e controle, um computador dedicado e um sistema de interação com o usuário.

Por serem dedicados, estes sistemas permitem que suas operações sejam realizadas a um simples *apertar de botão*, o que os torna excelentes aquisições para os laboratórios onde se realizam trabalhos de rotina. Entretanto, para o pesquisador, que frequentemente necessita ajustar o seu equipamento às peculiaridades das suas experiências, eles apresentam várias limitações pois dificilmente podem ser usados em situações experimentais diferentes daquelas para as quais foram projetados. Além disso, os seus programas de controle não são divulgados e, em geral, a interligação de seus componentes é feita por meio de interfaces não padronizadas.

Como uma alternativa para esses sistemas, têm sido descritos na literatura^[1] os chamados "*Sistemas de Arquitetura Aberta*", que

são compostos por um computador, geralmente chamado de estação de trabalho, ao qual estão ligados, através de interfaces padronizadas, instrumentos de medição e controle.

A configuração destes sistemas é de total responsabilidade do usuário a quem cabe, não apenas a escolha da estação de trabalho e dos instrumentos, como também a preparação dos programas necessários para o seu funcionamento.

Embora possa ser uma operação demorada, a implantação de um Sistema de Arquitetura Aberta para a realização das tarefas computacionais de um laboratório traz várias vantagens, pois permite uma escolha mais criteriosa dos instrumentos e do computador utilizados. Além disto, ao desenvolver os programas, o pesquisador envolvido no trabalho torna-se apto a redirecionar o sistema para outras técnicas, já que passa a ter um conhecimento detalhado de todas as suas partes.

Neste trabalho, vamos apresentar dois sistemas de medição que montamos para aquisição de dados em experiências de Ressonância Paramagnética Eletrônica, adotando a metodologia da "arquitetura aberta" e usando como base um computador HP 1000 de tempo real, um espectrômetro de EPR montado no próprio laboratório a partir de um eletroímã Varian e vários instrumentos que serão mencionados oportunamente.

No capítulo I, vamos introduzir alguns conceitos básicos sobre técnicas e recursos que foram usados ao longo do nosso trabalho tais como aquisição de dados, redução de ruídos, computação em tempo real, filtros digitais, etc.

No capítulo II, vamos descrever o Sistema Melhorado de Aquisição Passiva, que apesar de ser bem simples e não precisar de mudanças no espectrômetro, possui características que o destacam de sistemas semelhantes, descritos na literatura. A idéia central desse sistema é o redirecionamento dos sinais de ressonância e de intensidade do campo, do registrador X-Y para um conversor analógico-digital ligado ao computador. A aquisição dos dados é feita em tempo real, através de rotinas do HP 1000, mas sob o controle de uma base de tempo externa. O uso do DMA (Acesso Direto à Memória) e de outros recursos do sistema operacional permite que o computador continue disponível para a execução de outras tarefas, mesmo durante a aquisição dos dados de EPR.

No capítulo III, vamos descrever o Sistema do Motor de Passo que é um sistema mais complexo, onde o computador é responsável não somente pela aquisição dos dados, mas também pelo controle da evolução da varredura do campo magnético. Neste caso, a idéia central é a substituição do mecanismo original da varredura por um sistema externo, movido por um motor de passo, cujo comando é feito pelo computador. Graças a esse sistema de varredura, o campo magnético pode ser mantido fixo em um ponto qualquer, possibilitando a realização de várias medições do sinal de ressonância

naquele ponto. Estas medidas podem então ser submetidas a um processamento matemático adequado, tal como o cálculo de médias, filtragem digital, etc. Todo o processo é executado sob o controle do sistema operacional de tempo real e por isso, também nesse caso, o computador continua disponível para outras atividades durante a aquisição dos dados.

No capítulo IV, vamos comentar os resultados obtidos, juntamente com as nossas conclusões finais.

As descrições dos programas de computador, foram agrupadas nos apêndices 1, 2 e 3, com o intuito de facilitar a leitura desse trabalho. Nesses apêndices se encontram comentários sobre o desenvolvimento, o uso e as aplicações dos mesmos.

No apêndice 1, descrevemos o programa MASPE, desenvolvido especialmente para agilizar o processamento dos espectros obtidos com os sistemas dos capítulos II e III e facilitar o transporte dos dados para outros programas instalados no HP1000, no IBM 4341 ou em qualquer outro computador que disponha de fita magnética de 1600 BPI.

Nos apêndices 2 e 3, descrevemos os programas SNAP e SMOP que controlam o Sistema Melhorado de Aquisição Passiva e o Sistema do Motor de Passo, respectivamente.

No apêndice 4, apresentamos uma breve descrição do computador HP 1000. E finalmente, no apêndice 5, apresentamos comentários sobre outros programas de interesse.

As listagens e os manuais de operação dos programas foram agrupadas em volume à parte, em virtude de suas extensões, e são mantidos à disposição dos interessados.

Ao desenvolver este trabalho, foram dois os objetivos que procuramos alcançar.

O primeiro foi o de trazer para o Laboratório de Ressonância mecanismos modernos de aquisição de dados, através de sistemas flexíveis que permitam, inclusive, um redirecionamento para outras técnicas experimentais que venham a ser implantadas.

O segundo foi o de reunir em um só trabalho, uma série de informações pormenorizadas sobre programação em tempo real, interconexão de instrumentos, aquisição de dados, etc., pois estas informações encontram-se de uma maneira muito dispersa na literatura e raramente os autores apresentam listagens e exemplos concretos de uso dos programas citados em suas publicações.

Capítulo 1

Aquisição de Dados e Computação em Tempo Real

1.1 Aquisição de Dados

Sempre que surge a necessidade de se submeter os dados obtidos em uma experiência a um processamento computacional qualquer, a primeira providência que deve ser tomada é a conversão dos mesmos em uma forma que possa ser compreendida pelo computador. Uma das maneiras mais simples de se realizar tal conversão é a digitação dos dados através de um teclado ligado ao computador, o que é conveniente apenas para pequenos volumes de dados.

Nas situações em que se manipula um grande número de dados, a digitação torna-se totalmente inadequada, não só pelo tempo consumido no processo, como também pela possibilidade de introdução de erros. Para contornar essa dificuldade, a maioria dos instrumentos de medição e controle hoje existentes no mercado dispõe de um conector apropriado para ligação direta aos sistemas de computação. Através desta ligação, é possível então o estabelecimento de um canal de dados rápido e extremamente confiável entre o instrumento e o computador.

Em várias técnicas experimentais, os resultados são obtidos a partir de sinais analógicos que devem ser convertidos em sinais digitais para que possam ser processados pelo computador. Nos casos em que o computador se encontra ligado diretamente à fonte dos dados, essa conversão se processa através de um dispositivo intermediário, genericamente chamado de "conversor analógico para

digital" - ADC -, cuja função é receber o sinal analógico proveniente da experiência e colocá-lo em uma forma digital que possa ser submetida ao processamento.

Ao implementar essa função, o conversor estará então transformando o sinal analógico de entrada, digamos $s(t)$, em uma sequência de saída, $s(k)$, através de um processo que é chamado *amostragem do sinal*. Os elementos da sequência $s(k)$ são representações binárias dos valores do sinal $s(t)$ nos pontos k da variável independente t e têm uma precisão finita, determinada pelo número de bits usados na conversão. Na Fig. 1-1 representamos a situação em que um conversor de 8 níveis (3 bits), usado para amostrar o sinal $s(t)$, gera a sequência de saída $s(k)$ composta dos valores x_0, x_1, \dots, x_5 , amostrados nos instantes t_0, \dots, t_5 .

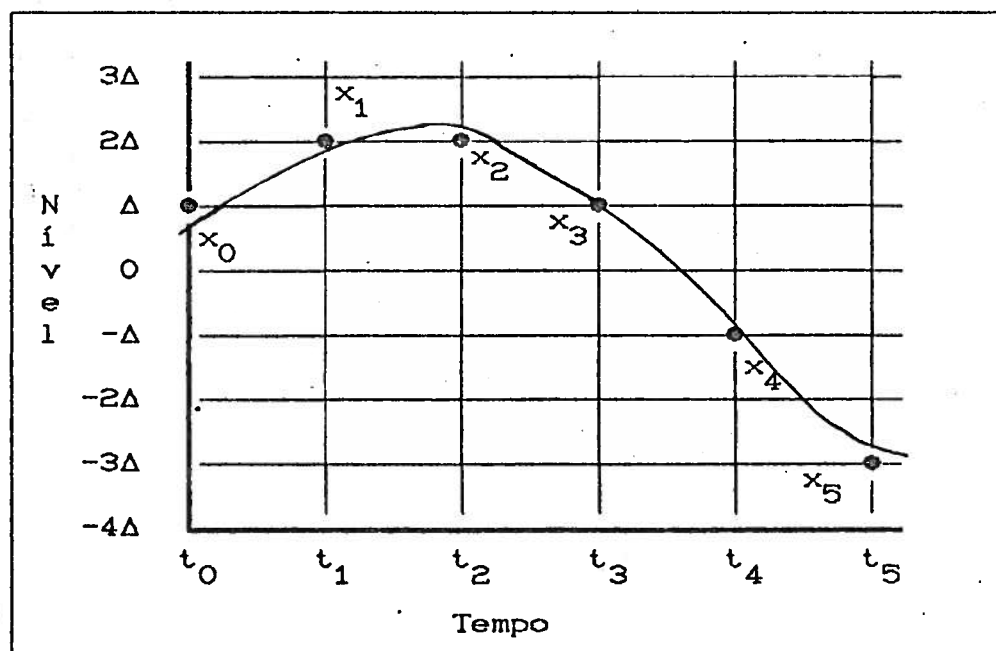


Fig. 1-1: Efeito de discretização em um processo de conversão analógico-digital com o uso de um ADC de 8 níveis (3 bits) com aproximação por arredondamento.

Essa precisão finita, que é inerente ao processo de conversão, acarreta uma discretização do sinal $s(t)$ e introduz nos dados amostrados o chamado "erro de discretização" definido por

$$\Delta s(k) = s(k) - s_q(k) \quad 1.1$$

onde $s_q(k)$ é o valor do sinal amostrado no instante $t = k$. Para um ADC de n bits, o bit menos significativo representa uma fração de $1/2^{n-1}$ de seu fim de escala de modo que os limites de $\Delta s(k)$ serão dados por

$$-\frac{b}{2} < \Delta s(k) < \frac{b}{2}, \text{ com } b = 2^{-n+1}$$

Para que esse erro de discretização não comprometa todo um programa de aquisição de dados, é necessário que ele seja suficientemente pequeno para ser ignorado face ao ruído presente no sinal.

1.2 O Teorema da Amostragem

Para produzir os elementos da sequência $s(k)$, o ADC executa uma série de amostragens do sinal $s(t)$ ao longo da variável independente t . Em cada uma dessas amostragens, a amplitude de $s(t)$ é discretizada e colocada em elementos sucessivos de $s(k)$. Na maioria das aplicações, a amostragem do sinal é feita com uma taxa fixa, fazendo assim com que os elementos de $s(k)$ representem valo-

res de $s(t)$, uniformemente espaçados ao longo da variável t . Desta forma, o k -ésimo elemento da sequência será dado por

$$s(k) = P\{ s(kT + t_0) \}$$

1.2

$$k = 0, 1, 2, \dots$$

onde T é o espaçamento e P é um operador que representa o processo de conversão analógico para digital.

Na amostragem do sinal $s(t)$, a escolha correta do espaçamento T , ou da taxa de aquisição, $1/T$, é da maior importância para a obtenção de bons resultados. Uma taxa muito pequena poderá causar a perda de detalhes de $s(t)$, enquanto que uma taxa muito grande não somente produzirá desnecessariamente uma sequência com muitos termos, como também necessitará de um ADC mais rápido, o que nem sempre é técnica e economicamente viável.

Pode-se mostrar que a taxa mínima de aquisição a ser usada na amostragem de um dado sinal $s(t)$, depende, essencialmente, das componentes de frequências do sinal e é determinada com o auxílio do Teorema da Amostragem[2], cujo enunciado é:

Um sinal contínuo, que não contenha componentes de frequência acima de f_m hertz, pode ser completamente determinado por seus valores amostrados em intervalos uniformes e de separação menor que $1/2f_m$ segundos.

A frequência indicada pelo Teorema da Amostragem é também chamada de "Frequência de Nyquist"[3].

1.3 O Fenômeno de "Aliasing"

O Teorema da Amostragem, embora nos indique a máxima frequência f_m que pode ser corretamente amostrada por um ADC, não nos dá nenhuma informação sobre o efeito que frequências maiores que f_m podem causar em $s(k)$. Pode-se mostrar[3] que tais frequências, se presentes no espectro de $s(t)$, aparecerão no espectro de $s(k)$ ocupando posições falsas, dando origem ao chamado efeito de "aliasing" ou "falseamento de amostragem".

Como consequência desse "falseamento", todas as frequências acima de f_m , presentes em $s(t)$, aparecem no espectro de $s(k)$ "rebatidas" no intervalo $[0, f_m]$. Em particular, as frequências $2f_m$, $4f_m$, ... aparecem em $f=0$, enquanto as frequências $3f_m$, $5f_m$, ... aparecem em $f=f_m$ conforme se vê no diagrama abaixo

0	f_m	$2f_m$	$3f_m$	$4f_m$	$5f_m$	$6f_m$	$7f_m$	$8f_m$	> Freq. Real
+-----+-----*-----+-----+-----+-----+-----+-----+-----									
0	f_m	0	f_m	0	f_m	0	f_m	0	> Freq. Aparente

Esse efeito pode ser evitado impedindo-se que frequências superiores a f_m estejam presentes na entrada do ADC, o que pode ser conseguido com o uso de filtros tipo "passa-baixas", com frequência de corte inferior a f_m .

Na Fig. 1-2 apresentamos um exemplo de falseamento de amostragem obtido em uma experiência de laboratório onde um gerador de onda senoidal, ajustado para 725 Hz, foi ligado a um ADC operando a uma taxa de 200 conversões por segundo. Como nessas condições a

maior frequência que pode ser amostrada é de 100 Hz, o sinal de 725 Hz é incorretamente registrado e provoca o aparecimento de uma linha no espectro de potencia na posição 75 Hz (100 - 25).

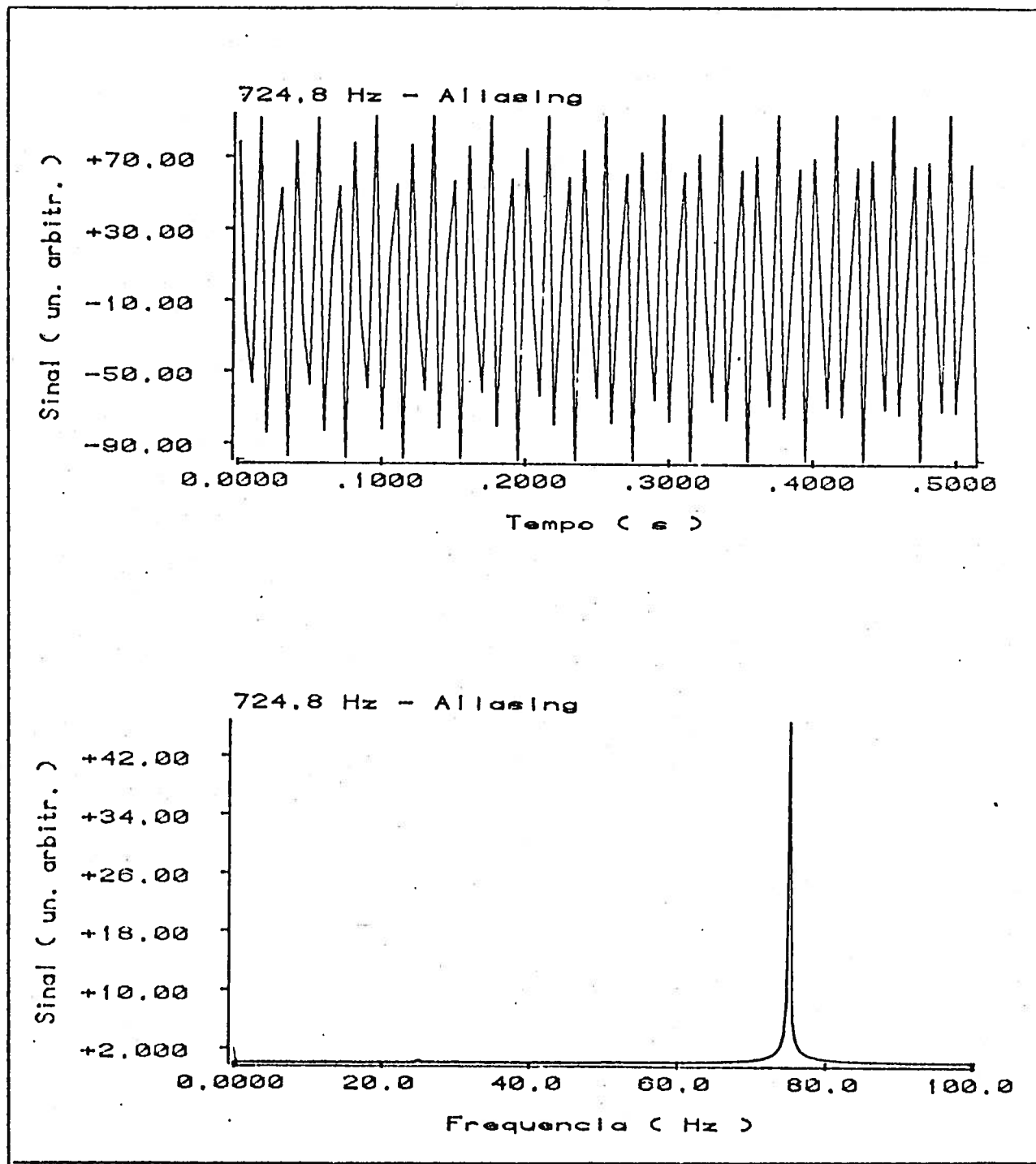


Fig. 1-2: "Aliasing" de um sinal de 725 Hz - Na parte superior, o sinal amostrado e abaixo, o seu espectro de potência, mostrando uma linha intensa em $f = 75\text{Hz}$

1.4 Fontes de Ruídos

Os dados obtidos em uma experiência, sejam eles registrados de forma analógica ou digital, estão sempre acompanhados de algum tipo de ruído. Nas situações em que esses dados são obtidos essencialmente através de instrumentação eletrônica, os ruídos podem ser agrupados da seguinte maneira:

Ruído do tipo 1/f: Este tipo de ruído aparece como consequência de flutuações de corrente nos resistores e é dado por

$$\langle V_n \rangle^2 = AR^2 I^2 \Delta f / f$$

onde A é uma constante, R a resistência, I a corrente, Δf a faixa de passagem do detetor e f a frequência de sintonia do detetor.

Ruído Johnson: Este tipo de ruído aparece como consequência de flutuações na densidade de elétrons nos resistores e é dado por

$$\langle V_n \rangle^2 = 4kTR \Delta f$$

onde k é a constante de Boltzman, T a temperatura, R a resistência e Δf a faixa de passagem do detetor.

Shot Noise: Esse tipo de ruído aparece como consequência de flutuações na emissão termoiônica (válvulas). Nos dispositivos semicondutores, é associado às flutuações no número de portadores e é dado por

$$\langle I_n \rangle^2 = 2eI_{dc} \Delta f$$

onde e é a carga do elétron, I_{dc} o valor da corrente e Δf a faixa de passagem do detetor.

Além desses tipos, que podem ser considerados intrínsecos à instrumentação eletrônica, várias outras fontes podem contribuir para aumentar o nível de ruído presente em uma experiência, como, por exemplo,

acoplamentos resistivos, indutivos e capacitivos devidos à presença de resistores, indutores e capacitores "parasitas",

efeito termoelétrico devido à presença de junções de metais diferentes e sujeitas a variações de temperatura,

microfonia devida à presença de vibrações mecânicas que possam levar ao aparecimento de ruídos elétricos,

interferências devidas à rede elétrica, emissoras de rádio e TV, fornos de indução, etc.

1.5 Redução de Ruídos: "Signal Averaging"

A técnica de redução de ruído, conhecida como "signal averaging" ou "ensemble averaging", é um método que permite a recuperação de um sinal, mesmo na presença de ruídos intensos, através de uma melhoria da relação sinal/ruído obtida a partir do cálculo da média de várias medições sincronizadas. Esta técnica está baseada no fato de que o nível do sinal de interesse, suposto estável,

crece linearmente com o número N de medições, enquanto que o do ruído, suposto aleatório, cresce com \sqrt{N} [3].

Na prática, a aplicação deste método consiste em se tomar várias medidas do sinal de interesse e, em seguida, calcular a média dessas medidas. Para o caso de espectros, sejam eles de Ressonância Magnética ou de outra técnica experimental qualquer, o problema da média é um pouco mais complexo, pois temos que tomar a média de todos os pontos da sequência $s(k)$ que representa a amostragem do sinal. Para isto, o que se faz normalmente é registrar o mesmo espectro várias vezes, de modo a se obter um conjunto de varreduras $s_n(k)$, onde k é o número do ponto e n é o número da varredura.

Uma vez registradas as n varreduras, o próximo passo é então somá-las, ponto a ponto, de modo a obter a média dos espectros, dada por

$$\langle s(k) \rangle_{N_v} = \frac{\sum_1^{N_v} s_n(k)}{N_v}$$

onde N_v é o número de varreduras efetuadas. Embora essa operação seja muito simples, e possa ser realizada mesmo nos pequenos computadores, ela apresenta duas limitações que são 1) a possibilidade da ocorrência de "overflow" na somatória e 2) o fato de que o resultado só pode ser conhecido após a N_v -ésima varredura.

Para contornar essas limitações, costuma-se dar preferência ao cálculo da média estável, conforme mostraremos a seguir:

Sendo N o número de varreduras realizadas até um dado instante t, temos:

$$\langle s(k) \rangle_{N-1} = \frac{\sum_1^{N-1} s_n(k)}{N - 1}$$

$$\langle s(k) \rangle_N = \frac{\sum_1^{N-1} s_n(k) + s_N(k)}{N}$$

$$\langle s(k) \rangle_N = \frac{\langle s(k) \rangle_{N-1} \cdot (N-1) + s_N(k)}{N}$$

$$\langle s(k) \rangle_N = \langle s(k) \rangle_{N-1} + \frac{1}{N} (s_N(k) - \langle s(k) \rangle_{N-1})$$

Esta última expressão nos dá uma maneira recursiva de calcular a média e evita o aparecimento de "overflow" nos casos em que se processa um número muito grande de dados.

Apesar da simplicidade do método, a operação de média só pode ser empregada em situações experimentais que satisfaçam aos seguintes requisitos:

O sinal a ser processado deve ser repetitivo, embora não necessite ser periódico.

Deve existir um mecanismo muito bem definido, sincronizado com o sinal de interesse, para disparar o início

da amostragem e garantir, assim, uma adição coerente das várias medições.

Do sinal a ser processado, deve-se eliminar ao máximo, por outros métodos, quaisquer ruídos que possam estar sincronizados com a amostragem, para impedir que os mesmos sejam coerentemente adicionados.

1.6 Redução de Ruídos: Filtros Digitais

Uma outra técnica que vem sendo muito empregada no processamento de sinais digitais é a da filtragem de sinais, através dos chamados "filtros digitais". Estes filtros representam, para os sinais digitais, o mesmo papel que o dos filtros analógicos para os sinais contínuos, ou seja, são "dispositivos" capazes de modificar, de uma maneira previsível, o espectro de frequência do sinal.

A implementação dos filtros digitais pode ser efetuada tanto em "hardware", como em "software" e o aumento de suas aplicações em vários ramos da ciência reflete, sem dúvida, a crescente disponibilidade de computadores e instrumentos correlatos nos laboratórios de pesquisa.

Tal como no caso analógico, um filtro digital pode ser descrito por seu comportamento no domínio da frequência (resposta à frequência), ou no domínio do tempo (resposta ao impulso unitário).

Na maioria dos casos, é usada a primeira forma, resposta à frequência, porque ela traduz, de maneira mais evidente, a "habilidade" do filtro em discriminar certas regiões do espectro em favor de outras. A teoria dos filtros digitais é um assunto bastante complexo e extenso[4], mas os princípios básicos que regem seu funcionamento podem ser compreendidos a partir de uma breve revisão de alguns conceitos dos Sistemas Lineares e da Análise de Fourier[2], que faremos a seguir.

- Um *sistema* é uma função ou um algoritmo que, para cada sequência de entrada, $x(n)$, atribui uma única sequência de saída, $y(n)$. Representando o sistema por S , podemos escrever

$$S\{x(n)\} = y(n)$$

- Um *sistema* L é dito *linear*, se para ele vale o princípio da superposição, ou seja,

$$L\{a_1x_1(n) + a_2x_2(n)\} = a_1L\{x_1(n)\} + a_2L\{x_2(n)\}$$

onde a_1 e a_2 são constantes arbitrárias.

- Um *sistema linear* L é dito *invariante no tempo*, se

$$L\{x(t - t_0)\} = y(t - t_0)$$

onde

$$L\{x(t)\} = y(t)$$

- Os filtros digitais, aqui considerados, são *sistemas lineares invariantes no tempo* representados por L .

- Se $h(t)$ é a resposta de um sistema linear invariante no tempo, para uma excitação do tipo impulso unitário, $\delta(t)$, ou seja, se

$$h(t) = L\{\delta(t)\}$$

então,

$$h(t - \tau) = L\{\delta(t - \tau)\}$$

- A resposta $f_r(t)$, de um sistema linear invariante no tempo, a uma excitação arbitrária $f_e(t)$, pode ser expressa como a convolução da excitação $f_e(t)$ com a resposta ao impulso unitário do sistema, $h(t)$; isto é,

$$f_r(t) = h(t) * f_e(t)$$

onde o sinal $*$ representa a operação de convolução.

- A transformada de Fourier (F), da resposta ao impulso unitário de um sistema linear, é chamada *função sistema*, isto é,

$$H(\omega) = F\{h(t)\}$$

- Teorema da convolução no tempo: Se $F\{f_1(t)\} = g_1(\omega)$ e $F\{f_2(t)\} = g_2(\omega)$ então,

$$F\{f_1(t) * f_2(t)\} = g_1(\omega) g_2(\omega)$$

Como dissemos anteriormente, os filtros digitais podem ser implementados no domínio da frequência ou no domínio do tempo. No pri-

meiro caso, o passo inicial é o cálculo da transformada de Fourier do sinal a ser filtrado, o que se faz normalmente com auxílio de um algoritmo de FFT (Fast Fourier Transform). De posse do espectro do sinal, podemos então ajustar as amplitudes e as fases das várias frequências, de modo a refletir as características desejadas para o filtro. Feito este ajuste, o sinal filtrado no domínio do tempo pode ser obtido através de uma FFT inversa. Este processo é de grande flexibilidade, pois requer apenas a multiplicação do espectro do sinal pelas características do filtro, além de ser uma boa escolha nas situações onde se dispõe de recursos eficientes para o cálculo das FFTs.

No segundo caso, todo o processo de filtragem se passa no domínio do tempo e é realizado através da convolução do sinal com a resposta ao impulso unitário do filtro apropriado. Embora o processo no domínio do tempo não nos pareça tão intuitivo quanto no domínio da frequência, ele pode ser compreendido a partir das observações feitas anteriormente sobre a Análise de Fourier e os Sistemas Lineares. Com efeito, de acordo com o teorema da convolução, o produto do espectro do sinal pelo espectro do filtro, que é o ponto central da filtragem do domínio da frequência, é equivalente, no tempo, à convolução do sinal com a resposta ao impulso do filtro.

De um modo geral, o projeto de um filtro digital começa pela escolha de uma função $H(\omega)$ que represente a resposta de frequência desejada^[4]. A partir deste ponto, pode-se implementar o filtro

diretamente no domínio da frequência ou calcular a resposta ao impulso unitário, para implementação no domínio do tempo. Nas aplicações de tempo real, costuma-se dar preferência aos filtros no domínio do tempo para se evitar o cálculo das FFTs que consome tempo e memória, nem sempre disponíveis.

Neste trabalho, tivemos a oportunidade de usar dois tipos de filtros digitais para atenuação de ruídos de alta frequência. O primeiro foi um algoritmo de alisamento (smoothing), que consiste em substituir o valor de cada ponto de um espectro pela média aritmética dos valores do próprio ponto e de seus N_v vizinhos mais próximos.

O segundo filtro utilizado foi um filtro tipo "passa-baixas", no domínio do tempo, conhecido na literatura^[5] como NER ("Nearly Equal Ripple"). Esse filtro apresenta como principal característica a minimização das oscilações em torno da frequência de corte, decorrentes do uso de um número finito de termos para representar a resposta ao impulso unitário (fenômeno de Gibbs)^[5].

Essa minimização é conseguida com o uso de uma função peso, ajustável, para modificar de maneira adequada os coeficientes da sequência do filtro. O resultado que se obtém com esta técnica é a "dispersão" das oscilações, então concentradas na frequência de corte, ao longo de toda a faixa de corte e de passagem, com a conseqüente redução de suas amplitudes. Os parâmetros que caracterizam esse filtro são a frequência de transição (β), a largura

da região de transição (δ) e a tolerância na amplitude das oscilações (ϵ), conforme se pode ver na Fig. 1-3. Por uma questão de conveniência, as frequências são medidas em relação à frequência de Nyquist e variam, portanto, de 0 a 1.

O comportamento desses dois filtros, tanto no domínio do tempo como no da frequência, está representado nas Figs. 1-4 e 1-5, onde podemos ver, de maneira clara, a superioridade do filtro NER sobre o método de alisamento no que diz respeito à atenuação das baixas frequências.

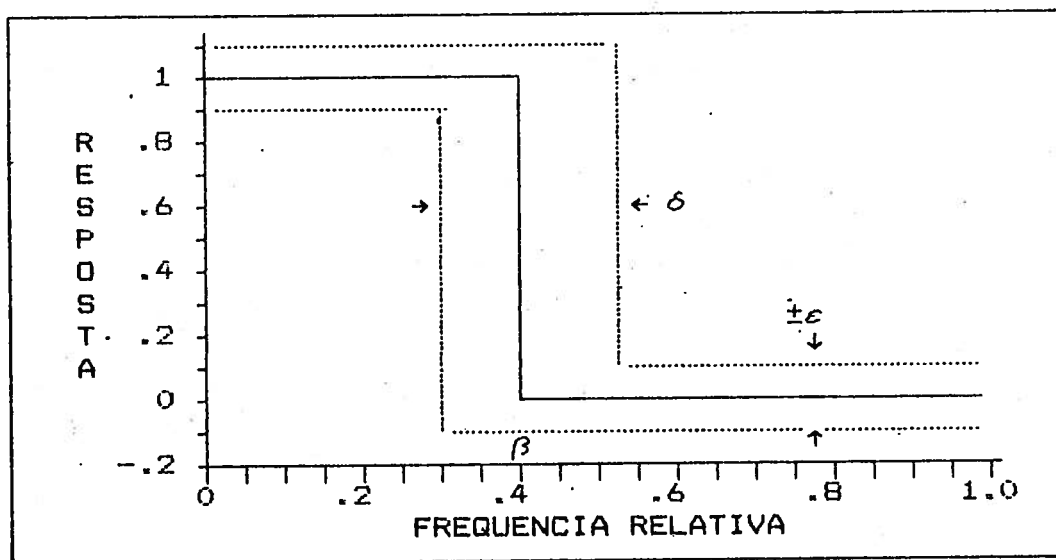


Fig. 1-3: Parâmetros do filtro NER
 β - frequência de corte
 δ - região de transição
 ϵ - tolerância

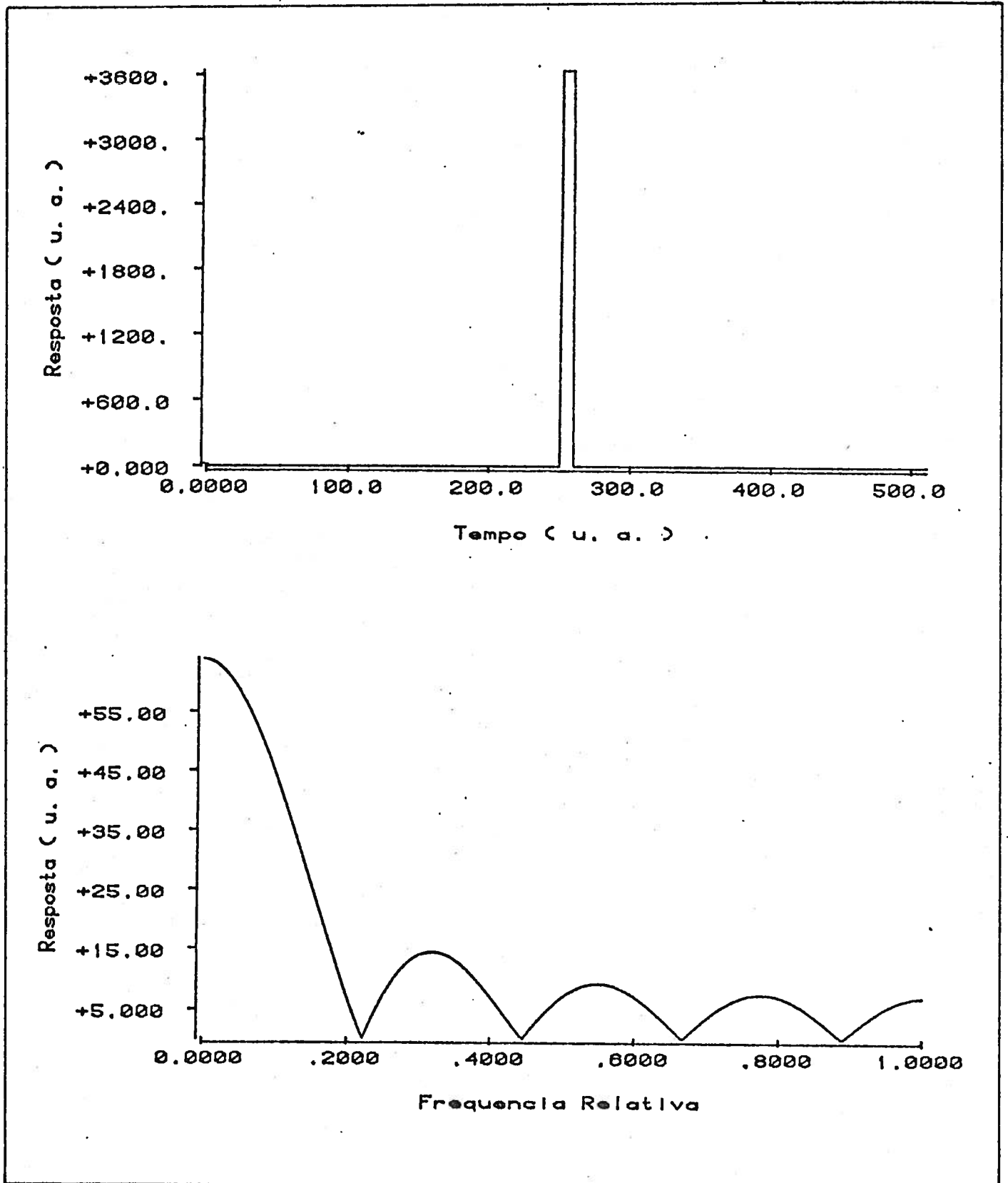


Fig. 1-4: Comportamento do filtro de alisamento. Acima, resposta ao impulso e, abaixo, resposta à frequência.

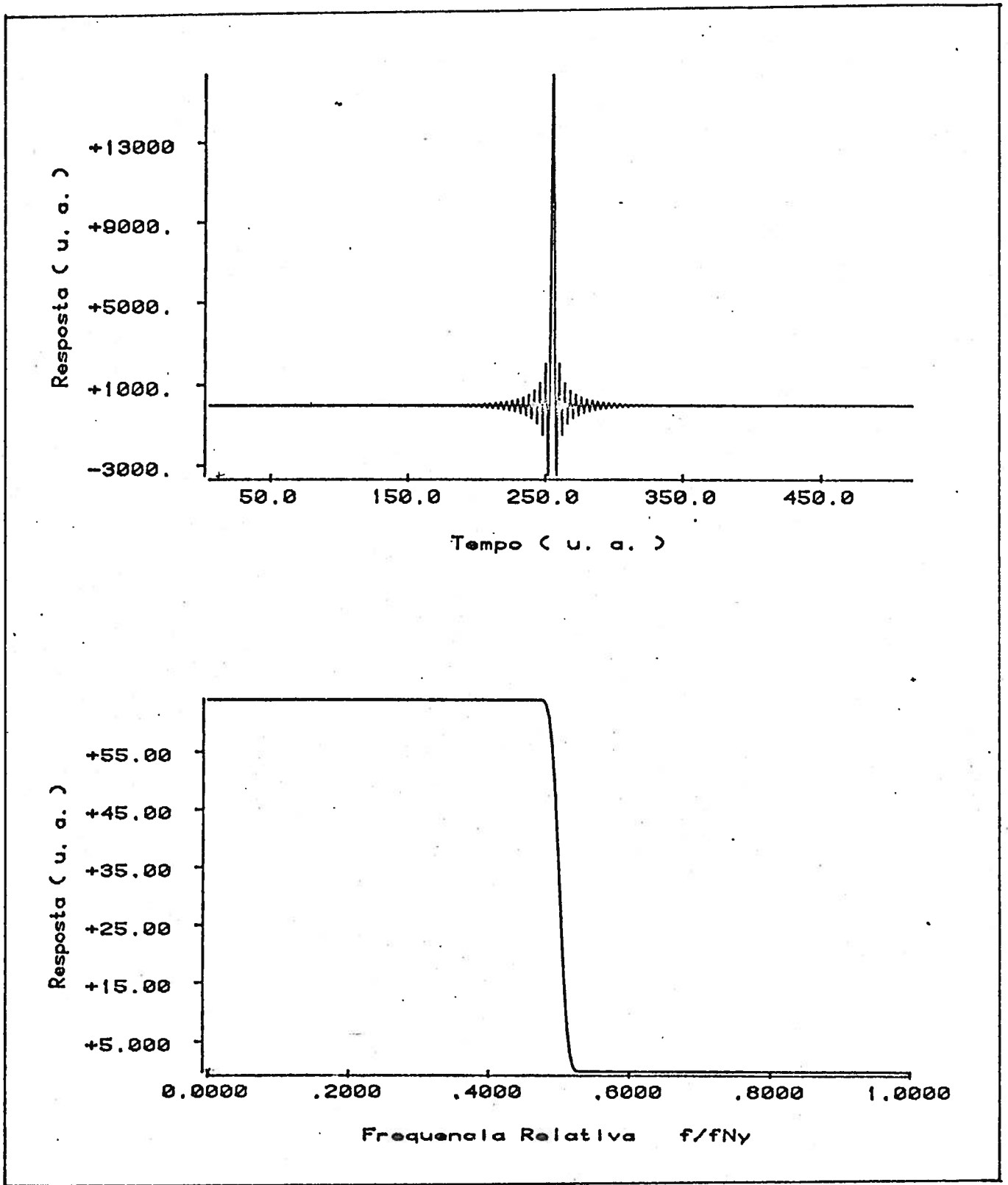


Fig. 1-5: Comportamento do filtro NER. Acima, resposta ao impulso e, abaixo, resposta à frequência.

1.7 Computação em Tempo Real

Como vimos nas seções anteriores, tanto as tarefas de aquisição como as de processamento de dados dependem de um computador de controle. Esse computador, por sua vez, tanto pode ser dedicado exclusivamente a uma tarefa como pode ser uma máquina de uso mais geral, capaz de atender simultaneamente a várias tarefas de vários usuários. De qualquer forma, seja qual for o computador usado, é necessário que ele seja capaz de interagir com o processo sob controle durante sua evolução, ou seja, ele deve ser um *computador de tempo real*

Para que um computador possa ser classificado como sendo "*de tempo real*", é necessário que o sistema operacional que o controla seja capaz de executar, entre outras, duas funções específicas, que são:

1. -executar programas em instantes pré-determinados.
2. -responder prontamente a eventos externos que possam ocorrer em instantes imprevisíveis.

Para que essas especificidades possam ser atendidas, o que se faz na criação do sistema operacional é dar uma atenção especial às rotinas de contagem de tempo, de controle de entrada e saída e à prioridade com que os programas são executados pela máquina.

O computador HP 1000 que usamos neste trabalho é uma máquina de tempo real do tipo multiusuário - multiprogramação, o que signi-

fica que ele pode atender, simultaneamente, a vários usuários que estejam executando várias tarefas diferentes.

Essa simultaneidade na execução das várias tarefas é, na verdade, apenas aparente. O que acontece na realidade é que, como os periféricos de entrada e saída são muito mais lentos que a UCP (Unidade Central de Processamento), existe um "tempo morto", no qual o computador fica esperando o término de uma tarefa de entrada e saída, que pode ser usado por um outro programa dando assim, ao usuário, a impressão de que os programas estão sendo executados ao mesmo tempo.

Todas as atividades do computador HP 1000, são coordenadas por um sistema operacional, baseado em disco, chamado "RTE-6/VM" (Real Time Executive 6 / Virtual Memory)[8] que, além de implementar as funções de tempo real anteriormente mencionadas, cuida do gerenciamento dos arquivos e das várias outras funções típicas de um sistema operacional.

Para o tratamento de eventos com "hora marcada" e manutenção do relógio de tempo real, o RTE-6 usa uma interface, instalada no computador, chamada "Time Base Generator - TBG". Esta interface dispõe de um oscilador de 10 MHz, que, através de divisores de frequência programáveis, interrompe a UCP a cada centésimo de segundo. A cada uma destas interrupções, não só a hora do sistema é atualizada, como também é feita uma consulta a uma lista de espera, para verificação da existência de alguma tarefa para ser pro-

cessada naquele instante.

Para a execução das várias tarefas que podem ser submetidas ao computador, o RTE-6 utiliza um esquema de prioridades que funciona da seguinte maneira:

Quando um programa é criado, a ele é atribuída, pelo usuário, uma "prioridade" representada por um parâmetro numérico que pode variar de 1 a 32767 sendo que, quanto menor o número, maior a prioridade. Em tempo de execução, o RTE dispara os programas na ordem de suas prioridades, ou seja, os programas mais prioritários são executados primeiro.

Para evitar que um programa de alta prioridade monopolize a máquina, a escala de prioridades é dividida em duas regiões. Na primeira região, os programas são executados na ordem estrita de suas prioridades. Na segunda, o sistema operacional se encarrega, automaticamente, de dividir o tempo entre programas de mesma prioridade, num processo conhecido como "time slice", dando a cada programa um "quantum" de tempo de 300 de milisegundos, "quantum" este que pode ser ajustado pelo gerente do sistema operacional, de acordo com as necessidades da instalação.

Em uma configuração típica do RTE-6, a divisão na escala de prioridades acontece na prioridade 50. Além disso, para garantir uma boa distribuição dos recursos da máquina, é atribuída a todos os programas submetidos pelos usuários "comuns", uma prioridade de

99 a qual somente o gerente do sistema pode alterar, para atender a necessidades específicas de alguma tarefa.

Dentro desse sistema de atendimento, as atividades de tempo real devem, necessariamente, ocupar a região privilegiada das prioridades, para garantir sua execução no exato instante em que forem necessárias.

O atendimento a "eventos imprevisíveis" é satisfeito pelo RTE-6 através do sistema de interrupção da UCP. Neste caso, a interrupção proveniente de um dado dispositivo de entrada e saída é respondida com a execução de um programa específico, que satisfaça aquela interrupção.

Como exemplo deste recurso, tomemos o controle de um reservatório que deve ser enchido com um líquido até um dado nível, determinado por uma bóia. Quando o nível é alcançado, a bóia fecha um circuito que envia um pulso de controle para o computador e gera uma interrupção. O RTE atende a esta interrupção, colocando em execução, por exemplo, um programa que fecha a válvula de controle de entrada do líquido.

Como vemos, com esse sistema de atendimento, o computador não precisa de passar todo o tempo monitorando o evento que está por acontecer ou seja, ele pode gastar esse tempo executando outras tarefas de acordo com sua lista de prioridades.

Um outro recurso de grande utilidade existente no RTE-6 são as rotinas de entrada e saída por classe (CLASS I/O). Com elas, o sistema operacional pode ser encarregado da transmissão e/ou recepção de um bloco de dados, deixando o programa do usuário livre para execução de outras atividades. Com auxílio desse recurso, um determinado programa pode, por exemplo, processar um bloco de medidas B_n , enquanto o sistema operacional faz a aquisição do bloco B_{n+1} o que, em muitas aplicações, aumenta significativamente a eficiência do programa.

Do ponto de vista do "hardware", um instrumento de medição e controle que muito contribui para a eficiência dos processos de tempo real é o MULTIPROGRAMADOR. Esse instrumento, que apareceu no mercado há pouco mais de uma década, é constituído basicamente de um microprocessador ao qual estão conectadas várias interfaces - os chamados cartões funcionais - destinadas a efetuar operações específicas relacionadas, principalmente, com as atividades de aquisição de dados e controle de processos.

O multiprogramador segue de perto a filosofia dos sistemas de arquitetura aberta, já mencionados, pois o usuário pode configurá-lo de acordo com as suas necessidades, instalando apenas os cartões funcionais que precisar (Fig. 1-6). A quantidade de cartões que pode ser instalada, varia de instrumento para instrumento e em alguns modelos pode chegar a 255. Nos mais modernos existem ainda algumas facilidades adicionais tais como memória local expandida, acionadores de discos rígidos e flexíveis, etc. Os car-

tões mais comuns incluem conversores AD e DA, geradores de base de tempo, contadores, entradas e saídas digitais, reles, etc. O controle do instrumento é feito por comandos, enviados por um computador através de uma linha de comunicação, que permitem o acesso a qualquer um dos cartões funcionais instalados.

A grande vantagem do uso do multiprogramador reside no fato de que, com apenas uma linha de comunicação do computador de controle, o usuário pode ter acesso a um grande número de funções e assim delegar tarefas a processadores auxiliares deixando a CPU principal livre para outras atividades.

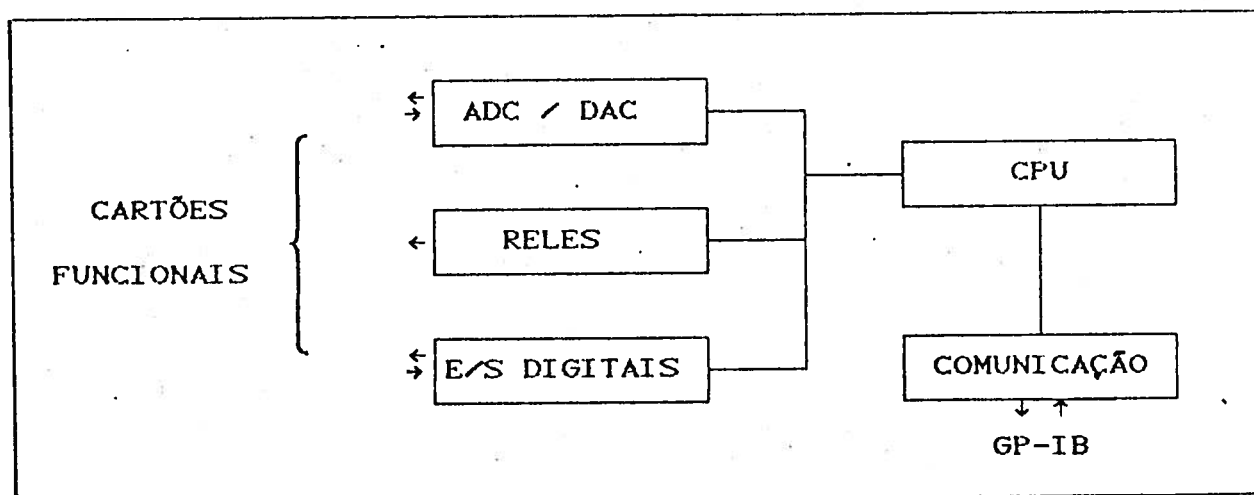


Fig. 1-6: Configuração típica de um multiprogramador

1.8 Os Sistemas de Arquitetura Aberta

Como mencionamos na Introdução deste trabalho, os Sistemas de Arquitetura Aberta representam uma alternativa bem mais econômica e muito mais criativa para a implantação de um sistema de aquisição de dados.

De um modo geral, qualquer que seja a complexidade de sistema do sistema a ser implantado, é fundamental que sejam mantidas a integridade e qualidade dos dados ao longo de todo o processo, para garantir o êxito da análise final desses dados.

Em um sistema típico de aquisição de dados, tal como representado na Fig. 1-7, o critério da "qualidade e integridade" deve ser usado, da melhor maneira possível, não apenas na escolha do computador e dos instrumentos como também na preparação e documentação dos programas de controle.

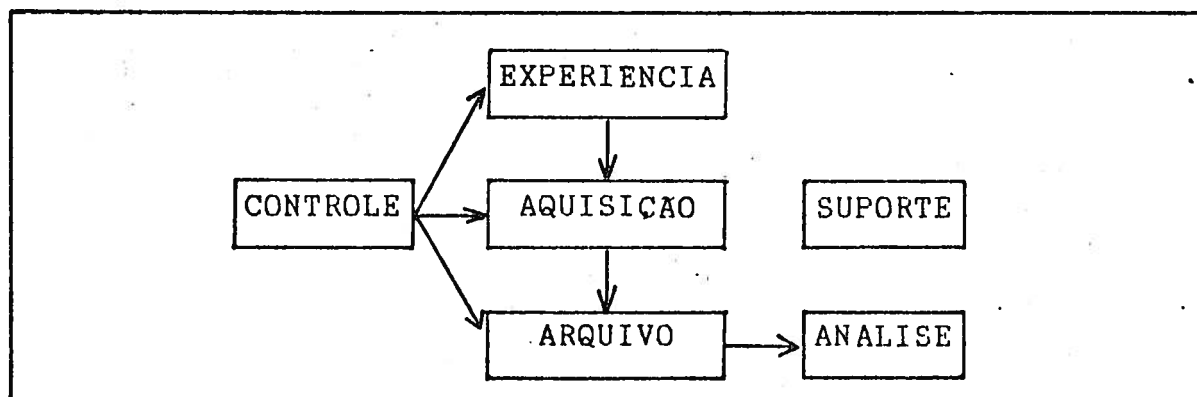


Fig. 1-7: Configuração de um sistema de aquisição de dados. A escolha dos instrumentos e/ou programas relativos a cada bloco deve ser feita de forma a garantir a qualidade dos dados.

Capítulo 2

SMAP: Sistema Melhorado de Aquisição Passiva

2.1 O Método da Aquisição Passiva

Um dos métodos mais simples de se efetuar a aquisição de dados de uma experiência é o Método da Aquisição Passiva. Nele, um instrumento adequado é ligado à saída de dados da montagem, com o objetivo de registrar os dados experimentais mas sem exercer qualquer tipo de controle ou influência sobre o andamento do processo. Um exemplo comum deste tipo de aquisição é a conexão de um termopar a um registrador X-t para produção de curvas de temperatura em função do tempo.

Em um espectrômetro de EPR, a saída de dados consiste basicamente de dois sinais:

- 1 - sinal de ressonância, que é obtido do detetor sensível à fase - "lock-in".
- 2 - sinal de intensidade do campo magnético, geralmente na forma de uma rampa de tensão.

Nesse caso, a implementação básica desse método consiste no uso de um registrador X-Y, cujas entradas X e Y são conectadas, respectivamente, ao sinal do campo magnético e ao sinal de ressonância (Fig. 2-1).

Embora amplamente utilizada ao longo dos últimos anos e até mesmo nos dias de hoje, a grande limitação dessa implementação é que, terminada uma série de medidas, o pesquisador tem como resultado uma coleção de gráficos dos quais terá de extrair, através de processos manuais, os dados numéricos de que necessitar.

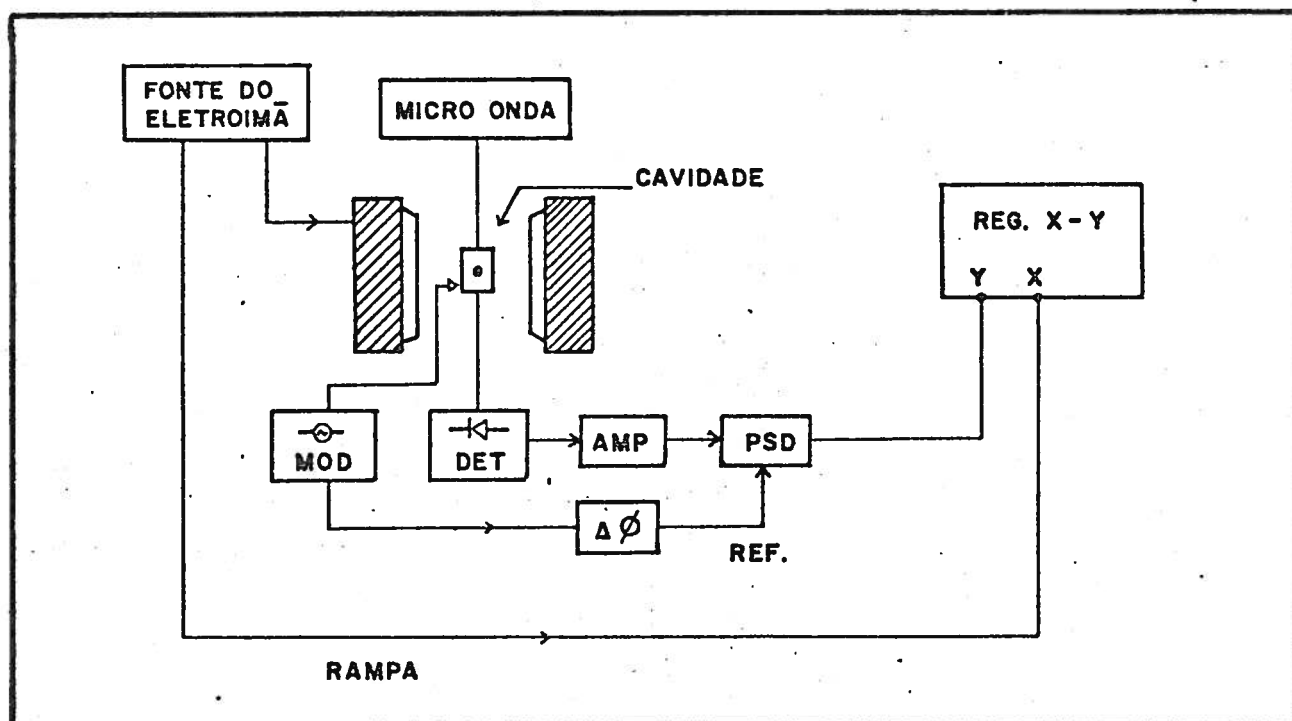


Fig. 2-1: Configuração Básica de um Espectrômetro de EPR

Os primeiros passos para automatizar as medidas de EPR foram dados com a criação de sistemas de aquisição passiva, capazes de registrar os espectros de uma maneira mais eficiente e, antes mesmo do aparecimento dos microcomputadores, analisadores multi-canal foram usados, com sucesso, em sua implantação [7].

A idéia básica desses sistemas de aquisição passiva consiste em substituir o registrador X-Y por um computador provido de conversores analógico/digital e de dispositivos de armazenamento e/ou transmissão de dados (Fig. 2-2). Esse computador, através de sinais de controle, faz com que os conversores sejam disparados simultaneamente, em intervalos de tempo regulares e lê, para cada um destes disparos, um par de números que correspondem às intensidades do campo magnético e do sinal de ressonância naquele instante. Terminada a aquisição, esses pares de valores podem ser processados imediatamente ou então ser transmitidos para um computador remoto, de maior porte, para processamentos mais complexos tais como ajustes de forma de linha, simulações, etc.

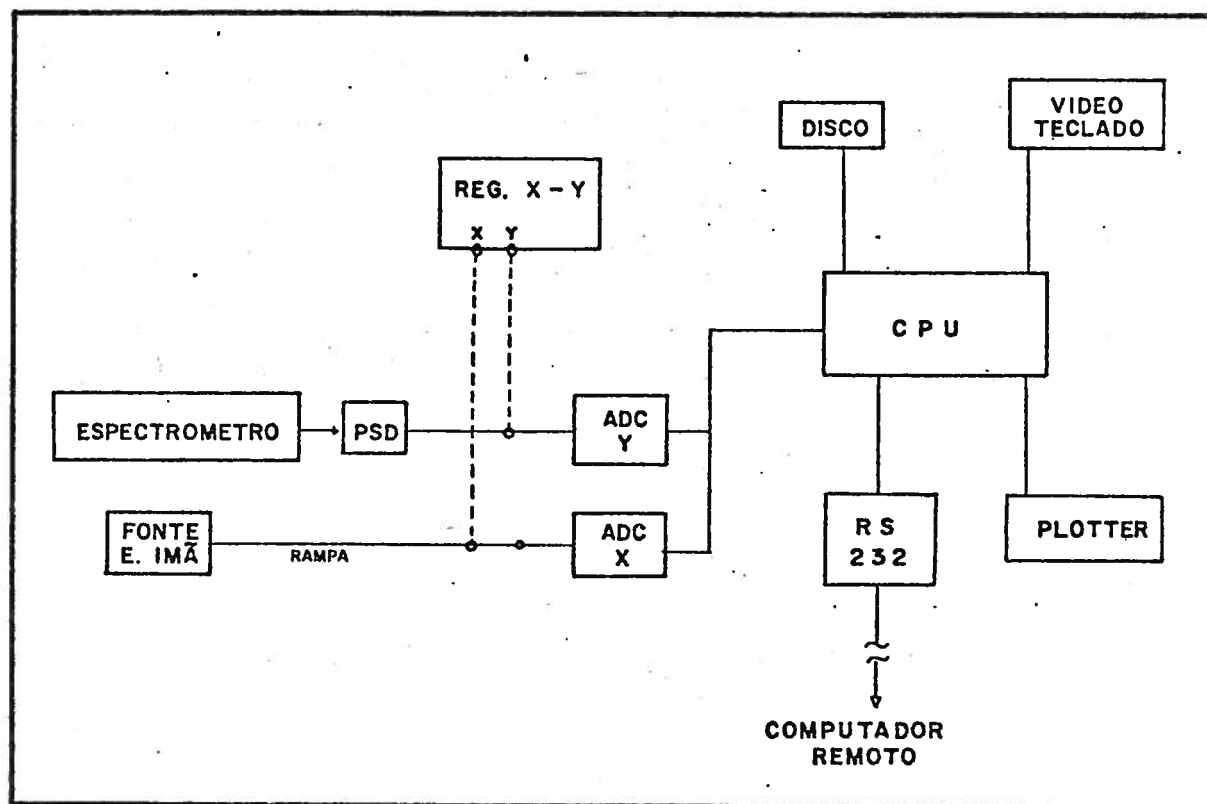


Fig. 2-2: Sistema Básico de Aquisição Passiva

2.2 O Sistema Melhorado de Aquisição Passiva

Um dos sistemas que tivemos a oportunidade de desenvolver para uso no Laboratório de Ressonância Magnética foi o que chamamos de Sistema Melhorado de Aquisição Passiva (SMAP). Esse sistema foi idealizado com base no conceito de arquitetura aberta^[1] e procuramos, em seu desenvolvimento, explorar ao máximo as possibilidades oferecidas pelo computador de controle, o HP 1000 e pelo sistema operacional de tempo real RTE 6-VM.

As principais vantagens apresentadas pelo SMAP com relação a outros sistemas de aquisição passiva^[5,8] são as seguintes:

- possibilidade de se escolher, de maneira simples e precisa, a região do espectro a ser armazenada na memória do computador.
- possibilidade de se executar o processamento de um espectro (um ajuste de forma de linha, por exemplo), enquanto se faz a aquisição de um outro espectro.
- possibilidade de se controlar uma série de outros instrumentos para aquisição de dados complementares, relativos ao desenvolvimento da experiência.
- facilidade de se usar o programa de controle que, por ter sido escrito nos moldes de um sistema operacional, interage com o operador através de um sistema de comandos mnemônicos.
- facilidade de se incorporar novos recursos ao sistema, decorrente do uso do FORTRAN 77 e de técnicas de programação

estruturada no programa de controle, e do emprego do barramento IEEE-488 na interconexão dos instrumentos.

Para que se tornasse possível a obtenção dessas vantagens, vários instrumentos foram incorporados ao espectrômetro conforme se vê na Tabela 2-1. Todos esses instrumentos foram interligados ao computador de controle através do barramento IEEE-488.

Instrumento	Modelo
Conversor analógico-digital de 4 canais	HP 59313A
Frequencímetro de micro-ondas	HP 5342A
Goniômetro motorizado	Micro Controle IT6D
Multiprogramador	STD 85MP
Multímetro digital	Keithley 195A
Gaussímetro	Varian E 500
Gaussímetro	Metrolab PT 2020
Extensor HP-IB	HP 59301A

Tabela 2-1: Instrumentos usados pelo SMAP

Para se entender o funcionamento do SMAP, é necessário que se faça inicialmente uma breve discussão sobre o funcionamento normal do espectrômetro de EPR, no que diz respeito à obtenção de um espectro no registrador X-Y.

Supondo-se que toda a instrumentação esteja pronta para medir, ou seja, temperatura da amostra estabilizada, cavidade sintonizada, amplificador "lock-in" ajustado, etc., são os seguintes os procedimentos típicos para a obtenção de um espectro:

Procedimento	Controle da fonte(*)
- ajusta-se o valor central do campo	Field Selector
- ajusta-se a faixa de varredura	Sweep Range
- ajusta-se a duração total da varredura	Sweep Time
- ajusta-se o valor inicial da varredura	Sweep
- dispara-se a medida	Sweep Mode

(*) Fonte Varian Fieldial Mark I

Tabela 2-2: Operação do Espectrômetro

Uma vez disparado o processo, dois sinais serão enviados para o registrador X-Y. No eixo dos Y, teremos o sinal de ressonância e no eixo dos X, teremos um sinal proporcional ao valor do "SWEEP". Como o controle de varredura, "SWEEP", é acionado internamente por um motor síncrono, o eixo dos X terá um movimento linear e a figura traçada será então uma representação do sinal de ressonância em função do campo magnético. Na fonte Varian utilizada em nosso sistema, o sinal correspondente à variação do campo é uma rampa de tensão que varia de 0 a -10 volts para variações do "SWEEP" entre -50% e +50% do valor central do campo, tal como representado na Fig. 2-3.

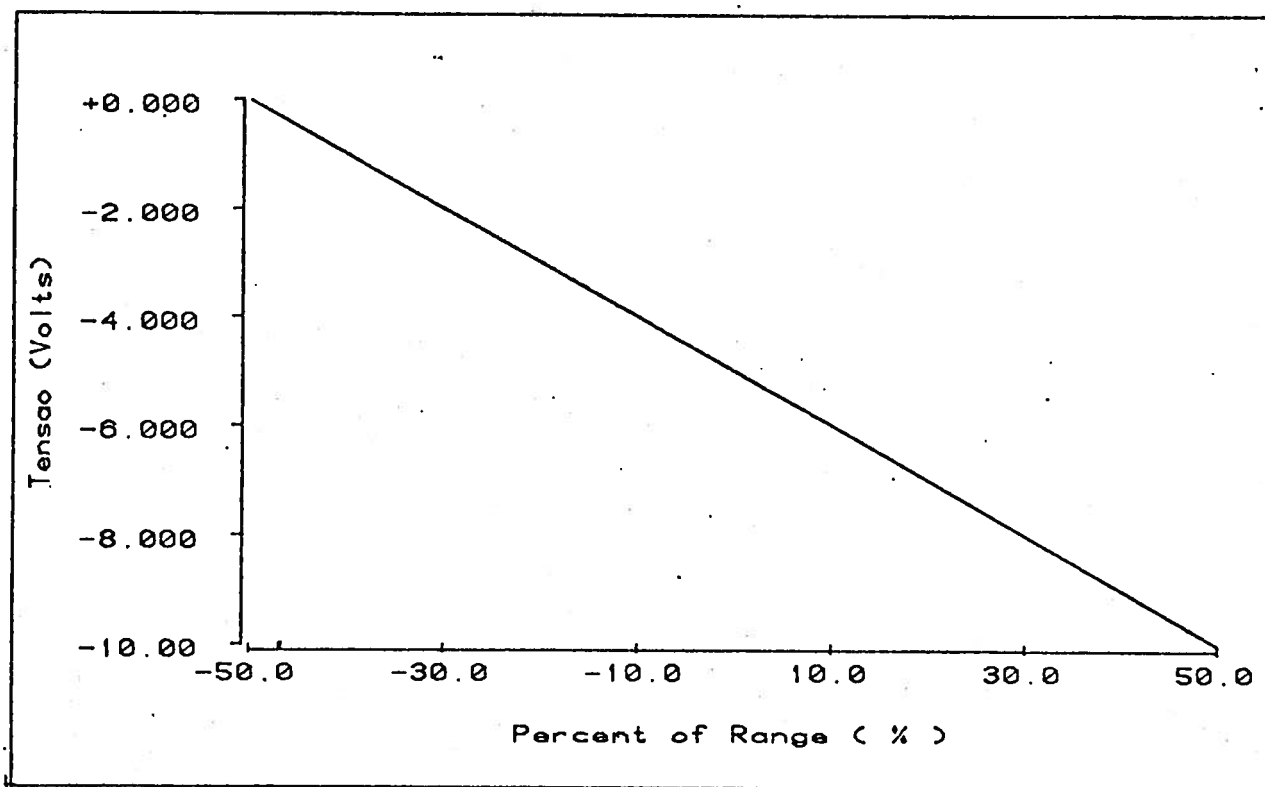


Fig. 2-3: Rampa de Varredura da fonte Varian

Do ponto de vista do sistema de aquisição passiva, o objetivo básico é o registro, da melhor maneira possível, dos sinais representativos da ressonância e da intensidade do campo magnético mas, no SMAP, incorporamos alguns recursos adicionais para o controle da varredura e para a conexão de outros instrumentos auxiliares.

Para facilitar a compreensão deste sistema como um todo, vamos apresentar inicialmente uma descrição das técnicas usadas para o registro das intensidades do campo magnético e da ressonância e para o controle da varredura.

2.2.1 Registro da Intensidade do Campo

A idéia inicialmente desenvolvida para o registro das intensidades do campo magnético era usar um gaussímetro, conectado diretamente ao computador. Essa solução mostrou-se ineficaz porque os gaussímetros disponíveis, que funcionam a partir da técnica de NMR, não são capazes de acompanhar a varredura do campo, perdendo, frequentemente, o sincronismo com o sinal de NMR. Por isso, tivemos de resolver o problema da medição do campo a partir da tensão da rampa de varredura.

Como mencionamos anteriormente, essa rampa de tensão, gerada pela fonte do eletroímã, varia de 0 a -10 Volts para valores do controle "Percent of Range", compreendidos entre -50% e +50% do valor central do campo. Deste modo, a relação entre a indicação deste controle, PR, e a tensão da rampa, V, será dada por

$$PR = -10 * (V + 5) \quad (2.1)$$

Sendo H_0 o valor central do campo, escolhido no controle "Field Select", o valor do campo para um ponto qualquer do "Sweep Range", SR, pode ser obtido de:

$$H = H_0 + (PR / 100) * SR \quad (2.2)$$

ou, considerando a equação (2.1),

$$H = H_0 - (V+5)*(0,1*SR) \quad (2.3)$$

A equação (2.3) nos permite conhecer o campo magnético a partir da tensão da rampa e dos valores previamente ajustados para o campo ("Field Select") e para a varredura ("Sweep Range") e, embora nos forneça um caminho bastante simples para a medição do campo magnético, seu resultado não é totalmente confiável em consequência do mecanismo usado para geração da rampa, no qual um potenciômetro de alta precisão e boa linearidade é mecanicamente acoplado, através de engrenagens, ao eixo do motor síncrono que comanda a varredura do campo. Esse potenciômetro, por sua vez, é ligado na forma de um divisor de tensão a uma fonte de referência ajustada para -10 Volts. Quando a varredura é iniciada, o movimento do motor síncrono é transmitido a esse potenciômetro e a rampa é obtida na saída do divisor de tensão (Fig. 2-4).

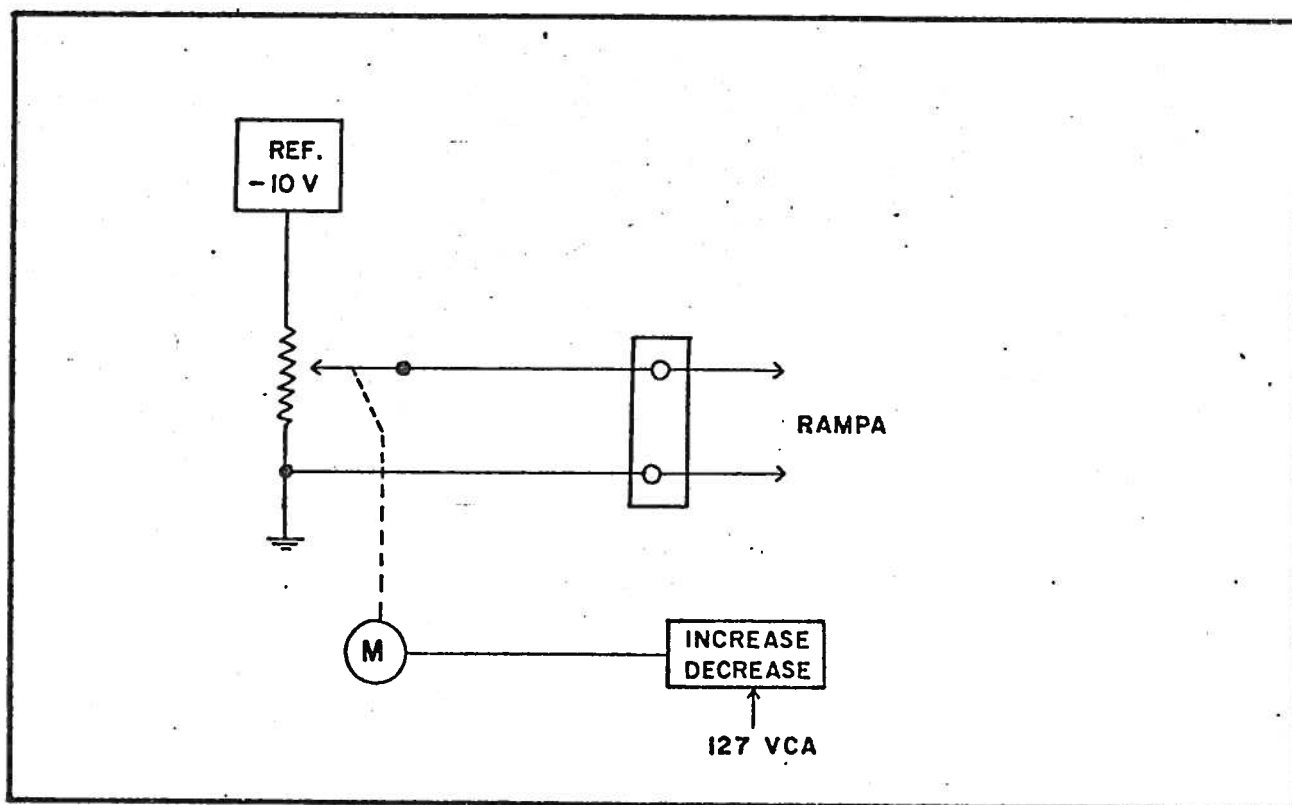


Fig. 2-4: Gerador da rampa.

Devido a folgas no acoplamento, desajustes na fonte de -10V e incertezas existentes em circuitos internos de calibração da fonte, o valor de H dado pela equação (2.3), pode não corresponder à realidade.

Para contornar essas dificuldades e ainda assim usar a tensão da rampa para medir o campo, adotamos no SMAP a seguinte técnica, que chamamos de calibração da rampa:

Antes de iniciar uma série de medidas de espectros, são feitas, com auxílio do gaussimento, duas ou mais medidas do campo e da tensão da rampa em pontos distintos do controle de "sweep range". Para atenuar o efeito de eventuais ruídos na medida da tensão, é tomada a média de 100 leituras consecutivas do ADC.

Os pares de pontos (H_n, V_n), obtidos nestas medidas, são usados então para calcular os parâmetros a e b da reta $H = aV + b$. Esses parâmetros, uma vez calculados, são mantidos na memória e usados em todos os cálculos subsequentes de $H(V)$, até que se faça uma nova calibração.

Para nos certificarmos da validade desta técnica, foi montado um sistema de medida composto de um ADC e um gaussímetro e controlado pelos programas BURST e RMU01 (Ap. 4).

O programa BURST, que simplesmente registra os valores da tensão da rampa em função do tempo, foi usado com o objetivo de se veri-

ficar a linearidade da rampa. Os dados obtidos por esse programa estão representados na Fig. 2-5. Como se pode observar, a rampa é de boa qualidade e apresenta dois pequenos patamares de tensão constante que não contribuem para a variação do campo, mas são convenientes para o ajuste e verificação das tensões nas extremidades.

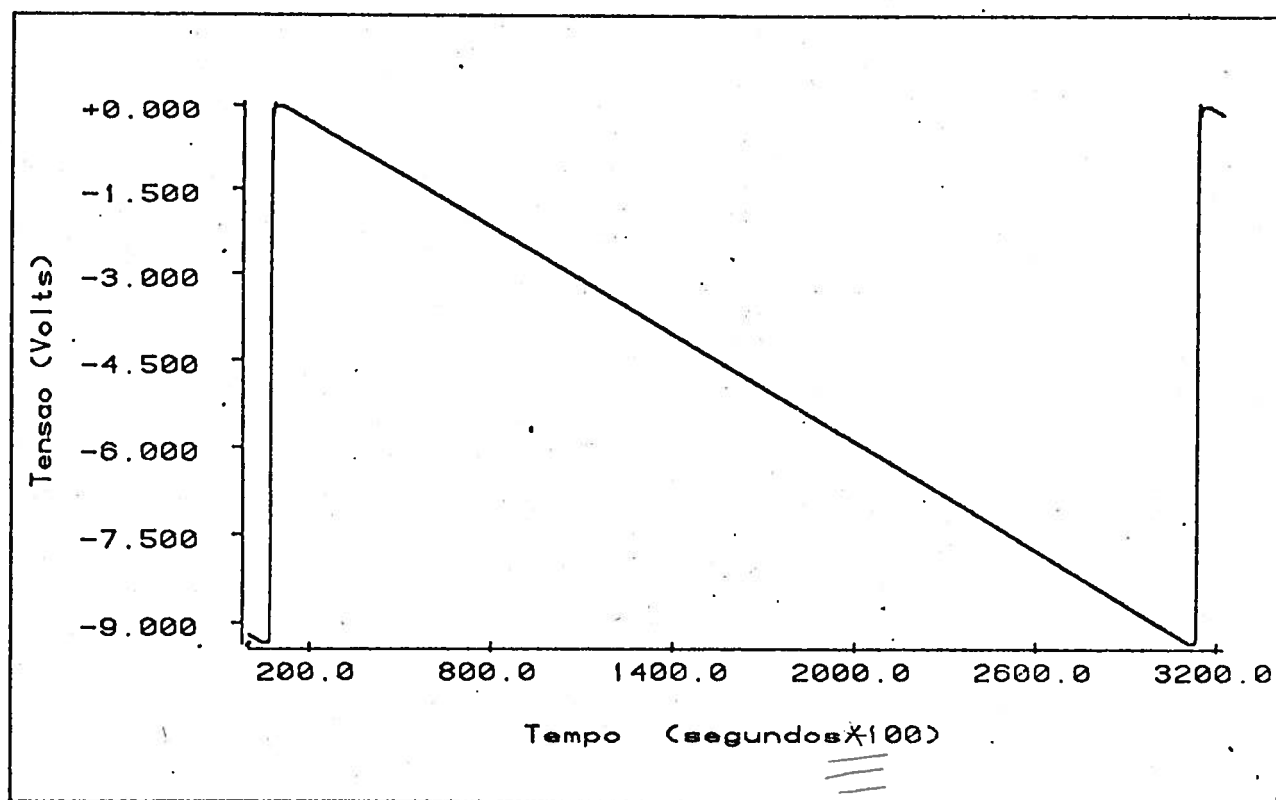


Fig. 2-5: Rampa do Eletroimã

O programa RMU01, por sua vez, permite que o valor do campo medido através da tensão da rampa seja comparado com o valor obtido diretamente pelo gaussímetro.

Para medir o campo através da tensão da rampa, o programa solicita inicialmente que seja feita uma calibração. Para tanto, o controle de "Percent of Range" é colocado sequencialmente em dois pontos distintos de sua escala e, para cada um destes pontos, são feitas medidas da tensão da rampa com o ADC e do campo magnético com o gaussímetro. Neste caso, como o campo é estacionário, não existe o problema da perda de sincronismo do gaussímetro, discutida anteriormente.

Os valores obtidos nestas medidas, (H_1V_1) e (H_2V_2) são usados então para a determinação dos parâmetros a e b da reta

$$H(V) = aV + b \quad (2.4)$$

Feita esta calibração, o campo H pode então ser determinado para qualquer ponto do "Percent of Range", a partir de uma medição da tensão da rampa, V .

O programa RMU01 permite que se faça até 100 medições em pontos escolhidos aleatoriamente pelo operador.

Terminado o processo, os resultados são impressos em três colunas que representam, respectivamente, o campo medido pelo gaussímetro (HG), o campo medido pela rampa (HR) e a diferença entre as medidas ($HR - HG$).

Em nosso sistema, fizemos várias medidas deste tipo e um resumo dos resultados é apresentado na Tabela 2-3.

Conforme se pode observar, as diferenças HR - HG são da ordem de 1 parte em 1000, o que consideramos perfeitamente satisfatório para medidas de EPR. O conjunto completo dessas medidas encontra-se no apêndice 5, juntamente com a listagem do programa RMU01.

=====

Região: 2778.2 a 2267.7 gauss

Medida	HG	HR	HR - HG
01	2778,2	2777,5	-0,7
10	2732,2	2733,3	1,1
20	2685,1	2681,3	-3,8
30	2630,5	2631,0	0,5
40	2578,5	2578,4	-0,1
50	2527,5	2527,5	0,0
60	2475,1	2475,5	0,4
70	2423,0	2423,5	0,5
80	2371,2	2371,5	0,3
90	2319,5	2319,5	0,0
100	2627,7	2627,0	-0,7

Resultados (para 100 medidas):

Erro médio:..... -0,101

Desvio padrão:.... 1,098

=====

Tabela 2-3: Resumo das medidas comparativas da intensidade do campo magnético- Programa RMU01

2.2.2 Registro do Sinal de Ressonância

O sinal de ressonância é obtido do espectrômetro através da conexão da saída do amplificador "lock-in" à entrada do ADC que, em nossa montagem é um subsistema HP-IB (HP59313A) e incorpora, além do conversor A/D propriamente dito, os seguintes circuitos auxiliares:

- a) amplificadores de entrada
- b) gerador de base de tempo
- c) multiplexador analógico
- d) interface HP-IB (IEEE-488)
- e) canal reverso
- f) lógica de disparo externo
- g) lógica de controle.

Os amplificadores de entrada, em número de 4, são responsáveis pelo condicionamento do sinal. Eles dispõem de controles de ganho e de zero através dos quais se faz a calibração do instrumento.

O gerador de base de tempo (10 MHz) prove os sinais de sincronismo para o instrumento. Desse mesmo gerador, através de divisores programáveis, são retirados os pulsos que controlam a taxa de conversão.

O multiplexador analógico, também programável, determina qual dos amplificadores de entrada vai fornecer o sinal para a conversão.

A interface HP-IB implementa a norma IEEE-488 e é o elo de ligação do instrumento com o computador de controle.

O canal reverso é composto de um transistor NPN, montado em configuração de coletor aberto, que pode ser colocado nos estados de corte e condução através de comandos do computador, permitindo o controle de dispositivos externos do tipo liga-desliga.

A lógica de disparo externo, external start, é um circuito que permite sincronizar o início das conversões com um evento externo qualquer, que possa ser traduzido por uma transição de níveis TTL.

A lógica de controle sincroniza toda a operação do instrumento. Ela controla a interface HP-IB, decodifica as instruções recebidas do computador, e formata os dados de saída.

As características básicas deste instrumento estão resumidas na tabela abaixo:

Número de entradas:	4, bipolares
Fundo de escala:	+/- 1,0 2,5 5,0 e 10,0 volts
Resolução:	11 bits (10 bits + polaridade)
Tempo de conversão:	4,75 ms
Tempo de amostragem:	2,048 ms
Taxas de conversão:	5, 10, 20, 50, 100 e 200 cps
Formato dos dados:	binário, complemento de 2

Tabela 2.4 - Características Básicas do ADC HP 59313A

A conversão A/D se processa pelo método da rampa dupla que consiste basicamente de dois estágios:

1) A tensão desconhecida V_e é aplicada à entrada de um circuito integrador, cuja tensão inicial de saída V_o é zero, durante um intervalo de tempo fixo TF determinado pela base de tempo do conversor. Ao final deste intervalo, a tensão de entrada é desligada e a saída do integrador estabiliza-se em uma tensão dada por

$$V_o(TF) = -(1/RC) \int_0^{TF} V_e(t) dt$$

ou, quando V_e for constante, por

$$V_o(TF) = -(1/RC)V_e TF \quad (2.5)$$

onde R e C são constantes do integrador.

2) Uma tensão de referência, de valor conhecido V_r e polaridade oposta à tensão V_e , é então aplicada ao integrador e o tempo gasto para que o mesmo retorne à sua condição inicial, TD , é armazenado em um contador, ou seja,

$$0 = V_o(TF) - \{ -(1/RC)V_r TD \} \quad (2.6)$$

Comparando as eq. (2.5) e (2.6) podemos ver que

$$-(1/RC)V_e TF = -(1/RC)V_r TD$$

ou que,

$$V_e = V_r (TD/TF)$$

Como a base de tempo do conversor é constante durante todo o processo, o resultado acima pode ser reescrito como

$$V_e = V_r (ND/NF) \quad (2.7)$$

onde NF é o número de contagens do tempo fixo e ND é o número de contagens da fase de descarga do integrador. Como se pode ver, o resultado independe dos valores de R e C o que é uma característica muito importante desse método de conversão.

Com relação ao processo de conversão, devemos notar ainda que, em virtude da integração do sinal, as componentes de "alta frequência" serão praticamente eliminadas do resultado final. Nesse aspecto, o integrador tem um comportamento semelhante a um filtro conforme se pode ver na Fig 2-6, onde mostramos o resultado da integração em função da frequência do sinal de entrada. E justamente esse comportamento que faz com que esse ADC seja relativamente insensível às "altas frequências".

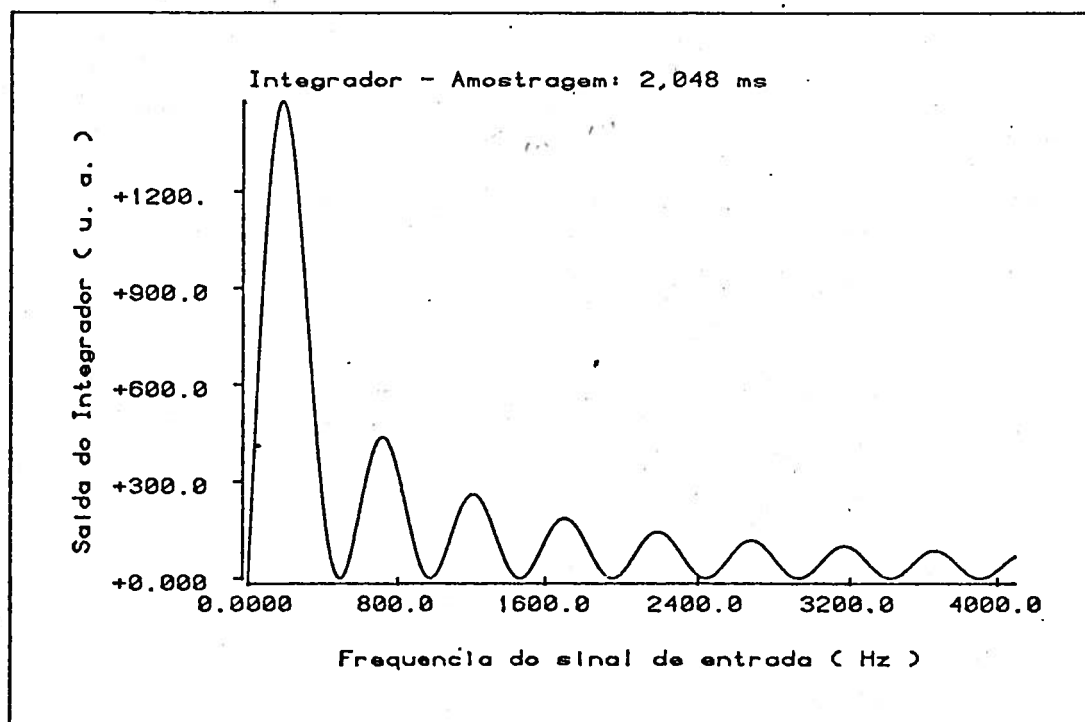


Fig 2-6: Integrador - resposta à frequência

2.2.3 Controle da Varredura do Campo

Como vimos, a varredura do campo magnético é controlada por um motor síncrono. Este motor, além de acionar o potenciômetro de geração da rampa, aciona também um outro potenciômetro que faz parte do circuito de controle do campo e é o componente responsável pela variação do campo (varredura).

A direção de rotação do motor - determinada pelos capacitores presentes no circuito - é controlada por uma chave de duas posições, localizada no painel frontal da fonte, que permite a reversão do movimento, fazendo com que o campo possa ser incrementado ou decrementado ("Increase", "Decrease"), de acordo com as necessidades da experiência.

Para colocar esse circuito sob o controle do computador, foram instalados dois relés, segundo o diagrama da Fig. 2-7. Conforme se pode observar, os contatos dos relés estão em paralelo com os contatos da chave, de modo que o acionamento de RL1 inicia a varredura no sentido "Increase" e o de RL2, no sentido "Decrease".

Os contatos adicionais dos relés são usados para inibir os contatos da chave original, evitando assim que um acionamento acidental da mesma durante uma sessão de medições possa comprometer o funcionamento do sistema.

O acionamento de RL1 e RL2 é comandado por dois relés de baixa potência, contidos em um dos cartões funcionais do multiprogramador. Este sistema de "relé acionando relé", foi usado como uma medida extra de segurança para aumentar a isolação entre o sistema de computação e a fonte do eletro-ímã, pois a tensão comutada por RL1 e RL2 é de 127 Vca.

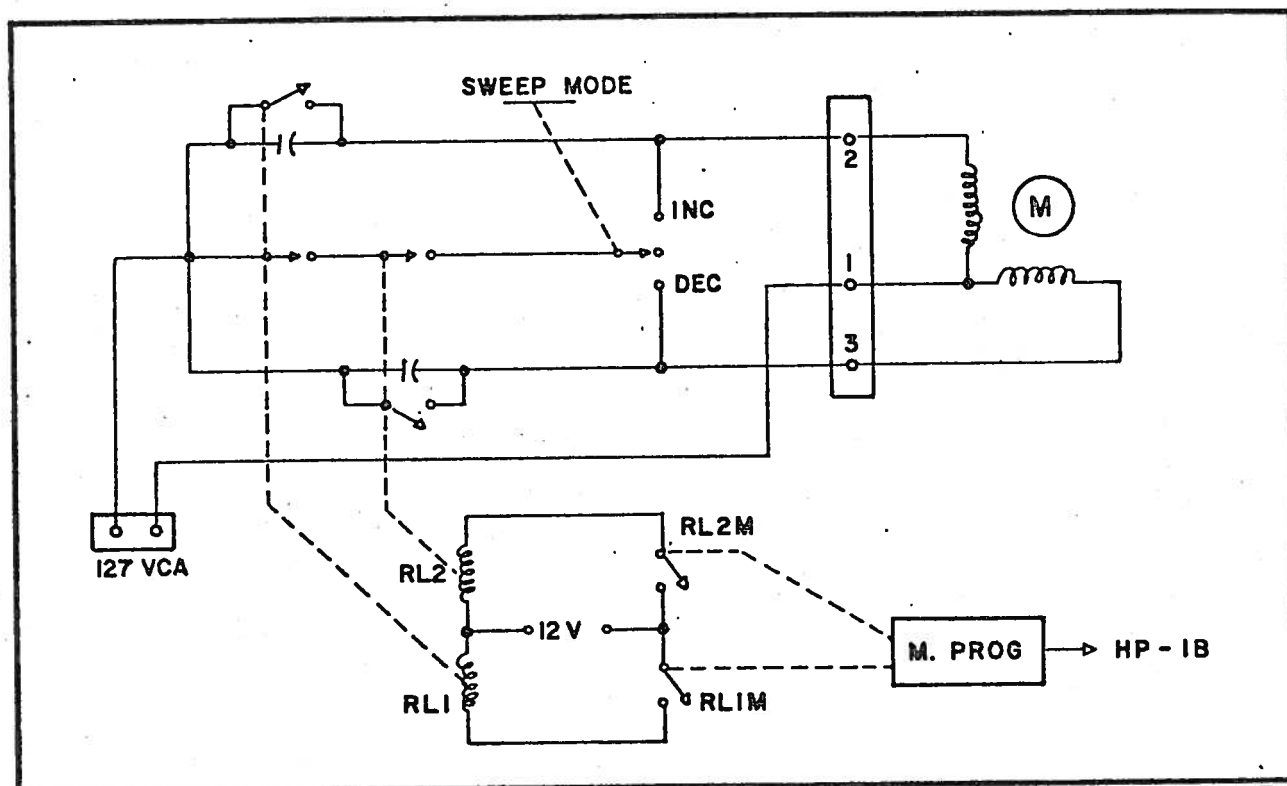


Fig. 2-7: Circuito de Controle da Varredura

A operação dos relés é feita através das rotinas RELE e RELAY (Ap. 4), que foram escritas para esta aplicação mas constituem também um exemplo das técnicas de programação do cartão funcional de relés do multiprogramador.

2.2.4 O Registro dos Espectros

Todo o processo de registro dos espectros é controlado pelo programa SMAP. Este programa, cuja listagem se encontra no apêndice 2, interage com o usuário através de uma linguagem de comandos parametrizados, bem semelhante a um sistema operacional.

Com o uso dos comandos do programa são feitos os ajustes preliminares do sistema, a aquisição dos dados e também a gravação de arquivos, exibição de gráficos, etc.

A aquisição de dados é feita com base nos métodos já descritos neste capítulo e de acordo com a teoria exposta no capítulo 1.

No tocante aos instrumentos usados, a maior dificuldade que enfrentamos foi devida ao fato de que o ADC HP 59313A, embora dispondo de 4 canais de entrada, só permite a operação de 1 canal em cada conversão, tornando-se impossível, por isso, a aquisição simultânea dos dados relativos às intensidades do campo magnético e do sinal de ressonância. Para contornar esta dificuldade idealizamos uma outra maneira de fazer as medidas, a partir da montagem representada na Fig. 2-8.

Nessa montagem, o sinal da rampa é ligado permanentemente ao canal 4 do ADC. O sinal de ressonância, que vem da saída do amplificador "lock-in", é ligado aos canais 1, 2 ou 3 que são calibrados com sensibilidades diferentes para acomodar sinais de maior ou menor intensidade.

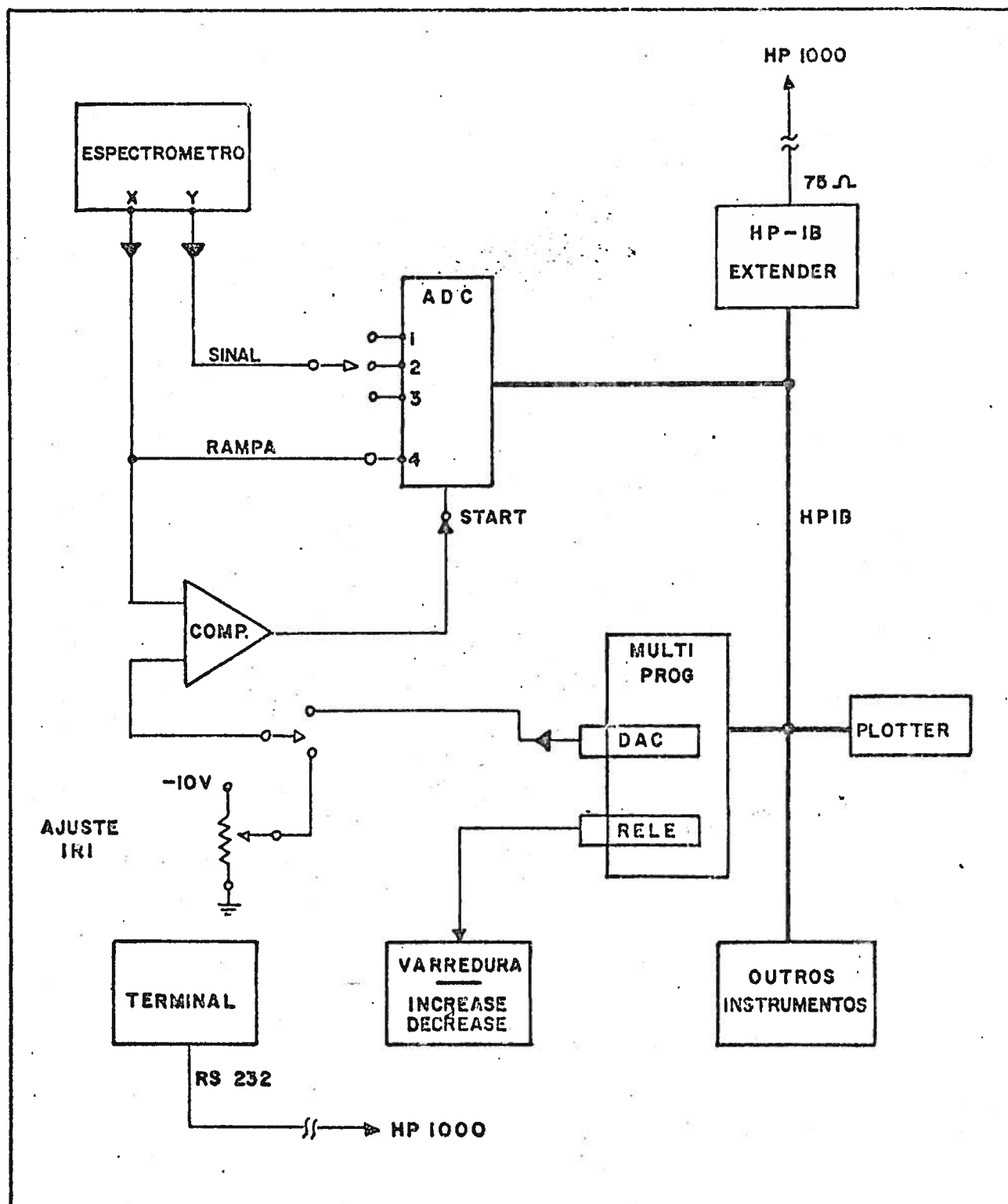


Fig. 2-8: Diagrama Básico do SMAP

Para disparar o processo de medida e assegurar que a aquisição seja iniciada em um valor bem determinado do campo magnético; foi montado um comparador analógico, cuja saída foi conectada ao "external start" do ADC e cujas entradas foram ligadas, respectivamente, ao sinal da rampa (canal 4) e a uma fonte de tensão ajustável de 0 a -10 Volts. Essa fonte de tensão pode ser escolhida pelo operador entre as saídas de um divisor de tensão, baseado em um potenciômetro de 10 voltas, ou de um conversor D/A de 12 bits instalado no multiprogramador.

Um indicador luminoso (LED), ligado à saída do comparador, informa se a tensão da rampa está acima ou abaixo da tensão ajustada pelo operador e é justamente esta tensão que determina, no sistema SMAP, o que chamamos de Início da Região de Interesse (IRI).

Para que essa técnica funcione corretamente, é necessário que antes do início da aquisição de um espectro, o controle de "sweep" seja ajustado de forma que a tensão da rampa fique um pouco acima do ponto de transição do comparador, antes portanto do IRI. Depois deste ajuste o processo é iniciado e a chave da varredura é ligada na posição de campo crescente ("Increase") pelo operador ou, opcionalmente, pelos relés do multiprogramador.

Assim que a varredura começa a funcionar, a tensão da rampa diminui no sentido de -10 V. Ao passar pelo ponto ajustado no comparador (IRI), uma transição aparecerá na saída do mesmo, disparando o relógio do ADC que começa a fazer as conversões programadas.

Este procedimento nos permite disparar de uma maneira bem determinada o início das conversões, mas não resolve o problema da medição simultânea do campo e do sinal de ressonância. Dada a impossibilidade (econômica) do uso de um outro ADC, resolvemos então abordar o problema usando a seguinte técnica:

No início do processo de aquisição, ou seja, na primeira conversão, é feita uma medição da tensão da rampa (canal 4). Imediatamente após esta medição, o canal de entrada do ADC é trocado, de modo a tornar ativo o canal que se encontra ligado à saída do "lock-in", e são realizadas N_p medições da tensão do espectro, onde N_p é um número pré-determinado pelo usuário. Imediatamente após a N_p -ésima medição, o canal 4 é novamente ativado e é feita uma última medição da tensão da rampa.

No final desse processo, teremos um conjunto de N_p+2 pontos, onde os pontos inicial e final referem-se à tensão da rampa e os demais, ao espectro. Como a rampa varia linearmente com o tempo e a taxa de aquisição é uniforme, os N_p+2 pontos estarão uniformemente espaçados no tempo e conseqüentemente os N_p pontos do espectro estarão uniformemente espaçados com relação ao campo magnético.

A obtenção dos valores do campo para cada ponto do espectro torna-se então um processo bastante simples, conforme vimos na sec. 2.2.1.

Para o desenvolvimento dessas ideias no programa SMAP, tivemos de lançar mão do procedimento especial de entrada de dados, chamado de "CLASS READ" (sec. 1.7), além de técnicas mais comuns como acesso direto à memória, etc., conforme mostraremos a seguir.

Na fase de ajustes e inicialização do programa, são tomadas algumas decisões relacionadas principalmente com os parâmetros da experiência:

- A duração TOTAL da varredura é passada ao programa através do comando TV.
- O comprimento da região de interesse, RI, medido em unidades de "Percent of Range" é passado pelo comando PV.
- A taxa de conversão do ADC, f, é escolhida pelo comando FC.
- Um canal do ADC com sensibilidade adequada ao sinal proveniente do "lock-in" é escolhido com o comando CA.
- A rampa é calibrada através do comando CR tal como descrito na seção I deste capítulo.
- O comparador é ajustado pelo usuário de tal forma que a transição ocorra no início da região de interesse (IRI).

A partir desse ponto, o programa prepara o ADC para as conversões e calcula o número de conversões a realizar através da relação

$$N = T_v * (RI/100) * f \quad (2.8)$$

onde T_v = tempo total de varredura ("sweep time")

RI = comprimento da região de interesse (PV)

f = taxa de conversão, em Hz

Após estes cálculos e procedimentos, o programa estará apto a iniciar o processo de aquisição do espectro, o que acontecerá quando lhe for dado o comando AQ.

Uma vez recebido o comando AQ, a sequência de eventos que leva à aquisição do espectro é a seguinte: (Figs. 2-9 e 2-10)

- Como mais de um programa pode estar sendo executado pela CPU, a opção de "memory lock" é ativada para evitar que o SMAP seja retirado da memória por outro programa de maior prioridade e que esteja habilitado para tal ação.
- Os circuitos de DMA (Acesso Direto à Memória) são inicializados para garantir um fluxo mais rápido dos dados do ADC para a memória.
- O ADC é programado com os seguintes parâmetros:
 - canal ativo: 4 (tensão da rampa)
 - start : externo, via saída do comparador
 - taxa : f (valor dado pelo comando FC)

Neste instante, ou seja, alguns milissegundos após o recebimento do comando AQ, a varredura já pode ser iniciada através do acionamento da chave "Increase", o que fará com que a tensão da rampa

comece a diminuir. Quando a tensão da rampa atingir o valor previamente ajustado no comparador (IRI), o ADC será disparado, marcando o início das aquisições ($t = 0$) e ter-se-á uma nova sequência de eventos que é a seguinte:

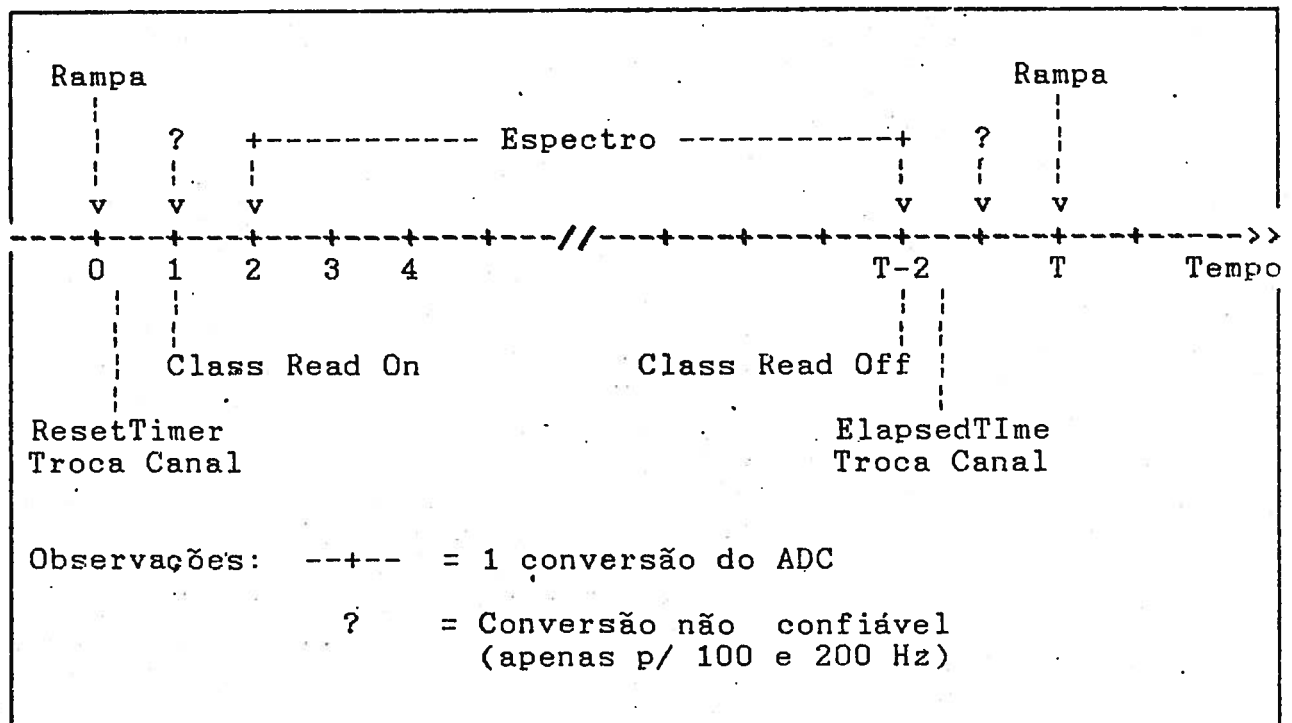


Fig. 2-9: Sequência de Eventos da Aquisição dos Dados

- No instante $t=0$ o ADC converte a tensão presente no canal 4 (rampa) e transmite o resultado para o computador.
- O computador recebe e salva esse dado e imediatamente reprograma o ADC, tornando ativo o canal que se encontra ligado ao "lock-in" (passado pelo comando CA) e dispara o relógio do sistema operacional para posterior verificação do tempo gasto na aquisição.

- Em seguida o computador chama a rotina de leitura por classe, passando-lhe o número de conversões a realizar. A partir deste ponto, o sistema operacional encarrega-se da leitura dos dados, em intervalos regulares, tendo como base de tempo o relógio do ADC. O programa SMAP é "retirado do ar" e colocado em estado de suspensão até que todos os pontos sejam lidos.

Terminada a leitura, o sistema operacional é avisado e coloca novamente "no ar" o programa SMAP, a partir do ponto em que ele havia sido suspenso. O SMAP ganha novamente o controle da aquisição e toma as seguintes providências:

- Salva os dados lidos pelo sistema operacional pois os mesmos, até este instante, encontram-se em uma região da memória que é de uso comum para todos os programas.
- Salva o conteúdo do relógio do sistema operacional.
- Troca novamente o canal ativo do ADC para o canal 4 e faz mais duas leituras da tensão da rampa.

Feitas essas leituras, a opção de "Memory Lock" e o sistema de DMA são desativados e o encerramento da aquisição é sinalizado no terminal do operador.

Se o programa estiver também controlando a varredura (modo AUTO) o programa auxiliar INDEC é despachado para acionar os relés do multiprogramador e reposicionar a varredura no ponto IRI. Caso a operação esteja ocorrendo no modo MANUAL o operador deve tomar a

iniciativa de desligar a varredura e reposicionar os controles.

Já com os dados colocados sob seu controle e não mais na memória temporária usada na operação de leitura por classe, o programa verifica se o fundo de escala do ADC foi atingido ou seja, se houve saturação, e informa quantas vezes esta situação ocorreu. Caso o fundo de escala não tenha sido atingido, o programa calcula a leitura máxima do ADC e informa ao usuário para que ele possa ter uma idéia da ocupação da faixa dinâmica do ADC. No caso de saturação, cabe ao usuário verificar se existe algo de aproveitável no espectro como, por exemplo, uma linha de baixa intensidade, etc.

Como o processo de leitura por classe só permite a inspeção dos dados após a leitura de todos os pontos, torna-se impossível detectar uma saturação ao longo das medições. Por isso, o usuário deve ser cuidadoso e escolher um canal do ADC que tenha uma sensibilidade suficiente para acomodar a maior intensidade existente no espectro. Para facilitar essa escolha, o SMAP dispõe do comando AD que permite a realização de conversões "avulsas", em qualquer canal, independentes do comando de aquisição.

Para completar o processo de aquisição, falta ainda a informação da intensidade do campo magnético correspondente a cada ponto do espectro. Esta informação é obtida da seguinte maneira:

Conforme se pode observar na Fig. 2-9, são feitas leituras da tensão da rampa nos instantes $t = 0$ e $t = T$ (as outras leituras serão discutidas posteriormente).

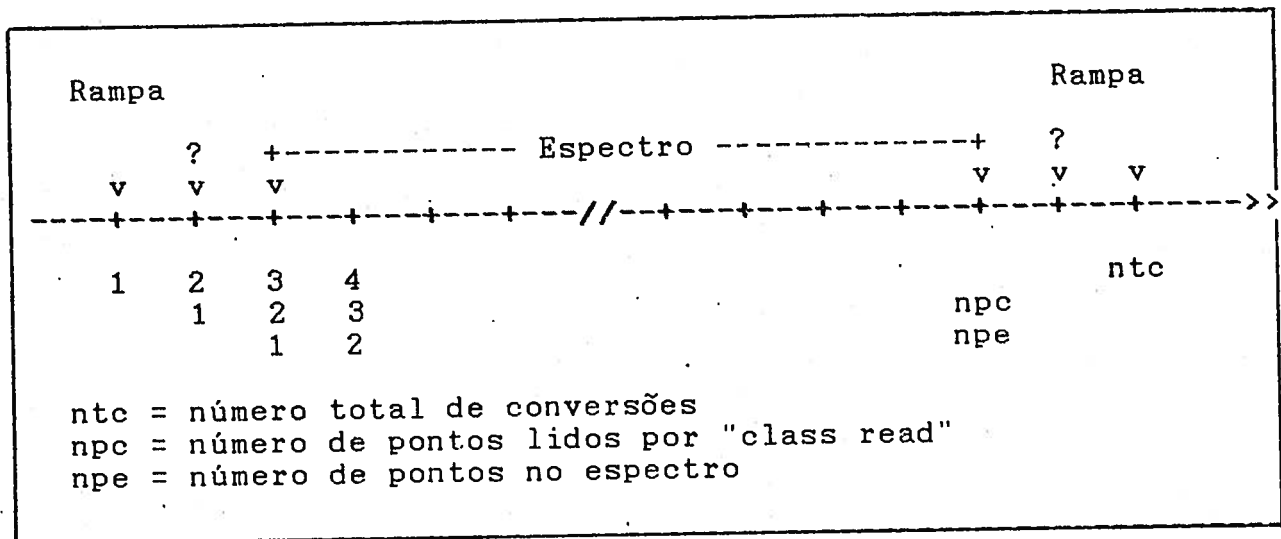


Fig. 2-10: Sequência de Eventos na Aquisição dos Dados II

A partir dos dados obtidos na calibração da rampa (comando CR) o campo nos instantes $t=0$ e $t=T$ pode ser calculado por

$$B(0) = BI = a * IVI + b \quad (2.9)$$

$$B(T) = BF = a * IVF + b \quad (2.10)$$

onde

a, b = parâmetros da rampa

IVI = tensão da rampa em $t=0$

IVF = tensão da rampa em $t=T$

BI = campo no início da aquisição ($t=0$)

BF = campo no final da aquisição ($t=T$)

Ainda com referência às Figs. 2-9 e 2-10, pode-se observar que as conversões feitas nos instantes $t=1$ e $t=T-1$ foram assinaladas como "conversões não confiáveis" (?).

O motivo para esta não confiabilidade prende-se ao fato de que nos intervalos $(0, 1)$ e $(T-2, T-1)$ a CPU tem que executar outras tarefas além da troca de canal e por isso não consegue trocar o canal em tempo hábil, fazendo com que as conversões em $t=1$ e $t=T-1$ sejam efetuadas antes que a troca de canal se processe.

Como consequência, a leitura em $t=1$ ainda contém o sinal da rampa e a leitura em $t=T-1$ ainda contém o sinal de ressonância. Embora esta dificuldade somente apareça quando o conversor trabalha em taxas de 100 e 200 aquisições por segundo, preferimos ignorar essas leituras em todas as taxas de aquisição, para evitar a criação de uma condição de exceção no programa. Deste modo, os pontos do espectro serão representados então pelas conversões efetuadas de $t=2$ até $t=T-2$.

Chamando de N_{ta} o número total de conversões efetuadas, teremos que (Fig. 2-10)

$$N_{pe} = N_{ta} - 4 \quad (2.11)$$

$$N_{pc} = N_{ta} - 3 \quad (2.12)$$

onde

N_{pe} = número de pontos do espectro

Npc = número de pontos lidos em "class read"

Nta = número total de aquisições

Considerando as eq. (2.8) e (2.9) e chamando de B_inc a variação do campo entre duas conversões consecutivas, teremos que:

$$B_inc = (BF - BI)/(Nta - 1) \quad (2.13)$$

e portanto, o campos correspondentes ao primeiro e ao último pontos do espectro, serão dados por:

$$hi = BI + 2 * B_inc \quad (2.14)$$

$$hf = BF - 2 * B_inc \quad (2.15)$$

Com base nesses resultados, o campo para qualquer ponto do espectro poderá então ser obtido de:

$$h(n) = hi + (n-1) * B_inc \quad (2.16)$$

onde $n = 1, 2, 3, \dots, Npc$.

O cálculo de $h(n)$ para todos os pontos do espectro encerra o comando AQ. A partir deste ponto, os dados ficam na memória e podem ser exibidos no vídeo ou no plotter. A Fig. 2-11 mostra um resultado típico do programa.

Após a exibição, os dados considerados de interesse podem ser gravados em disco ou fita magnética para processamento posterior.

A gravação, tanto na fita como no disco, é feita em arquivos de acesso direto, no formato binário, para poupar tempo e espaço. Estes arquivos podem entretanto ser convertidos em arquivos sequenciais com formato de 80 colunas ("imagem de cartão") no caso de se fazer necessária a transmissão para outros computadores através de fitas magnéticas ou linha serial (RS 232C). O programa MASPE (Ap. 1) dispõe de recursos para esta conversão nos comandos LI (listar) e GR (gravar)

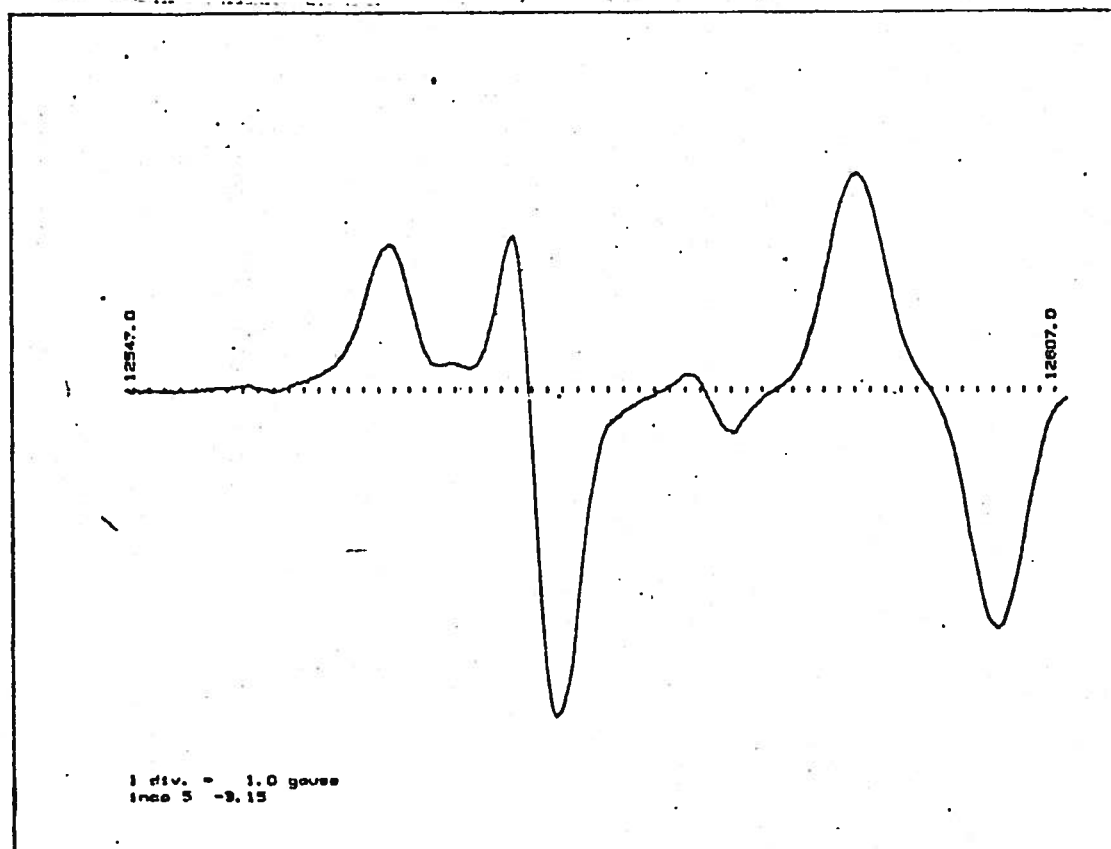


Fig. 2-11: Registro Típico Produzido Pelo SMAP

2.3 Recursos Adicionais do SMAP

Além do registro dos espectros, o programa SMAP pode realizar uma série de outras operações, relacionadas com o desenvolvimento da experiência de EPR, que foram nele colocadas com o objetivo de facilitar o trabalho do pesquisador. Essas operações estão descritas detalhadamente no Apêndice 2 e algumas delas serão apresentadas a seguir, a título de ilustração.

2.3.1 A escolha da taxa de aquisição dos dados.

A taxa de aquisição dos dados, ou seja, a frequência com que são feitas as conversões pelo ADC, é passada ao programa com o comando FC e pode ser escolhida entre os valores 5, 10, 20, 50, 100 e 200 cps (conversões por segundo).

Na prática, quando se usa o programa, uma das primeiras indagações que surgem é justamente a respeito de como se escolher essa frequência de aquisição. Para responder a esta questão e estabelecer um critério que facilite a escolha, vamos relembrar o mecanismo da aquisição de dados, discutido na sec. 1.1.

O teorema da amostragem uniforme no domínio do tempo afirma que se uma função $f(t)$ não contém nenhuma componente de frequência mais alta que f_m , então esta função pode ser completamente determinada por seus valores situados em intervalos uniformes cuja separação seja menor que $1/2f_m$.

No aspecto prático, este teorema nos permite criar a seguinte regra:

Para se amostrar um sinal $s(t)$, cujo conteúdo de frequência se estenda até f_M , devemos ter o ADC operando, a uma taxa maior que $2f_M$ conversões por segundo.

A observância desta regra é fundamental para o sucesso do processo de aquisição de dados porque, como vimos no Cap. 1, se amostrarmos um sinal que contenha, digamos, uma componente de frequência $f_R > f_M$ usando uma taxa de conversão $2f_M$, esta componente aparecerá no espectro como se tivesse uma frequência $f'_R < f_M$ devido ao fenômeno de falseamento da amostragem ("aliasing") e poderá comprometer seriamente a fidelidade dos dados.

Na Fig. 2-12 mostramos um exemplo típico de "aliasing", ocorrido na obtenção de um espectro de EPR de $KCaF_3Mn^{2+}$. Na parte superior da figura, temos um espectro corretamente amostrado, revelando seus vários detalhes. Na parte inferior, temos o mesmo espectro amostrado com uma taxa de conversão 4 vezes menor.

A simples comparação dos dois espectros mostra, claramente, os danos que o fenômeno de "aliasing" pode causar em um processo de aquisição, fazendo com que detalhes importantes, literalmente desapareçam da figura o que pode comprometer seriamente qualquer análise posterior que venha a ser feita a partir desses dados.

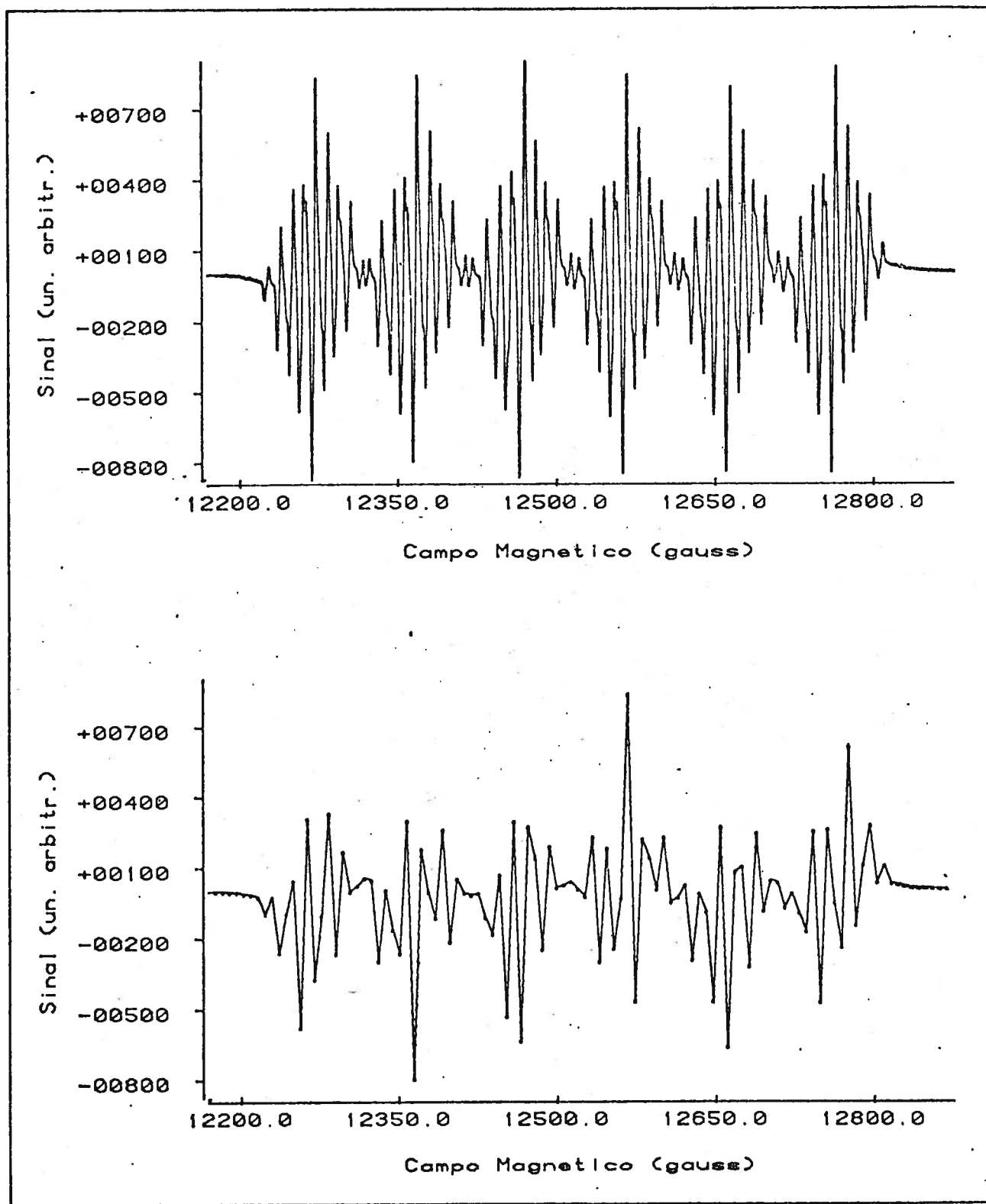


Fig. 2-12: Fenômeno de "aliasing" em um espectro de $\text{KCaF}_3\text{Mn}^{2+}$
 Parte superior: espectro corretamente amostrado
 Parte inferior: espectro falsamente amostrado

No caso específico das medidas de EPR, a aplicação do Teorema da Amostragem nos indica que, para termos uma representação correta de um espectro, devemos amostrar no mínimo dois pontos na linha mais estreita do mesmo.

Assim, se l é a largura da linha mais estreita, a densidade de amostragem, (número de pontos/largura da linha mais estreita) d_a , será

$$d_a = 2/l \quad (2.17)$$

e o número total de pontos em uma varredura de comprimento S será dado por

$$N = (2/l)*S. \quad (2.18)$$

Chamando de T_v o tempo de varredura ("sweep time") a frequência de aquisição poderá então ser calculada a partir de:

$$f_a = 2S/lT_v \quad (2.19)$$

No programa SMAP, o comando QF informa o valor da frequência de aquisição para um número n de pontos na linha mais estreita usando a relação $f_a = nS/lT_v$ mas, como o ADC só dispõe de algumas frequências de trabalho, o comando informa também a frequência disponível imediatamente acima de f_a .

Deve-se notar que o valor da frequência de aquisição, f_a , dado por (2.19) representa um mínimo para uma amostragem correta.

Para os casos em que os dados vão ser submetidos a processamentos posteriores, certamente o valor de n terá de ser substancialmente maior que 2 não só para atender às exigências dos algoritmos usados em tais processamentos, como também para garantir que alguma linha mais estreita, não conhecida a priori, não venha a passar despercebida devido ao "aliasing".

2.3.2 O ajuste do "offset"

Normalmente os amplificadores síncronos ("lock-in") dispõem de um ajuste de offset que permite adicionar uma tensão contínua ao sinal de saída, para compatibilização com os ajustes de fundo de escala do registrador X-Y e evitar que o gráfico, ao ser traçado, ultrapasse os limites eletromecânicos do mesmo.

Para espectros que são registrados apenas no papel, o valor dessa tensão de "offset" é irrelevante mas, para os espectros que são digitados para processamento posterior, a presença dessa componente contínua causa problemas nos programas de ajuste e em cálculos de integrais e de Transformadas de Fourier.

No caso das integrais, a presença da tensão de "offset" pode criar um retângulo tão grande abaixo da linha de base que a variação de "área" devida à linha de ressonância praticamente desaparece, conforme se vê nas Figs. 2-13 e 2-14.

Por outro lado, no caso das Transformadas de Fourier, o degrau criado pela tensão de "offset" superpõe-se na forma de um pulso quadrado à forma de onda original e dá origem a frequências espúrias no espectro, conforme se vê nas Figs. 2-15 e 2-16.

O sistema SMAP, por uma questão de filosofia, não permite que os dados de um espectro, uma vez registrados, sejam modificados pelo usuário mas, através do comando OS, o valor do "offset" na linha de base pode ser avaliado e registrado juntamente com os dados para uso posterior.

Para se avaliar o valor do "offset", o valor do campo magnético é ajustado manualmente em um ponto qualquer onde o sinal de ressonância seja nulo (linha de base). Neste ponto, são feitas 100 leituras da tensão e a média dessas leituras é tomada como valor do "offset".

De um modo geral, é aconselhável que os espectros sejam registrados com a tensão de "offset" o mais próximo possível de zero volts. Se isto não for possível, o programa de manipulação de espectros, MASPE, descrito no apêndice 1, possibilita uma correção precisa do nível da linha de base, ou seja, do valor de "offset" através de um comando que permite a adição ou subtração de constantes ao espectro. Deste modo, o usuário tem uma certa liberdade para variar o "offset" durante a aquisição o que lhe permite usar melhor os papéis do registrador analógico.

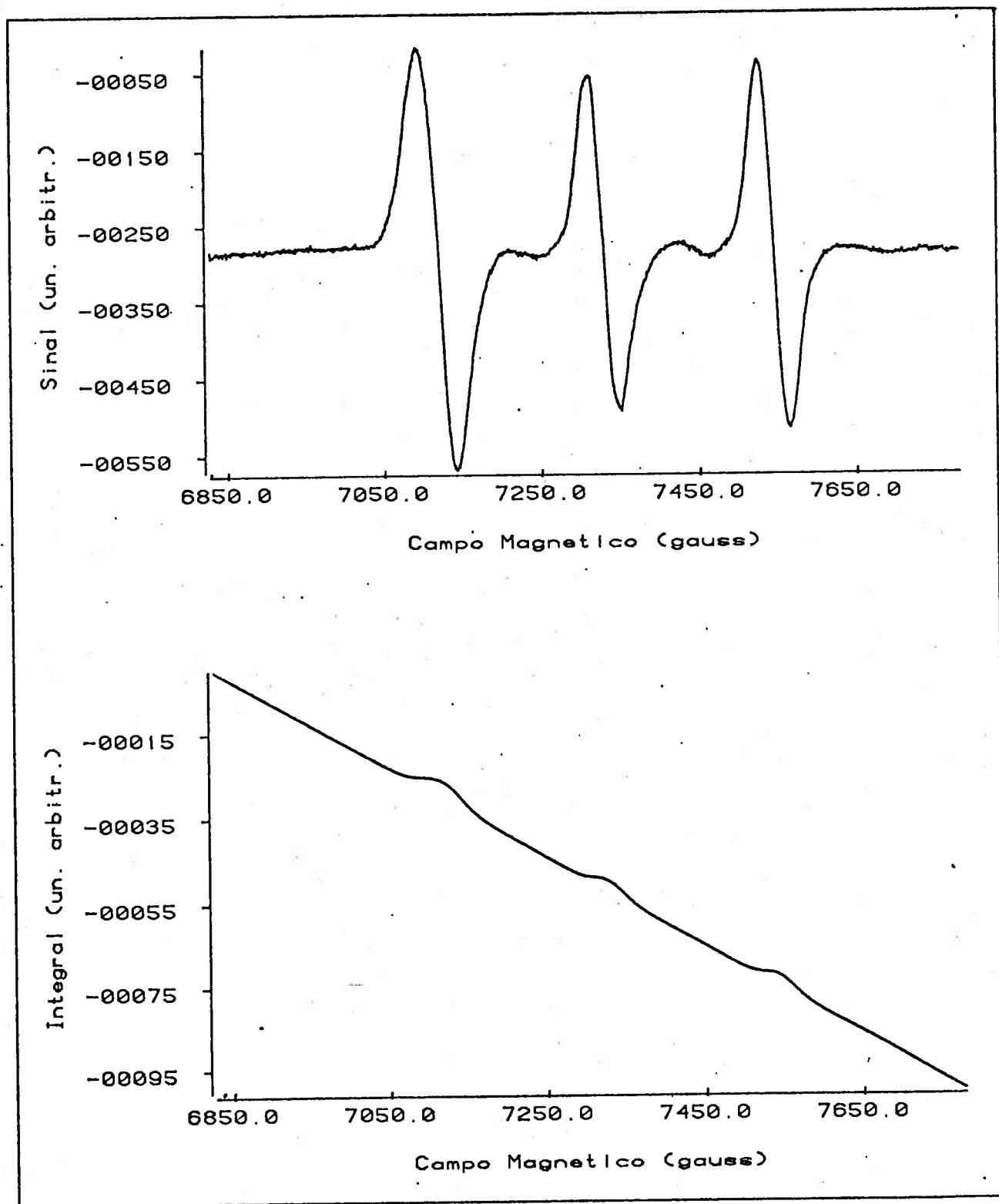


Fig. 2-13: Efeito do "offset" na integração de espectros
 Acima: espectro com "offset" diferente de zero
 Abaixo: integral do espectro

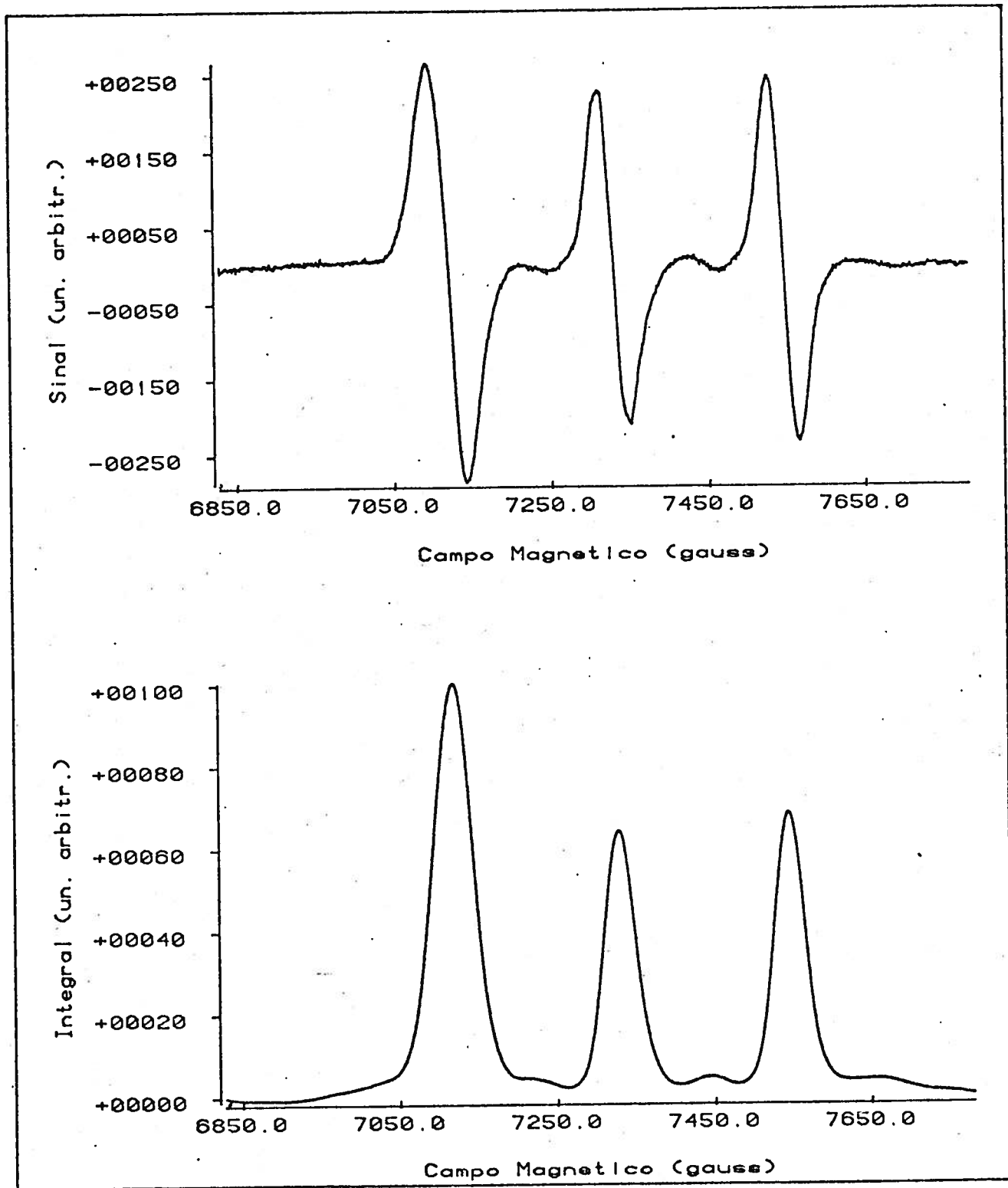


Fig. 2-14: Efeito do "offset" na integração de espectros
 Acima: Espectro da fig 2-13, com "offset" removido
 Abaixo: Integral do espectro com "offset" removido

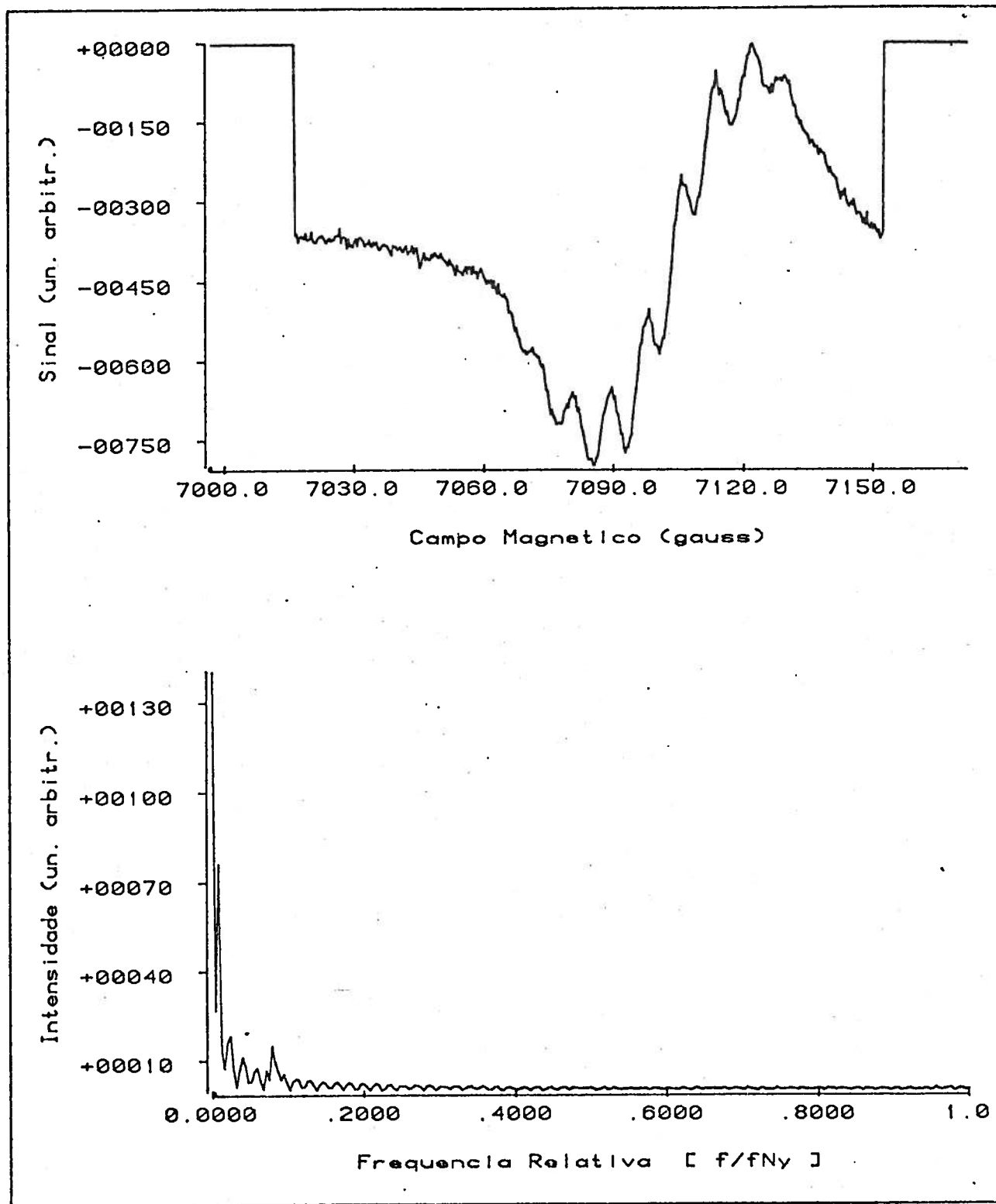


Fig. 2-15: Efeito do "offset" na Transformada de Fourier
 Acima: espectro com "offset" diferente de zero
 Abaixo: FFT do espectro com "offset"

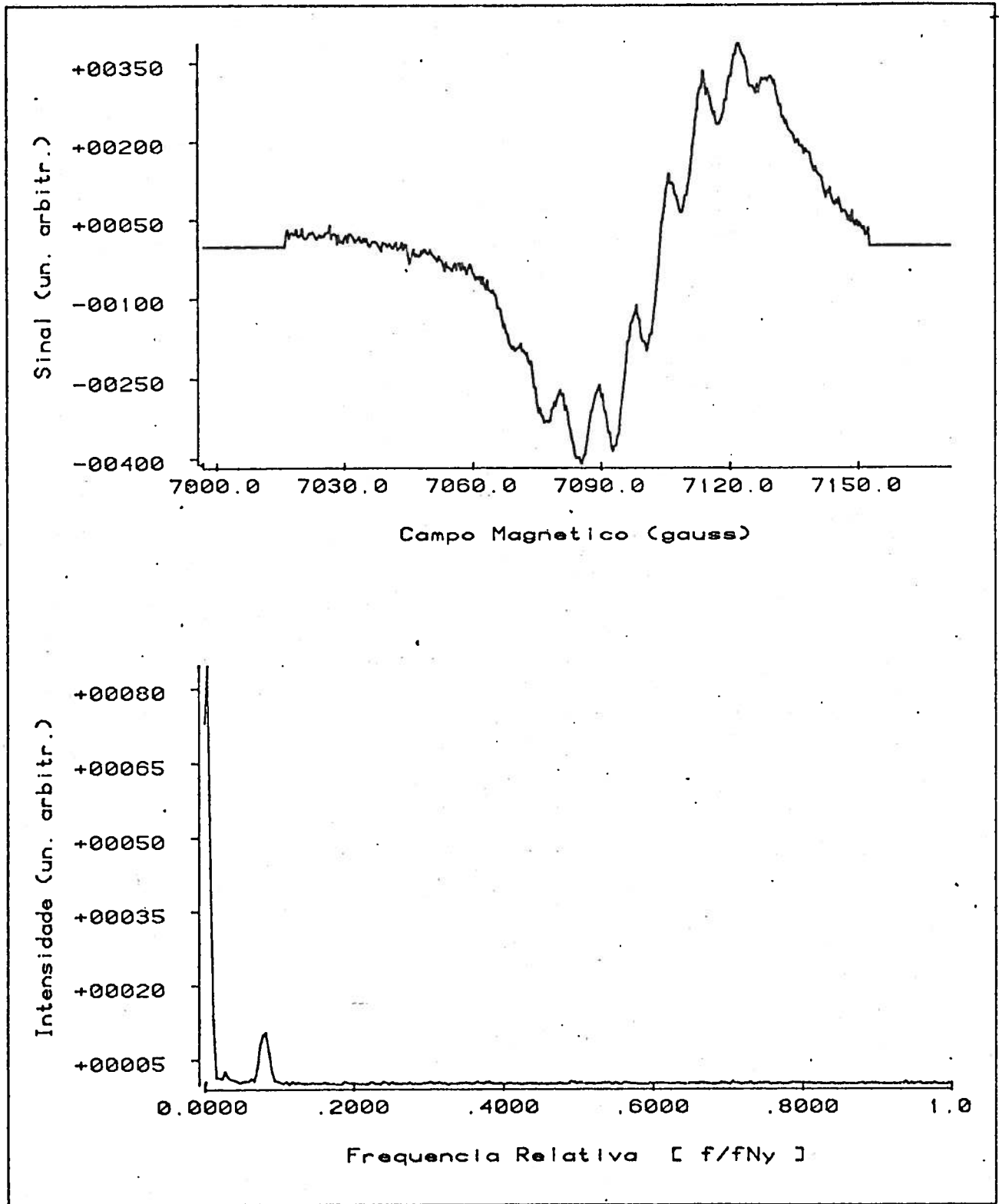


Fig. 2-16: Efeito do "offset" na Transformada de Fourier
 Acima: Espectro da Fig. 2-15 com "offset" removido
 Abaixo: FFT do espectro sem "offset"

2.3.3 A rotação da amostra

A rotação da amostra em torno do eixo vertical foi automatizada com o acoplamento mecânico entre o porta-amostras e o goniômetro motorizado IT6-DA^[9] que se encontra conectado ao sistema através do barramento GP-IB.

O controle do goniômetro foi incorporado ao programa SMAP de modo que, com o uso do comando GN, o operador pode colocar a amostra em qualquer posição acessível ao sistema mecânico com uma resolução de 0,01 graus. A adição do goniômetro motorizado ao porta-amostras simplifica em muito o levantamento das dependências angulares dos espectros pois evita o procedimento, nada prático, de girar o eletroímã.

2.3.4 O uso do barramento IEEE-488 (GP-IB)

A adição de instrumentos GP-IB ao SMAP é uma tarefa que pode ser realizada com relativa facilidade em virtude das características universais do barramento IEEE-488 e da estrutura modular adotada nos programas.

Em sua versão atual, o sistema incorpora comandos que permitem o acesso ao frequencímetro de micro ondas HP 5342A e ao multímetro Keythley 195A. Com esse acesso, o usuário pode obter um registro permanente da indicação desses instrumentos, o que é de muita utilidade em situações experimentais que envolvam, por exemplo, o controle da frequência do "klystron" e da temperatura da amostra.

2.4 Aplicações e Resultados

O programa SMAP é um programa de uso geral para as atividades de aquisição de dados em EPR e tem a grande vantagem de poder "coexistir" com a operação tradicional do espectrômetro, coexistência esta que se revelou muito cômoda na fase de ajustes preliminares que sempre precede uma sessão de medidas.

Durante uma sessão, fica a critério do operador fazer ou não a aquisição dos dados para uma dada temperatura, um dado ângulo, etc. Além disso, em virtude da estrutura de comandos utilizada, o programa pode ser usado parcialmente para, por exemplo, controlar a rotação da amostra, enquanto os espectros são registrados da forma analógica habitual.

Para os casos de espectros muito ruidosos, pode-se fazer uma série de varreduras e depois tirar a média dos espectros (signal averaging) desde que seja possível manter as condições da máquina suficientemente estáveis, durante todo o processo, para garantir a adição coerente dos espectros. Esta estabilidade nem sempre é mantida porque, como a melhoria da relação sinal/ruído no processo de média é proporcional a $\sqrt{N_v}$ (onde N_v é o número de varreduras), o tempo gasto na aquisição pode ser muito grande e acarretar uma desestabilização do espectrômetro. De qualquer forma, o recurso existe e poderá ser usado com proveito sempre que as condições experimentais o permitirem. Além disso, o uso dos filtros digitais pode constituir-se numa opção bem mais rápida para a redução dos ruídos conforme veremos no capítulo 3.

2.5 Resultados do SMAP

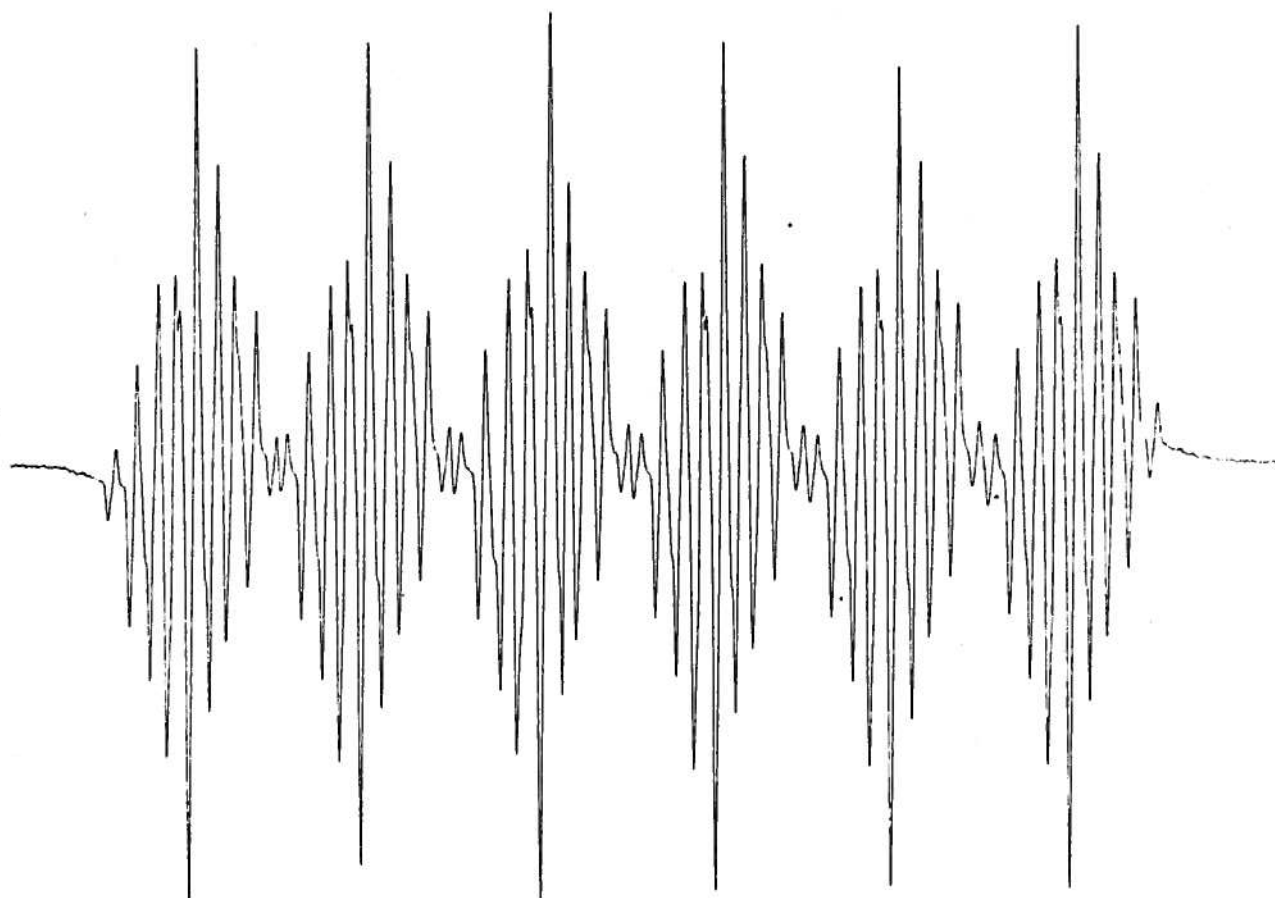
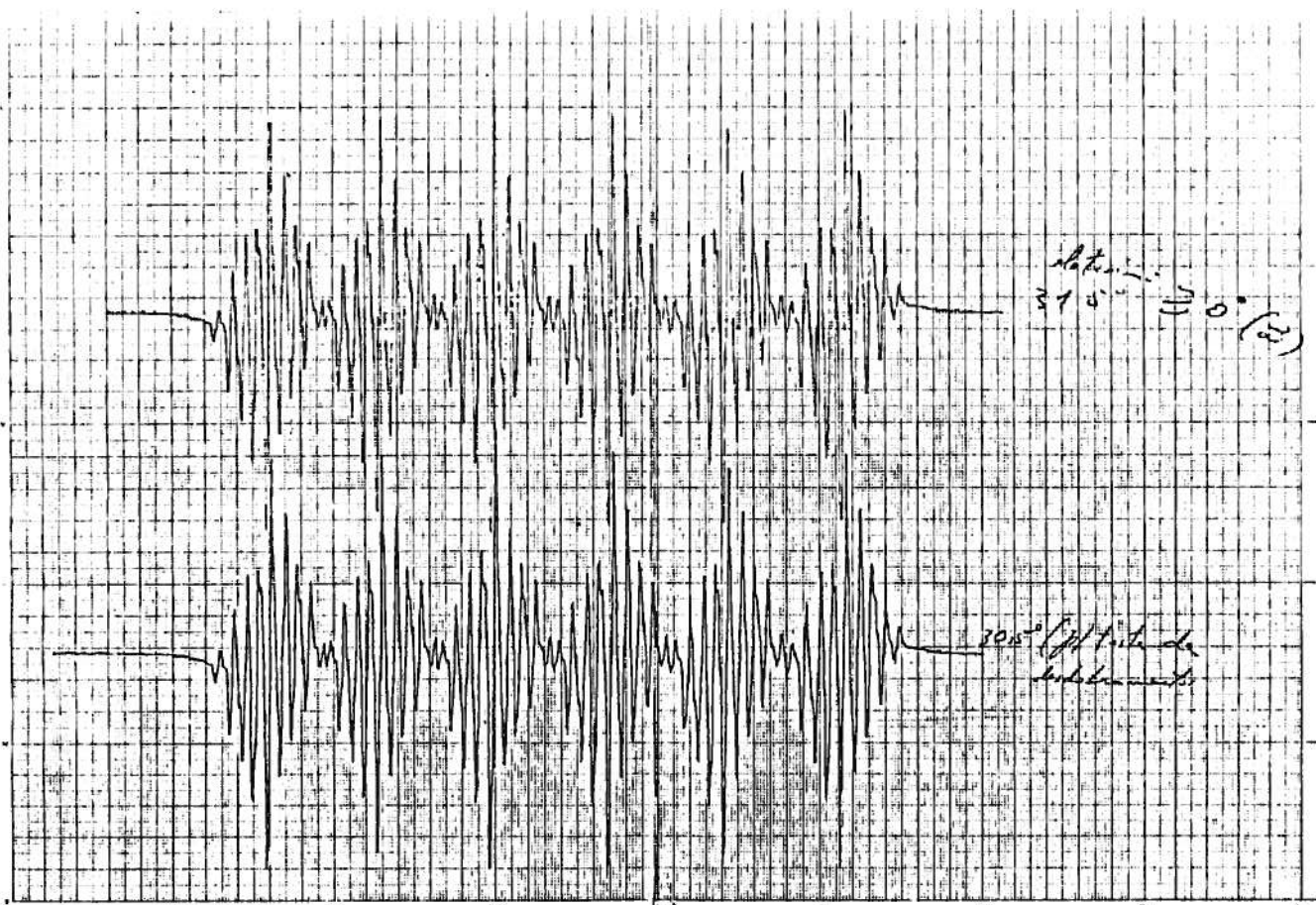
O sistema SMAP foi utilizado com pleno sucesso, ao longo de todo o seu desenvolvimento, em vários estudos no Laboratório de Ressonância Magnética[9,11,12,13,14,15].

Nas medidas com ele realizadas concentramos nossa atenção em três pontos fundamentais para uma avaliação de sua confiabilidade.

O primeiro ponto foi uma verificação da capacidade do sistema para registrar espectros ricos em detalhes. Embora pudéssemos avaliar "a priori" as condições ideais para o registro (sec. 2.3.1), havia uma grande expectativa em torno dos resultados, pois estas seriam as primeiras medidas em tempo real a serem feitas em nosso laboratório.

Para essa verificação, fizemos uma série de medidas dos espectros de $\text{KCaF}_3\text{Mn}^{2+}$ no espectrômetro de banda Q (35 GHz). Nelas, o SMAP foi usado "em paralelo" com o sistema convencional, ou seja, o registrador X-Y (analógico) foi mantido ligado durante a experiência e assim pudemos comparar os resultados obtidos pelos dois métodos e concluir que o sistema de monitoração passiva comportou-se como esperado, registrando corretamente todos os detalhes do espectro, como se pode ver na Fig. 2-17.

Esses mesmos dados, em virtude da riqueza de detalhes, foram também usados no estudo do fenômeno de "aliasing", mostrado na Fig. 2-12.



KCaF₃-Mn²⁺ HZ/9

Fig. 2-17: Espectros de $\text{KCaF}_3\text{Mn}^{2+}$ registrados pelos processos analógico (acima) e digital (abaixo).

O segundo ponto foi uma avaliação da influência de outros programas em execução no HP 1000, no desempenho do SMAP. Para essa avaliação, executamos inicialmente o SMAP com o computador completamente desocupado e anotamos os tempos "previsto" e "realizado" para a aquisição dos dados. Em seguida, colocamos dois outros programas em execução. Um deles, o TTT, calcula indefinidamente o $\text{seno}(x)$, onde x é um número qualquer. O outro, o LINK, usa intensamente a unidade de disco. Com esses programas ativados, colocamos o SMAP em execução nas mesmas condições anteriores, e anotamos os tempos "previsto" e "realizado". A comparação dos resultados mostrou-nos que a presença dos outros programas não afetou a execução do SMAP. Os dados obtidos estão apresentados na Fig. 2-18 e os passos seguidos na experiência são os seguintes:

- 1,2 O programa é colocado no modo de aquisição (CMD = AQ) e solicita providências do operador.
- 3 O programa inicia a aquisição dos dados e informa no terminal a duração prevista [Tta: 48.3 (segundos)]
- 4 O programa WHZAT (status) informa que neste instante nenhum programa está sendo executado. (A aquisição dos dados é feita pelo sistema operacional. [sec. 2.2.4])
- 4+ O programa WHZAT é executado e mostra, neste instante, os programas TTT (terminal 10) e LINK (terminal 17).
- 5 O fim do processo de aquisição é sinalizado no terminal.
- 6,6+ O tempo de aquisição é solicitado ao programa (CMD = TI) e exibido juntamente com o tempo previsto.

A comparação de 6 e 6+ mostra que em ambos os casos a aquisição completou-se em 48,31s. A diferença de 0,01s entre os tempos "previsto" e "realizado" aparece porque não se leva em conta o tempo que a CPU gasta na execução das instruções de aquisição.

CMD? ca.1

CA: 1 PU: -40 +40
FC: 10 TA: 48.30
TV: 60 NP: 480

CMD? aq

- 1- Posicione o botao da varredura antes do ponto de acionamento do comparador
- 2- De GO neste programa
- 3- Acione a varredura

SMA20 Suspended.

S=20 COMMAND ?90

Aquisicao em andamento
Aguarde...
Tta: 48.3

S=20 COMMAND ?wh,a1

16:42:40: 40

```

PRGRM T PRIOR PT SZ DO.SC.IO.WT.ME.DS.OP. .PRG CNTR. .NEXT TIME.
**FMS20 3 00050 20 17 * * * 3,SMA20 * * * * P:30671
SMA20 6E00003 10 36 . . . . 3,CL 036 . . . . P:12743

```

```

WHZAT 1 00002 0 . . . . 1, . . . . . P:27632
LOGON 3 00050 6 12 . . . . 3,CL 038 . . . . P:24755SMP
LGOFF 3 00090 18 9 . . . . 3,CL 039 . . . . P:23227
RSPNS 3 00005 9 4 . . . . 3,CL 037 . . . . P:22032
FMS17 3 00050 5 17 . . . 2,EG: 15,AV:2,ST:002 P:32102

```

ALL LU'S OK
ALL EOT'S OK

16:42:42:720

Fim-de-aquisicao

Leit. max. do ADC:
9.76563E-2X do fundo de escala
Integral do espectro: -39.

bi 0.E+0bf 0.E+0binc 0.E+0hl 0.E+0
CMD? ti

- * Tempos de aquisicao *
- Previsto:... 48.3
- Realizado:... 48.31

CMD? aq

- 1- Posicione o botao da varredura antes do ponto de acionamento do comparador
- 2- De GO neste programa
- 3- Acione a varredura

SMA20 Suspended.

S=20 COMMAND ?90

Aquisicao em andamento
Aguarde...
Tta: 48.3

S=20 COMMAND ?wh,a1

16:44:46:530

```

PRGRM T PRIOR PT SZ DO.SC.IO.WT.ME.DS.OP. .PRG CNTR. .NEXT TIME.
**FMS20 3 00050 20 17 * * * 3,SMA20 * * * * P:30671
SMA20 6E00003 10 36 . . . . 3,CL 036 . . . . P:12743

```

```

WHZAT 1 00002 0 . . . . 1, . . . . . P:27632
**FMS10 3 00050 8 17 * * * 3,TTT . . . . . P:30671
TTT 3 00099 13 2 . . . . 1, . . . . . P:22026
**FMS17 3 00050 5 17 * * * 3,LINI7 * * * * P:30671SJP
LINI7 6E00090 2 46 . . . . 1, . . . . . P:27756

```

```

LOGON 3 00050 7 12 . . . . 3,CL 038 . . . . P:24755SMP
LGOFF 3 00090 18 9 . . . . 3,CL 039 . . . . P:23227
RSPNS 3 00005 9 4 . . . . 3,CL 037 . . . . P:22032

```

ALL LU'S OK
ALL EOT'S OK

16:44:49:660

Fim-de-aquisicao

Leit. max. do ADC:
0.E+0Z do fundo de escala
Integral do espectro: 0.E+0

bi 0.E+0bf 0.E+0binc 0.E+0hl 0.E+0
CMD? ti

- * Tempos de aquisicao *
- Previsto:... 48.3
- Realizado:... 48.31

Fig. 2-18: Influencia de outros programas no "tempo de aquisicao" do SMAP.

O terceiro ponto foi um teste do "método de calibração da rampa" (sec 2.2.1) para o registro das intensidades do campo magnético. Para realizar este teste, usamos várias séries de registros de espectros de KH_2PO_4 (KDP), KH_2AsO_4 (KDA), KD_2AsO_4 (DKDA), RbH_2AsO_4 (RDA) e $\text{KCaF}_3\text{Mn}^{2+}$.

Para cada série de espectros, anotamos os valores inicial e final do campo magnético, calculamos a largura total do espectro, a média e o desvio padrão de cada conjunto de dados e resumimos os resultados nas tabelas 2-5, 2-6, 2-7, 2-8 e 2-9.

Os dados das tabelas 2-5 e 2-6 foram tomados com o ADC "frio", enquanto que os das tabelas 2-7 e 2-8 foram tomados após um período de estabilização de cerca de 2 horas, tal como sugerido pelo fabricante.[10] Comparando as tabelas, podemos verificar que a estabilização do ADC é um fator importante para a redução na dispersão dos valores do campo magnético e por isso, é aconselhável que o tempo de estabilização seja sempre respeitado antes de se iniciar as medições.

A tabela 2-9 mostra os valores do campo no centro da varredura, para uma série de espectros de RDA. Essas medidas foram tomadas após a estabilização térmica de todo o sistema e a rampa foi recalibrada durante a experiência. A dispersão observada neste caso é da ordem de 1 gauss. Este valor é justamente o que podemos esperar como tolerância para a intensidade do campo, em varreduras da ordem de 1000 gauss, com o sistema bem estabilizado.

Programa Data1

KDP - Dep. Angular/Serie #2

Fita Magnetica

No.	Hmin	Hmax	Larg
01	5918.1	7463.2	1545.1
02	5918.1	7457.7	1539.6
03	5920.9	7466.0	1545.1
04	5918.1	7460.5	1542.4
05	5918.1	7463.2	1545.1
06	5915.4	7460.5	1545.1
07	5918.1	7466.0	1547.9
08	5918.1	7466.0	1547.9
09	5923.6	7468.7	1545.1
10	5926.4	7476.9	1550.5
11	5926.4	7468.7	1542.3
12	5923.6	7471.5	1547.9
13	5926.4	7471.5	1545.1
14	5923.6	7474.2	1550.6
15	5923.6	7468.7	1545.1
16	5923.6	7466.0	1542.4
17	5920.9	7466.0	1545.1
18	5918.1	7460.5	1542.4
19	5918.1	7466.0	1547.9

Media	5921.0	7466.4	1545.4
D Padr	3.4024	4.8152	2.8006
DP rel	.0575	.0645	.1812

Tabela 2-5: ADC "frio"

Programa Data1

KDP - Var. da Temperatura #1

Fita Magnetica

No.	Hmin	Hmax	Larg
01	5852.7	7666.4	1813.7
02	5852.7	7658.1	1805.4
03	5852.7	7660.9	1808.2
04	5852.7	7658.1	1805.4
05	5855.4	7660.9	1805.5
06	5855.4	7669.1	1813.7
07	5855.4	7660.9	1805.5
08	5855.4	7666.4	1811.0
09	5855.4	7669.1	1813.7
10	5858.2	7663.6	1805.4
11	5855.4	7666.4	1811.0
12	5858.2	7669.1	1810.9

Media	5855.0	7664.1	1809.1
D Padr	1.8839	4.0190	3.4367
DP rel	.0322	.0524	.1900

Tabela 2-7: ADC estável

Programa Data1

KCaF3Mn2+ H//a+xx 35 GHz

Fita Magnetica

No.	Hmin	Hmax	Larg
01	12153.	12865.	712.0
02	12154.	12870.	716.0
03	12158.	12875.	717.0
04	12158.	12871.	713.0
05	12158.	12871.	713.0
06	12159.	12869.	710.0
07	12158.	12871.	713.0
08	12163.	12877.	714.0

Media	12158.	12871.	713.5
-------	--------	--------	-------

D Padr	2.8696	3.4073	2.0616
DP rel	.0236	.0265	.2889

Tabela 2-6: ADC "frio"

Programa Data1

KDP - avg 16 - Temp. Cte. #1

Fita Magnetica

No.	Hmin	Hmax	Larg
01	5858.2	7666.4	1808.2
02	5858.2	7671.9	1813.7
03	5858.2	7663.6	1805.4
04	5858.2	7663.6	1805.4
05	5858.2	7669.1	1810.9
06	5858.2	7671.9	1813.7
07	5858.2	7663.6	1805.4
08	5858.2	7666.4	1808.2
09	5858.2	7671.9	1813.7
10	5858.2	7666.4	1808.2
11	5860.9	7666.4	1805.5
12	5860.9	7671.9	1811.0
13	5858.2	7666.4	1808.2
14	5858.2	7663.6	1805.4
15	5858.2	7666.4	1808.2
16	5858.2	7669.1	1810.9

Media	5858.5	7667.4	1808.9
-------	--------	--------	--------

D Padr	.8930	3.0675	3.0057
DP rel	.0152	.0400	.1662

Tabela 2-8: ADC estável

Tabelas do método de calibração da rampa

Programa Data1

RDA:T12+

#1

/ressoi/data/ALVxx.dat

No.	Hmin	Hmax	Larg
01	7052.7	0.0	-7053.
02	7052.2	0.0	-7052.
03	7053.0	0.0	-7053.
04	7050.5	0.0	-7051.
05	7050.6	0.0	-7051.
06	7051.6	0.0	-7052.
07	7051.1	0.0	-7051.
08	7051.0	0.0	-7051.
09	7051.6	0.0	-7052.
10	7051.0	0.0	-7051.
11	7051.0	0.0	-7051.
12	7052.0	0.0	-7052.
13	7050.0	0.0	-7050.
14	7050.0	0.0	-7050.
15	7051.6	0.0	-7052.
16	7051.0	0.0	-7051.
Media	7051.3	0.0	-7051.
D Padr	.8415	0.0000	.8415
DP rel	.0119	*****	-.0119

Tabela 2-9: ADC estável, campo no centro da varredura

Nas tabelas que acabamos de apresentar, podemos ainda observar que os valores de campo no fim dos espectros (H_{max}) apresentam, sistematicamente, uma maior dispersão que no início (H_{min}). Este fato está relacionado com duas características intrínsecas ao ADC, que são a incerteza na base de tempo (0,05%) e o atraso no início da conversão (Fig. 2-19) pois, como vimos, a temporização de todo o processo de aquisição é controlada pelo relógio do ADC e não pelo relógio do computador.

Em uma varredura de 1kG, realizada em 60s, a incerteza na base de tempo do ADC pode introduzir erros de até $\pm 0,5$ gauss, enquanto que o atraso no início da conversão tem seu valor máximo justa-

mente no final da varredura (tensão mais negativa) e pode introduzir erros de até 0,8 gauss.

Apesar destes erros, podemos concluir do que foi mostrado que o SMAP é capaz de registrar os valores do campo com uma precisão da ordem de 1 parte em 1000, mesmo quando o sistema ainda não se encontra em total estabilidade térmica. Esta capacidade de registrar campo corretamente é uma característica muito importante para aplicações de "signal averaging", pois nelas os erros nos valores do campo podem acarretar sérias distorções na forma de onda resultante.

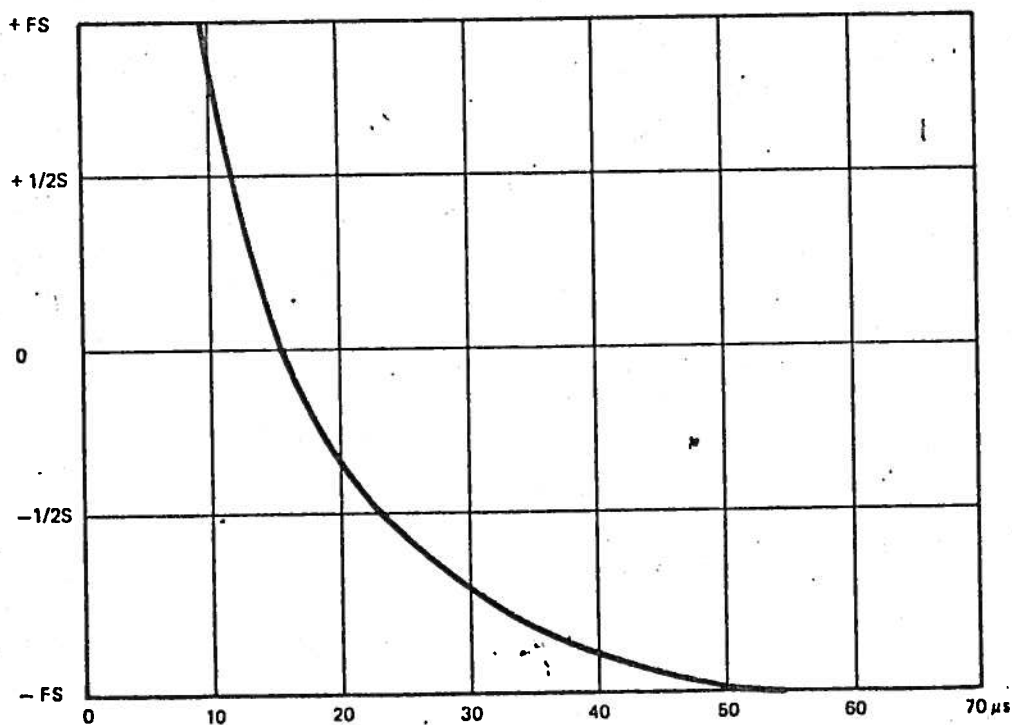


Fig. 2-19: Atraso no início da conversão para o ADC HP 59313A

Além dos erros de base de tempo e início de conversão, o ADC contribui para a incerteza das medidas, tanto da rampa como da intensidade do campo, com outros erros que, de acordo com o fabricante[10], se manifestam na forma de resolução (0,05%), modulação cruzada ($<1/2$ LSB) e instabilidade no controle de ganho ($\pm 0,6\%$)

Os efeitos de "discretização" e "saturação" do ADC podem também causar sérios transtornos, se não forem levados em conta durante as medições. Esses efeitos são inerentes ao ADC e, embora não possam ser eliminados, podem ser evitados com facilidade, como vimos no cap 1.

O problema da discretização ou "da faixa dinâmica do ADC" aparece quando a faixa de variação do sinal amostrado pelo ADC fica muito próxima de sua resolução. Neste caso, tem-se um espectro com a aparência de uma escada, como se vê na Fig. 2-20.

A saturação acontece quando o sinal amostrado ultrapassa o fundo de escala do ADC e neste caso, perde-se uma região do espectro, como se vê na Fig. 2-21.

Para evitar o aparecimento desses efeitos, basta que o usuário faça uma breve inspeção do espectro, até mesmo com uma varredura "manual", agindo diretamente nos controles da fonte do eletroíma, e escolha um canal com a sensibilidade adequada para acomodar o sinal.

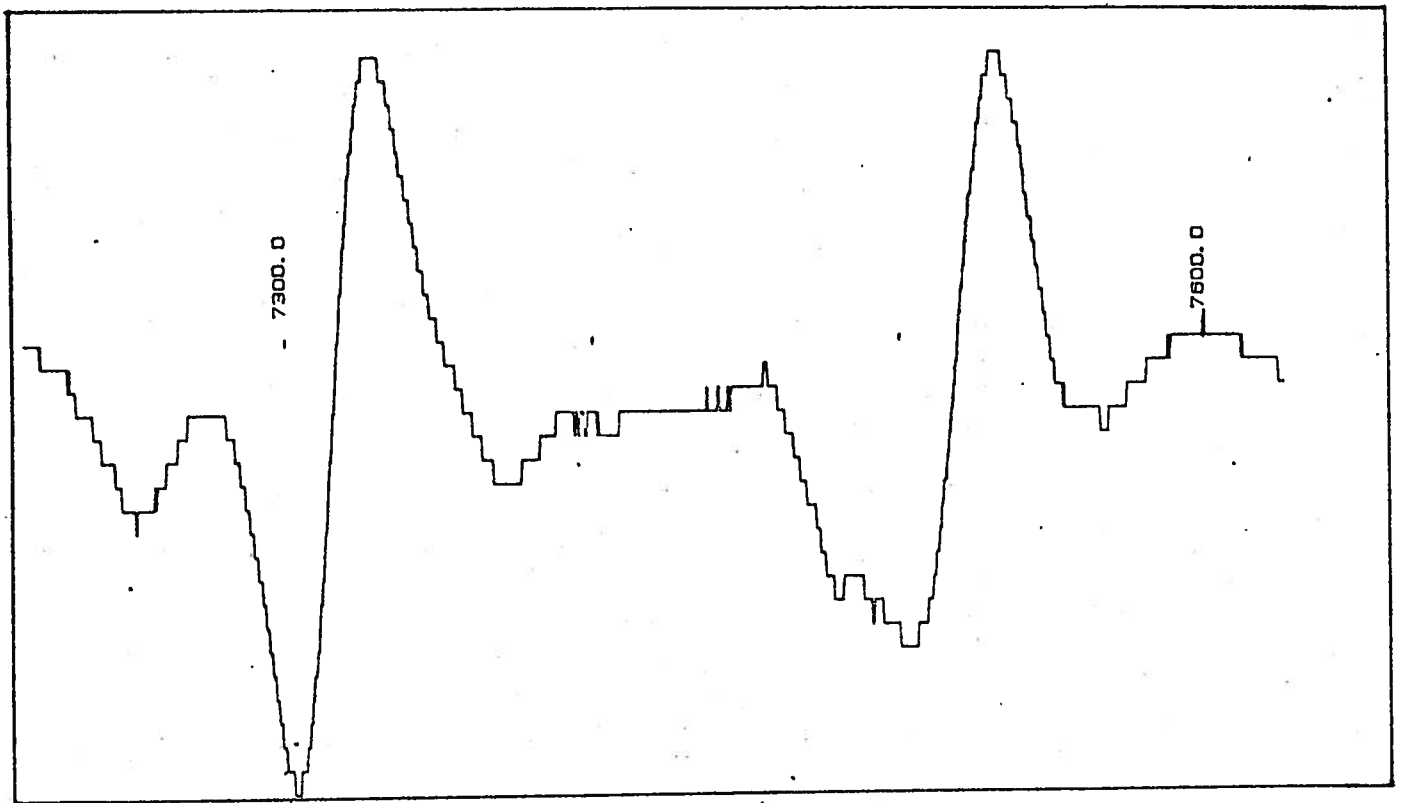


Fig. 2-20: Efeito de discretização

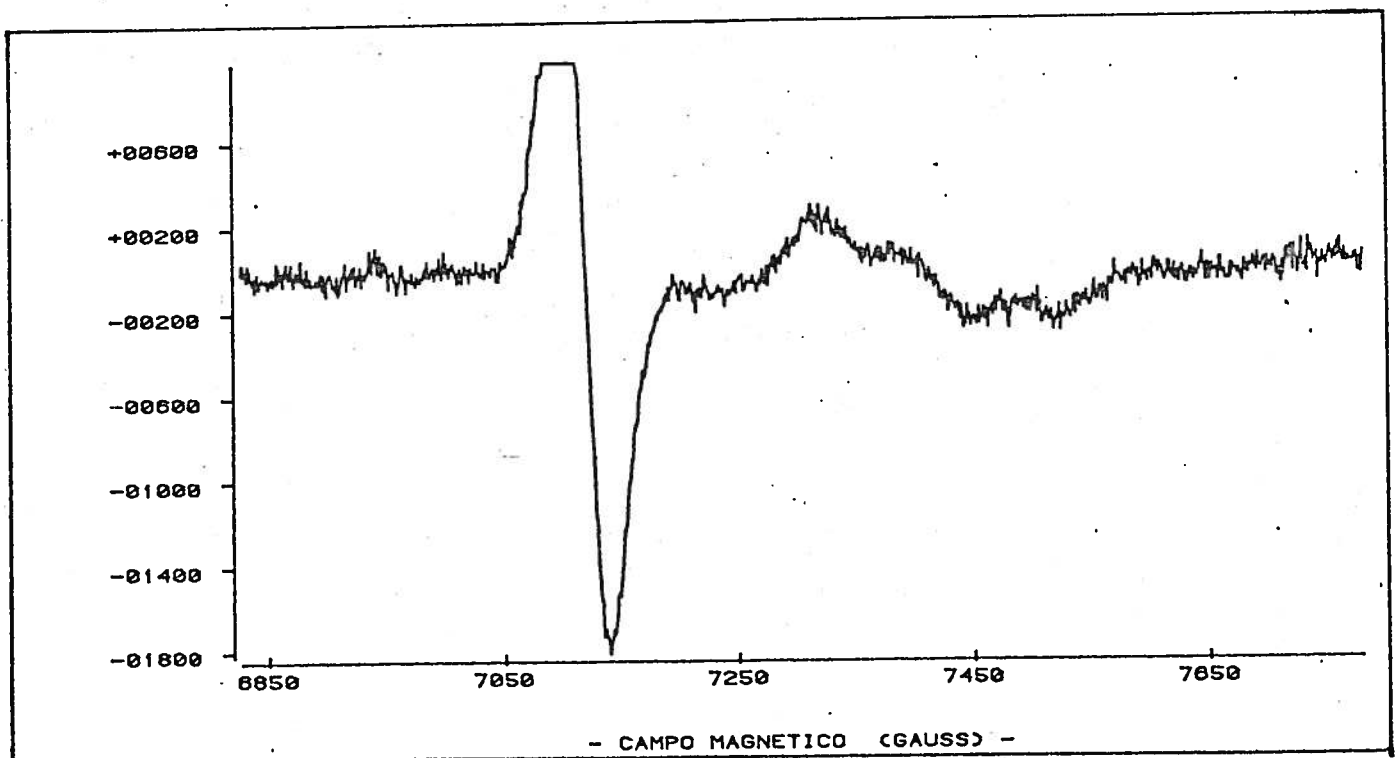


Fig. 2-21: Efeito de saturação

Nas medidas com o KDA, tivemos a oportunidade de testar o método de "signal averaging", fazendo 16 varreduras de uma região do espectro (Fig. 2-22), da qual se desejava um registro mais detalhado.

Essas varreduras foram feitas após um tempo adequado de estabilização térmica do sistema e além disso, outros parâmetros da experiência tais como temperatura da amostra, sintonia do espectrômetro, etc., foram mantidos estáveis, com o objetivo de se atingir, da melhor maneira possível, as condições de aplicabilidade da técnica de "averaging", discutidas no capítulo 1, sec. 1.5.

O cálculo da média dos espectros foi realizado pelo programa MASPE, logo após o término das aquisições. O resultado obtido está na Fig. 2-23, onde se pode ver, claramente, a melhoria na relação sinal-ruído que, de acordo com a teoria ficou multiplicada por um fator de 4 (16 varreduras).

O uso de um outro programa - no caso o MASPE - para o cálculo da média pode parecer, a princípio, um contrasenso mas devemos lembrar que, em virtude das características do sistema operacional RTE-6, esta operação não traz o menor problema para o usuário podendo ser inclusive muito oportuna quando duas pessoas operam o sistema pois, neste caso, enquanto uma opera o espectrômetro e cuida da aquisição dos dados, a outra pode dedicar-se ao processamento dos espectros já registrados.

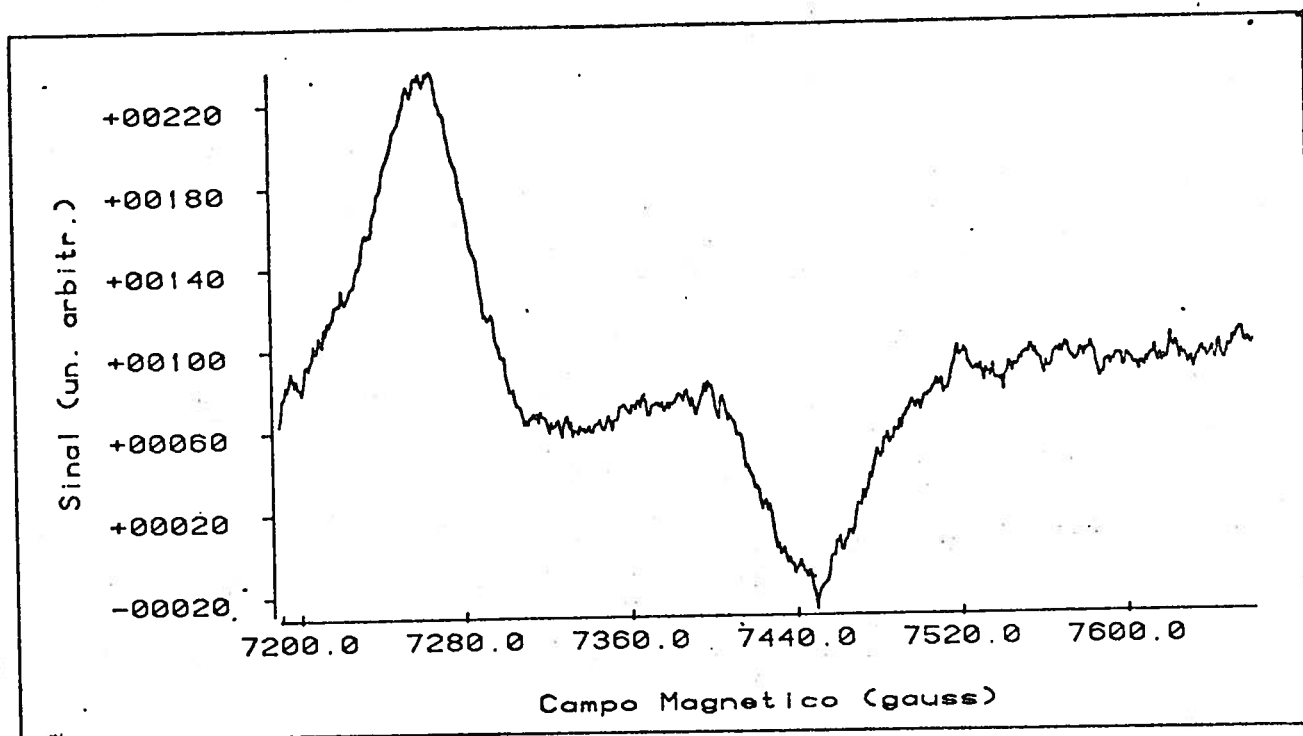


Fig. 2-22: Teste de "Signal Averaging" - Resultado de 1 varredura

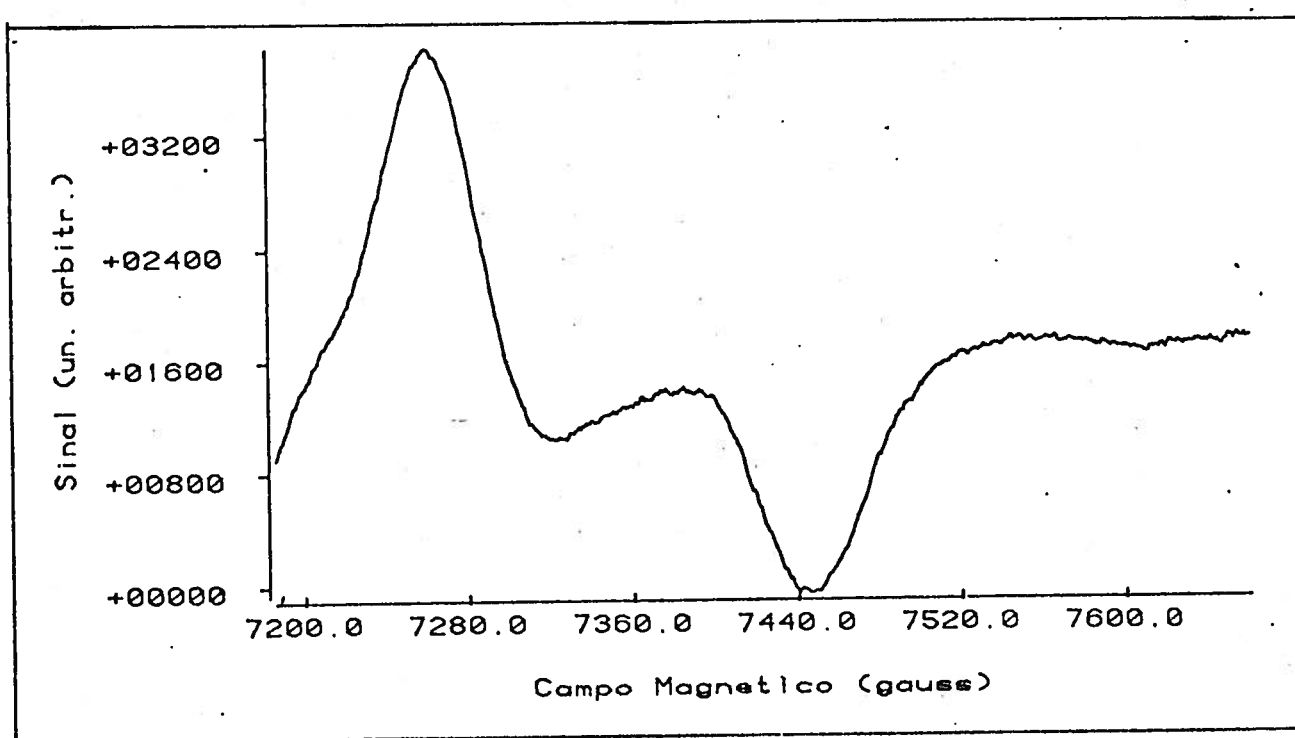


Fig. 2-23: Teste de "Signal Averaging" - Média de 16 varreduras

Um exemplo dos resultados obtidos a partir dos espectros de KDP, usados nos testes do SMAP, está na Fig. 2-24[11]. Com relação a esses espectros, cabe mencionar que eles foram registrados também pelo processo tradicional e que, a comparação sistemática entre os dois processos nos permitiu concluir que o sistema digital apresentou um excelente grau de confiabilidade.

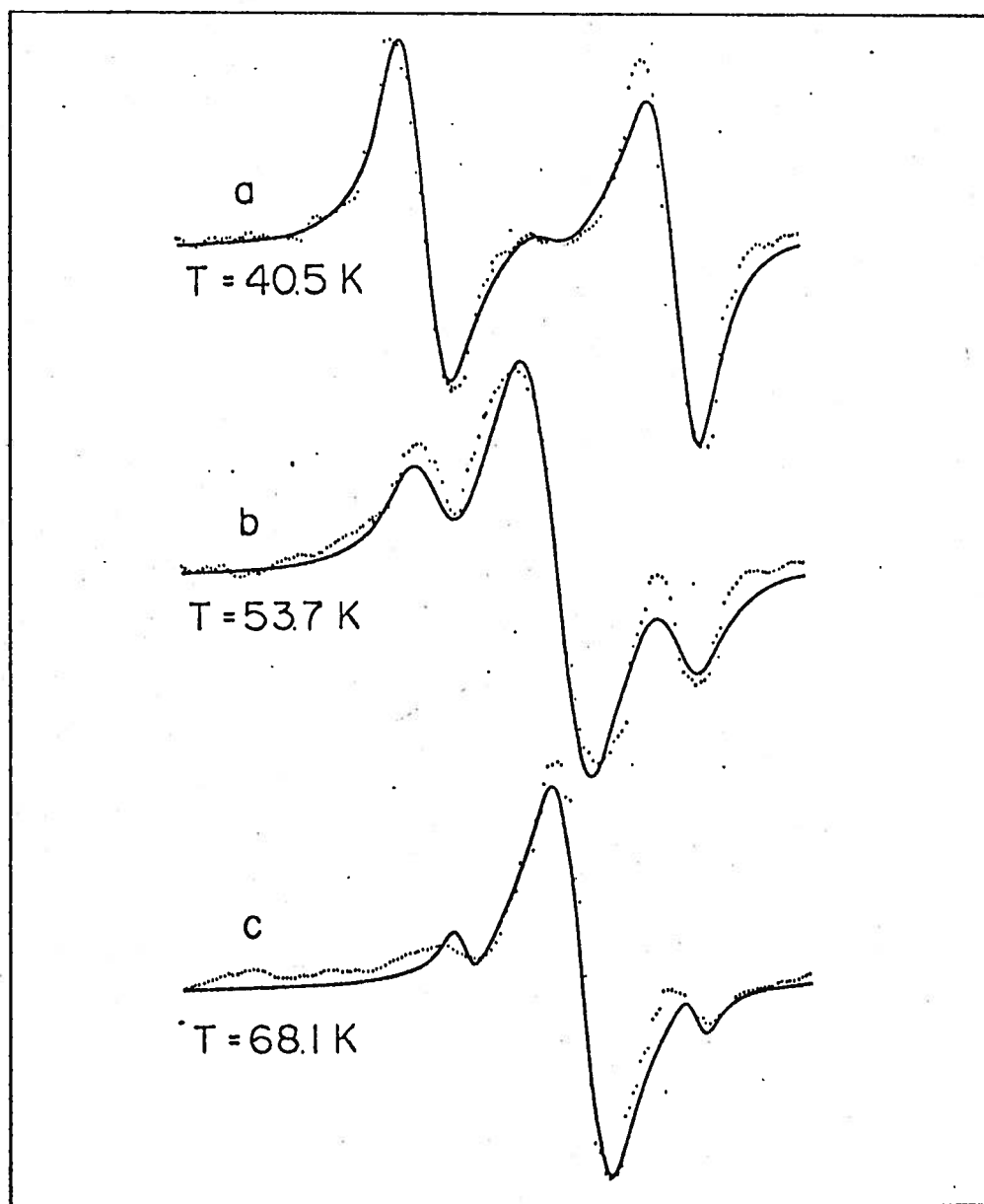


Fig. 2-24: Ajuste de linhas de KDP:TL2+. Os dados foram registrados pelos processos analógico e digital para comparação.

Na Fig. 2-25, apresentamos resultados obtidos a partir de espectros de CsDA (CsH_2AsO_4) [12]. Esses espectros foram digitados a partir de registros analógicos, com auxílio de uma mesa digitadora, e serviram de base para os estudos preliminares do sistema SMAP.

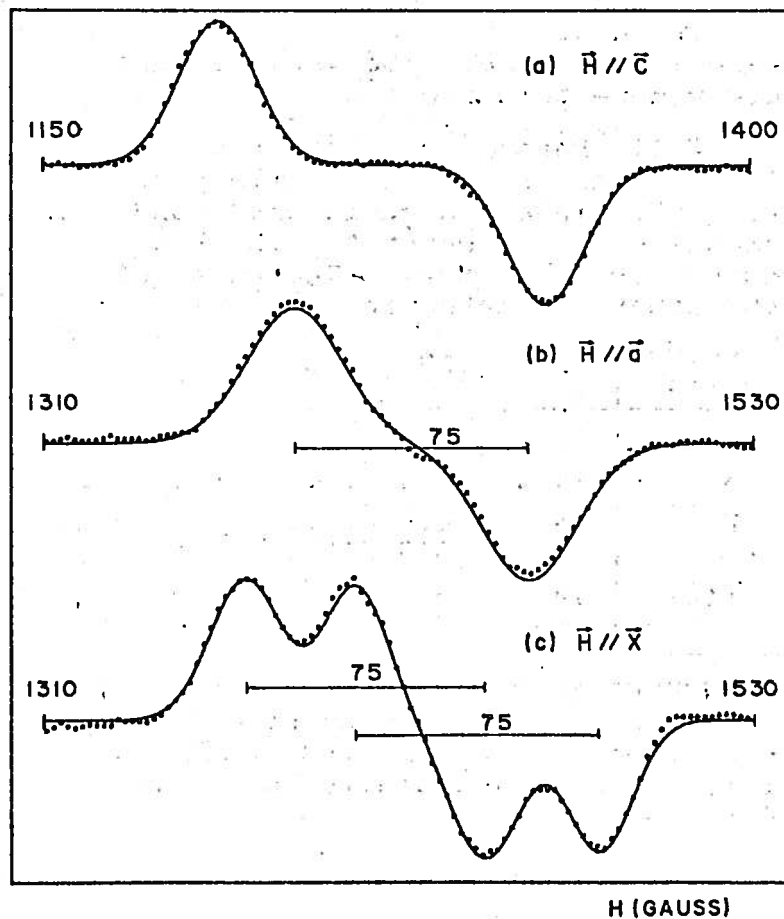


Fig. 2-25; Espectros do centro AsO_4^{4-} em CsDA, registrados através de mesa digitadora, usados nas fases iniciais do desenvolvimento do SMAP e do programa de manipulação de espectros MASPE.

Pelo conjunto desses resultados, pudemos concluir que o SMAP teve um ótimo desempenho, de acordo com a nossa expectativa, e que os dados registrados foram suficientemente confiáveis para levar a resultados físicos significativos.

O valor da dispersão na intensidade do campo, nas extremidades do espectro, não chega a ser um obstáculo para as experiências realizadas atualmente em nosso laboratório. No futuro, se necessário, o desempenho do sistema poderá ser melhorado, neste particular, através do uso de um ADC de maior precisão e melhor base de tempo e da instalação de uma fonte de maior estabilidade para a geração da rampa.

-x-

Capítulo 3

SMOP: Sistema do Motor de Passo

3.1 Introdução

O segundo sistema desenvolvido neste trabalho foi o que chamamos de "Sistema do Motor de Passo" (SMOP), o qual, da mesma forma que o sistema de aquisição passiva, foi implementado a partir do computador HP 1000 seguindo a mesma metodologia da "arquitetura aberta".

Ao contrário do SMAP, o Sistema do Motor de Passo é um sistema ativo de aquisição de dados, ou seja, tem condições de interferir, ainda que parcialmente, no andamento da experiência, através de um mecanismo de controle da evolução da varredura do campo magnético.

O ponto central que procuramos atingir com o SMOP foi a obtenção de um controle mais rigoroso da varredura do campo magnético, com os objetivos de melhorar o desempenho do processo de média do sinal (signal averaging), através do uso da técnica de média ponto a ponto, e preparar o sistema para um futuro redirecionamento que visa a implantação de um programa para aquisição de dados em experiências de ENDOR.

3.2 O Sistema do Motor de Passo

Nos espectrômetros de EPR mais modernos, a automatização do processo de varredura do campo se faz tipicamente através da injeção de uma tensão de controle, gerada por computador, em um terminal apropriado existente na fonte de alimentação do eletroímã. [16,17] Nessas aplicações, esta tensão de controle é obtida a partir de um conversor digital-analógico (DAC), em geral de 12 bits, permitindo assim que a varredura seja dividida em 4096 passos (Fig. 3-1). E comum também a existência de um ADC para leitura da intensidade do campo ou de outros parâmetros do sistema.

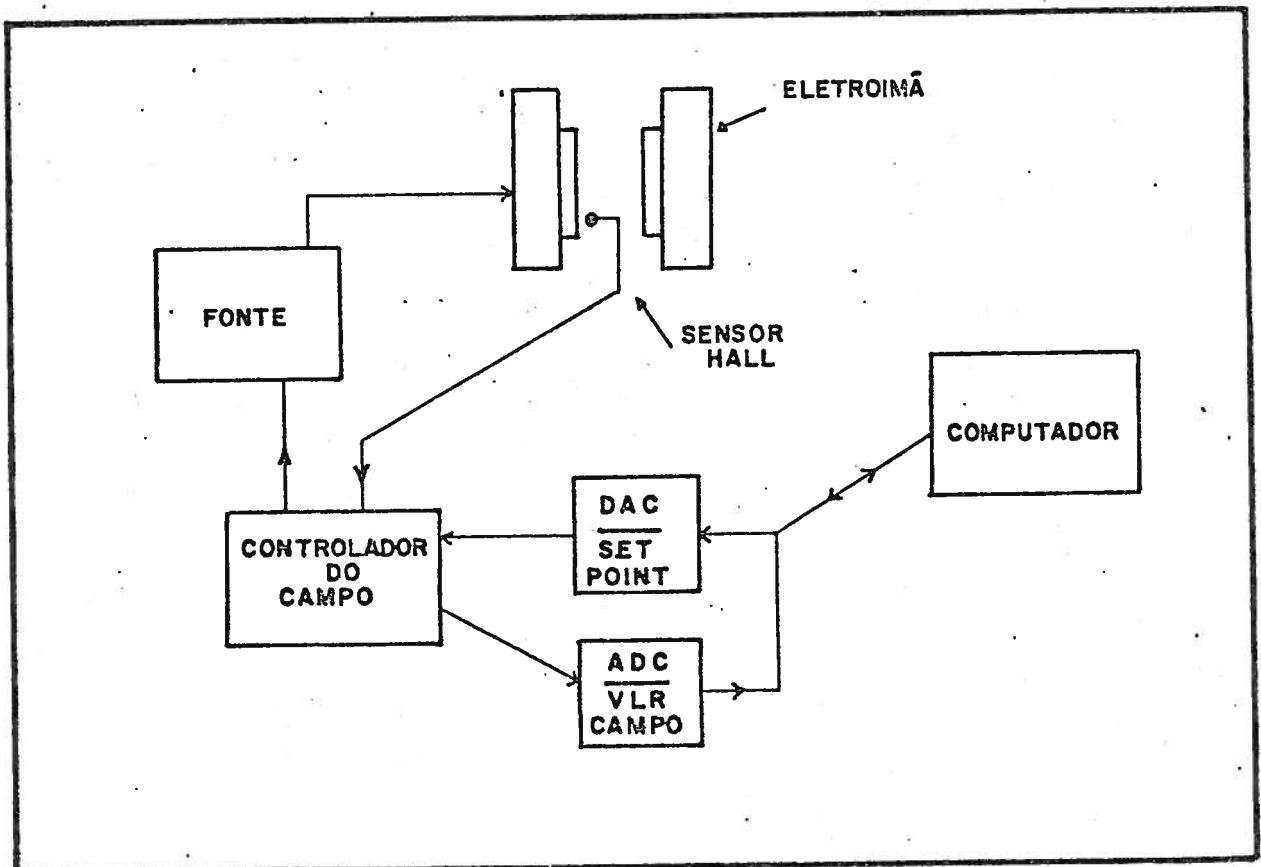


Fig. 3-1: Esquema típico para controle do campo por computador. O valor do campo é ajustado com o DAC e lido com o ADC.

No espectrômetro usado em nosso trabalho, a fonte do eletroímã é uma "Varian Fieldial Mark I" que não dispõe de recursos para controle externo, através de computadores, por pertencer a uma série bem antiga desses instrumentos.

Essa limitação da fonte levou-nos a procurar uma maneira de realizar esse controle externo que não necessitasse de grandes modificações nos circuitos eletrônicos de estabilização do campo, devido às grandes dificuldades técnicas que este procedimento acarretaria. Em vista disso, resolvemos adotar um processo bastante simples, mas que se mostrou adequado ao nosso propósito, e que consiste essencialmente em usar um motor de passo para acionar o eixo do potenciômetro de controle da varredura.

Conforme pode ser visto no diagrama da Fig. 3-2, o controle da varredura é feito por um potenciômetro acionado por um motor síncrono que, por sua vez, tem sua movimentação comandada pela chave "Increase-Decrease". O que fizemos foi substituir o bloco "motor síncrono/potenciômetro" por um bloco "motor de passo/potenciômetro", onde usamos um motor de passo de 200 passos por revolução e um potenciômetro "helipot" de 10 voltas possibilitando, portanto, uma divisão da varredura em 2000 passos.

Para manter a integridade da fonte, esse segundo bloco foi montado externamente e a comutação entre os dois sistemas se faz por um relé, localizado próximo ao potenciômetro original. (Fig. 3-3)

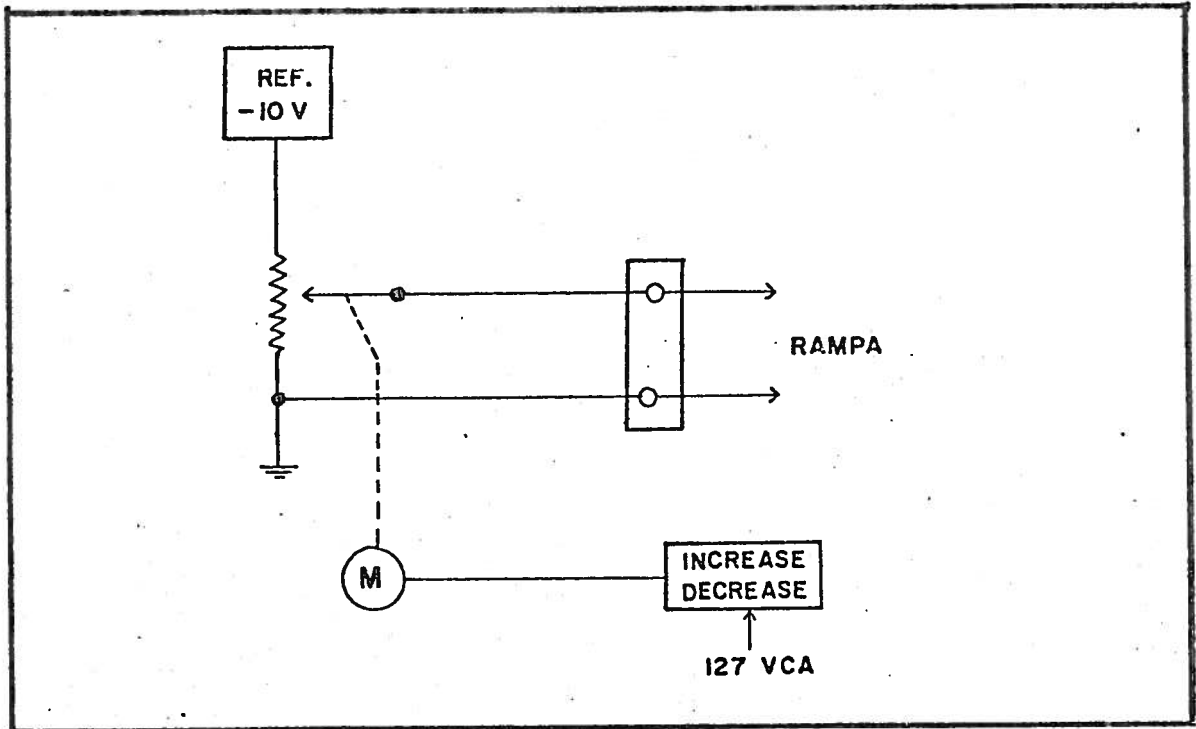


Fig 3-2: Controle da varredura - Diagrama simplificado do sistema existente no controlador Fieldial.

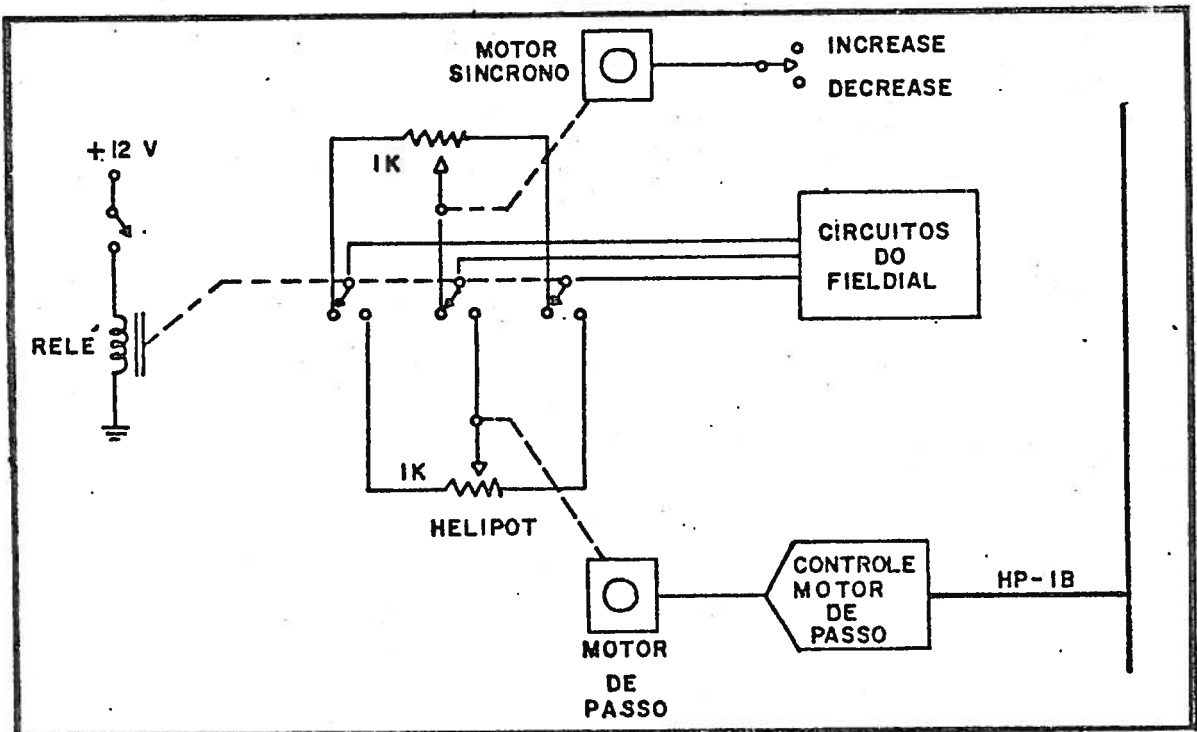


Fig 3-3: Controle da varredura - Diagrama simplificado das modificações introduzidas pelo SMOP.

A menos do motor de passo e do helipot, os instrumentos usados no desenvolvimento do Sistema do Motor de Passo foram exatamente os mesmos do sistema de aquisição passiva (SMAP) e estão listados na tabela 2-1.

O espectrômetro também não sofreu modificações, exceto, é claro, no mecanismo de geração da varredura.

O multiprogramador, devido às suas características de instrumento configurável, desempenha funções diferentes nos dois sistemas. No SMAP, como vimos, foram usados os cartões funcionais de relés, para comandar o acionamento do motor da varredura, e de DACs, para gerar o nível de referência IRI para o comparador. No sistema do motor de passo, por outro lado, foi usado o cartão funcional de saídas digitais para controle do motor de passo como veremos adiante, na seção 3.2.2. Os demais cartões estão sem função na presente configuração do sistema, mas nada impede que eles venham a ser utilizados em futuras aplicações do SMOP ou de outro sistema qualquer que venha a ser desenvolvido no laboratório.

Na Fig. 3-4 temos um diagrama geral das interligações dos instrumentos. Tal como no SMAP, o uso do barramento IEEE-488 (HP-IB) proporciona uma maneira simples e eficiente para o estabelecimento das comunicações com o HP 1000. O multiprogramador, com o cartão de saídas digitais acoplado a circuitos externos, funciona como controle do motor, como veremos mais adiante.

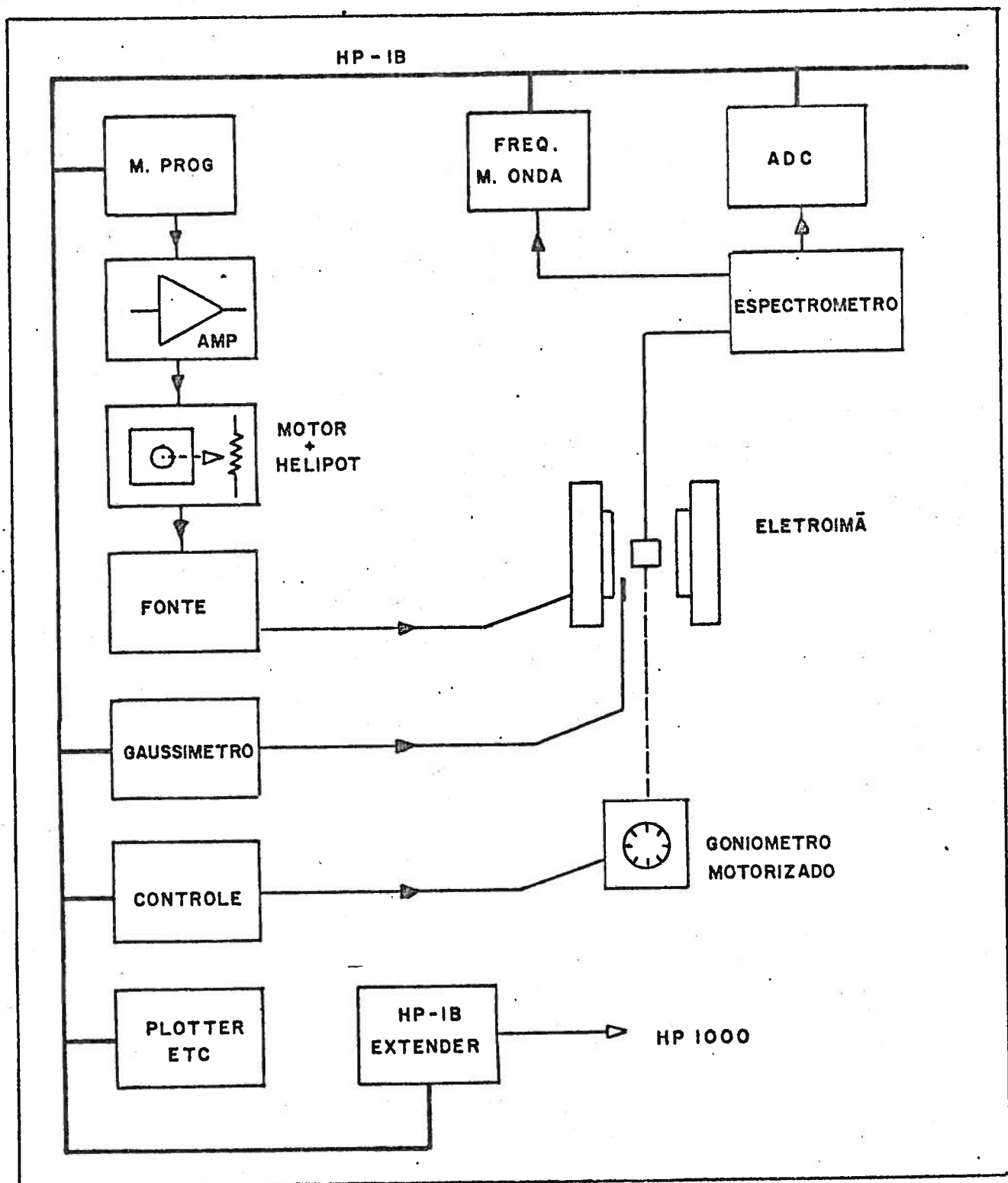


Fig. 3-4: Diagrama geral do Sistema do Motor de Passo.

3.2.1 O bloco motor de passo/helipot

O motor de passo é um tipo especial de motor que tem a propriedade de girar de uma maneira descontínua. Esses motores são empregados em uma variedade de instrumentos, que vão desde as grandes ferramentas e robôs até os goniômetros de alta precisão, acionadores de discos magnéticos, etc.

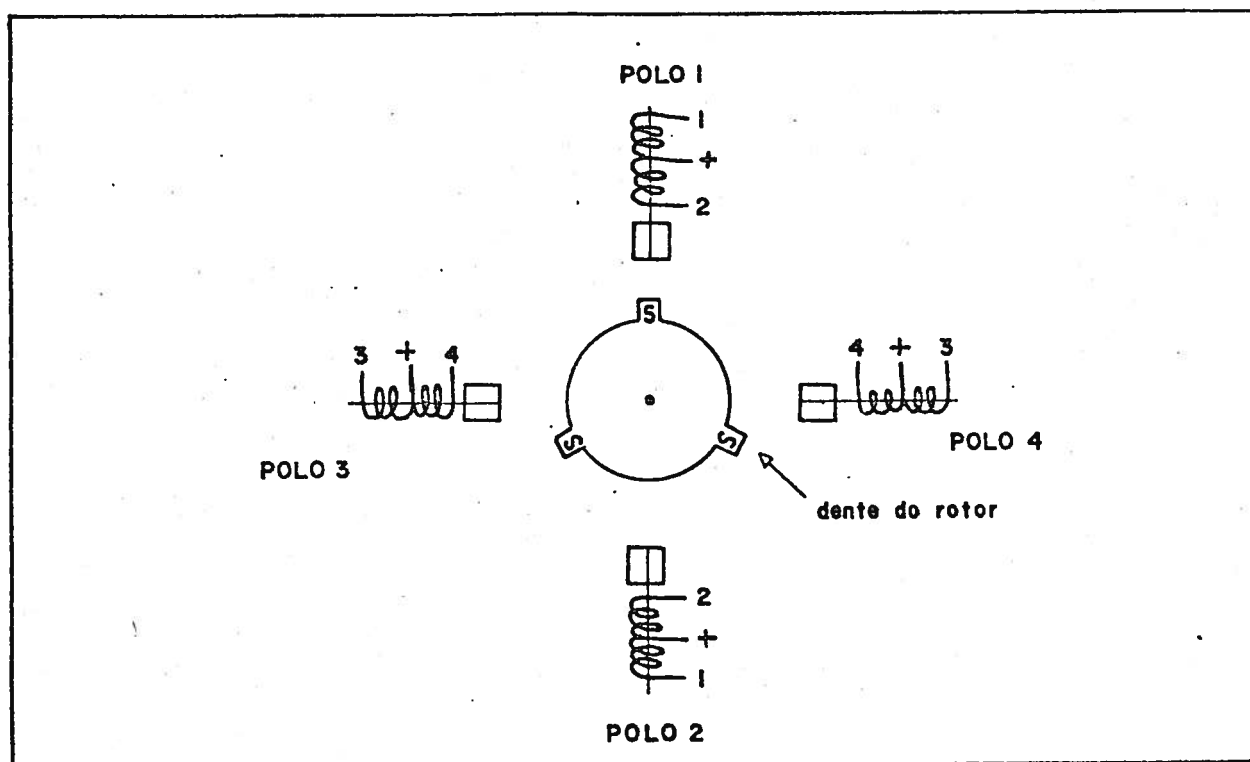


Fig. 3-5: Esquema simplificado de um motor de passo

A fig. 3-5 é um diagrama, bastante simplificado, que ilustra o princípio de funcionamento de um motor de passo. Um rotor, com 3 ímãs permanentes, é montado em uma carcaça que contém 4 bobinas de campo simetricamente dispostas e ligadas, através de um cir-

cuito de comutação, a uma fonte de alimentação. Através do controle da direção da corrente em cada uma dessas bobinas, pode-se fazer com que elas apresentem um polo norte ou sul na região do rotor, fazendo com que este mude de posição para uma nova situação de equilíbrio estável.

Nos motores reais, o número de polos do rotor e o número de bobinas de campo determinam o tamanho angular do passo, sendo bastante comuns motores de 500 ou mais passos por revolução. No nosso sistema, usamos um motor de 200 passos, marca Synchro[18], comumente empregado no acionamento de pequenas impressoras de caracteres.

O potenciômetro usado é um helipot de 10 voltas, que tem esse nome pelo fato de o elemento resistivo estar disposto na forma de uma hélice ao longo da qual se desloca o cursor. Este componente é também muito empregado em instrumentos de precisão e está disponível comercialmente com vários valores de resistência. No nosso caso, usamos um helipot de 1000 ohms, tal como o potenciômetro original, com 5% de tolerância e 0,25% de linearidade.

Com essa combinação de motor e helipot, podemos dividir a varredura do campo em 2000 passos, onde cada passo corresponde a uma variação de 0,05% do valor escolhido no controle de "sweep range" da fonte.

3.2.2 O acionamento do motor de passo

Conforme vimos na seção anterior, o acionamento do motor de passo se dá através da comutação da corrente elétrica nas bobinas de campo. Para que se tenha um movimento coerente do motor em um determinado sentido, as bobinas têm que ser ligadas e desligadas em uma sequência de configurações, chamadas "fases do motor", que depende do tipo do motor. No nosso caso, em que usamos um motor de 4 fases com enrolamento bifilar, a sequência de ligação das bobinas está relacionada na tabela 3-1, onde 0 representa bobina desligada e 1 representa bobina ligada. Embora não seja uma regra geral, o acionamento das fases em ordem crescente faz o motor girar no sentido anti-horário.

Fase No.	Bobina 1	Bobina 2	Bobina 3	Bobina 4	Angulo (graus)	No. de passos	Equiv octal
1	1	0	1	0	0	0	12
2	1	0	0	1	1,8	1	11
3	0	1	0	1	3,6	2	05
4	0	1	1	0	5,4	3	06
1	1	0	1	0	7,2	4	12
...

Tabela 3-1: Sequência de acionamento do motor de passo

Para controlar a corrente nas bobinas, existem vários circuitos de complexidade variável[19,20] com possibilidade, inclusive, de variar a velocidade e a aceleração do motor. Nesta aplicação, este nível de sofisticação não se faz necessário e, por isso, todo o controle foi feito através do software do HP 1000 e do hardware do multiprogramador STD 85MP segundo o diagrama da Fig. 3-6.

Como pode ser visto no diagrama, os bits 0, 1, 2 e 3 de uma das linhas de saída da interface paralela do multiprogramador são conectados, respectivamente, aos circuitos de comutação das bobinas 1, 2, 3 e 4 do motor. Esses circuitos de comutação foram desenhados de tal forma que, quando o bit associado a uma dada bobina for 0 (zero), a corrente naquela bobina será nula, permitindo assim que o programa de controle acione qualquer configuração das bobinas, através do envio de sequências adequadas para a interface paralela do multiprogramador.

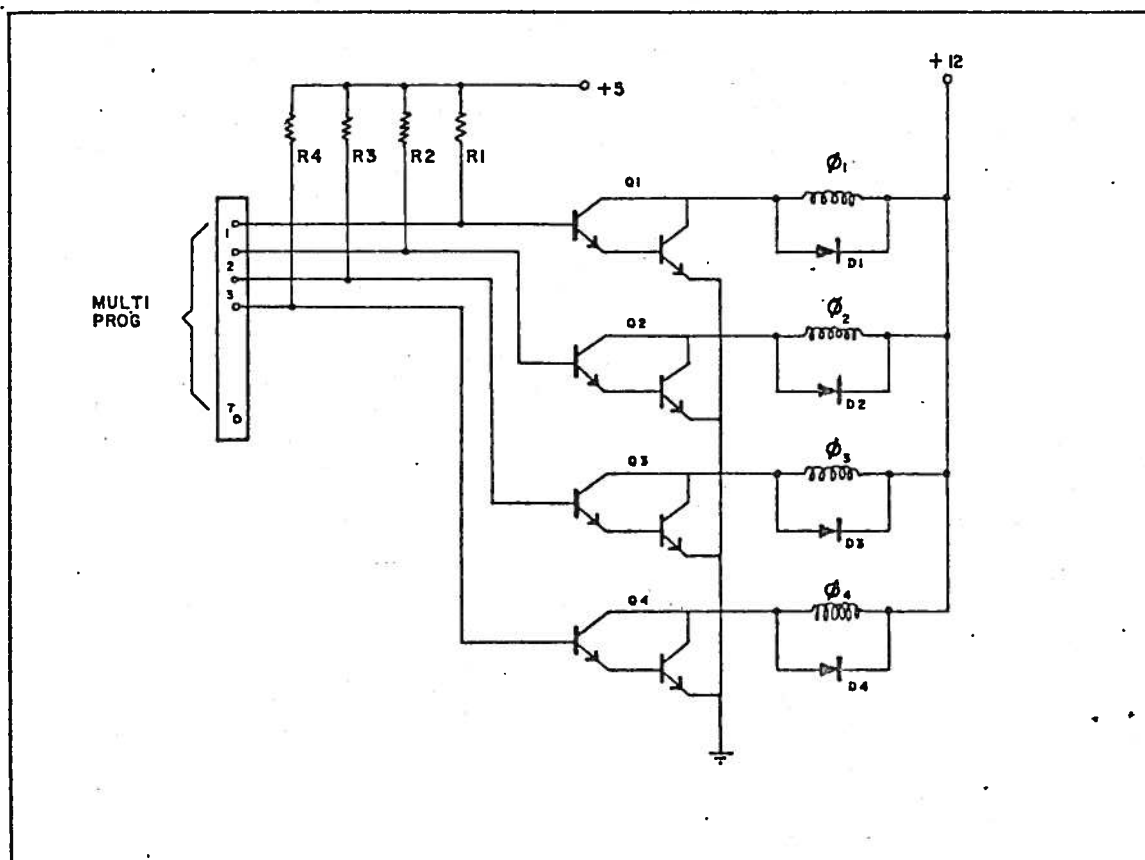


Fig. 3-6: Circuito de comutação para o motor de passo

O envio das seqüências para as fases do motor pode ser bastante simplificado se observarmos que o padrão de ligações das bobinas se repete a cada 4 passos e equivale aos números octais 12, 11, 5 e 6, respectivamente (Tabela 3-1).

Com base nessa observação, uma rotina para girar o motor de N passos pode ser escrita em FORTRAN 77 da seguinte maneira:

```
+-----+
      INTEGER*2    PASSO(0:3)
      DATA PASSO  /12B, 11B, 5B, 6B/
      WRITE(1,*) 'QUANTOS PASSOS ?'
      READ(1,*)   NP
      DO J = 1, NP
         INDX = IAND(3, J-1)
         ICONF = PASSO(INDX)
         WRITE(MPG, '( "L",@2,"T" )') ICONF
      END DO
+-----+
```

Nessa rotina, a seqüência de fases é armazenada em um vetor de 4 posições, numeradas de 0 a 3. Em seguida, após a leitura do número de passos (NP), é criado um "DO-LOOP" que se estende de 1 a NP. Neste loop, cria-se inicialmente um indexador, INDX, aplicando-se uma "máscara" (função lógica E, "IAND") para isolar os dois bits menos significativos do contador de passos J:

```
      INDX = IAND(3, J-1)
```

Como consequência da aplicação dessa máscara, à medida que a variável J é incrementada, a variável INDX toma apenas os valores 0, 1, 2 e 3, que são usados para retirar do vetor PASSO as configurações das bobinas do motor:

```
      ICONF = PASSO(INDX)
```

Conhecida a configuração correspondente a um passo J qualquer, a rotina simplesmente a envia para a interface paralela do multi-

programador:

```
WRITE(MPG, '("L",@2,"T")') ICONF
```

onde,

MPG = Unidade lógica do multiprogramador

L = Endereço da interface paralela no multiprogramador

@2 = Formato para dois dígitos octais

T = Protocolo de comando do multiprogramador

Devemos lembrar que o motor de passo é um dispositivo essencialmente sequencial e que, portanto, o deslocamento de uma posição para outra qualquer tem que passar, necessariamente, por todos os passos existentes entre elas.

No sistema SMOP, o controle do motor é feito por uma rotina escrita nos moldes da que acabamos de discutir. A mudança na direção de rotação é feita decrementando-se a variável J, de modo a acessar o vetor PASSO na ordem 3,2,1,0. Para desligar o motor e liberar o helipot para ajustes manuais, basta fazer todos os bits de controle iguais a 0. Neste caso, a corrente será nula em todas as bobinas e o rotor ficará livre.

3.2.3 Influência de motor de passo no controle do campo

O motor de passo, devido à natureza de sua construção, movimentase ao longo de uma série de posições de equilíbrio estando, portanto, sujeito a oscilar na transição de uma dessas posições para outra (Fig. 3-7)[20]. Por esse motivo, qualquer projeto que envolva sua utilização deve, de alguma forma, levar em conta essa

possibilidade e, se necessário, tomar as providências para o amortecimento dessas oscilações.

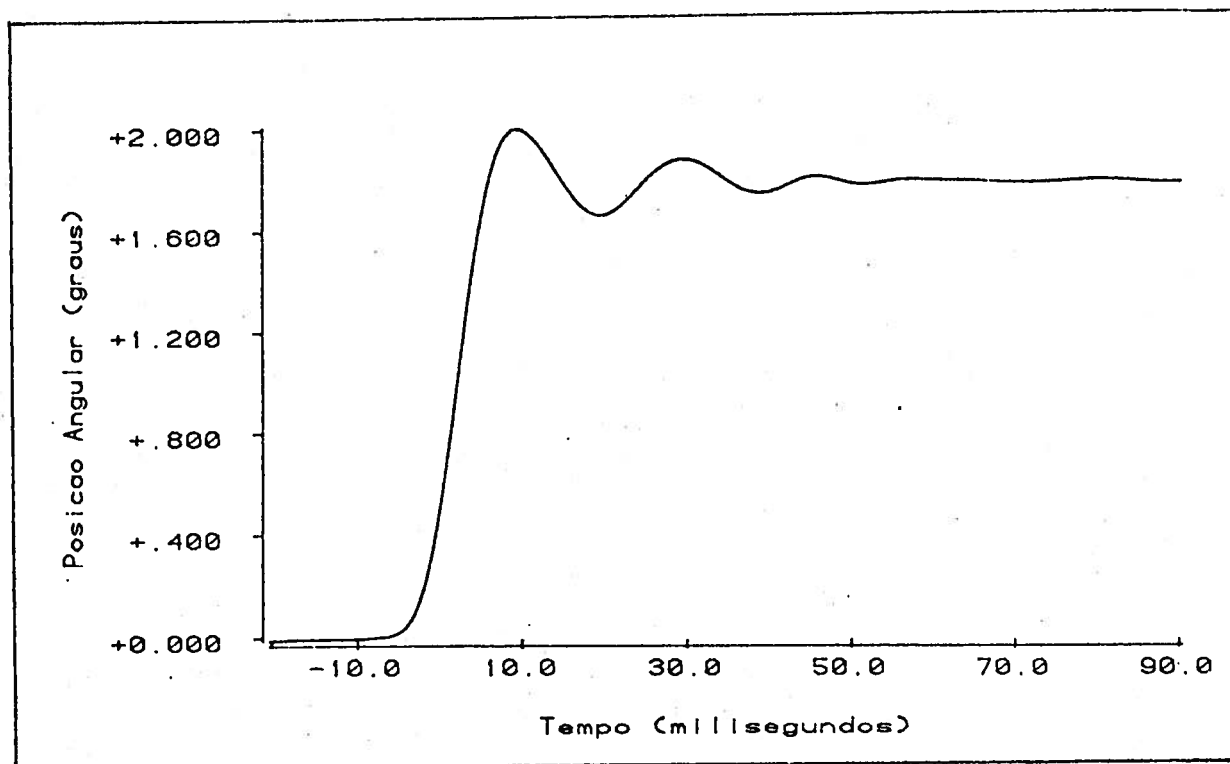


Fig. 3-7: Resposta do motor à função de passo único [18]

Quando se dispõe de todas as características eletromecânicas do motor e demais componentes a ele associados, é possível, pelo menos em princípio, fazer uma previsão do movimento do sistema [20].

Em nossa montagem, como essas características não eram conhecidas, tivemos de montar um sistema de medição para avaliá-las, tal como representado no diagrama da Fig. 3-8.

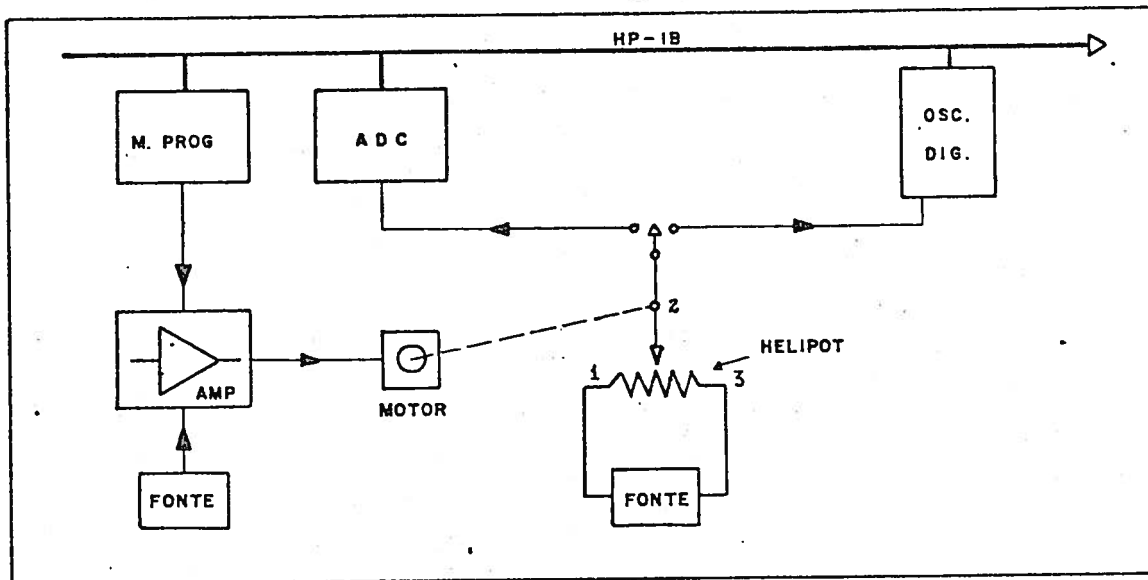


Fig. 3-8: Montagem usada para avaliação do motor de passo

Como se vê na figura, o helipot foi ligado a uma fonte de alimentação na forma de um divisor de tensão, cuja saída (pinos 1 e 2) foi ligada a um osciloscópio de armazenamento digital (Tektronix 7854). Como a tensão na saída é proporcional à resistência entre os pinos 1 e 2 e esta, por sua vez, é proporcional ao deslocamento angular do helipot, a tensão levada ao osciloscópio, V_o , será:

$$V_o = (V_i/R) * k\theta$$

onde

V_i = tensão da fonte

R = resistência do helipot (1000 ohms)

k = constante de proporcionalidade (1000 ohms/3600 graus)

θ = deslocamento angular

Como vemos, a tensão no divisor está diretamente relacionada com o ângulo θ e nos dá a informação desejada sobre a evolução do movimento.

Com essa montagem, realizamos medidas da tensão da rampa (escada) e da forma de onda nas bobinas do motor. Para medir a tensão da rampa, o sinal foi ligado à entrada DC do osciloscópio e a subida do primeiro pulso foi usada como "trigger" para disparar o modo AQS ("Acquire Single Shot") do osciloscópio, no qual os dados são convertidos e armazenados em uma única varredura. A tensão da fonte foi ajustada em 6,0 volts e o controle do motor foi programado para dar um passo a cada 800 milissegundos.

Os dados relativos aos 10 passos iniciais foram registrados e estão representados na Fig. 3-9, onde podemos observar que praticamente não existe "over-shoot" após a subida do degrau, ao contrário do que foi mostrado na Fig. 3-7. Esse amortecimento crítico do passo do motor é devido, não só ao atrito existente no sistema mas, também, ao efeito de freio eletromagnético produzido pelos diodos D1, ..., D4 (Fig. 3-6).

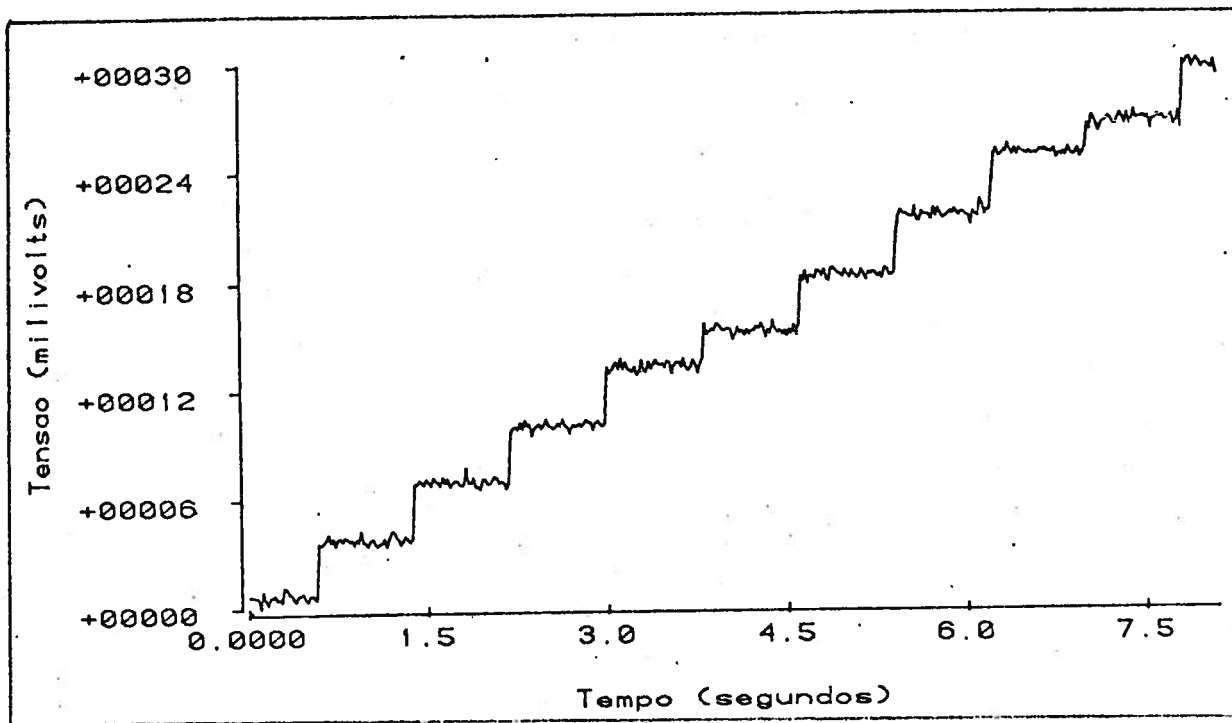


Fig.3-9: Registro direto dos degraus de tensão produzidos pelo sistema motor-de-passo/helipot. O intervalo entre os pulsos foi ajustado em 800 milisegundos. As irregularidades dos degraus 5 e 9 estão discutidas no texto.

Um detalhe que pode ser observado na Fig. 3-9 é a existência de passos irregulares nos "degraus" 5 e 9. Inicialmente, pensamos que este problema estivesse ligado ao movimento do motor mas, testes realizados com a substituição de vários componentes, nos levaram a crer que este problema só poderá ser resolvido com o uso de um helipot de maior linearidade. De qualquer forma, essas irregularidades não causam erro cumulativo e a perturbação local é de cerca de 0,025% do "sweep range", ou seja, 1 parte em 4000, o que é perfeitamente aceitável em espectros de EPR.

Mesmo representando uma pequena fração da varredura, esses dados permitem, como vimos, que se possa tirar conclusões importantes sobre o processo. Um registro com um maior número de passos é possível mas, neste caso, os dados ficariam tão comprimidos no

gráfico, que seria difícil analisá-los.

Para termos uma visão mais ampla da evolução dos passos do motor, sem o problema da compressão, realizamos outras medidas onde registramos as variações de tensão na saída do divisor, usando a entrada AC do osciloscópio. Como os passos são uniformes, essas variações são iguais e podem, portanto, ser registradas no modo de aquisição repetitiva disponível no osciloscópio.

Nessas medidas, o sistema foi programado para mover o motor a uma taxa de 2 passos por segundo e a base de tempo do osciloscópio foi ajustada em 5 segundos para acomodar 10 pulsos na tela. O registro foi feito no modo "average", com um total de 100 varreduras, totalizando, portanto, 1000 pulsos do motor (Fig. 3-10).

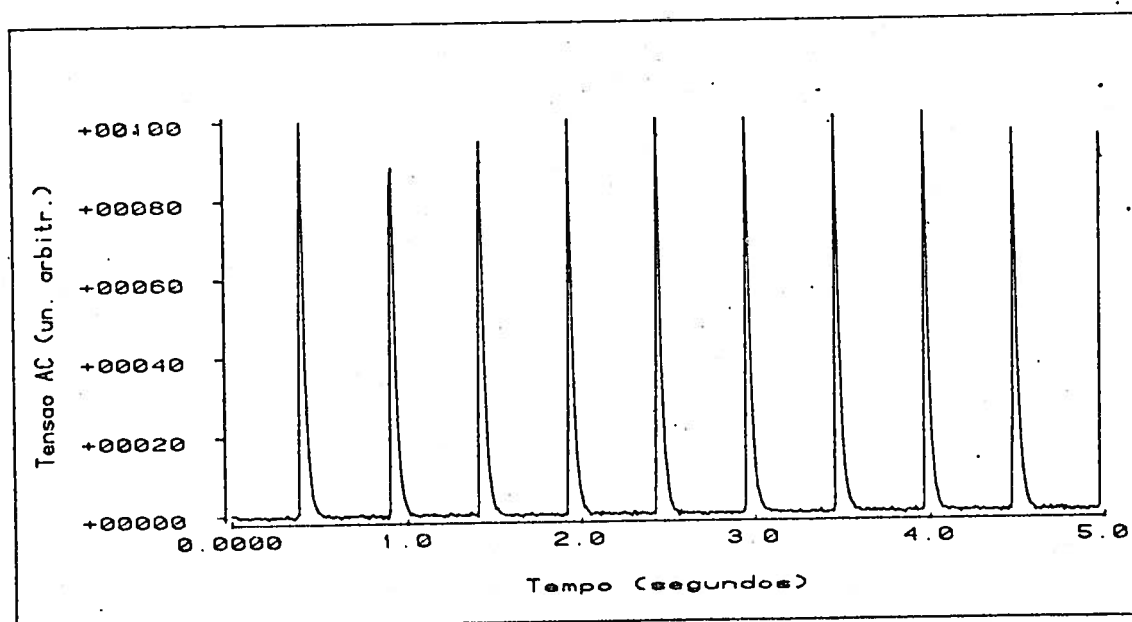


Fig. 3-10: Pulsos do motor, registrados no modo "average"

A evolução da tensão da rampa foi obtida dessas mesmas medidas a partir da integração numérica dos dados dos pulsos (Fig. 3-11).

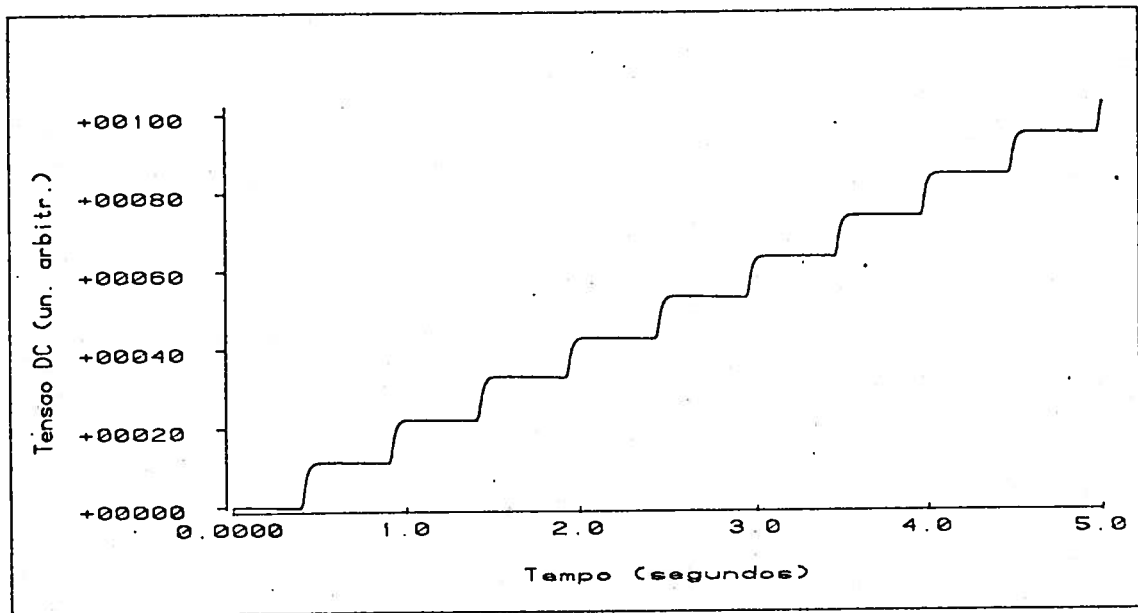


Fig. 3-11: Evolução da tensão da rampa obtida por integração numérica dos dados da Fig. 3-10

Com relação a esses resultados, é importante observar que o uso da entrada AC, embora só nos dê uma aproximação da derivada do sinal -por causa de sua constante de tempo-, nos permite avaliar, com facilidade, o tempo de estabilização do movimento do motor. Conforme se vê na Fig. 3-12, que é o registro de um único pulso em uma das bobinas do motor, este tempo pode ser estimado em 60 milisegundos o que está de acordo, inclusive, com as poucas informações fornecidas pelo fabricante do motor[20].

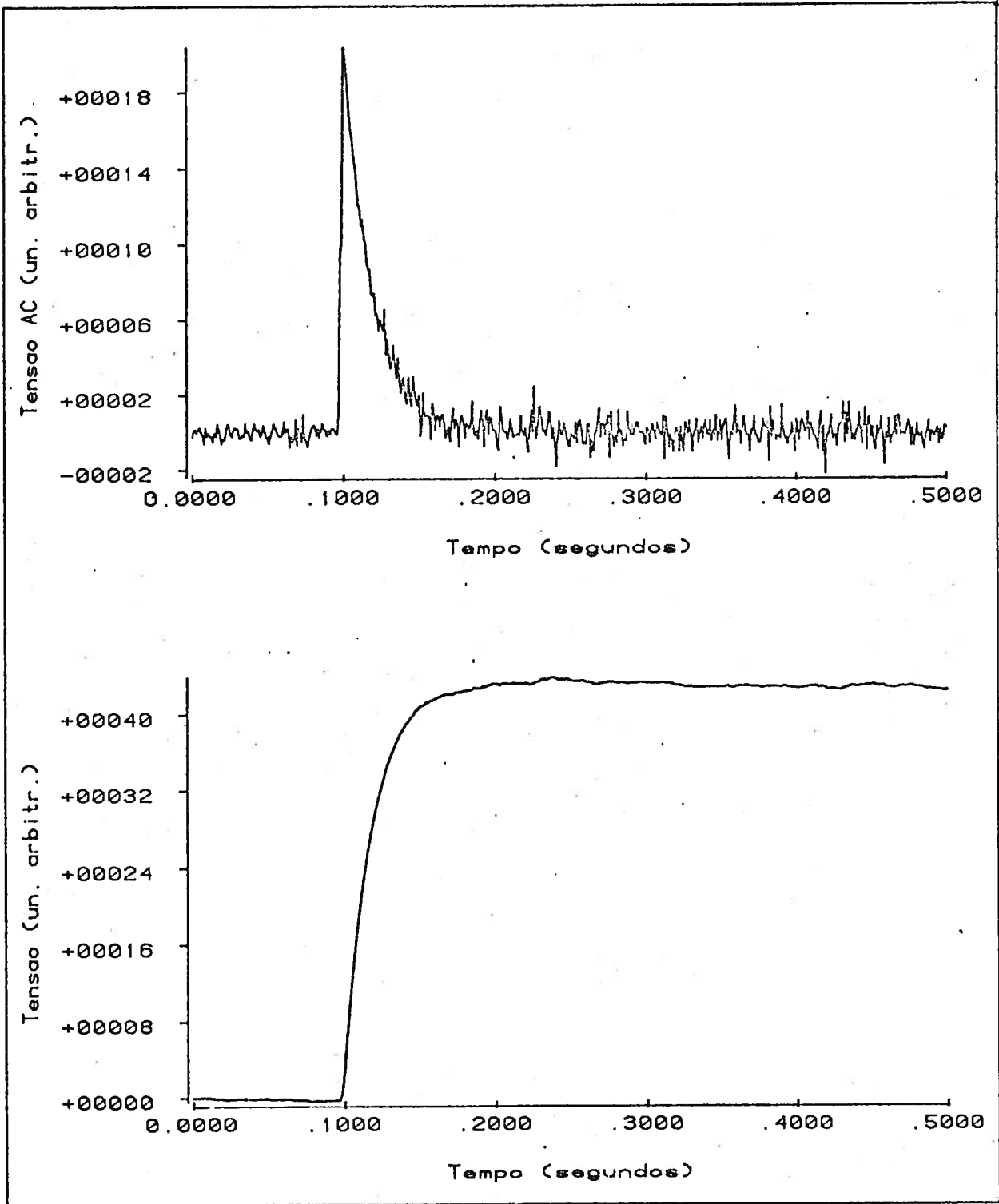


Fig. 3-12: Registro da variação de tensão na saída do divisor para o caso de um pulso. Na metade superior temos o registro do pulso e, na inferior, o "degrau" obtido por integração. O tempo de estabilização pode ser estimado em 60 milisegundos.

Para finalizar os testes de movimentação do motor, fizemos um registro da rampa de tensão gerada ao longo dos 2000 passos. Nesse caso, a saída do divisor foi ligada ao ADC, a fonte ajustada em 10 Volts e o sistema programado para gerar 2000 passos com um atraso de 50 milisegundos após cada passo, para estabilização.

Em cada ponto foram feitas 100 leituras da tensão, a uma taxa de 200 cps, e a média aritmética dessas leituras foi tomada como valor da medida estando os resultados apresentados na Fig. 3-13.

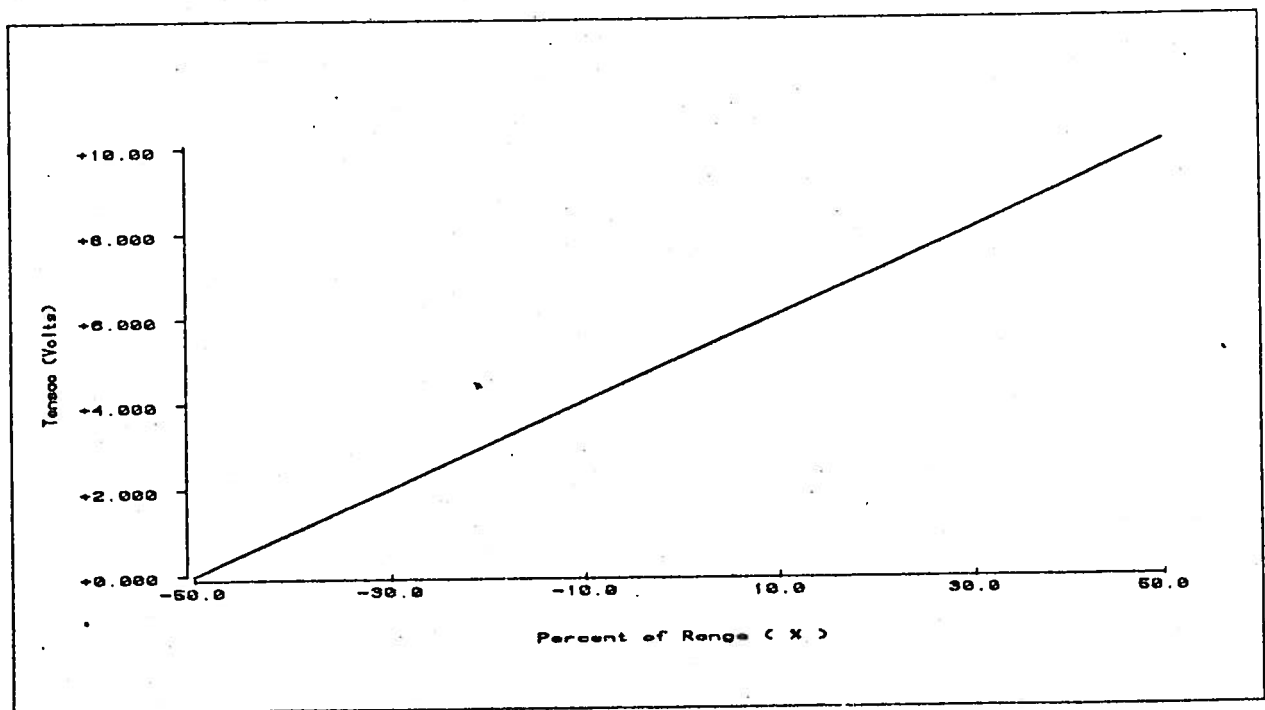


Fig. 3-13: Registro da rampa de tensão produzida pelo helipot acoplado ao motor de passo.

A interação desse sistema de varredura passo a passo com o controlador "Fieldial" não apresentou quaisquer problemas que pudéssemos detetar nos vários espectros que registramos e comparamos com os registros analógicos tradicionais.

Uma verificação direta da variação da intensidade do campo ao longo de um passo do motor foi feita a partir de uma aplicação sofisticada da Lei de Indução de Faraday. Para tanto, uma bobina de 12000 espiras e cerca de 10 cm^2 de secção reta foi colocada no entreferro do eletroimã e o pulso de tensão, induzido pela variação do campo, foi registrado na memória de um osciloscópio digital de amostragem rápida. Depois de amostrado, esse pulso foi transmitido ao computador onde, por integração, foi obtida a curva de variação do campo (Fig. 3-14).

Nas aplicações típicas do SMOP, cada passo do motor resulta em uma variação de cerca de 1 gauss na intensidade do campo. Essa variação produz, na bobina utilizada, uma FEM de poucos milivolts que chega ao osciloscópio bastante corrompida pelo ruído eletromagnético do ambiente e da própria fonte do eletroimã. Para atenuar esse ruído, foi colocado um capacitor de 2,2 μF em paralelo com a bobina e foram feitas dezenas de medidas repetitivas com auxílio do sistema de "averaging" disponível no osciloscópio. O sincronismo das medidas foi obtido com o uso de um sinal de gatilho externo, gerado pelo computador a cada passo do motor conforme pode ser visto na listagem do programa RMU04, apresentada no apêndice 5.

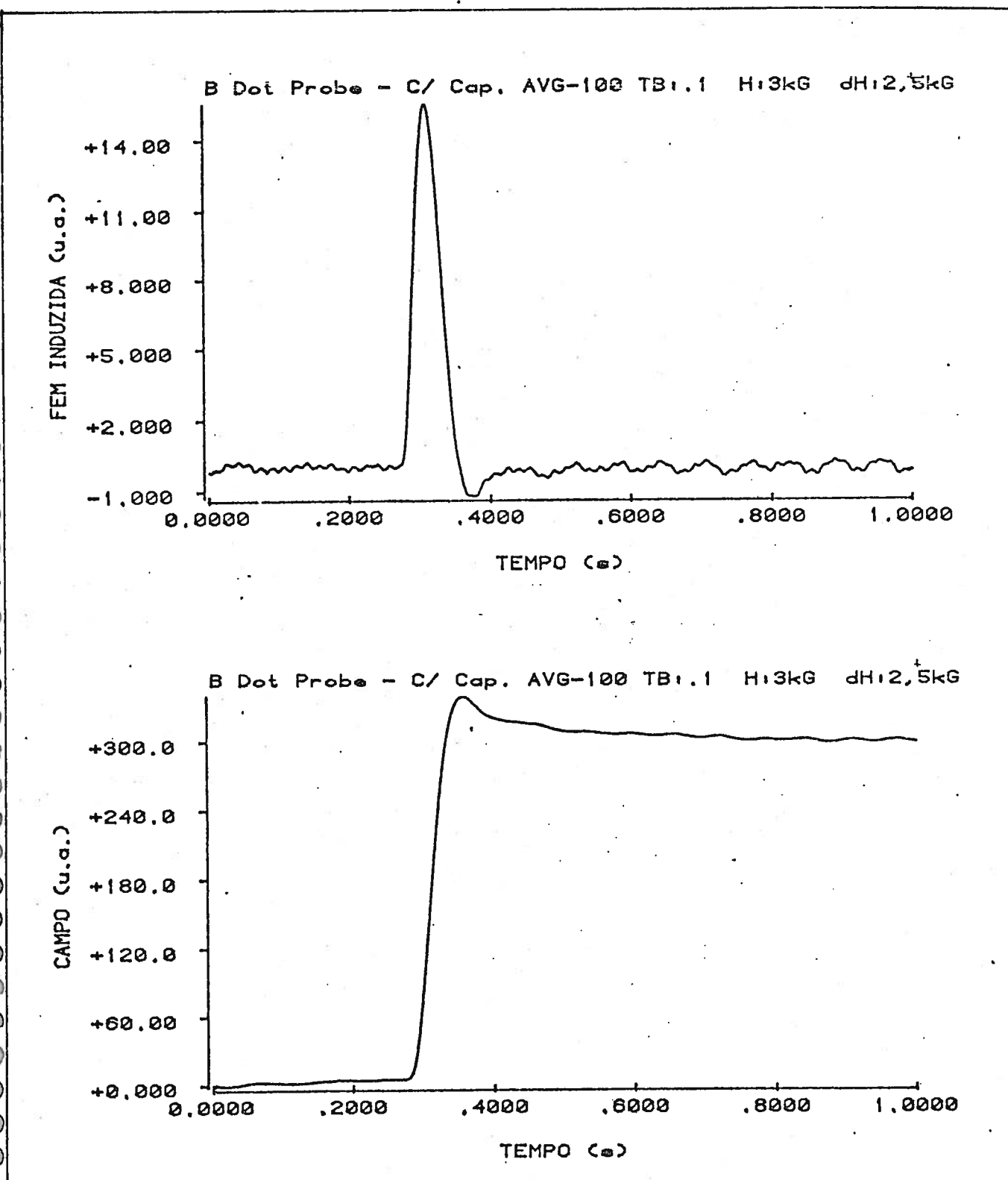


Fig. 3-14: Variação da intensidade do campo, medida pela FEM induzida. Acima, pulso de tensão induzido na bobina - $\xi(t) = d\phi/dt$. Abaixo, variação do campo obtida por integração - $B(t) = \int \xi(t)dt$.

Os resultados dessas medidas indicam a existência de um "overshoot" de cerca de 10% da variação do campo, com um tempo de recuperação de no mínimo 200 ms, para um tempo de subida do pulso de 70 ms o que é bastante coerente com os resultados obtidos para o movimento do motor (Fig. 3-11).

Nas medidas realizadas com o SMOP, verificamos experimentalmente que o tempo de espera pela estabilização do campo podia ser reduzido até 50 ms sem que fosse notada qualquer distorção nos espectros. Essa verificação foi feita através do procedimento sugerido pelo fabricante[21], que consiste em registrar o mesmo espectro em duas varreduras simétricas (increase, decrease).

Neste caso, se o controlador não conseguir acompanhar de perto o "set-point" (ou seja, a rampa gerada pelo helipot), as linhas dos espectros obtidos na subida e na descida do campo aparecerão em posições diferentes, indicando que a varredura está rápida demais para o controlador e que, portanto, o intervalo entre pulsos deve ser aumentado de modo a tornar a varredura mais lenta.

Nas medidas realizadas em cristais de RDA, que serão apresentadas no final deste capítulo, este procedimento foi usado sistematicamente, sem apresentar qualquer problema.

3.3 O registro dos espectros

Tal como no sistema de aquisição passiva, o registro do sinal de ressonância no SMOP é feito através do ADC HP 59313A e as medi-

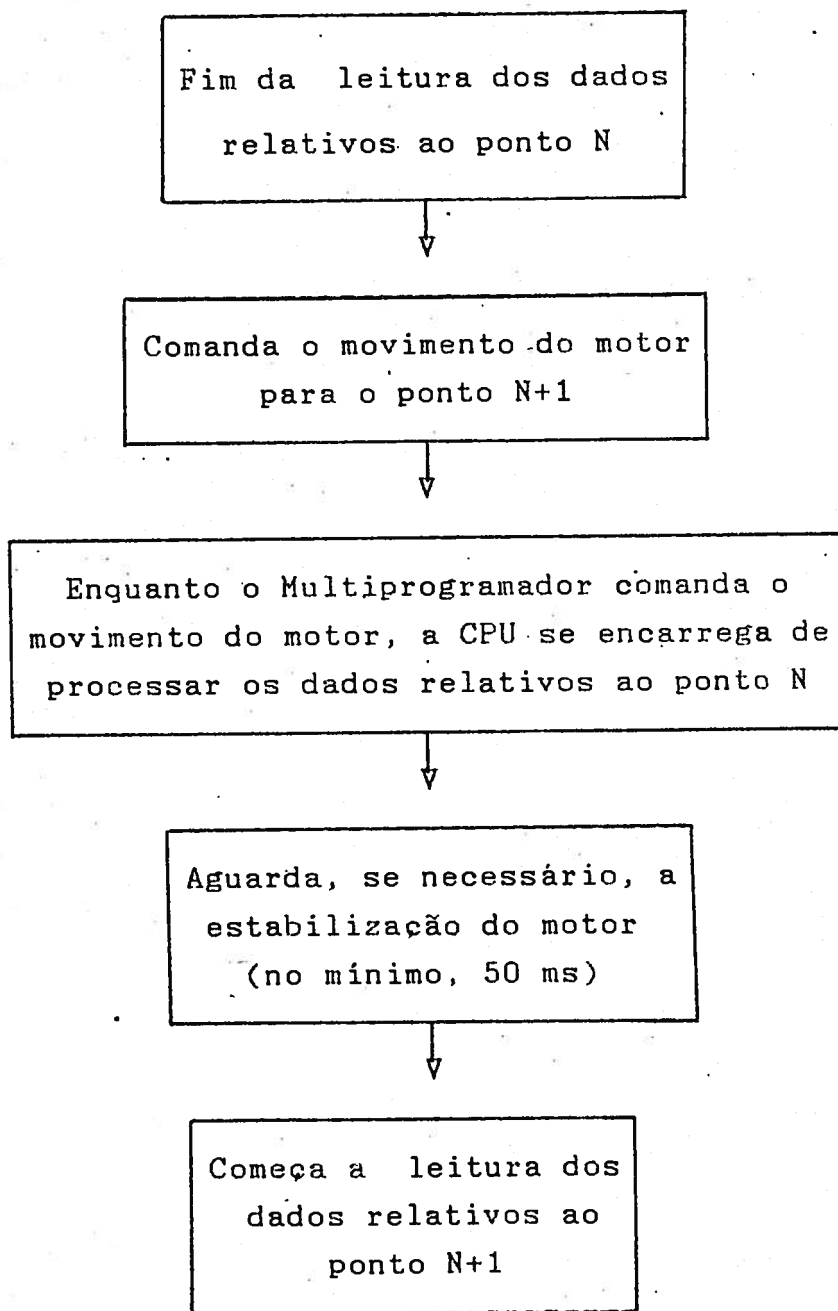
ções da intensidade do campo são feitas com os gaussímetros Varian ou Metrolab. Para evitar que o processo de aquisição tenha de ser interrompido para mudanças de escala ou de pontas de prova do gaussímetro, foi usado um esquema de calibração de posições do helipot, semelhante ao método de calibração da rampa descrito na seção 2.2.1.

Para o registro do sinal de ressonância, o sistema permite o uso da técnica de média ponto a ponto, além do sistema tradicional de média ("signal averaging") baseado na soma coerente dos espectros obtidos em várias varreduras.

A técnica de média ponto a ponto consiste em fazer um bloco de leituras do sinal, mantendo-se fixo o campo magnético, para depois submeter esse bloco a um processamento matemático conveniente como, por exemplo, cálculo de médias, filtros digitais, etc. Embora no momento, o único processamento disponível no sistema seja o cálculo da média aritmética, a inclusão de outras operações é uma tarefa relativamente simples, em virtude da estrutura modular do programa. As limitações dessa técnica serão discutidas na seção 3.4.1.

Como vimos na seção 3.2.3, é de grande importância que o motor esteja estável para que se dê início às conversões relativas a um ponto qualquer do espectro. Por essa razão, o programa de controle deve assegurar a existência de um intervalo de tempo da ordem de 50 milisegundos entre o comando de passo e o comando de medi-

ção. Em um espectro de 1000 pontos, a acumulação desses intervalos resulta em um "tempo morto" da ordem de 1 minuto, tempo este que pode ser aproveitado para fazer os cálculos do próprio programa de aquisição, desde que seja usada a lógica de programação mostrada abaixo:



Conforme se vê, após a estabilização do motor em um dado ponto do campo, é feito um registro do sinal e em seguida, antes de se iniciar o processamento desse registro, é dado um comando de passo para o motor. Terminado o processamento, pode-se ainda dar um atraso de X milisegundos no programa, após o que o processo se repete até que o último ponto de interesse seja medido. Em resumo, o que se faz com essa lógica é processar as medidas relativas ao ponto N, enquanto o motor se desloca para o ponto N+1, aproveitando assim o "tempo morto" decorrente desse deslocamento.

O valor do atraso X a ser colocado após os cálculos vai depender da complexidade dos mesmos e pode ser ajustado experimentalmente ou avaliado "a priori" através de rotinas que simulem o procedimento matemático ao qual o bloco de dados vai ser submetido. No sistema RTE, o atraso na execução é obtido com resolução de 10 milisegundos através do comando de "auto schedule" no qual o próprio programa se coloca em estado de suspensão, após informar ao sistema operacional a hora em que deverá ser "despertado". Depois de reativado, o programa prossegue sua execução a partir do ponto em que foi suspenso.

Toda a operação do Sistema do Motor de Passo é comandada pelo programa SMOP que, tal como no sistema de aquisição passiva, foi escrito no estilo de um sistema operacional onde a interação com o usuário se processa através de comandos. Uma descrição geral do programa e dos comandos encontra-se no Apêndice 3.

3.4 Recursos adicionais do SMOP

O programa SMOP oferece ao usuário uma série de recursos destinados a facilitar a condução da experiência de EPR e que são essencialmente os mesmos disponíveis no sistema de aquisição passiva. Uma descrição desses recursos encontra-se na seção 2.3, razão pela qual não serão reapresentados aqui, com exceção do problema da escolha da taxa de aquisição dos dados, que será discutida em seguida.

3.4.1 A escolha da taxa de aquisição dos dados

Assim como no sistema de aquisição passiva, a frequência de operação do ADC é passada ao programa SMOP com o comando FC. O critério para a escolha dessa frequência, entretanto, é completamente diferente, já que no SMOP as conversões se processam com o campo magnético estacionário e referem-se, portanto, à intensidade do sinal em um único ponto do espectro.

No processo de aquisição, o programa permite que se faça até 1024 conversões para cada ponto do espectro nas frequências de 5, 10, 20, 50, 100 e 200 cps. Os resultados dessas conversões são armazenados em um vetor e o sinal de ressonância é obtido da média aritmética desses resultados. Para que esse processo possa levar a uma medida representativa do sinal é necessário entretanto que a autocorrelação das amostragens seja suficientemente pequena^[21] para que haja convergência da média. Caso contrário, a variância da média será sempre da mesma ordem que a variância das amostra-

gens qualquer que seja o número das mesmas.

Com base no que acabamos de expor, podemos concluir que para termos resultados significativos no cálculo da média, é necessário que as conversões tenham um espaçamento tal que cada uma delas não contenha nenhuma "memória" da conversão anterior. Como não podemos determinar "a priori" o tipo de ruído que estará presente em uma dada experiência, torna-se praticamente inviável o estabelecimento de um critério para a escolha da frequência de aquisição, a menos que se faça uma análise do espectro do sinal, o que não é possível no estágio presente de desenvolvimento do SMOP.

Nos vários testes realizados com este sistema, obtivemos resultados satisfatórios usando uma taxa de 100 cps mas, de um modo geral, a frequência mais apropriada terá de ser determinada, caso a caso, através da inspeção dos resultados.

3.5 A resolução dos espectros no SMOP

Como vimos na seção 2.3.1, a taxa de conversão no sistema de aquisição passiva determina a resolução do espectro ou seja, o número de pontos por gauss. No SMOP a taxa de conversão está relacionada com a qualidade da média do sinal e nada tem a ver com a resolução.

De acordo com a eq. 2.17, a densidade de amostragem de um espectro deve ser no mínimo igual a $2/L$, onde L é a largura da linha

mais estreita existente. Devido às características eletromecânicas do sistema de varredura passo a passo, a densidade de amostragem no SMOP será sempre dada por

$$d_a = (NPPR * NVH) / SR \quad (3.1)$$

onde

SR = valor do "sweep range"

NPPR = número de passos por revolução

NVH = número de voltas do helipot

No nosso sistema, NPPR = 200 e NVH = 10 de modo que

$$d_a = 2000 / SR \quad (3.2)$$

Comparando este resultado com a eq. 2.17, podemos escrever então que

$$SR = (2000/2) * L \quad (3.3)$$

A equação acima nos permite avaliar o valor mínimo do "sweep range", para que o espectro seja corretamente representado do ponto de vista da teoria da amostragem, ou seja, para que o mesmo contenha no mínimo dois pontos na linha mais estreita.

A aplicação pura e simples deste resultado pode nos levar a situações tecnicamente inviáveis, pois a aquisição de linhas mais largas que 15 gauss exigiria um valor de varredura (15000 gauss) impossível de ser conseguido pelo eletroimã do espectrômetro. A solução para este problema consiste simplesmente em trabalhar com um maior número de pontos na linha mais estreita o que, aliás, é desejável, conforme visto na seção 2.3.1., embora possa acarretar um acréscimo no nível de ruído de alta frequência da experiência.

3.6 Aplicações e resultados

O SMOP é um sistema que foi desenvolvido com o objetivo de fazer registros mais precisos de espectros de EPR tendo em vista principalmente os processos de "signal averaging". Dependendo das características do ruído presente no sistema, a média pode ser feita em uma varredura apenas, com uma substancial economia de tempo. Além disto, o programa pode ser usado para fazer medidas de uma varredura com apenas uma conversão por ponto, ou mesmo fazer uma combinação de múltiplas varreduras com múltiplas conversões em cada ponto.

No início das aplicações do SMOP, nossas atenções se concentraram no desempenho do conjunto motor de passo/helipot. Embora já tivéssemos testado o sistema com a geração de rampas de tensão contínua (Fig. 3-13), sabíamos que a sua instalação no "Fieldial Varian" seria um problema diferente, já que neste caso, a tensão a ser controlada, além de ser alternada (1300 Hz), faz parte de um elo de realimentação de um sistema síncrono (PLL). Para evitar interferências, o relé de comutação (Fig. 3-4) foi instalado junto ao potenciômetro original de "sweep", aproveitando-se a blindagem já existente. A ligação do relé com o helipot (que fica localizado externamente à fonte) foi feita com cabos blindados do tipo que se usa em circuitos de áudio. Com a fonte em funcionamento, verificamos que essa instalação não causou qualquer tipo de problema com a estabilidade do campo e pudemos então iniciar a operação do SMOP.

As primeiras medidas foram feitas com o objetivo de se avaliar o comportamento da varredura. Para isto, escrevemos o programa DSMP7 (Ap.4), que aciona o motor de passo ao longo dos 2000 pontos disponíveis e, para cada ponto, registra a intensidade do campo com auxílio de um gaussímetro GPIB (Varian E-500). A partir dos dados coletados por este programa, calculamos a "largura" total da varredura, o valor médio do passo e o desvio padrão do valor do passo. Na tabela 3-2, apresentamos alguns dos resultados obtidos nessa experiência.

-----+	
Arqv: tgsv8	Arqv: tgsv2
Nome: Regiao dos 6000 - 15/6/89	Nome: Teste rampa GSV #2 14/06/89
NP:.. 2000	NP:.. 2000
Inicio:..... 6287.9	Inicio:..... 1747.2
Fim:..... 7277.7	Fim:..... 2249.
Varredura total:..... 989.8	Varredura total:..... 501.8
Valor medio do passo: .49515	Valor medio do passo: .25103
Desvio padrao:..... 9.85409E-2	Desvio padrao:..... 6.90151E-2
-----+	

-----+

Tabela 3-2: Resultados da varredura controlada por motor de passo. NP é o número de pontos e os valores de campo são expressos em gauss.

Os dados acima mostram resultados obtidos nas regiões dos 1000 e dos 6000 gauss e pode-se observar a pequena dispersão no valor médio do passo. As varreduras foram ajustadas para 500 e 1000 gauss, respectivamente, e as pequenas discrepâncias observadas podem ser minimizadas através de uma recalibração da fonte. Outros resultados obtidos nessas medidas são apresentados, graficamente, nas Figs. 3-15, 3-16, e 3-17.

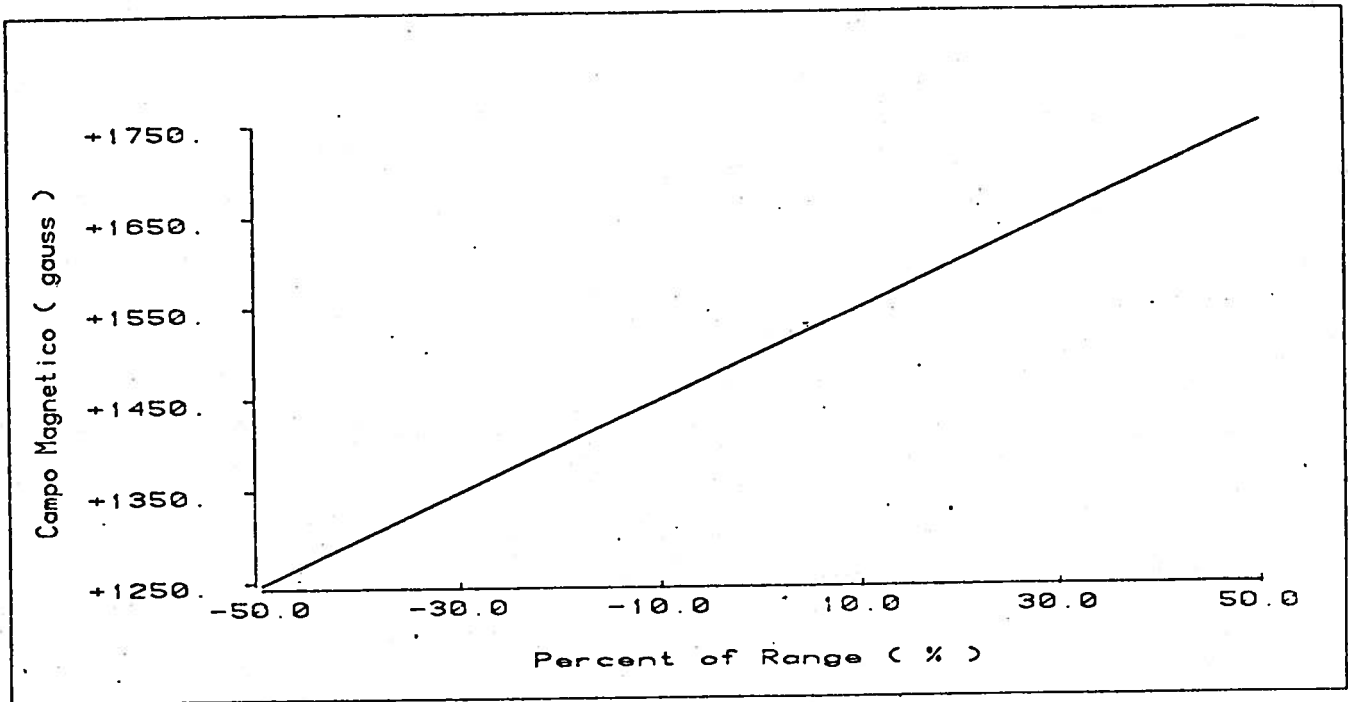


Fig. 3-15: Rampa controlada pelo SMOP - região dos 1000 gauss

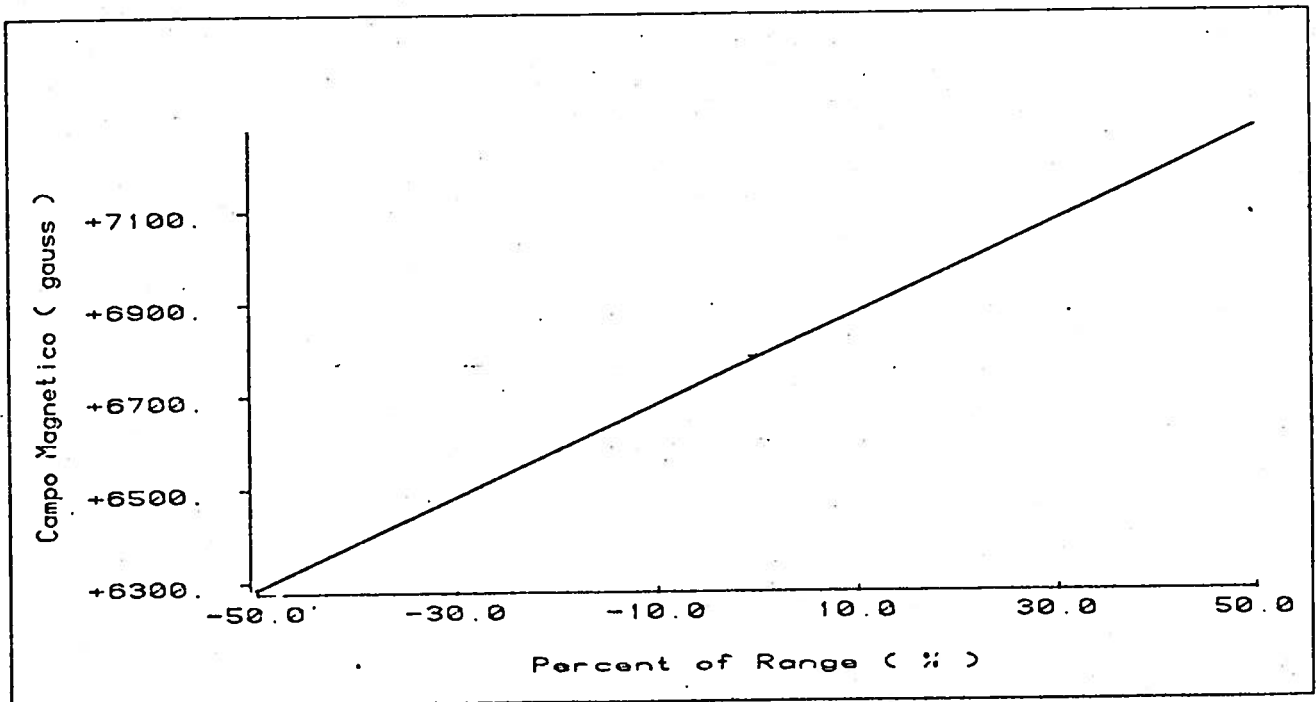


Fig. 3-16: Rampa controlada pelo SMOP - região dos 6000 gauss

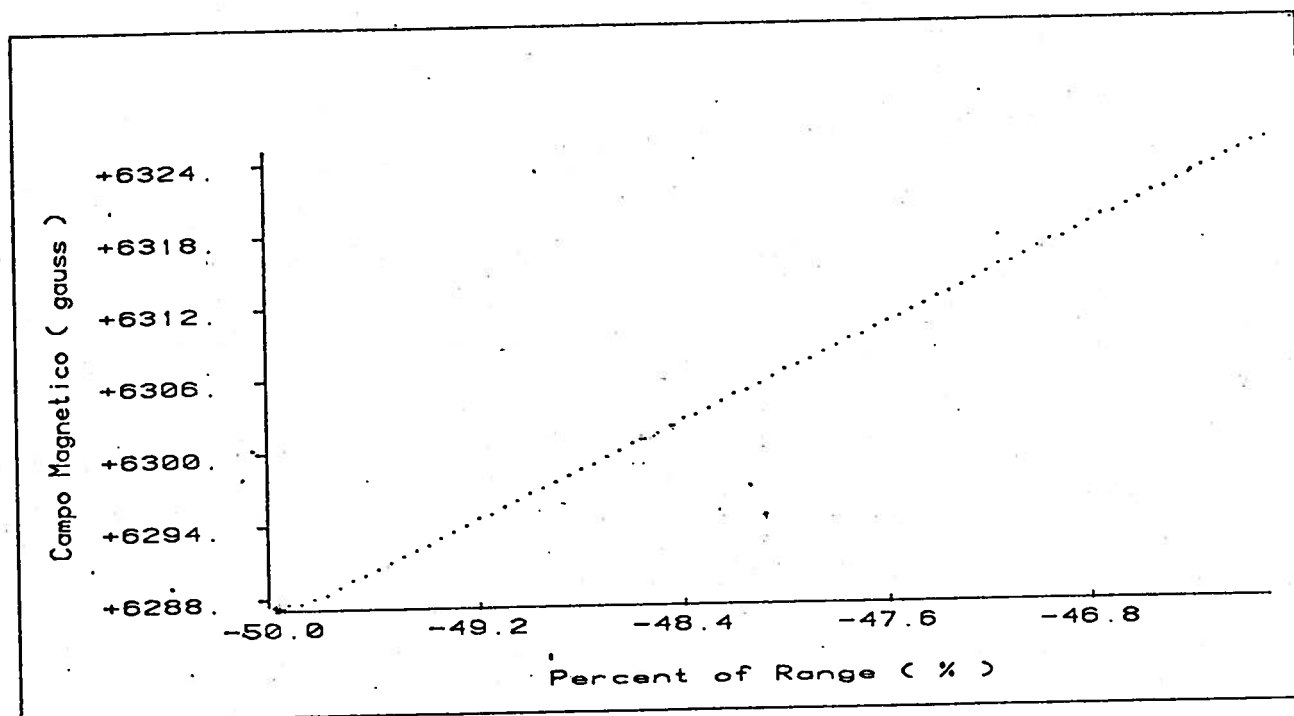


Fig. 3-17: Rampa na região dos 6000 gauss - detalhe
O patamar em -50% é devido ao helipot

Depois de nos certificarmos da confiabilidade da varredura gerada pelo SMOP, através das medidas que acabamos de descrever, concentramos nossa atenção nas experiências de EPR em RDA:Tl^{2+} que estavam sendo realizadas no laboratório^[13], pois nelas havia um grande interesse em se estudar o comportamento de uma linha, na região dos 7400 gauss, que aparecia bastante mascarada pelo ruído na linha de base do registro analógico tradicional (Fig. 3-18).

3070233

N.T. 110

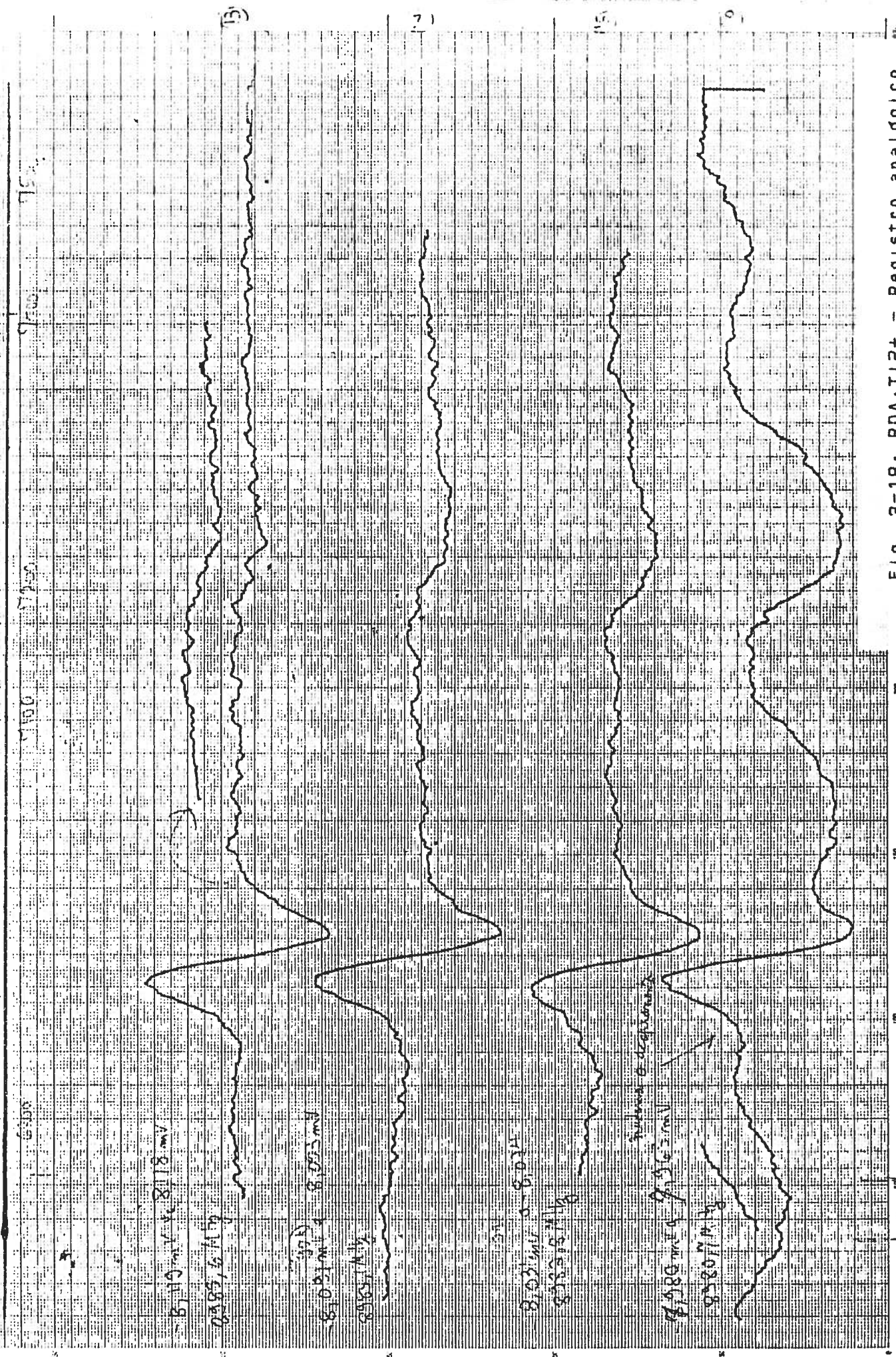


Fig. 3-18: RDA:TI2+ - Registro analógico

Ref.: Formato A3

O primeiro conjunto de medidas das amostras de RDA:Tl²⁺ teve como objetivo a determinação de valores adequados para a frequência de conversão (FC) e para o número de medidas por ponto (NMPP).

Os resultados obtidos nos indicaram que medidas realizadas a uma taxa de 200 cps (conversões por segundo), com 10 leituras por ponto, já produziam resultados aceitáveis, embora a linha de base ainda aparecesse com um ruído relativamente alto, conforme se vê na Fig. 3-19. Outras medidas, realizadas com a mesma taxa (200 cps), mas com 100 e 500 leituras por ponto, mostraram de maneira inequívoca, a eficiência do método de média ponto a ponto, implementado pelo SMOP, na redução do ruído do espectro (Figs. 3-20 e 3-21).

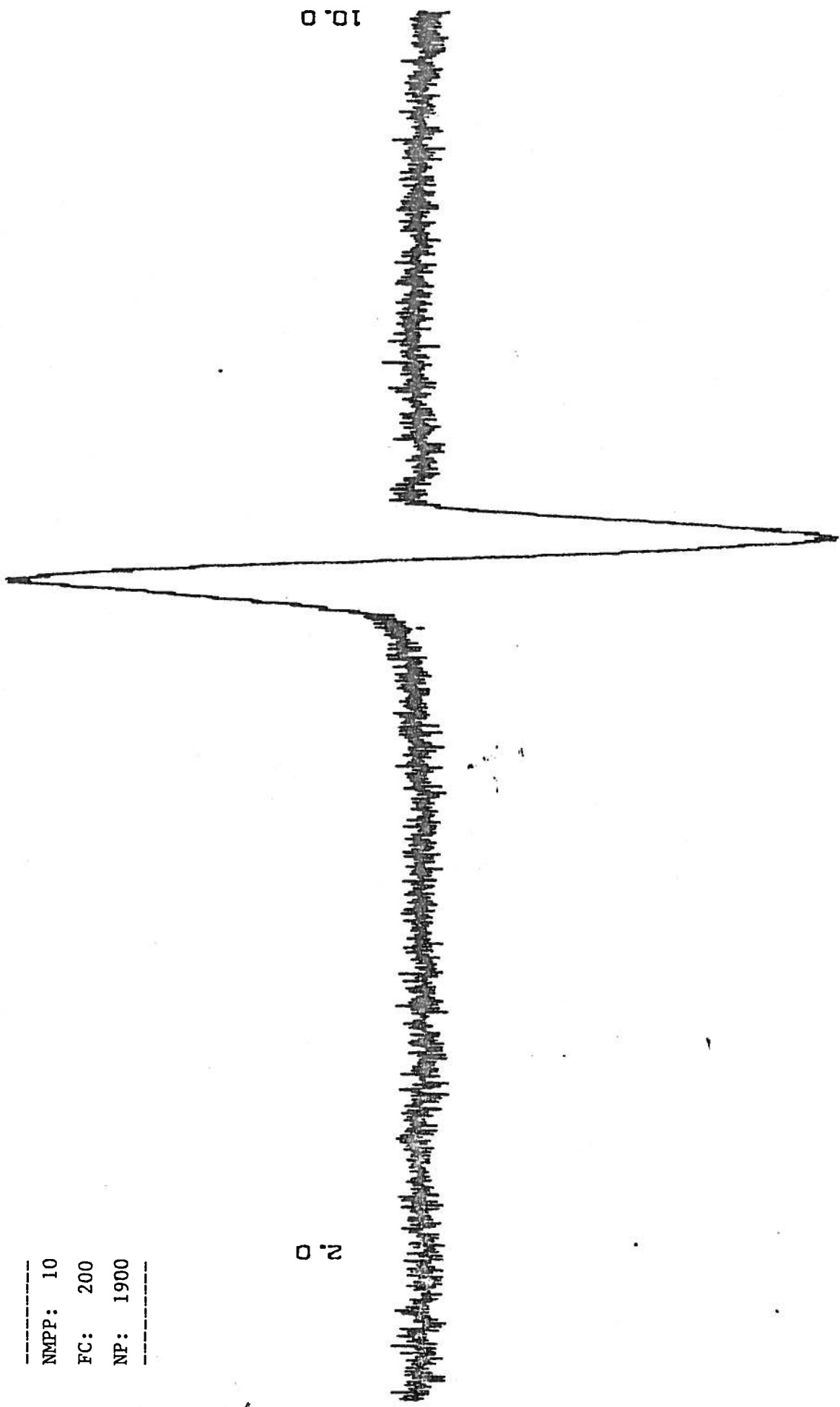
Embora esses resultados tenham sido considerados muito bons, é importante notar que, enquanto o tempo gasto na medida com 10 leituras por ponto foi de 1,5 minutos, as outras medidas gastaram, respectivamente, 16 e 80 minutos. Como se vê, o método é eficiente mas, em contrapartida, pode necessitar de um tempo de amostragem excessivamente longo, às vezes impossível de ser obtido na prática, devido a outros fatores como, por exemplo, a estabilidade da temperatura da amostra.

Embora até o momento não tenha sido testada, uma alternativa que se configura promissora para a redução do tempo de aquisição, é trabalhar com um número menor de pontos e submetê-los a um filtro passa-baixas com frequência de corte próxima de zero, já que o sinal de interesse nesse caso é essencialmente constante.

NMPP: 10
FC: 200
NP: 1900

□
N

10.0



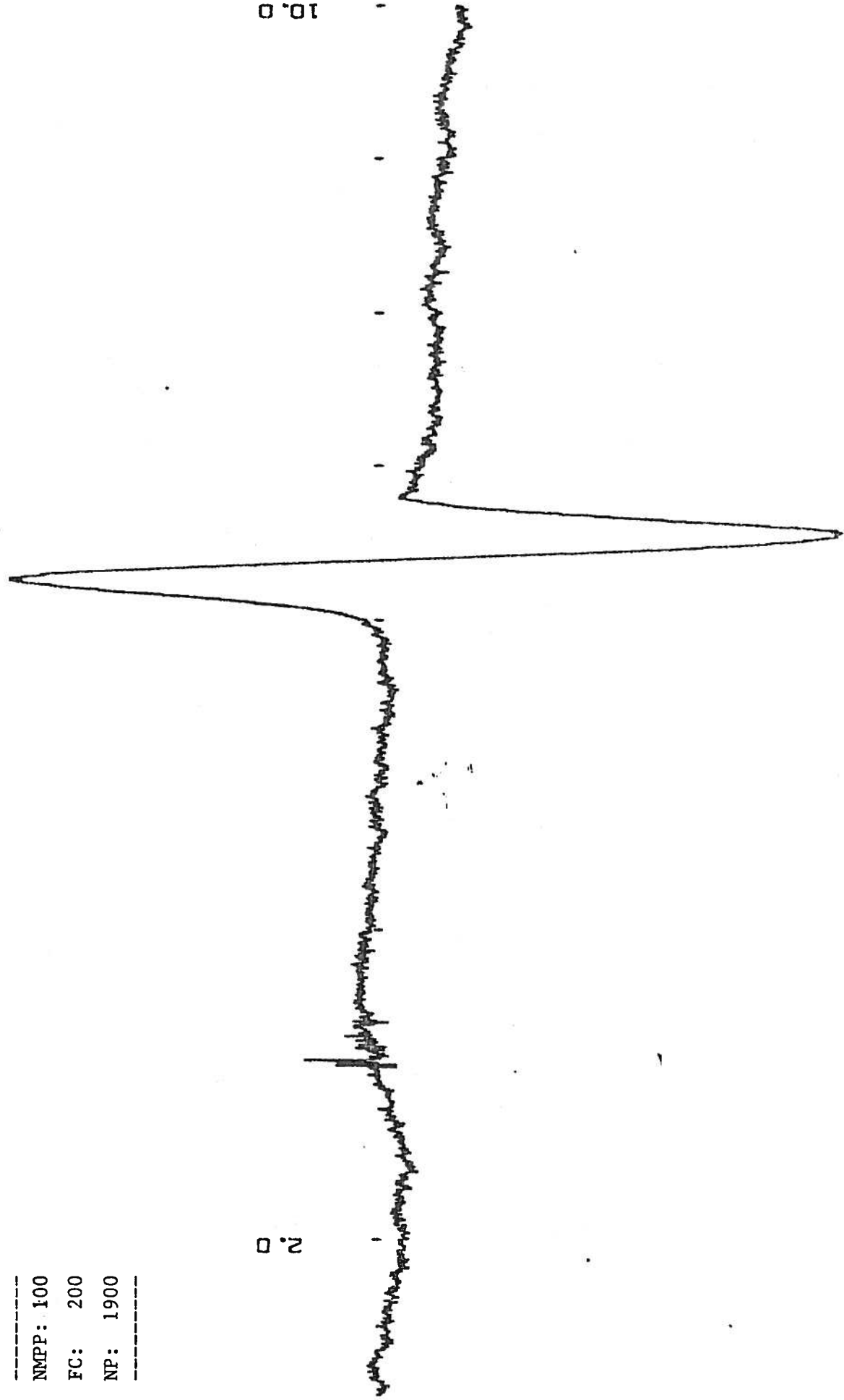
1 div. = 1.0 gauss
test1 do smpl

FIG. 3-19: RDA:T12+ - Registro com o SMOP
No. de medidas por ponto: 10

NMPP: 100
FC: 200
NP: 1900

0 2

10.0



1 div. = 1.0 gauss
testa 2 do smp1 - 100 med/ponto - 08/04/88

Fig. 3-20: RDA:T12+ - Registro com o SMOP
No. de medidas por ponto: 100

(1)

NMPP: 500
FC: 200
NP: 1900

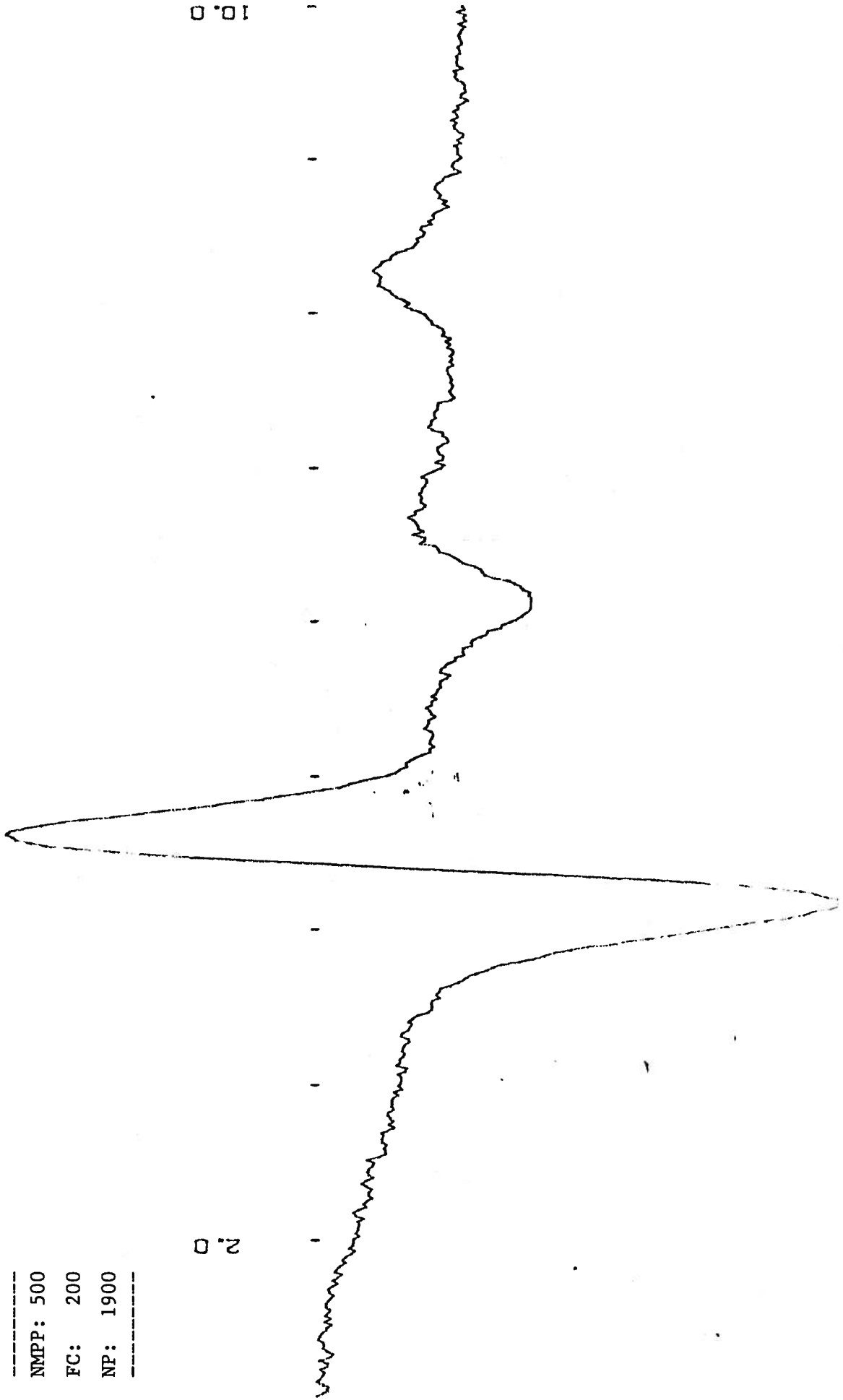


FIG. 3-21: RDA:T12+ - Registro com o SMOP
NO. de medidas por ponto: 500

1 div. = 1.0 Gauss

Depois dessas experiências, o SMOP foi usado em um estudo detalhado do RDA:Tl²⁺ [13], onde foram feitas cerca cem medições, nas quais procurou-se estabelecer um compromisso entre a qualidade do sinal e o tempo de aquisição dos espectros.

Para tanto, a taxa de aquisição foi mantida em 200 cps e foram feitas 100 amostragens para cada ponto. Além disso, a confiabilidade do sistema, com relação ao tempo de estabilização do motor, foi testada o tempo todo, fazendo-se varreduras simétricas ("increase", "decrease") em todos os espectros.

Os resultados obtidos foram de muito boa qualidade e permitiram, inclusive, que se tornasse possível o acompanhamento da linha correspondente ao centro A⁺ (Fig. 3-22), o que havia sido considerado inviável com o uso do sistema analógico tradicional.

Alguns desses resultados estão apresentados nas Figs. 3-23, 3-24 e 3-25, onde se pode ver também, nas linhas contínuas, o ajuste dos espectros a uma soma de três derivadas de gaussianas, realizado com o auxílio dos programas RESS1[23] e FIT2C[24].

O pré-processamento dos dados, bem como o seu transporte para o programa de ajuste (FIT2C), foi feito com o auxílio do programa MASPE através de fitas magnéticas de 1600 BPI.

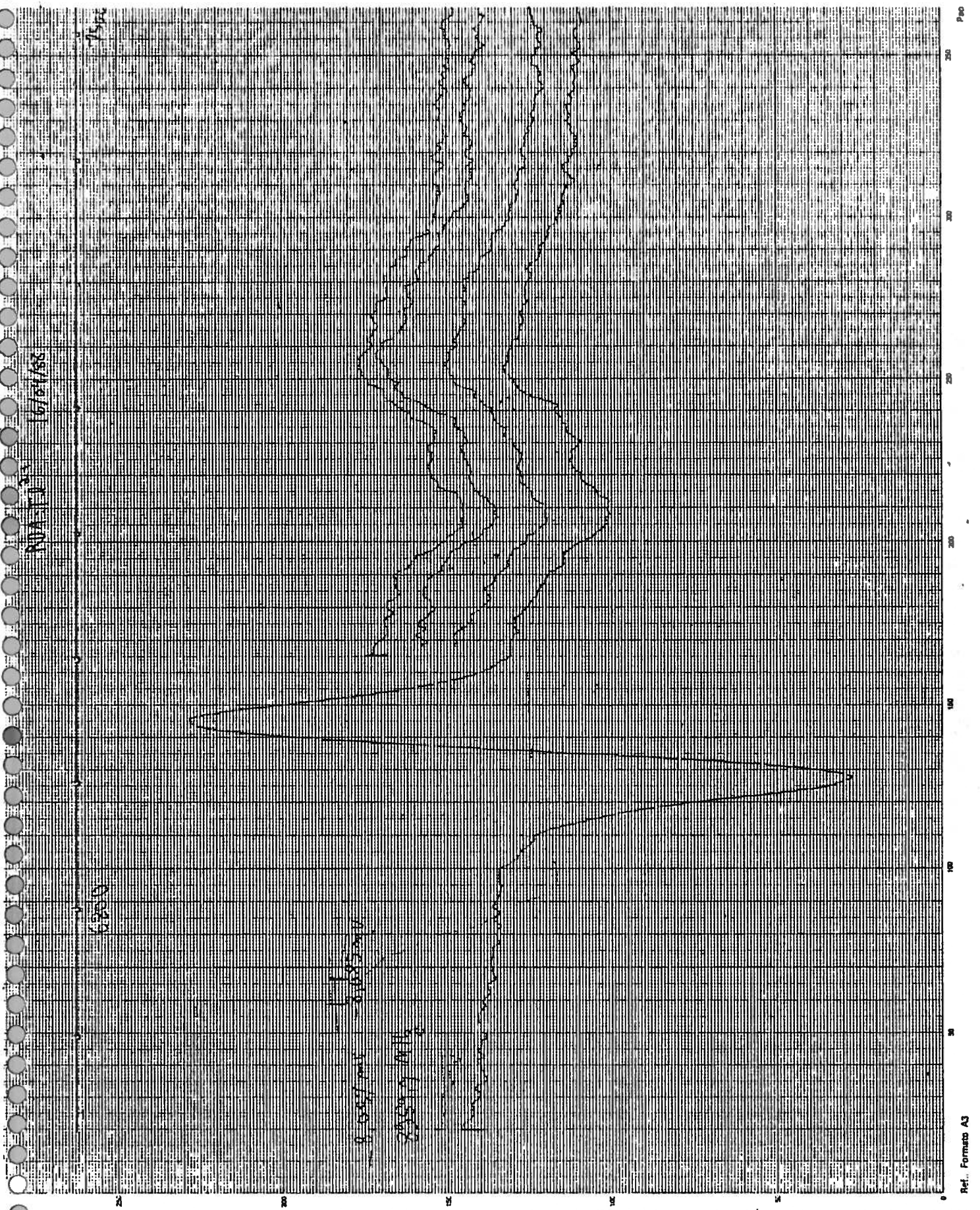
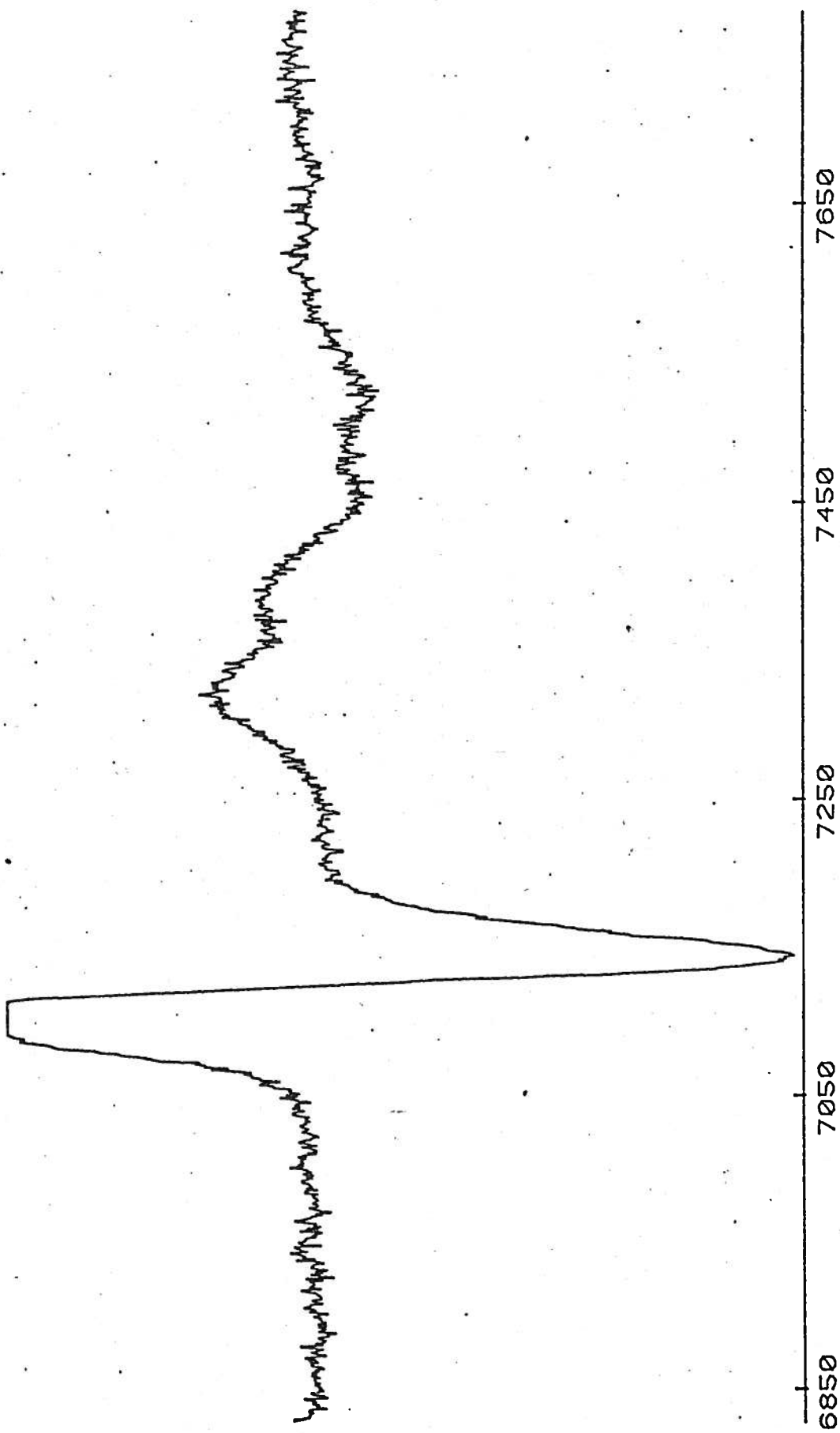
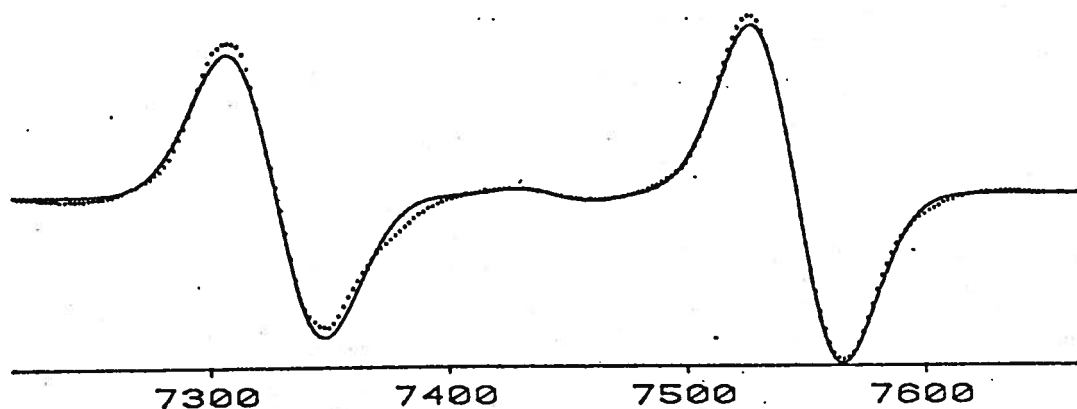


Fig. 3-22: Registros analógicos de espectros de RDA:Tl²⁺ obtidos ao longo dos estudos do centro A⁺ [13]

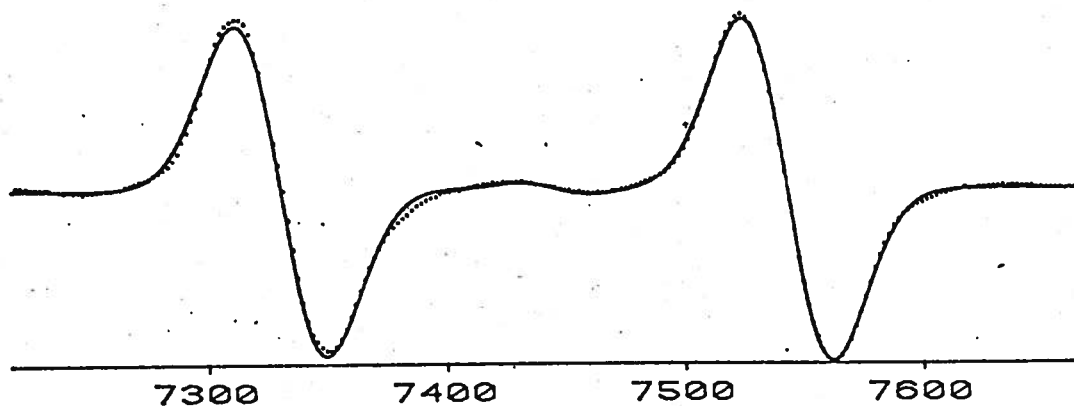


- CAMPO MAGNETICO (GAUSS) -

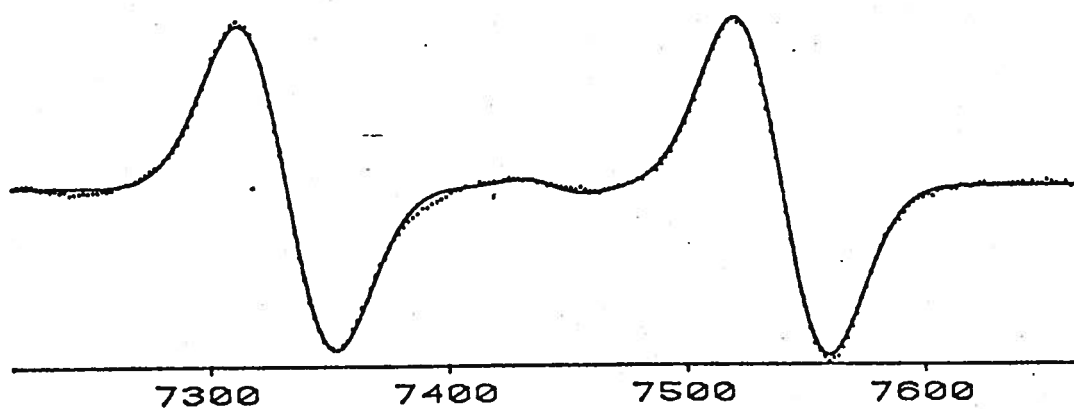
Figura 3-23 - Linhas de campo alto do espectro de RPE de RDA: Tl^{2+} ($T = 103.4K$, campo magnético no plano ac a 61° de 'c).



T = 32.6K

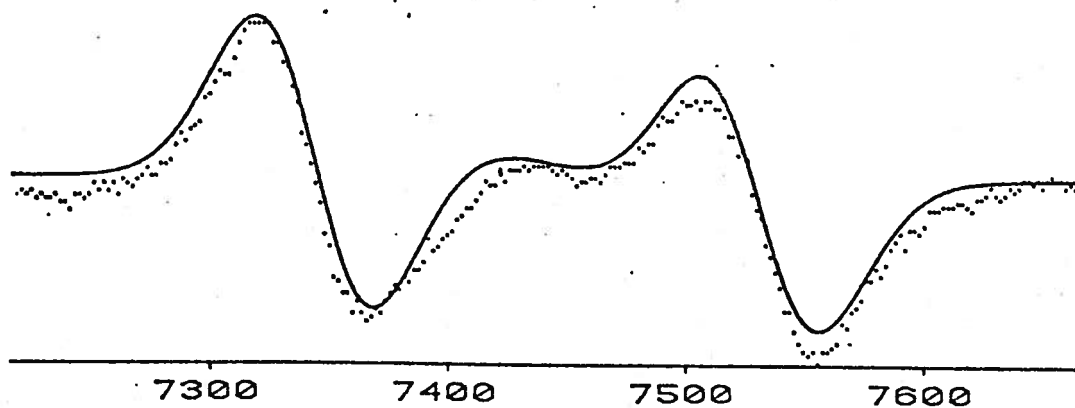


T = 62.3K

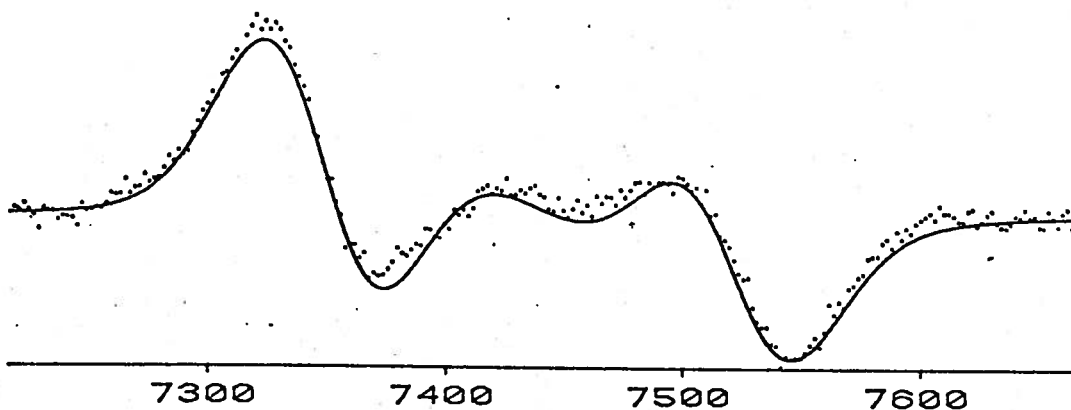


T = 74.7K

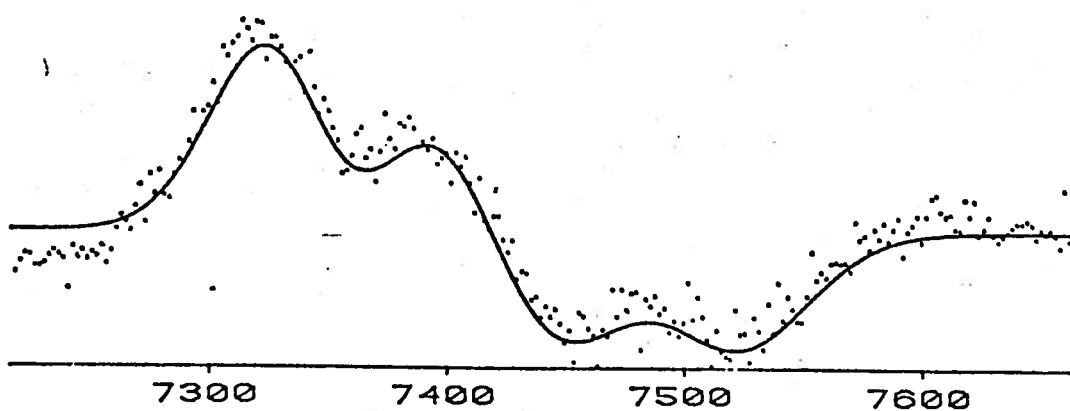
Figura 3-24 - Linhas de campo alto dos centros A'_+ , A_+ e A''_+ (Campo magnético no plano ac a 61° de c)



T = 88.9K



T = 94.5K



T = 103.4K

Figura 3-25 - Linhas de campo alto dos centros A_+'' , A_+ e A_+' (campo magnético no plano ac a 61° de c)

3.7 Resultados Adicionais

Ao longo dos estudos do RDA: Tl^{2+} , observou-se [13] a existência de uma estrutura dependente da temperatura, sobre uma das linhas de campo alto, quando o campo magnético era aplicado dentro de uma estreita faixa de orientações (20 a 22°), no plano ab (Fig. 3-26).

Durante a fase de análise dos resultados, aventou-se a hipótese de se fazer um modelo físico para um estudo mais detalhado dessas estruturas, no qual as derivadas dos espectros já armazenados em disco seriam usadas como dados, pois, a realização de uma nova série de medidas acarretaria um grande atraso nas atividades do laboratório.

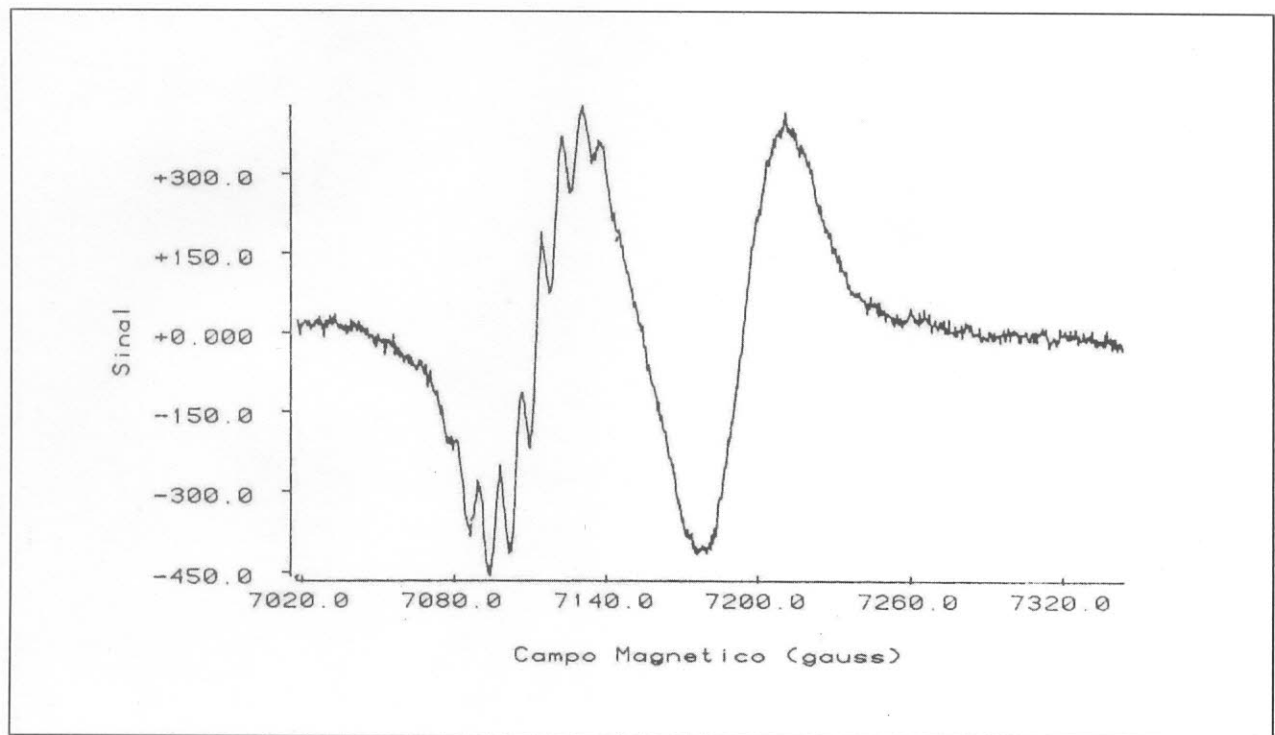


Fig. 3-26: Espectro de RDA c/ estrutura dependente da temperatura

Quando se tem um espectro com uma ótima relação sinal-ruído, o cálculo da derivada não chega a apresentar maiores problemas mas, quando se tem a presença de componentes de "alta frequência" misturadas ao sinal de interesse, o resultado da derivação numérica pode ser bastante desapontador, uma vez que estas componentes geram muito ruído quando derivadas. (Fig. 3-27)

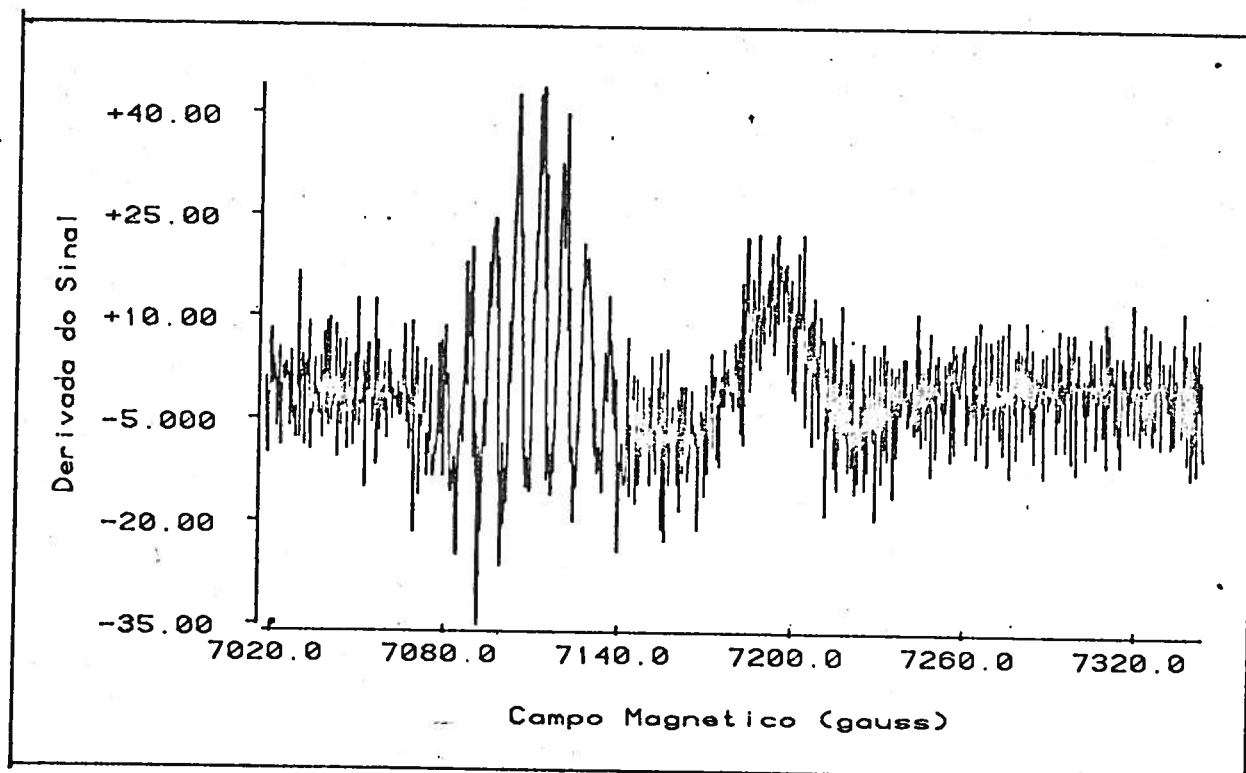


Fig. 3-27: Derivada do espectro de RDA com estrutura

Para contornar essa dificuldade, resolvemos submeter os resultados das derivadas a uma operação de alisamento (smoothing) com o

uso de um algoritmo que, em resumo, substitui cada ponto pela média de vizinhos adjacentes.

Esta operação, embora produza resultados, digamos aceitáveis, apresenta o grande inconveniente de ter uma resposta de frequência um tanto irregular, conforme vimos no capítulo 1, Fig. 1-4.

Por causa desse inconveniente, resolvemos então experimentar a técnica de redução de ruído, baseada em filtros digitais. Para essa experiência, usamos o filtro passa-baixas tipo NER (Nearly Equal Ripple)[5], apresentado no capítulo 1 e que foi implantado como sendo uma das operações disponíveis no programa MASPE (comando FD). O usuário, ao utilizá-lo, fornece a frequência de corte, os limites da ondulação, no ganho e a tolerância na frequência de corte.

Para que se possa fazer uma avaliação da frequência de corte, introduzimos, no programa MASPE, uma rotina que calcula a transformada de Fourier (FFT) (comando FT) e exibe na tela o espectro de potência do sinal. Esta rotina usa o algoritmo de Tukey[25] e devolve ao programa principal a transformada na ordem correta ("unscrambled").

Para facilitar a introdução dos dados no filtro digital, a escala de frequências é devolvida em termos da frequência de Nyquist e varia, portanto, de 0 a 1.

Depois da implantação dessas funções, a filtragem das derivadas dos espectros foi feita da seguinte maneira:

- Tomamos inicialmente o espectro e calculamos a derivada numérica ponto a ponto (Figs. 3-26 e 3-27).
- Isolamos no espectro-derivada uma região de interesse, completamos com zeros para que o número de pontos fosse uma potência de 2 e calculamos a FFT (Fig. 3-28). No gráfico da FFT, podemos observar dois picos que, pelas suas frequências, estão relacionados com a linha principal e com a estrutura existente na primeira linha. Para preservar a informação destes picos, escolhemos uma frequência de corte um pouco abaixo de 0,2 e aplicamos o filtro pelo método da convolução no tempo, tal como descrito no capítulo 1.
- A aplicação do filtro resulta em um espectro-derivada totalmente isento de ruído de alta frequência (Fig.3-29). Os ruídos de baixa frequência da linha de base têm larguras muito próximas das larguras das oscilações da derivada e, por isso, não podem ser atenuados.

A FFT do espectro filtrado mostra, de maneira muito clara, o efeito do filtro na atenuação das frequências relativas acima de 0,2 (Fig. 3-29).

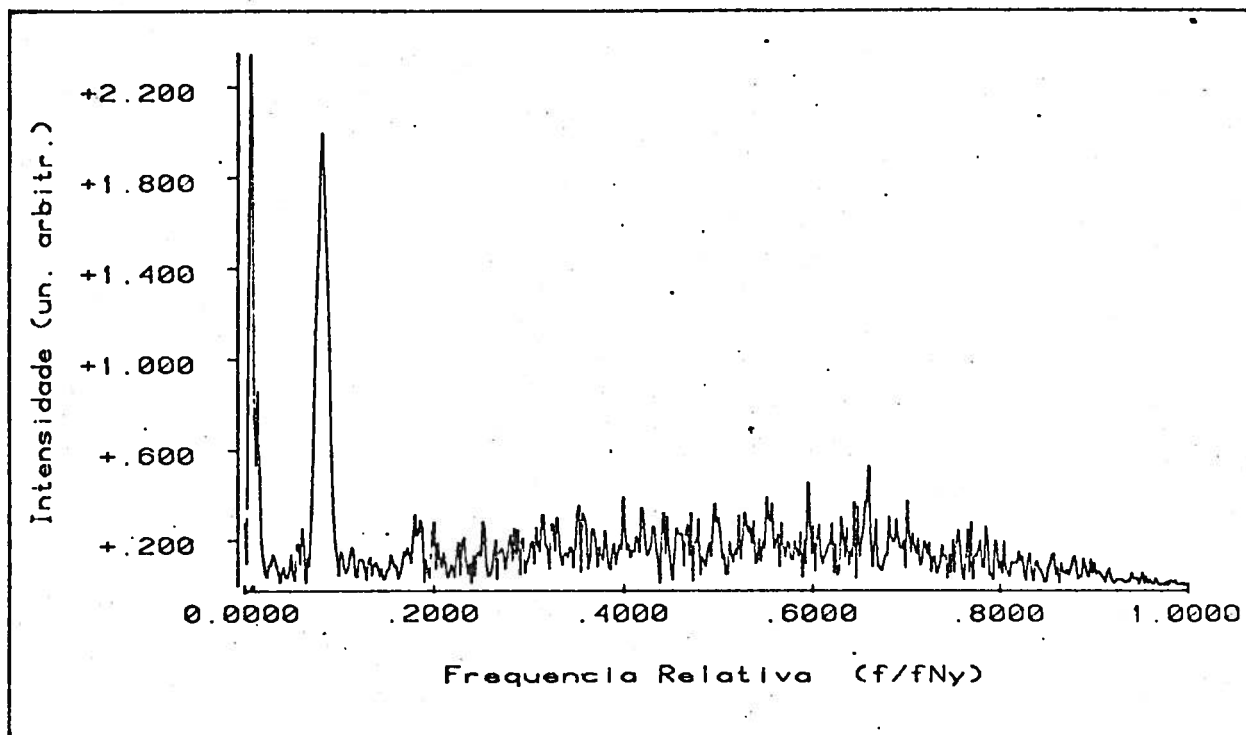


Fig. 3-28: Espectro de potências da derivada do espectro de RDA com estrutura. A frequência de corte para a aplicação do filtro digital foi escolhida um pouco abaixo do ponto 0,2.

De um modo geral, quando se tem de trabalhar com as derivadas de espectros ruidosos, o procedimento correto é filtrar os dados e depois derivá-los. No nosso caso, a ordem inversa foi usada intencionalmente, com o objetivo de realçar a eficiência do filtro.

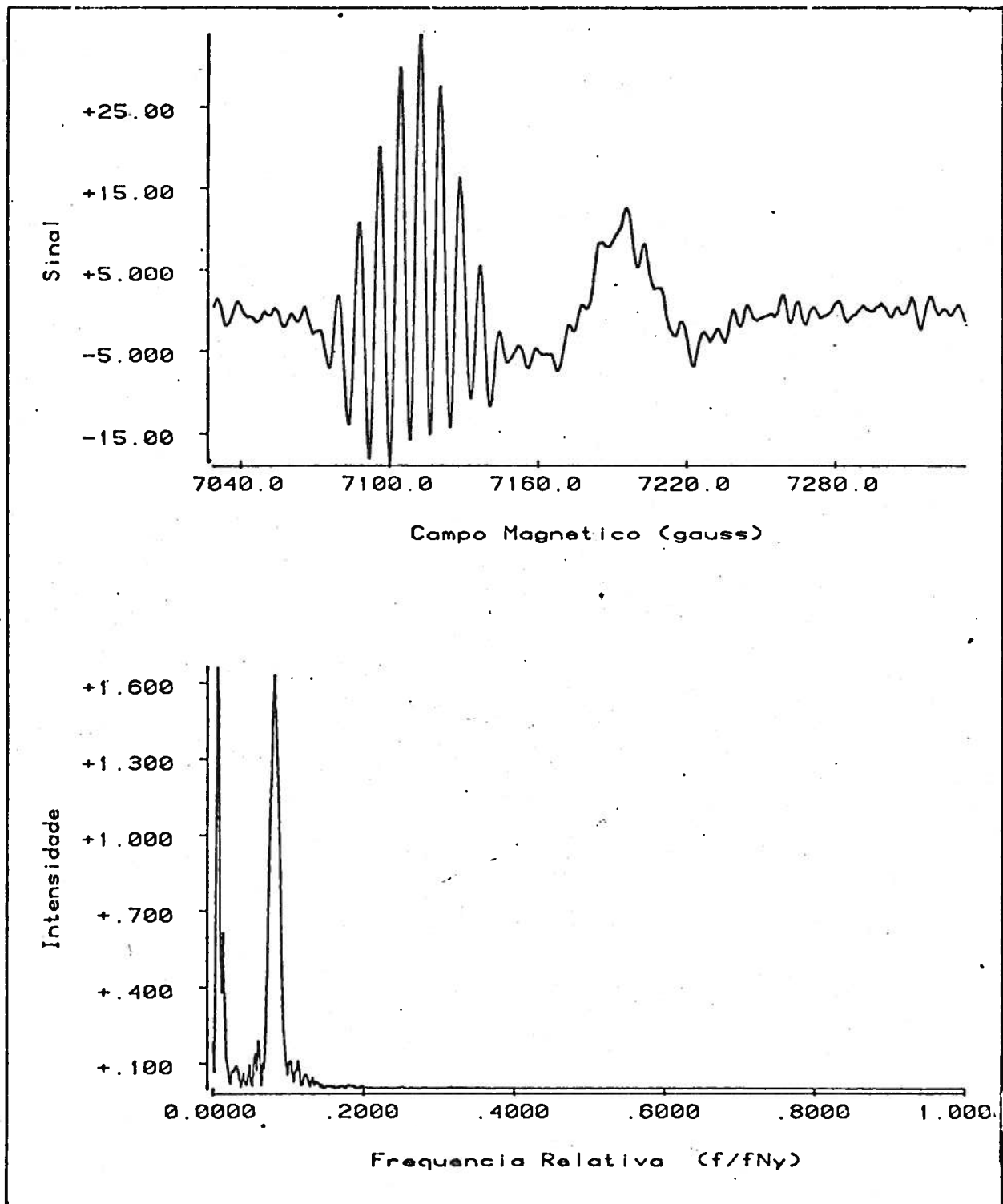


Fig. 3-29: Resultado da filtragem do espectro de RDA. Acima, espectro derivada isento de ruidos e, abaixo, espectro de potência do espectro derivada, mostrando a atenuação das frequências acima de 0,2 (f/f_{Ny}).

Encorajados pelos resultados obtidos com as derivadas, aplicamos com sucesso o filtro NER a vários outros espectros e concluimos que, até mesmo em situações nas quais o sinal não está totalmente mascarado pelo ruído, o filtro digital pode dar um auxílio importante ao pesquisador (Fig. 3-30).

Finalmente, mas ainda com relação aos filtros, gostaríamos de deixar bem claro que, ao usá-los, deve-se ter uma atitude bastante crítica quanto aos resultados para evitar que, ao atenuar as "altas frequências", sejam perdidas informações relevantes do problema físico em questão.

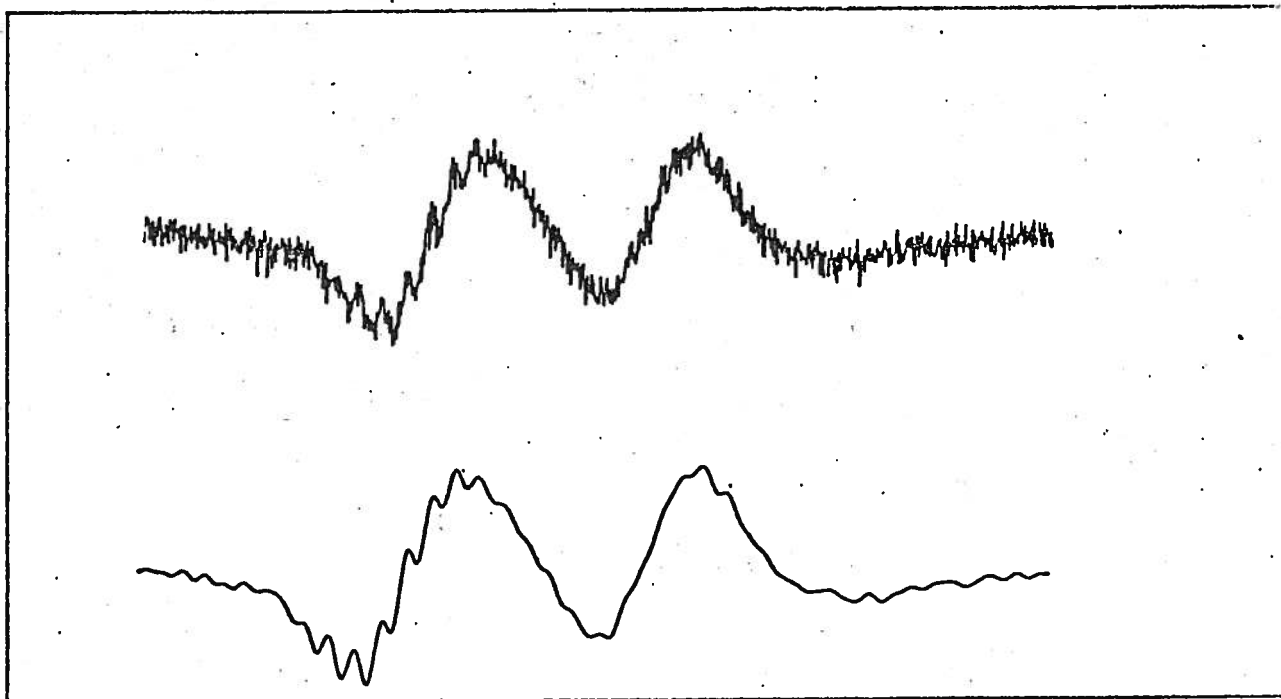


Fig. 3-30: Redução de ruídos obtida em um espectro de RDA através da aplicação de um filtro digital "passa-baixas"

Capítulo 4

Conclusões

Neste trabalho, desenvolvemos dois sistemas para aquisição de dados em experiências de EPR em tempo real, segundo a metodologia da "arquitetura aberta", tendo como base computacional um sistema HP 1000. Até o momento, mais de 300 espectros já foram registrados, sem que tenhamos tido qualquer problema relacionado com a concepção desses sistemas, o que nos permite concluir que os modelos usados, tanto no Sistema Melhorado de Aquisição Passiva quanto no Sistema do Motor de Passo, foram suficientemente bons e estáveis para permitir um fluxo contínuo dos dados das experiências realizadas no laboratório.

O sistema de aquisição passiva, SMAP, revelou-se extremamente cômodo para o usuário, pois, dada sua total coexistência com o sistema tradicional de registro analógico, a passagem de um sistema para o outro é um processo muito simples e consome muito pouco tempo de aprendizado.

Quanto ao problema da redução do ruído, pudemos verificar que a técnica de "averaging", mesmo sendo um processo lento, funcionou muito bem no sistema de aquisição passiva, graças à amostragem coerente de todas varreduras e ao registro fidedigno das intensidades do campo magnético, o que foi assegurado pelo uso do compa-

rador no circuito da rampa e do ADC com uma base de tempo independente da CPU no registro dos sinais.

O valor da dispersão na intensidade do campo nas extremidades do espectro, como vimos no capítulo 2, não chega a ser um obstáculo para as experiências realizadas atualmente no laboratório. No futuro, se necessário, o desempenho do sistema poderá ser melhorado, neste particular, através do uso de um ADC de maior precisão e da instalação de uma fonte de maior estabilidade para geração da tensão da rampa.

No sistema do motor de passo, o uso do conjunto motor/helipot no acionamento da varredura permitiu-nos mostrar que um equipamento antigo (no caso a fonte Varian-Fieldial Mark II) pode ser atualizado - dentro de limitações, é claro - através de um processo simples, econômico e muito confiável. Graças a essa atualização, pudemos implantar a técnica de "averaging" ponto a ponto que, em muitos casos, pode substituir com vantagens a técnica tradicional de "averaging" varredura a varredura.

Com esse sistema poderemos também facilitar a implantação de mecanismos para a aquisição de dados em experiências de ENDOR, pois nas mesmas é necessário que o campo seja mantido em valores estáveis enquanto se processa a varredura do sinal de rádio-frequência.

Finalmente, gostaríamos de apontar dois aspectos operacionais que, mesmo não aparecendo de forma explícita nos resultados obtidos, merecem ser destacados dada a sua relevância no contexto deste trabalho.

O primeiro foi o uso da metodologia da arquitetura aberta que, amparada pelos grandes recursos do FORTRAN 77 e do RTE6-VM, permitiu-nos o desenvolvimento de extensos programas de uma maneira clara e ordenada, o que facilitará, em muito, o redirecionamento dos sistemas para outras técnicas que venham a ser instaladas no laboratório.

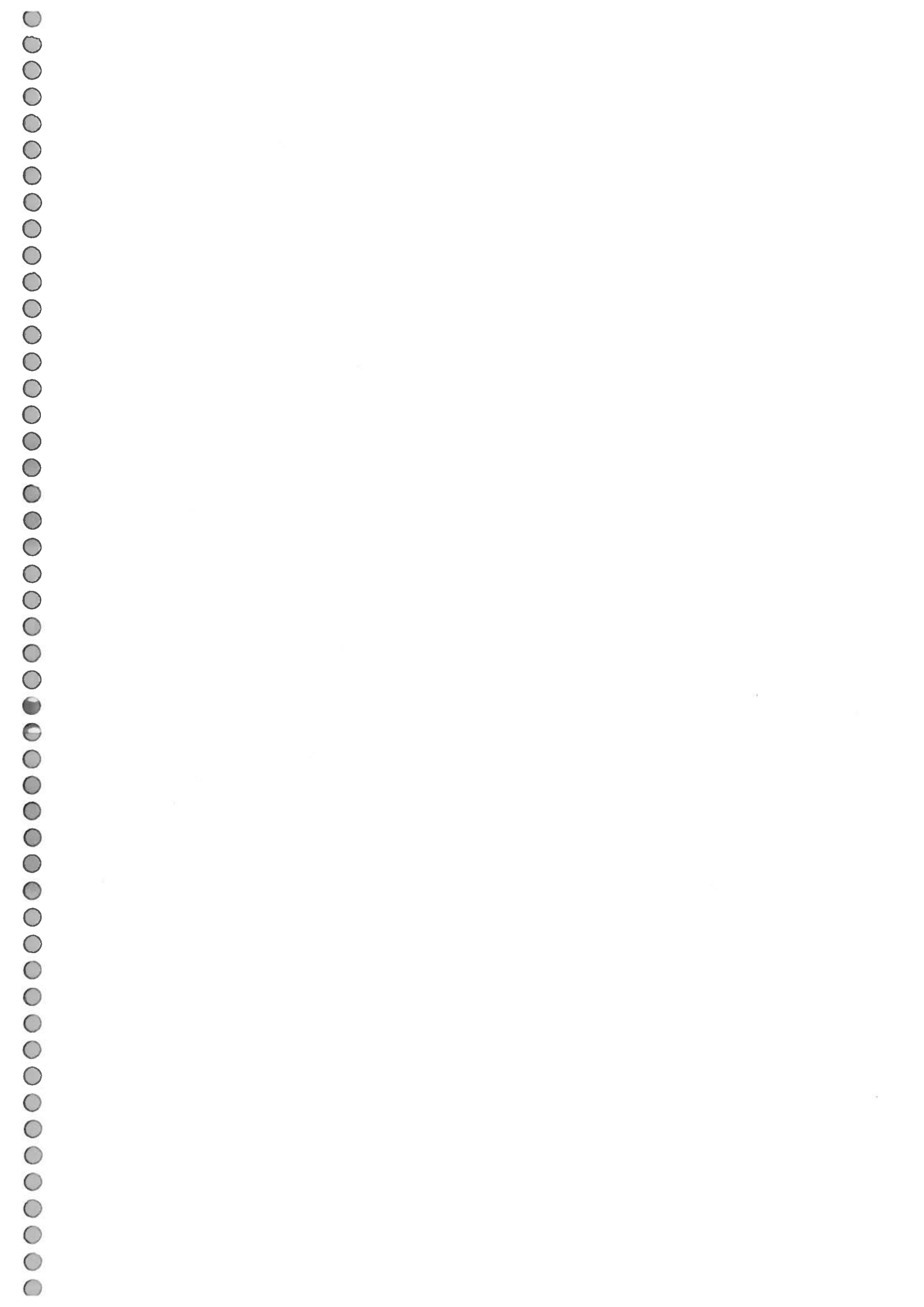
O segundo foi a grande interação dos pesquisadores do laboratório com os programas de aquisição ao longo de toda a implantação dos mesmos. Esta interação mostrou-nos que a utilização dos "comandos parametrizados" na operação dos programas foi de rápida assimilação pelos usuários, atingindo plenamente nosso objetivo de criar um sistema "flexível e de uso descomplicado".

Esta assimilação pode ser claramente evidenciada pelo uso do sistema e/ou seus programas em 5 teses desenvolvidas no Laboratório de Ressonância[9,13,14,26,27], uma tese no Laboratório de Semicondutores[27] (redirecionamento do sistema) e em várias publicações recentes[11,14,15,29,30].

Referências Bibliográficas

- 1 . E. STERNIN, Rev.Sci.Instru,56(11), (1985).
- 2 . H. P. HSU, "Análise de Fourier", Livros Técnicos e Científicos Editora, Rio de Janeiro.
- 3 . P. TROUSSON, Rev.Sci.Instrum.55(12), (1984).
- 4 . P. A. LYNN, "An Introduction to The Analysis and Processing of Signals", Macmillan Press Ltd., London, 1983.
- 5 . J.F. KAISER and W.A. REED, Rev.Sci.Instrum.,Vol.48,No.11, (1977).
- 6 . RTE-6/VM Programmer's Reference Manual, Hewlett-Packard Company, Palo Alto, 1983.
- 7 . M.P. KLEIN and G.W. BARTON, JR, Rev.Sci.Instrum.,Vol.34, No.7, (1963).
- 8 . F.G. HERRING, J. MAYO and P.S. PHILLIPS, Journal of Magnetic Resonance, No.34, (1979)
- 9 . C. J. FRANCO, Tese de Doutorado, UFMG (em andamento).
- 10 . HP 59313A ADC Converter Reference Manual, Hewlett-Packard Company, Palo Alto, 1983.
- 11 . E.S. ALVES, J.F. SAMPAIO, R. GAZZINELLI, A.S. CHAVES and G.M. RIBEIRO, Journal of the Physical Society of Japan, Vol.36,No.12, (1987).
- 12 . J.F. SAMPAIO, G.M. RIBEIRO, R.A. NOGUEIRA and A.S. CHAVES, Sol.State Comm.,Vol.57,No.12, (1986).
- 13 . A.J.M. NEVES, Tese de Mestrado, UFMG, 1989.
- 14 . J.F. SAMPAIO, G.M. RIBEIRO, A.S. CHAVES and R. GAZZINELLI, J.Phys.C: Solid State Phys., No.19, (1986)
- 15 . M.S.S. DANTAS, A.S. CHAVES, R. GAZZINELLI, A.G. OLIVEIRA, M.A. PIMENTA and G.M. RIBEIRO, Journal of the Physical Society of Japan, Vol.53,No.7, (1984).
- 16 . J.D.S. DANIELSON and B.H. ROBINSON, Rev.Sci.Instrum., No. 56, (1985).
- 17 . R.W. QUINE, G.R. EATON and S. EATON, Journal of Magnetic Resonance, No.66, (1986).
- 18 . R.M. GENET, "Microcomputer in Astronomy", Fairborn Observatory, Fairborn, 1983.
- 19 . D.M. AUSLANDER, P. SAGUES, "Microprocessors for Measurement and Control", Osborne, Berkeley, 1981
- 20 . MOTOR DE PASSO - Características e Aplicações, Syncro Eletromecânica Ltda, São Paulo

- 21 . VARIAN Analytical Instrument Division - Publication 87165
000 - D 566, Palo Alto
- 22 . W.B. DAVENPORT, JR. E W.L. ROOT, "An Introduction to the
Theory of Random Signals and Noise", McGraw-Hill, London,
1958.
- 23 . J.F. SAMPAIO, Tese de Doutorado, UFMG, 1986.
- 24 . E.S. ALVES, Tese de Mestrado, UFMG, 1985.
- 25 . J.R. JOHNSON, "Introduction to Digital Signal Processing",
Prentice-Hall, Englewood Cliffs, (1989).
- 26 . M.S.S. DANTAS, Tese de Doutorado, UFMG 1988.
- 27 . G.J. PERPETUO, Tese de Mestrado, UFMG (em andamento)
- 28 . R. RODRIGUES, Tese de Mestrado, UFMG, (1990).
- 29 . A.J.M. NEVES, G.M. Ribeiro, A.S. CHAVES, R. GAZZINELLI
J. Phys C: Condens Mater, 2 (1990)
- 30 . R. RODRIGUES, P.S.S. GUIMARAES, J.F. SAMPAIO, R.A. NOGUEIRA
A.T. OLIVEIRA, I.F.L. DIAS, J.C. BEZERRA, A.G. OLIVEIRA, L.
M. SCOLFARO, "Influência da Concentração de Dopantes na Mi-
gração de Si em GaAs Com Dopagem Delta", XIII Encontro Na-
cional de Física da Matéria Condensada, Caxambu (1990)



Apêndice 1

O Programa MASPE

PROGRAMA MASPE
DESCRIÇÃO GERAL DO PROGRAMA
&
DESCRIÇÃO DOS COMANDOS

MASPE: Um programa para manipulação de espectros

1. Introdução

O programa MASPE é um dos programas do sistema de aquisição de dados do Laboratório de Ressonância Magnética e tem como função básica preparar para o ajuste os dados que são registrados em tempo real durante as experiências. Além disto, o MASPE permite também que se faça uma série de operações com os espectros tais como adição de constantes, integração, exibição no vídeo, saída no plotter, cálculo de médias, etc.

A motivação para a criação de um programa para manipulação de espectros está ligada ao fato de que quando se dispõe de mecanismos para aquisição de dados em tempo real consegue-se um grande volume de dados em um curto espaço de tempo. Estes dados entretanto nem sempre estão na forma ideal para que sejam submetidos a um programa de ajuste. Torna-se então necessário dispor de uma ferramenta que facilite uma formatação adequada dos dados disponíveis para que deles se possa retirar as informações desejadas.

O MASPE é um programa interativo, escrito em HP-FORTRAN 77, com os recursos de programação estruturada oferecidos pelo compilador HP. É executado em um computador HP 1000 sob o sistema operacional RTE-6VM em uma partição de memória de no mínimo 256 kbytes para operações com memória real ou de 128 kbytes para operações com memória virtual.

Por uma questão de eficiência, o MASPE utiliza vários recursos de software, firmware e hardware do computador HP 1000 contidos nos subsistemas FFP (Fast Fortran Processor) e VIS (Vector Instruction Set). Além destes recursos, são usadas também várias extensões da linguagem FORTRAN tais como IF-THEN-ELSE, DO-WHILE, ENCODE-DECODE, BLOCK-DO, etc. O ganho de eficiência proporcionado por estes recursos faz entretanto com que este programa só possa ser executado em máquinas da família HP1000. A sua exportação para outras máquinas constitui tarefa praticamente impossível sem que sejam feitas profundas modificações no código fonte.

Do ponto de vista de hardware, o MASPE necessita para seu funcionamento de um sistema HP 1000 típico que possua além do disco, impressora e fita magnética, um terminal gráfico a cores do tipo HP 2627A, e um plotter do tipo Tektronix 4663. Outros equipamentos gráficos poderão ser utilizados desde que sejam reescritas as rotinas específicas do sistema.

Por ser um programa essencialmente interativo e que faz pouco processamento "pesado", as operações do MASPE se processam na maioria dos casos em poucos milissegundos. Por este motivo, o tempo de CPU gasto em uma sessão no sistema HP 1000 é pequeno. Este fato permite que o programa seja executado com uma prioridade maior que a maioria dos outros programas, garantindo respostas imediatas do sistema mesmo em situações de uso intenso da CPU.

2. Estrutura do programa

O programa MASPE está escrito nos moldes de um pequeno sistema operacional. A interação com o usuário se faz através de comandos parametrizados que levam à execução de uma série de tarefas.

Os comandos são códigos mnemônicos de duas letras seguidos ou não de até sete parâmetros alfa-numéricos. As duas letras indicam a tarefa a ser executada e os parâmetros fornecem informações adicionais necessárias à execução da tarefa. Por exemplo, para leitura sequencial de dados em fita magnética o comando é: LS, n1, n2. Neste comando, LS significa Leitura Sequencial, n1 é o número de arquivos que se deseja ler e n2 é o número do primeiro arquivo a ser lido.

A disponibilidade do programa para execução de um comando é indicada ao usuário através da exibição da mensagem CMD ?. Sempre que esta mensagem for exibida, o programa estará apto a executar qualquer comando. Uma vez recebido um comando, o programa verifica a validade do mesmo através de um "processador de comandos" e, no caso de comandos válidos inicia imediatamente a execução da tarefa. Terminada a execução o programa volta a exibir a mensagem CMD ?. Para os comandos inexistentes (ou erros e omissões do operador) o programa exibe uma mensagem de advertência e fica aguardando um novo comando.

Em vários comandos é utilizado o conceito de "default" ou seja, a ausência de um dado parâmetro faz com que o programa use um valor pré-determinado, de conhecimento do usuário.

A execução dos comandos pelo MASPE é feita através da transferência do controle a determinadas partes do programa. Estas "partes", chamadas blocos dos comandos são acessadas através da execução de um GOTO calculado no processador de comandos (Fig. 1). Uma vez dentro de um bloco de comando, o programa executa a tarefa (ou emite uma mensagem de erro, se for o caso) e retorna ao processador de comandos através de uma instrução GOTO 5.

Cada bloco de comando é evidentemente composto por um conjunto de instruções do FORTRAN 77 mas, no contexto deste programa, os blocos são separados em quatro tipos diferentes:

Tipo 1: O bloco é composto por um conjunto de instruções que executam por si próprias a tarefa contida no comando.

Tipo 2: O bloco é composto por um conjunto de instruções que passam o controle a uma sub rotina que então executa a tarefa.

Tipo 3: O bloco é composto por um conjunto de instruções que passam o controle a um outro programa, chamado "programa filho", que fica então responsável pela execução da tarefa.

Tipo 4: O bloco é composto por um conjunto de instruções que carregam na memória do sistema um segmento ("overlay") do programa principal e passam o controle a este segmento onde então a tarefa é executada.

Para facilitar futuras modificações no programa, cada bloco foi escrito de modo a ter um único ponto de entrada, acessado pelo processador de comandos, e a convergir todas as saídas para o rótulo 5, que é a entrada do processador de comandos. Por isso, a instrução GOTO é pouco usada em outros pontos do programa.

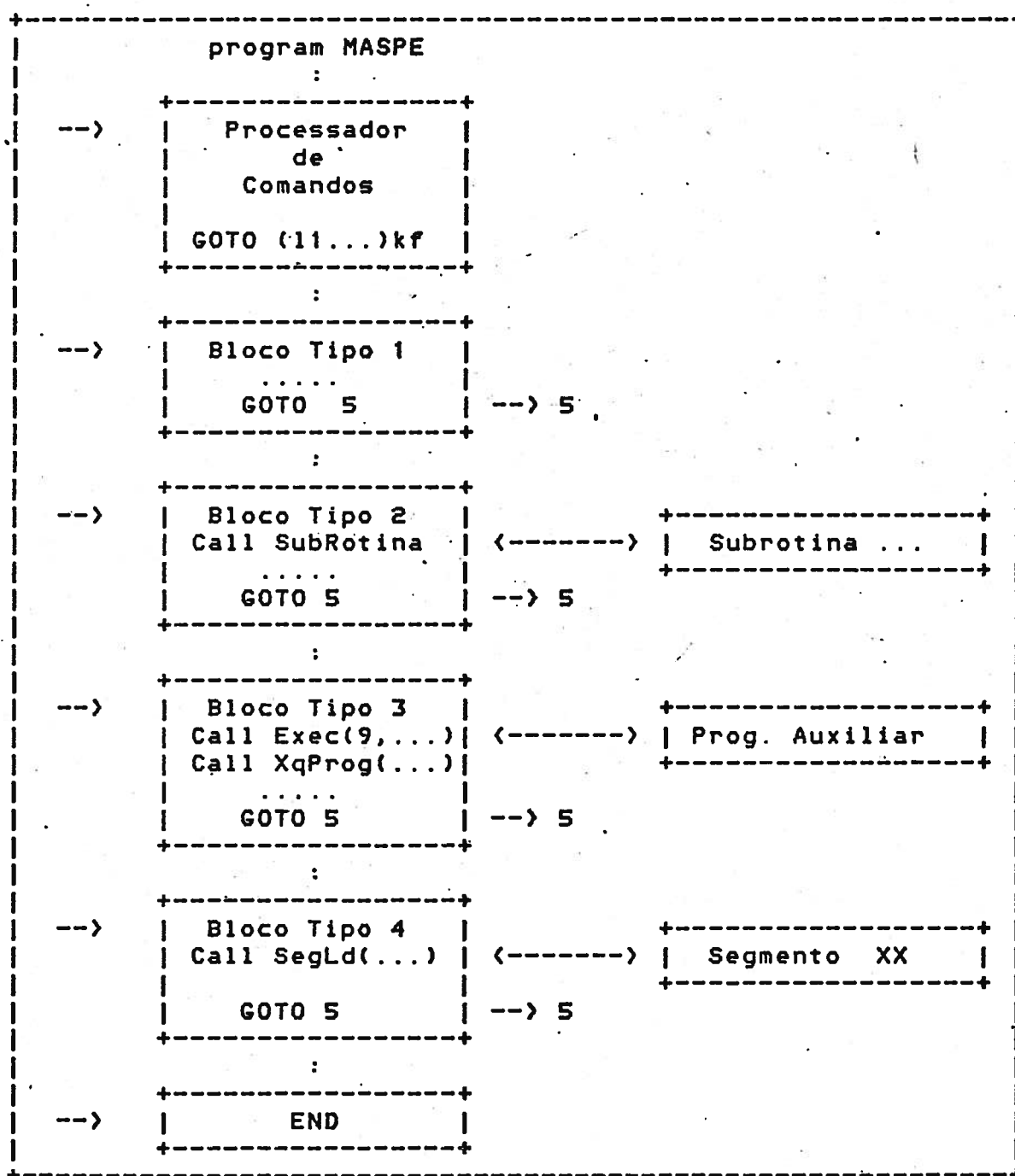


Fig. 1: Diagrama básico do MASPE

Os comandos do MASPE são todos construídos de acordo com o formato

XX [,p1] [,p2] ... [,p7]

onde XX são os dois caracteres que compoem o mnemônico da tarefa e p1, ..., p7 são os parâmetros que completam o comando. Conforme será discutido posteriormente, a necessidade dos parâmetros em um dado comando é função do tipo de tarefa a ser executada.

De acordo com este formato, uma sequência de comandos do MASPE pode então ter, por exemplo, o seguinte aspecto:

RW	rebobinar (RW) a fita magnética
PF,6	fazer uma pesquisa na fita (PF) e listar na máquina 6 (impressora) o nome de todos os espectros existentes
LS,27,10	fazer uma leitura sequencial (LS) de 27 espectros a partir do arquivo de número 10.
MO,ET,1,1,NA	mostrar (MO) o espectro de trabalho (ET) no quadrante 1 da tela grafica, usando a cor número 1 (vermelho) e não apagar (NA) o que porventura ja esteja na tela

Uma vez transmitido ao MASPE, de acordo com o formato acima descrito, o comando é verificado no que diz respeito a existência de um bloco adequado à execução da tarefa solicitada. Os parâmetros, caso presentes, são também testados em função da tarefa a ser executada.

A verificação da validade de um comando é feita em duas etapas. Na primeira, o comando é analisado com uma chamada à rotina PARSE. Esta rotina, que faz parte da biblioteca do sistema RTE-6, organiza o comando e seus eventuais parâmetros na matriz IBUF. Os dois caracteres que definem a tarefa são colocados em IBUF(2) e os parâmetros, se transmitidos, são colocados em outras posições bem determinadas da mesma matriz.

Em seguida, com auxílio de uma instrução IF, o processador de comandos verifica se o dado mnemônico está definido em alguma posição da matriz de comandos MCMD. Se negativo, exhibe uma mensagem de erro e aguarda outro comando; se afirmativo, registra na variável KF esta posição e transfere a execução para o bloco de comando adequado através de um GOTO calculado.

A segunda etapa da verificação, se necessária, é feita dentro do bloco de comando. Nesta etapa, situações distintas podem ocorrer:

-se a tarefa não necessita de parâmetros, ela é imediatamente executada e o controle volta para o processador de comandos.

-se a tarefa necessita de parâmetros e os mesmos foram fornecidos de maneira inadequada o programa exibe uma mensagem de erro e devolve o controle para o processador de comandos.

-se a tarefa necessita de parâmetros e os mesmos não foram fornecidos têm-se então duas alternativas, que dependem do comando. Na primeira, o programa usa valores previamente programados para os parâmetros ausentes (este é o conceito de "default", já mencionado); na segunda, o programa exibe uma mensagem solicitando o fornecimento dos parâmetros. No caso do uso dos valores de "default", a tarefa é imediatamente executada e o controle volta ao processador de comandos. No outro caso, os parâmetros fornecidos pelo usuário são verificados quanto à sua validade, a tarefa é executada (ou uma mensagem de erro é exibida se algum dos parâmetros for inválido) e o controle volta ao processador de comandos.

Além desta verificação que é feita sobre os comandos, o programa mantém uma série de variáveis de controle que podem ser consultadas pelos blocos de comando para detecção de situações anômalas durante a operação. Estas variáveis informam, por exemplo, se a unidade de fita magnética está operacional, qual o tipo de terminal de vídeo que está sendo utilizado, qual o número de espectros existentes na memória, etc.

A inclusão de novas tarefas no programa é um processo bastante simples dada a estrutura de blocos adotada. Basicamente o que se tem a fazer é acrescentar um novo mnemônico à matriz de comandos (MCMD), criar o bloco de comando adequado à nova tarefa e ajustar os parâmetros de algumas instruções do processador de comandos.

3. Descrição Geral do Programa

O MASPE, como já foi dito, é um programa dedicado à manipulação de espectros. O seu funcionamento está baseado nos conceitos de Pilha de Espectros, Espectro de Trabalho, Sub Espectro e Espectro Resultado.

A Pilha de Espectros é um conjunto de espectros que são lidos da fita magnética ou do disco e armazenados sequencialmente na memória.

O Espectro de Trabalho é uma cópia de um dos espectros da pilha escolhido pelo operador através de comando específico.

O Sub Espectro é uma cópia de uma determinada região do Espectro de Trabalho. Esta região pode abranger todo o Espectro de Trabalho.

O Espectro Resultado é o espectro que se obtém quando se efetua operações matemáticas sobre o Espectro de Trabalho ou sobre o Sub Espectro

No programa, estes conceitos se materializam pelo uso de quatro matrizes através das quais se processa a maior parte do fluxo de dados necessário à implementação das várias tarefas disponíveis. Estas matrizes são as seguintes:

1. ISPEC Esta é a matriz "pilha de espectros". Ela contém os espectros que são lidos da fita magnética, através dos comandos LS (leitura sequencial) ou LA (leitura aleatória) ou do disco, através do comando LD.
2. YT Esta é a matriz "espectro de trabalho". Ela contém um dos espectros da pilha, escolhido pelo operador através do comando DT (define espectro de trabalho)
3. YS Esta é a matriz "sub-espectro". Ela contém uma parte dos dados da matriz YT e normalmente representa uma dada região de interesse do espectro de trabalho. O seu preenchimento se faz com o comando DS (define sub-espectro)
4. YR Esta é a matriz "espectro resultado". Ela contém os dados resultantes de operações matemáticas efetuadas sobre as matrizes YT e YS

Além destas, existem ainda duas matrizes auxiliares, LINHA1 e LINHA2, que contêm os nomes dos espectros e os parâmetros de aquisição, respectivamente. Estes parâmetros de aquisição, conforme descrito nos programas de coleta de dados, trazem as informações relativas ao campo magnético, frequência de amostragem, tamanho da varredura, etc.

Conforme mencionado anteriormente, este programa funciona com o método de comandos e tarefas. Dentro do contexto deste programa, um comando é uma sentença alfa-numérica que lhe é transmitida com o intuito de iniciar a execução de uma tarefa. A tarefa, por sua vez, é um conjunto de procedimentos computacionais que uma vez executados levam a um resultado definido.

Quando em operação, o programa passa por tres fases distintas, que são as seguintes:

Fase 0	Inicialização do programa
Fase 1	Entrada e análise de comandos
Fase 2	Execução de uma tarefa

A Fase 0 é executada apenas uma vez em cada sessão. Nesta fase são feitas as inicializações de algumas variáveis do programa, as condições da fita magnética são testadas, é verificado o tipo do terminal que está sendo usado pelo operador, etc.

A Fase 1 é a fase de entrada dos comandos. Ela é executada toda vez que o operador responde ao sinal CMD ?. Nesta fase é que se faz a verificação da existência do comando e que se transfere o controle para o bloco de comando adequado.

A leitura da sentença de comando é feita com o auxílio da rotina REIO (re-entrant input-output). Esta rotina, que pertence à biblioteca do sistema, permite a leitura de sentenças em ASCII diretamente para um dado vetor na memória e armazena no registro B da CPU o número de caracteres que foram efetivamente transferidos na operação. Este número de caracteres é usado depois na rotina CLCUC, que converte letras minúsculas para maiúsculas e na rotina PARSE, que separa e classifica os parâmetros recebidos.

A Fase 2 é a fase da execução das tarefas. Toda vez que um comando válido é recebido pelo processador de comandos, o controle é transferido para um dos blocos de comando. Este bloco verifica a validade dos parâmetros, executa a tarefa solicitada e transfere o controle de volta à fase 1.

Conforme já mencionado, todos os blocos de comando foram escritos de forma a ter apenas um ponto de entrada e um ou mais pontos de saída. O ponto de entrada é acessado pelo GOTO calculado do processador de comandos e os pontos de saída sempre devolvem o controle ao rótulo 5, que é a entrada do processador de comandos.

A razão de se usar esta técnica de programação foi fazer com que os blocos de comando se tornassem entidades estanques, perfeitamente definidas no corpo do programa. Em nenhum outro ponto foi usada a instrução GOTO. A comunicação entre os blocos, quando necessária, é feita através das matrizes básicas ISPEC, YT, YS, YR, LINHA1 e LINHA2 e de variáveis auxiliares de controle.

Para se ter uma melhor compreensão do uso destas técnicas, vejamos alguns exemplos:

Tomemos inicialmente o comando CP (campo no ponto). Este comando exibe na tela o valor do campo magnético em um ponto qualquer do espectro. O seu o bloco de comando, que é do tipo 1, é o seguinte:

```
-----  
180 WRITE(1,**)MG,'PONTO?',AM,'_'      <<< ENTRADA  
  
    READ(1,*,END=5,IOSTAT=IOS,ERR=900) IPCP  
    IF(IPCP.LE.0.OR.IPCP.GT.NPT) THEN  
        WRITE(1,*) VM,'PONTO INDEFINIDO'  
  
    GOTO 5                                <<< SAIDA C/ ERRO  
  
    END IF  
    CP = HMINT + (IPCP-1) * HINCT  
    WRITE(1,.....) VD, IPCP, CP  
  
    GOTO 5                                <<< SAIDA NORMAL  
-----
```

Neste bloco, a tarefa a ser executada é calcular e exibir o valor do campo magnético em um dado ponto do espectro de trabalho. O bloco é acessado pelo processador de comandos através do rótulo 180. A partir deste ponto, o bloco pede ao usuário o valor do ponto através da exibição da mensagem PONTO? e testa a resposta quanto a END e ERR usando os recursos normais do FORTRAN. Em seguida, a resposta é testada quanto à sua validade lógica por comparação com zero e com NPT (número total de pontos do espectro de trabalho) e caso haja erro uma advertência é exibida e o controle volta ao rótulo 5. Caso contrário, o valor do campo é calculado, o resultado exibido e controle devolvido ao processador de comandos. As variáveis MG, AM, VM e VD que aparecem no código acima são do tipo "character" e contêm sequências de "escape" destinadas a programar as cores do terminal de vídeo. Os recursos de cor do terminal de vídeo são usados intensivamente na maioria dos blocos de comandos deste programa.

O exemplo acima refere-se a bloco do Tipo 1. Os blocos do Tipo 2 são de estruturas semelhantes às do Tipo 1 exceto pelo fato de conterem chamadas a subrotinas. Continuando os exemplos, vejamos agora o caso de um bloco do Tipo 3. Neste tipo de bloco o programa MASPE, através de uma chamada ao sistema operacional, utiliza um programa auxiliar para a execução de uma tarefa. Esta técnica é de grande importância para os programas de tempo real e também permite um melhor aproveitamento da memória disponível no sistema. Por estas razões, relembramos aqui alguns pontos básicos:

Um programa principal ao invocar a execução de um programa auxiliar tem duas opções básicas:

- 1 - Aguardar a execução total do programa auxiliar para então retomar a sua própria execução.
- 2 - Iniciar a execução do programa auxiliar e retomar imediatamente a sua própria execução.

No primeiro caso, o programa principal fica em um estado de "espera" enquanto o programa auxiliar é executado podendo inclusive ser retirado da memória para dar espaço a outros usuários. Quando do encerramento do programa auxiliar, o sistema operacional se encarrega de providenciar a continuação das atividades do programa principal.

No segundo caso, o programa principal apenas dispara a execução do auxiliar e não espera pelo seu encerramento. Neste caso, o programa auxiliar é executado de acordo com sua prioridade dentro do sistema.

Em ambos os casos, o programa principal pode passar dados para o programa auxiliar através da memória do sistema ou mesmo através de arquivos no disco. Quando o programa principal espera o fim do programa auxiliar ele pode também receber dados vindos do auxiliar através da memória do sistema.

No programa MASPE este recurso é utilizado nos comandos WH e HE cujas tarefas são, respectivamente, executar o programa WHZAT e exibir uma tela de ajuda (Help).

O programa WHZAT é um programa do sistema operacional que dá várias informações sobre o funcionamento do computador em um dado instante.

A tela de ajuda é uma lista contendo todos os comandos do MASPE com um resumo da tarefa. Os dados para esta tela estão contidos em um arquivo que é exibido pelo programa auxiliar MSHLP.

Para execução do WHZAT pode-se optar pela listagem na tela ou em qualquer outro periférico de saída. Quando a opção é pela tela, o MASPE espera o fim da execução do WHZAT para retomar suas atividades. Quando a saída se processa em outro periférico, o MASPE não espera o WHZAT e retoma imediatamente o processamento.

O comando HE, por outro lado, só produz saídas na própria tela do usuário. Por este motivo, o MASPE espera o fim da execução do programa auxiliar MSHLP.

Vejamos agora os "blocos" destes comandos:

Comando WH:

```
-----  
110  if(it(1).eq.1.and.ip(1).eq.1) then Opção Tela ?  
      write(1,*) clds                      Apaga a Tela  
      iwh = 9                             Código " wait "  
    else                                  Se não é Tela  
      iwh = 10                            Código " no wait "  
    end if  
    call EXEC (iwh, 5hWHZAT, ip(1), ip(2)) Despacha WHZAT  
    write(1,*) ' '  
    write(1,*) am, 'Retornando ao programa MASPE'  
    goto 5                                 Retorna ao label 5  
-----
```

Comando HE

```
-----  
120  write(1,*) cldsp                      Apaga tela e executa  
      call EXEC(9, 6hMSHLP )              MSHLP opção "wait"  
      goto 5                              Retorna ao label 5  
-----
```

Vejamos agora a estrutura dos blocos do Tipo 4. Nestes blocos, a execução da tarefa fica a cargo de um segmento (overlay) do programa principal. A diferença entre um programa auxiliar e um segmento reside principalmente na forma pela qual os mesmos são alocados na memória.

No caso do programa auxiliar, esta alocação se faz em termos de partições, ou seja, o sistema operacional carrega o programa em qualquer partição disponível na memória.

No caso do segmento, este é sempre carregado na mesma partição onde reside o programa principal, na região de memória disponível entre o fim do programa principal e o fim da partição. Neste caso, a comunicação de dados é feita através dos COMMONS declarados em ambos os programas. No programa MASPE, várias tarefas são executadas por meio de segmentos e os seus blocos são essencialmente idênticos.

Vejamos o bloco do comando LS (leitura sequencial)

```
-----  
130  call SEGLD( 6hMASLS, ier)  
      if(ier.ne.0) write(1,*) 'Erro - SEGLD/MASLS: ', ier  
      goto 5  
-----
```

Na primeira linha o sistema operacional é chamado através da rotina SEGLD, para carregar e executar o segmento MASLS. Terminada a execução o controle volta para o MASPE que testa a variável

<ier> para verificar se houve algum problema com a execução do segmento (ier # 0). É bom lembrar que os erros eventualmente detectados pela variável <ier> referem-se a problemas do sistema operacional, do disco, etc., e não tem nada a ver com os erros de operação do MASPE.

Os programas de aquisição de dados dos sistemas de aquisição passiva (SMAP) e do motor de passo (SMOP) foram escritos com a mesma técnica do MASPE. Em ambos existe um "processador de comandos" que interpreta os comandos do usuário e transfere o controle ao "bloco" adequado.

Nas páginas seguintes encontra-se uma descrição detalhada de todos os comandos do MASPE. Nesta descrição, cada comando é apresentado no formato do quadro abaixo:

		----- CMD = XX -----
Tarefa:	
Sintaxe:	XX [p1] [p7]	
Erros:	:	
Comentários:	

O significado dos campos deste quadro é o seguinte:

- Tarefa:** É o procedimento computacional executado pelo comando XX
- Sintaxe:** É a forma pela qual o comando XX deve ser submetido ao programa. Os parâmetros p1 ... p7 são sempre separados por vírgulas e podem ser:
- dois caracteres alfabéticos
 - um número decimal, inteiro, de 16 bits
- Os parâmetros que aparecem entre colchetes são opcionais. Em alguns comandos a ausência do parâmetro opcional implica no uso de "defaults". Em outros, esta ausência faz com que o programa peça explicitamente o seu valor ou exiba uma mensagem de erro.
- Erros:** Este campo informa sobre os erros detectados no comando e suas causas mais prováveis.
- Comentários:** Neste campo é feita uma descrição do uso do comando, dos parâmetros, etc. Em alguns casos são apresentados exemplos.

Relação dos Comandos do MASPE

- AD - Adiciona constante
- AF - Define parâmetros para "area fill"
- AR - Ajusta reta na linha de base
- CE - Reposição de canal espúrio
- CP - Exibe campo no ponto
- DI - Define incremento para o comando MO
- DS - Define Sub-espectro
- DT - Define Espectro de Trabalho
- DV - Calcula a derivada de um espectro
- EG - Retorna ao "editor gráfico"
- EN - Encerra o programa
- ET - Exibe informações sobre o Espectro de Trabalho
- FD - Aplica filtro digital
- FT - Calcula Transformada de Fourier (FFT)
- GR - Grava dados em fita magnética
- HE - Exibe lista de comandos disponíveis
- IC - Exibe índice dos espectros na memória
- ID - Calcula integral definida
- IN - Calcula integral indefinida (todo o espectro)
- IY - Inverte Espectro de Trabalho
- LA - Leitura aleatória na fita magnética
- LD - Leitura no disco
- LI - Lista dados de espectro
- LK - Prende ou libera a unidade de fita magnética
- LO - Controla a impressora acoplada ao terminal
- LS - Leitura sequencial na fita magnética
- MD - Calcula médias no Espectro de Trabalho
- MF - Controla movimentos da fita magnética
- MM - Calcula máximos e mínimos
- MO - Mostra espectros na tela gráfica
- MS - Calcula média de espectros (signal averager)
- PA - Coloca o programa em PAUSE
- PC - Exibe valor do ponto no campo
- PF - Executa uma pesquisa na fita magnética
- PL - Executa gráficos no plotter
- PP - Executa mudança no sinal de "pronto"
- RW - Rebobina a fita magnética
- SE - Exibe informações sobre o Sub-espectro
- SI - Cria Espectro de Trabalho simulado
- SM - Aplica filtro "smooth"
- ST - Exibe o "status" do programa
- SY - Interface com o sistema operacional RTE-6VM
- TF - Programa as teclas de função
- TT - Coloca o cursor no topo da tela e apaga
- WH - Executa o programa WHZAT
- YC - Exibe o sinal no campo
- YP - Exibe o sinal no ponto

Data da última edição: <900407.1628>

Apêndice 2

Programas e Comandos do SMAP

PROGRAMA SMAP

DESCRIÇÃO GERAL

&

DESCRIÇÃO DOS COMANDOS

SMAP: Sistema Melhorado de Aquisição Passiva

O SMAP é o programa básico do que chamamos "Sistema Melhorado de Aquisição Passiva". Esse programa foi desenvolvido com a mesma metodologia empregada no programa MASPE, ou seja, é um programa modular, totalmente escrito em FORTRAN 77, que funciona tal como um sistema operacional. A interação com o usuário é feita através de um conjunto de comandos parametrizados que, quando executados, levam à execução de tarefas específicas, relacionadas com a aquisição de dados nas experiências de Ressonância Magnética (EPR).

Por se tratar de um programa para aquisição de dados em tempo real, o SMAP usa alguns recursos do sistema operacional RTE-6 e do equipamento HP 1000 que raramente são empregados em outras situações e que, portanto, merecem um pouco mais de atenção.

O primeiro desses recursos é o uso do barramento HP-IB (ou GP-IB, norma IEEE-488) para a interligação dos instrumentos. Esse barramento, que se encontra convenientemente documentado nos manuais do computador, é uma via paralela de 16 bits que suporta vários instrumentos ligados a uma unidade de controle. Cada um dos instrumentos ligados a essa via tem um endereço que o identifica e pode ser um transmissor ("talker"), um receptor ("listener") ou mesmo desempenhar ambas as funções.

A ligação física entre os instrumentos é feita através de cabos padronizados, que podem ter até cerca de 15 metros de comprimento e, embora exista a possibilidade de se endereçar até 32 instrumentos em uma via, esse número é limitado a 14 por razões técnicas.

No nosso caso, como o computador se encontra a 50 metros do local de uso dos instrumentos, tivemos que empregar um par de extensores HP-IB para contornar a limitação de distância já mencionada. O extensor é um instrumento, em parte semelhante a um modem, que trabalha com palavras de 16 bits, que são serializadas e transmitidas a uma taxa de 50 kbits/s através de uma linha coaxial de 75 ohms, sendo o seu uso totalmente transparente para o sistema.

Do ponto de vista do sistema operacional, cada um dos instrumentos presentes no barramento HP-IB é uma Unidade Lógica como um outro periférico qualquer. Em particular, na nossa instalação, o instrumento de endereço 1 é a unidade 31, o de endereço 2 é a unidade 32 e assim sucessivamente. Com essa configuração, para se mandar uma mensagem para o instrumento de endereço 12, através de um programa em FORTRAN, basta usar a instrução

```
WRITE(42,*) '<mensagem>'
```

Da mesma forma, para se receber a resposta desse mesmo instrumento, basta usar a instrução

```
READ(42,'(format)') <resposta>
```

Para os instrumentos que necessitam de comandos mais sofisticados ou que usam códigos binários para transmissão dos dados, o sistema operacional dispõe de uma série de rotinas e funções específicas que podem ser usadas pelo programa principal.

Um outro recurso vital para a realização das tarefas desse programa é o processo de entrada e saída (E/S) de dados, disponível no RTE, chamado de "CLASS I/O". Com esse processo, quando um programa necessita fazer um operação de E/S, ele solicita ao sistema operacional a abertura de uma "classe" na memória do sistema e

informa a unidade lógica responsável pela transação e o número de bytes do registro (buffer) a ser transmitido ou recebido. O sistema operacional acolhe a solicitação de E/S e libera o programa para outras tarefas. O término da operação é sinalizado através de "flags" que podem ser consultados pelo programa a qualquer instante.

No caso de leitura de dados em tempo real, o uso da leitura por classe permite que os dados sejam lidos segundo uma base de tempo externa, o que é fundamental para a exatidão do processo. Como exemplo, vejamos o trecho do código fonte do SMAP responsável pela leitura dos dados do ADC, comando AQ:

```
program SMAP
...
...
call CLRQ(ifunc, iclas)      <- abertura de classe
...
call EXEC(17,36,...,npc,...  <- ler 2* npc bytes na LU 36
```

A partir desse instante, o programa SMAP fica livre para a execução de outras tarefas, enquanto que os dados provenientes do ADC (LU 36) são lidos pelo sistema operacional e colocados em um buffer temporário, localizado em uma região da memória chamada SAM (System Available Memory). A taxa com que os dados são lidos é determinada pela base de tempo do ADC não sendo, portanto, influenciada pela atividade porventura existente na CPU. O fim da aquisição é testado em seguida...

```
call EXEC(21,iclas+40000B,.. <- testa o fim da leitura
call EXEC(21,iclas+20000B,.. <- retira os dados de SAM
...
...
end
```

O uso de programas subordinados é também um recurso explorado no SMAP. O programa subordinado é um programa comum que é colocado em execução por um outro programa e não pelo sistema operacional. Ao colocar um programa subordinado em execução o programa principal, também chamado "programa pai", pode optar por continuar funcionando ou aguardar o término da execução do subordinado (filho). Além disso, o programa pai pode passar dados iniciais para o filho e receber dados de volta, caso aguarde o seu término.

No SMAP são usados programas subordinados para gravação de dados em disco, para controle da varredura e para obtenção do status do RTE (WHZAT). Vejamos o caso da gravação em disco, comando GD:

```
...
call EXEC(15,...           <- reserva uma trilha de serviço
...
call EXEC(2,...           <- grava dados na trilha reservada
...
call XQPRG(...,GDISC,...  <- executa GDISC e aguarda término
```

A partir desse instante, o programa GDISC inicia o seu funcionamento enquanto que o

SMAP aguarda seu término. O GDISC lê a trilha de serviço, cujo endereço lhe foi passado pelo SMAP, e grava os dados em um arquivo do usuário. O nome do arquivo do usuário se encontra entre os dados que foram lidos. Ao terminar a gravação, o GDISC libera a trilha de serviço e devolve um parâmetro de controle para o SMAP. Se houver algum problema com a gravação, este parâmetro será um número negativo.

if(ipr(1).eq.-1)...

(- ao reassumir o controle o SMAP testa a ocorrência de erro.

Os dados colhidos pelo SMAP são gravados no disco em arquivos de acesso direto (binário), em um único registro de 6400 bytes de comprimento. Embora a manipulação de arquivos diretos seja um pouco mais trabalhosa que a dos arquivos sequenciais, este procedimento é plenamente justificado pela grande economia de espaço obtida. Para as gravações em fita magnética, existe a opção de gravação sequencial em ASCII ou EBCDIC para facilitar o transporte de dados para outras instalações. A colocação dos dados em um único registro é obtida através dos "EQUIVALENCES" entre os vetores IDAT, IVOLT e IABUF.

Os aspectos mais gerais relativos à estruturação desse programa estão contidos no manual do programa MASPE pois, como já mencionamos, ambos foram escritos com a mesma filosofia. O detalhamento de várias instruções pode ser visto na listagem dos programas fonte onde, em várias situações, os comentários foram feitos linha por linha.

Nas páginas seguintes, apresentamos uma relação detalhada dos comandos do SMAP.

COMANDOS DO SMAP

- AD - Executar conversão em um dado canal
- AQ - Iniciar o processo de aquisição
- AT - Mudar para o modo automático
- CA - Programar o canal do ADC
- CR - Calibrar a rampa
- CS - Cancelar exibição automática do status
- DF - Colocar valores de default
- DM - Controlar multímetro digital
- DP - Exibir gráfico no vídeo
- EN - Encerrar o programa
- EP - Executar programa subordinado
- ES - Habilitar exibição de status
- FC - Programar a frequência de aquisição
- FE - Exibir fundo de escala do ADC
- GD - Gravar dados no disco
- GN - Comandar goniômetro motorizado
- GR - Gravar dados em fita magnética
- HE - Exibir resumo dos comandos
- IG - Ignorar dados na memória
- LC - Listar canais
- LR - Levar a rampa a um dado ponto
- LK - Prender ou liberar a fita magnética
- MF - Comandar os movimentos da fita magnética
- MG - Mostrar grupo de comandos na memória
- OS - Medir offset
- PA - Colocar o programa em pausa
- PF - Fazer uma pesquisa na fita magnética
- PL - Fazer o gráfico dos dados
- PN - Criar um prefixo de nome de arquivo
- PR - Exibir parâmetros da reta
- PV - Determinar % de varredura
- QF - Escolher frequência de aquisição
- RG - Repetir um grupo de comandos
- RP - Exibir a posição corrente da rampa
- ST - Exibir status
- SY - Interface com o RTE
- T0 - Zerar relógio do sistema
- TD - Mostrar o tempo transcorrido
- TF - Definir um título fixo
- TI - Exibir o tempo de aquisição
- TV - Determinar o tempo total de varredura
- VC - Ler a intensidade do campo com o gaussímetro
- WH - Executar o programa WHZAT,AL
- (- Iniciar um grupo de comandos
-) - Finalizar um grupo de comandos

Apêndice 3

Programas e Comandos do SMOP

85MP7 T=00004 IS ON CR00002 USING 00060 BLKS R=0000

```
0001 / ftn7x,1
0002 *
0003 *
0004 *
0005 *
0006 *
0007 *
0008 *
0009 *
0010 *
0011 *
0012 *
0013 *
0014 *
0015 *
0016 *
0017 *
0018 *
0019 *
0020 *
0021 *
0022 *
0023 *
0024 *
0025 *
0026 *
0027 *
0028 *
0029 *
0030 *
0031 *
0032 *
0033 *
0034 *
0035 *
0036 *
0037 *
0038 *
0039 *
0040 *
0041 *
0042 *
0043 *
0044 *
0045 *
0046 *
0047 *
0048 *
0049 *
0050 *
0051 *
0052 *
0053 *
0054 *
0055 *
0056 *
0057 *
0058 *

program smpy,3,5
integer*2 nome(40), passo(0:3), ibuf(10), idir(2)
integer*2 is(2000)
integer*2 id(2000)
integer*4 ElapsedTime, msecs
real*4 x(2000), y(2000), y2(2000), y3(2000)
real*4 temp(100)
logical valido, first
Character dir*5
equivalence (ibuf,nome(2)), (idir,nome(39))
data passo /06B, 12B, 11B, 05B/
data LuADC /36/
data LuMPG /44/
data LuDMM /42/
call lurq(1,8,1)
write(1,*) char(12), 'Programa SMPx - Versao Preliminar'
write(1,*) 'Fita Nova? [si naj]'
read(1, '(a2)') iresp
call clicuc(iresp,1)
if(iresp.ne.2hSI) then
write(1,*) 'SMP/ Aguarde posicionamento da fita.'
call finda(infile)
write(1,*) 'SMP/ Esta fita ja contem',nfile,' arquivos.'
end if
10 call exec(9,6hTELA1 )
call lzero(16,2000)
call lzero(id,2000)
continue
call loccl(16,1)
write(1,*) 'Quantos passos?, Incremento?'
read(1,*,err=10) ndpa, incr
call loc(16,65)
write(1,*) ndpa
call loc(15,65)
write(1,*) incr
call loccl(16,1)
write(1,*) 'Quantas varreduras?'
read(1,*,err=10) nvar
if(mod(nvar,2).ne.0) then
write(1,*) 'Nesta versao do programa so e valido'
write(1,*) 'um numero par de varreduras!'
goto 10
end if
call loc(9,21)
write(1,*) nvar

call loccl(16,1)
write(1,*) 'Canal do ADC?'
read(1,*,err=10) ncan
call loc(3,65)
write(1,*) ncan
call loccl(16,1)
write(1,*) 'pausa? [em milissegundos]'
read(1,*,err=10) ipaus
call loc(8,65)
write(1,*) ipaus
call Reset_ADC (ncan, LuADC) ! Configura o ADC
call Cntrl_MPG (60B, LuMPG) ! Configura Multiprog.
call Init_K195A (LuDMM) ! Configura Multimetrol
call loccl(16,1)
write(1,*) 'Certifique-se de que o potenciometro de 10 voltas'
write(1,*) 'encontra-se no extremo anti-horario de seu curso'
pause
i = 1
first = .true.
ivar = 0
call step(i)
write(1,*) 'Motor ligado e preso na posicao inicial'
call loccl(16,1)
write(1,*) 'Valor do campo?'
read(1,*,err=15) b1
pause
Inicio de varredura de subida
100 i = 1
call loc( 7,3)
write(1, '(58(" ",a4,"IND:")' char(27) //'[7m'
write(1,*) char(27) //'[K'
valido = .false.
ks = 1
dir = 'sobe'
call mede_temp(temp(ivar+1))
call loc(9,41)
write(1,*) temp(ivar+1) ! informa
call ResetTimer
call p_ponto(LuADC,i,ks,incr,valido,is,dir,ipaus)
i = i+1
do j = i,ndpa
call p_ponto(LuADC,j,ks,incr,valido,is,dir,ipaus)
end do
msecs = ElapsedTime()
if(first) then
npe = ks - 1
first = .false.
end do
```

```

0179 x(j) = b1 + delta_b*(j-1)
0180 y1(j) = is(j)/div
0181 y2(j) = id(j)/div
0182 end do
0183
0184 *
0185 80 write(1,*) 'Plot? [1=sobe, 2=desce, 3=soma, 4=cancela]'
0186 read(1,*,err=80) iplot
0187 if(iplot.eq.4) goto 97
0188
0189 *
0190 write(1,*) 'Nome do espectro?'
0191 read(1,*(20a2')) (nome(k),k=1,20)
0192 write(1,*) 'X-tic?'
0193 read(1,*,err=95) xt
0194
0195 *
0196 goto(82,84,86) iplot
0197
0198 *
0199 82 call code
0200 write(idir,('SO'))
0201 call hplot(x,y1,npe,1,7,nome,xt) | Plota subida
0202 goto 80
0203
0204 *
0205 84 call code
0206 write(idir,('DE'))
0207 call hplot(x,y2,npe,1,7,nome,xt) | Plota descida
0208 goto 80
0209
0210 *
0211 86 do j = 1,npe
0212 y3(j) = (y1(j)+y2(j))/2.
0213 end do
0214
0215 *
0216 call hplot(x,y3,npe,1,7,nome,xt) | Plota soma
0217 goto 80
0218
0219 *
0220 97 write(1,*) 'Grava em fita?'
0221 read(1,(a2')) iresp
0222 call clicuc(iresp,1)
0223 if(iresp.eq.2hSI) then
0224 write(8,*(40a2')) (nome(k),k=1,40)
0225 write(8,*) npe,b1,b2,avg
0226 call reio(2,110b,1s,npe)
0227 endfile 8
0228
0229 *
0230 write(8,*(40a2')) (nome(k),k=1,40)
0231 write(8,*) npe,b1,b2,avg
0232 call reio(2,110b,1d,npe)
0233 endfile 8
0234
0235 *
0236 write(1,*) 'Gravado'
0237 end if
0238
0239 *
0240 write(1,*) 'Outro espectro? [sì na]'
0241 read(1,(a2')) iresp
0242 call clicuc(iresp,1)
0243 if(iresp.eq.2hSI) goto 10
0244 endfile 8
0245
0246 *
0247 call exec(3,510b)
0248 call lurq(0,8,1)
0249
0250 *
0251 write(1,*) '-----'
0252 write(1,*) char(12),'Fim do Programa SMPx'
0253 write(1,*) 'Fita magnetica rebobinada e desligada'
0254 write(1,*) '-----'
0255 stop
0256 end

```

```

0119 call loccl(16,1)
0120 write(1,*) 'Valor do campo?'
0121 read(1,*,err=20) b2
0122 binc = (b2-b1)/(ndpa)
0123 delta_b = binc*(incr)
0124 end if
0125 i = ndpa
0126 ivar = ivar + 1
0127 call loccl(16,1)
0128 write(1,*) '
0129 write(1,*) 'Fim da varredura: ',ivar, ' T: ', msecs
0130 if(ivar.eq.nvar) goto 90
0131
0132 *
0133 Fim da varredura de subida
0134 =====
0135 Inicio da varredura de descida
0136
0137 *
0138 call loc(7,3)
0139 write(1,*(58(" "),a4,'IND:')) char(27)//'[7m'
0140
0141 *
0142 kd = ks - 1
0143 valido = .false.
0144 i = ndpa
0145 dir = 'desce'
0146
0147 *
0148 call mede_temp(temp(ivar+1))
0149 call loc(9,41)
0150 write(1,*)
0151 temp(ivar+1)
0152
0153 *
0154 call ResetTimer
0155 call p_ponto(LuADC,i,kd,incr,valido,id,dir,ipaus)
0156 i = i-1
0157
0158 *
0159 do j = i,i,-1
0160 call p_ponto(LuADC,j,kd,incr,valido,id,dir,ipaus)
0161 end do
0162
0163 *
0164 msecs = ElapsedTime()
0165 ivar = ivar + 1
0166 call loccl(16,1)
0167 write(1,*) 'Fim da varredura: ',ivar, ' T: ', msecs
0168 goto 100
0169
0170 *
0171 call Cntrl_MPG(20B, LuMPG)
0172 call loccl(16,1)
0173 write(1,*) '
0174 write(1,*) 'Fim da aquisicao'
0175 write(1,*) 'Motor cortado'
0176 write(1,*) b1,b2
0177 do j=1,40
0178 nome(j) = 2h
0179 end do
0180 call avgst(temp,nvar,avg,std)
0181 call code
0182 write(ibuf,('T: ',e11.5,4x,'DP: ',e11.5)) avg, std
0183
0184 *
0185 do j = nvar/2.
0186

```

```

0299 return
0300 end
0301 *
0302 *
0303 *
0304 *
0305 *
0306 *
0307 *
0308 *
0309 *
0310 *
0311 *
0312 *
0313 *
0314 *
0315 *
0316 *
0317 *
0318 *
0319 *
0320 *
0321 *
0322 *
0323 *
0324 *
0325 *
0326 *
0327 *
0328 *
0329 *
0330 *
0331 *
0332 *
0333 *
0334 *
0335 *
0336 *
0337 *
0338 *
0339 *
0340 *
0341 *
0342 *
0343 *
0344 *
0345 *
0346 *
0347 *
0348 *
0349 *
0350 *
0351 *
0352 *
0353 *
0354 *
0355 *
0356 *
0357 *
0358 *

```

```

0239 *
0240 *
0241 *
0242 *
0243 *
0244 *
0245 *
0246 *
0247 *
0248 *
0249 *
0250 *
0251 *
0252 *
0253 *
0254 *
0255 *
0256 *
0257 *
0258 *
0259 *
0260 *
0261 *
0262 *
0263 *
0264 *
0265 *
0266 *
0267 *
0268 *
0269 *
0270 *
0271 *
0272 *
0273 *
0274 *
0275 *
0276 *
0277 *
0278 *
0279 *
0280 *
0281 *
0282 *
0283 *
0284 *
0285 *
0286 *
0287 *
0288 *
0289 *
0290 *
0291 *
0292 *
0293 *
0294 *
0295 *
0296 *
0297 *
0298 *

```

```

0359 write(i,'(53("-"))')
0360 il = 11
0361 ic = 30
0362 call cursor_ansi(il,ic)
0363 write(i,'(Percent of Range)')
0364 il = 12
0365 ic = 10
0366 call cursor_ansi(il,ic)
0367 write(i,('-50 -40 -30 -20 -10 0 +10 +20 +30 +40 +50'))
0368
0369 il = 13
0370 ic = 10
0371 call cursor_ansi(il,ic)
0372 write(i,'(.....|.....|.....|.....|.....|.....|.....|.....)')
0373
0374 il = 15
0375 ic = 10
0376 call cursor_ansi(il,ic)
0377 write(i,'(53("-"))')
0378 return
0379 end
-----
0380 *
0381 subroutine loc(il,ic)
-----
0382 write(i,'(A1,"[",i2,";",i2,"H_") char(27), il, ic
0383 return
0384
0385 *
0386
0387 *
0388 subroutine loccl(il,ic)
-----
0389
0390 character esc*1
0391 esc = char(27)
0392 write(i,'(a1,"[",i2,";",i2,"H",a1,"[J_")')esc.il,ic,esc
0393 return
0394
0395 *
0396
0397 *
0398
0399 *
0400
0401 *
0402
0403 *
0404
0405 *
0406
0407 *
0408
0409 *
0410
0411 *
0412
0413 *
0414

```


FSM0F1 T=00004 IS ON CR00026 USING 00108 BLKS R=0000

ftn7x,1

```

0001 *
0002 *
0003 *
0004 *
0005 *
0006 *
0007 *
0008 *
0009 *
0010 *
0011 *
0012 *
0013 *
0014 *
0015 *
0016 *
0017 *
0018 *
0019 *
0020 *
0021 *
0022 *
0023 *
0024 *
0025 *
0026 *
0027 *
0028 *
0029 *
0030 *
0031 *
0032 *
0033 *
0034 *
0035 *
0036 *
0037 *
0038 *
0039 *
0040 *
0041 *
0042 *
0043 *
0044 *
0045 *
0046 *
0047 *
0048 *
0049 *
0050 *
0051 *
0052 *
0053 *
0054 *
0055 *
0056 *
0057 *
0058 *

```

```

XXXXXXXX XX XX XXXX XXXXX | Fisica - ICEX/UPMG
XX XXX XX XX XX XX | Programa: SMOP
XXXXXXXX XX X XX XX XXXXX | Versao: 01
XX XX XX XX XX XX | Data: 21/03/89
XXXXXXXX XX XX XXXX XX | Edit: (890816.1056)
XXXXXXXX XX XX XXXX XX | Autor: R A Nogueira
-----
Programa para aquisicao de dados de EPR atraves do Sistema do
Motor de Passo ( SMOP )
-----
/xy/
program smop1
-----

```

```

Principais rotinas do sistema chamadas neste programa:
SEGLD - Carrega overlay na memoria
REIO - Entrada e Saida reentrante
ABREG - Devolve valores dos reg. A & B
CLCUC - Converte minuscula p/ maiuscula
PARSE - Separa parametros em um string
EXEC - Funcoes do RTE
-----

```

```

Segmentos deste programa ( overlays ):
SMOIN - Inicializacao
SMOHF - Movimentos da Fita Magnetica
SMOVR - Comandos:
SMOCI - Comandos CI:
-----
COMMONS
-----
1) Variaveis localizadas na Extended Memory Area ( EMA ):
common /xy/ x(2001), y(2001)
-----
2) Variaveis localizadas na area normal da memoria:
common /cmdpr/ ip(8), it(7)
common /comdo/ icmd
common /ulogs/ lu(10)
common /vlogs/ logic (10)
common /data1/ kbuf(4200)
common /parm1/ iclas, ifcm, npa, idel
common /parm2/ nn_gss
-----

```

```

Outros vetores:
dimension mcmd(50),
dimension ibuf(4200),
-----

```

```

0059 *
0060 *
0061 *
0062 *
0063 *
0064 *
0065 *
0066 *
0067 *
0068 *
0069 *
0070 *
0071 *
0072 *
0073 *
0074 *
0075 *
0076 *
0077 *
0078 *
0079 *
0080 *
0081 *
0082 *
0083 *
0084 *
0085 *
0086 *
0087 *
0088 *
0089 *
0090 *
0091 *
0092 *
0093 *
0094 *
0095 *
0096 *
0097 *
0098 *
0099 *
0100 *
0101 *
0102 *
0103 *
0104 *
0105 *
0106 *
0107 *
0108 *
0109 *
0110 *
0111 *
0112 *
0113 *
0114 *
0115 *
0116 *
0117 *
0118 *

```

```

-----
Variaveis e constantes do tipo 'character'
-----
character*1 esc, ff
character*4 prmp
character*5 vm, vd, az, am, bc
character*5 mg, cy, vr
character*5 cldsp
character*16 iclend
character*25 pinv
-----

```

```

-----
Variaveis LOGICAS
-----
logical usa_fita, usa_dmm, usa_fmo, usa_gss,
usa_mpg, usa_gon, logic, mot_lib
-----

```

```

-----
Definicoes dos EQUIVALENCES
-----
1) Equipamentos HP-IB
-----
equivalence (lu_pit,lu(1)), (lu_adc,lu(2)), (lu_dmm,lu(3)),
(lu_fmo,lu(4)), (lu_gsm,lu(5)), (lu_mpg,lu(6)),
(lu_gon,lu(7)), (lu_gsv,lu(8)), (lu_gss,lu(9))
-----

```

```

-----
2) Variaveis Logicas
-----
equivalence (usa_fita,logic(1)), (usa_dmm,logic(2)),
(usa_fmo,logic(3)), (usa_gss,logic(4)),
(usa_mpg,logic(5)), (usa_gon,logic(6))
-----

```

```

-----
3) Matriz dos dados
-----
-----
Kbuf 1 4001 4200
-----
Jbuf 1 4000
-----
Rbuf 1 2000
-----
Idat 1 200
-----

```

```

-----
equivalence (idat(1), kbuf(4001)),
(jbuf(1), kbuf(1)),
(rbuf(1), jbuf(1))
-----
equivalence (idat(1), ifc), (idat(2), nop), (idat(3), ipv1),
(idat(4), ipv2), (idat(5), nchan), (idat(6), ir1),
(idat(7), ir2), (idat(8), nspec), (idat(9), ipnd),
-----

```

```

0119      (idat(10), np), (idat(11), nmrn), (idat(12), nmri),
0120      (idat(13), nop), (idat(14), nop), (idat(15), b1),
0121      (idat(17), b2), (idat(19), nop), (idat(20), nop)
0122
0123
0124
0125
0126
0127
0128
0129
0130
0131
0132
0133
0134
0135
0136
0137
0138
0139
0140
0141
0142
0143
0144
0145
0146
0147
0148
0149
0150
0151
0152
0153
0154
0155
0156
0157
0158
0159
0160
0161
0162
0163
0164
0165
0166
0167
0168
0169
0170
0171
0172
0173
0174
0175
0176
0177
0178

Data:
=====
*pcmd Dados da matriz de comandos:
=====
data mcmd /2hEN,2hUH,2hHE,2hRU,2hNF,2hPA,2hPP,2hAF,2hCA,2hFC,
2hST,2hIT,2hPV,2hRI,2hNM,2hOS,2HAD,2hST,2hIV,2hFV,
2hCZ,2hCT,2hLM,2hAQ,2hGR,2hMO,2hPL,2hFE,2hGN,
2hCD,2hUD,2hOW,2hIM,2hPC,2hCH,2hAT,2h ,2h ,2h /
2h ,2h ,2h ,2h ,2h ,2h ,2h /
data ipv1 /-50/
data ipv2 /+50/
data ifd / 5, 10, 20, 50, 100, 200/
data if1 /107b,106b,105b,104b,103b,102b/
data nmrn /1/
data nmri /1/
=====
INICIALIZACAO DO PROGRAMA
=====
Parametros de identificacao
deste programa
-----
ident(1) = 1 | Versao
ident(2) = 0 | Revisao
ident(3) = 0 | Codigo do SMOIP
ident(4) = 0 | Formato da fita
ident(5) = 0 | Uso futuro

Escapes:
esc = char(27)
ff = char(12)
-----
bc = esc//&v0S'
vm = esc//&v1S'
vd = esc//&v2S'
am = esc//&v3S'
az = esc//&v4S'
cy = esc//&v5S'
mg = esc//&v6S'
vr = esc//&v7S'

cidsp = esc//h//esc//j'
pinv = vm//Parametro(s) Invalido(s)'
prpmt = 'CHD'
nps = 0
-----
1 call segld(6hSMOIN , ier)
call ERCHK(ier, 1)

```

```

0179
0180
0181
0182
0183
0184
0185
0186
0187
0188
0189
0190
0191
0192
0193
0194
0195
0196
0197
0198
0199
0200
0201
0202
0203
0204
0205
0206
0207
0208
0209
0210
0211
0212
0213
0214
0215
0216
0217
0218
0219
0220
0221
0222
0223
0224
0225
0226
0227
0228
0229
0230
0231
0232
0233
0234
0235
0236
0237
0238

call Cntrl_MPC(Lu_MPC, 20b)
call InMot(Lu_MPC, 6b)
mot_lib = .false.

=====
PROCESSADOR DE COMANDOS
=====
Indice/Comando      Label      Comentario
-----
1-EN                100        Fim do programa
2-UH                110        Executa WHZAT,AL
3-HE                120        Help
4-RU                130        Rebobina a fita magnetica
5-MF                140        Movimentos da fita magnetica
6-PA                150        Pausa no programa
7-PP                160        Modifica sinal de pronto
8-AF                170        Parametros de Area Fill
9-CA                180        Canal ativo do ADC
10-FC               190        Frequencia de conversao
11-SY               200        Interface com o RTE
12-TT               210        Topo da tela ( clear dsp )
13-PV               220        Def. percentuais de varredura
14-RI               230        Def. regioes de interesse
15-NM               240        Mede offset
16-OS               250        Executa uma conversao
17-AD               260        Exibe status do programa
18-ST               270        Vai p/ inicio de IRI
19-IV               280        Vai p/ o fim de IRI
20-FV               290        Vai p/ o inicio do curso
21-CZ               300        Vai p/ o fim do curso
22-CT               310        Libera o motor de passo
23-LM               320        Inicia aquisicao
24-AQ               330        Grava no disco
25-GD               340        Grava na fita magnetica
26-GR               350        Exibe espectro na tela
27-MO               360        Exibe espectro no Plotter
28-PL               370        Exibe fundo de escala do ADC
29-FE               380        Movimentos do gonioometro
30-GN               390        Cria diretorio (CI)
31-CD               400        Exibe diretorio corrente (CI)
32-UD               410        Exibe dono do diretorio (CI)
33-OW               420        Inicializa motor de passo
34-IM               430        Posicao corrente do motor
35-PC               440        Campo Magnetico ( gaussiometro )
36-CM               450        Atraso entre passos
37-AT               460

5 write(i,*) mg, prmpt, am, ' '
call REIO (1, 40ib, iresp, 20)
call ABREG (ia, ib)
if (ib.eq.0) then
  write(i,*) vm, 'TO/EOF/CR'
  goto 5
end if
-----
call CLCUC (iresp, ib)
-----
| Exibe sinal de pronto
| Le o string comando
| Le reg. A & B da CPU
| Se reg B = 0 houve
| time-out, EOF ou CR
| Retorna ao Processa
| dor de comandos
| Conv. p/ maiuscula

```

```

0239 call PARSE (iresp, ib*2, ipars)
0240 icmd = ipars(2)
0241
0242 .....
0243 | Inicializa pointer
0244 | Verifica se o coman
0245 | do existe e qual sua
0246 | posicao em (ICMD)
0247 | Se o pointer continua
0248 | zero entao o comando
0249 | nao existe
0250 | Caso contrario, recu-
0251 | pera os parms nos vet.
0252 | ip (vlr. do parm.),
0253 | it (tipo do parm.),
0254 | e coloca em ip(8) o
0255 | no. de parametros.
0256
0257 do k = 2,8
0258   ip(k-1) = ipars(4*k-2)
0259   it(k-1) = ipars(4*k-3)
0260 end do
0261 ip(8) = ipars(33)
0262 goto (100,110,120,130,140,150,
0263   . 160,170,180,190,200,210,
0264   . 220,230,240,250,260,270,
0265   . 280,290,300,310,320,330,
0266   . 340,350,360,370,380,390,
0267   . 400,410,420,430,440,450,
0268   . 460 ) kf
0269 end if
0270
0271 .....
0272 BLOCOS DOS COMANDOS
0273 =====
0274
0275 Encerra a execucao do programa | CMD = EN
0276
0277 100 write(1,*) vm, '/SHOP: Fim'
0278 STOP 77
0279
0280 Executa WHZAT | CMD = WH
0281
0282 | Verifica parametros
0283 | Apaga a tela
0284 | Executa c/ espera
0285
0286 | Executa s/ espera
0287
0288 | Despacha WHZAT
0289 | Mensagem
0290 | Retorna
0291
0292 .....
0293 | Exibe tela de ajuda | CMD = HE
0294
0295 write(1,*) cldsp
0296 call EXEC (+100000B, 6hSMOHP , *999)
0297 goto 5
0298
0299 .....
0300 | Rebobina a fita magnetica | CMD = RU
0301
0302
0303
0304
0305
0306
0307
0308
0309
0310
0311
0312
0313
0314
0315
0316
0317
0318
0319
0320
0321
0322
0323
0324
0325
0326
0327
0328
0329
0330
0331
0332
0333
0334
0335
0336
0337
0338
0339
0340
0341
0342
0343
0344
0345
0346
0347
0348
0349
0350
0351
0352
0353
0354
0355
0356
0357
0358

```

```

0299 *
0300 * | Separa os parametros
0301 * | Separa anemo do coman
0302 * | do em (icmd)
0303 *
0304 * | Inicializa pointer
0305 * | Verifica se o coman
0306 * | do existe e qual sua
0307 * | posicao em (ICMD)
0308 * | Se o pointer continua
0309 * | zero entao o comando
0310 * | nao existe
0311 * | Caso contrario, recu-
0312 * | pera os parms nos vet.
0313 * | ip (vlr. do parm.),
0314 * | it (tipo do parm.),
0315 * | e coloca em ip(8) o
0316 * | no. de parametros.
0317 *
0318 *
0319 *
0320 *
0321 *
0322 *
0323 *
0324 * | Avisa ao
0325 * | usuario e le
0326 * | o novo sinal.
0327 * | Retorna
0328 *
0329 *
0330 *
0331 *
0332 * Parametros adicionais para "area fill" (video colonido) | CMD = AF
0333 *
0334 *
0335 *
0336 *
0337 *
0338 *
0339 *
0340 *
0341 *
0342 *
0343 * Canal ativo do ADC | CMD = CA
0344 *
0345 *
0346 *
0347 *
0348 *
0349 *
0350 *
0351 *
0352 *
0353 *
0354 *
0355 *
0356 *
0357 *
0358 *

```

```

0419      goto 5
0420      end if
0421      *
0422      *
0423      *
0424      *
0425      *
0426      *
0427      *
0428      *
0429      *
0430      *
0431      *
0432      *
0433      *
0434      *
0435      *
0436      *
0437      *
0438      *
0439      *
0440      *
0441      *
0442      *
0443      *
0444      *
0445      *
0446      *
0447      *
0448      *
0449      *
0450      *
0451      *
0452      *
0453      *
0454      *
0455      *
0456      *
0457      *
0458      *
0459      *
0460      *
0461      *
0462      *
0463      *
0464      *
0465      *
0466      *
0467      *
0468      *
0469      *
0470      *
0471      *
0472      *
0473      *
0474      *
0475      *
0476      *
0477      *
0478      *

-----
| e retorna
-----
230 if(it(1).ne.1.or.it(2).ne.1) then
    write(1,*) 'Limites de RI?'
    read(1,*,end=5,lost=ios,err=900) iri1, iri2
    else
        iri1 = ip(1)
        iri2 = ip(2)
    end if
    call cpr
    goto 5
-----
| Se parmas nao
| numericos, le
| no console
| Caso contrario
| retira os dados
| do string de
| comando,
| atualiza
| e retorna
-----
| CMD = RI
-----

-----
| Define numero de medidas
-----
240 if(it(1).ne.1.or.it(2).ne.1) then
    write(1,*) 'No. medidas RN ?'
    read(1,*) nmrn
    write(1,*) 'No. medidas RI ?'
    read(1,*) nmri
    else
        nmrn = ip(1)
        nmri = ip(2)
    end if
    call cpr
    goto 5
-----
| Se os parametros nao
| estao no string de
| comando entao le no
| terminal do
| operador.
| Caso contrario, os
| parametros estao em
| ip(1) e ip(2)
-----
| Atualiza
| e retorna
-----
| CMD = OS
-----

Mede off-set
-----
250 call segld(6hSMOVR, ier)
    call erchk(ier, 250)
    goto 5
-----
| Executa uma conversao
-----
260 call segld(6hSMOVR, ier)
    call erchk(ier, 260)
    goto 5
-----
| Vai para o inicio da varredura (ipv1)
-----
280 np1 = iqnp(ipv1)
    np = np1 - npa
    idir = 1
    if(np.lt.0) then
        np = -np
        idir = -1
    end if
    call steps(npa, np, idir, nnp, lu_mpg, ier)
    npa = nnp
    goto 5
-----
| CMD = VI
-----

```

```

0359      *
0360      *
0361      *
0362      *
0363      *
0364      *
0365      *
0366      *
0367      *
0368      *
0369      *
0370      *
0371      *
0372      *
0373      *
0374      *
0375      *
0376      *
0377      *
0378      *
0379      *
0380      *
0381      *
0382      *
0383      *
0384      *
0385      *
0386      *
0387      *
0388      *
0389      *
0390      *
0391      *
0392      *
0393      *
0394      *
0395      *
0396      *
0397      *
0398      *
0399      *
0400      *
0401      *
0402      *
0403      *
0404      *
0405      *
0406      *
0407      *
0408      *
0409      *
0410      *
0411      *
0412      *
0413      *
0414      *
0415      *
0416      *
0417      *
0418      *

-----
| CMD = FC
-----
190 ifc_save = ifc
    if(it(1).ne.1) then
        write(1,*) 'Frequencia?'
        read(1,*,end=5,lost=ios,err=900) ifc
        else
            ifc = ip(1)
        end if
        .....
        kf = 0
        do k = 1,6
            if(ifc.eq.ifd(k)) kf = k
        end do
        .....
        if(kf.eq.0) then
            write(1,*) vm, 'Frequencia Inexistente'
            write(1,*) bc, '(5,10,20,50,100 e 200)'
            write(1,*) am, 'Valor atual: ', ifc_save
            ifc = ifc_save
            goto 5
        else
            ifcm = if1(kf)
            goto 5
        end if
    end if
-----
| Interface com o RTE
-----
200 j = mess(iresp(2), 2*ib-2)
    if (j.ne.0) then
        write(1,*) mg, '))'
        write(1,*(20a2)) (iresp(k), k=2,-j)
    end if
    goto 5
-----
| Passa a mens. p/ RTE
| Se ha resposta (j#0)
| entao exibe a respos
| ta no terminal
| Retorna
-----
| CMD = SY
-----
220 Move cursor alfa para o topo da tela
-----
210 write(1,*) cldsp
    goto 5
-----
| Apaga a tela, cursor
| em 0,0 e retorna
-----
| CMD = PV
-----
280 if(it(1).ne.1.or.it(2).ne.1) then
    write(1,*) 'Limites da varredura?'
    read(1,*,end=5,lost=ios,err=900) ipv1, ipv2
    else
        ipv1 = ip(1)
        ipv2 = ip(2)
    end if
    .....
    if(ipv1.lt.ipv2) then
        call cpr
        goto 5
    else
        write(1,*) vm, 'Erro: IPV1 > IPV2'
    end if
-----
| Se os parmas nao
| sao numericos,
| le no console
| Caso contrario
| retira os da-
| dos do string
| de comando.
-----
| Se dados OK
| atualiza
| e retorna
| Caso contrario
| exibe mensagem
-----

```

```

0479 * ----- | CMD = VF
0480 * Vai para o fim da varredura (ipv2)
0481 *
0482 * 290 np2 = iqnp(ipv2)
0483 * np = np2 - npa
0484 * idir = 1
0485 * if(np.lt.0) then
0486 *   np = - np
0487 *   idir = -1
0488 * end if
0489 * call steps(npa,np,idir,nnp,lu_mpg,ier)
0490 * npa = nnp
0491 * goto 5
0492 *
0493 * ----- | CMD = CZ
0494 * Vai para o inicio do curso
0495 *
0496 * 300 np = npa
0497 * idir = -1
0498 * call steps(npa,np,idir,nnp,lu_mpg,ier)
0499 * npa = nnp
0500 * goto 5
0501 *
0502 * ----- | CMD = CT
0503 * Vai para o fim do curso
0504 *
0505 * 310 np = 2000 - npa
0506 * idir = 1
0507 * call steps(npa,np,idir,nnp,lu_mpg,ier)
0508 * npa = nnp
0509 * goto 5
0510 *
0511 * ----- | CMD = LM
0512 * Libera o motor de passo
0513 *
0514 * 320 call Cntrl_MPG(Lu_MPG, 20B)
0515 * mot_lib = .true.
0516 * write(1,*) '-----'
0517 * write(1,*) 'Motor liberado'
0518 * write(1,*) 'no passo: ', npa
0519 * write(1,*) '-----'
0520 * goto 5
0521 *
0522 * -----
0523 * 330 continue
0524 * 340 continue
0525 * 350 continue
0526 * 360 continue
0527 *
0528 * ----- | CMD = PL
0529 * Exibe dados plotter HP
0530 *
0531 * 370 call segld(6hSMOVR ,ier)
0532 * call erchk (ier, 370)
0533 * goto 5
0534 *
0535 * ----- | CMD = FE
0536 * Exibe fundo de escala do ADC
0537 *
0538 *
0539 * ----- | CMD = VF
0540 * call segld (6hSMOVR , ier)
0541 * call erchk (ier, 380)
0542 * goto 5
0543 *
0544 * ----- | CMD = 6N
0545 * Movimentos do goniometro motorizado
0546 *
0547 * 390 call segld (6hSMOVR , ier)
0548 * call erchk (ier, 390)
0549 * goto 5
0550 *
0551 * ----- | CMD = CD
0552 * Cria diretorio (CI)
0553 *
0554 * 400 call segld(6hSMOCI ,ier)
0555 * call erchk (ier, 400)
0556 * goto 5
0557 *
0558 * ----- | CMD = UD
0559 * Exibe diretorio corrente
0560 *
0561 * 410 call segld(6hSMOCI ,ier)
0562 * call erchk (ier, 410)
0563 * goto 5
0564 *
0565 * ----- | CMD = OU
0566 * Exibe dono do diretorio
0567 *
0568 * 420 call segld(6hSMOCI ,ier)
0569 * call erchk (ier, 420)
0570 * goto 5
0571 *
0572 * ----- | CMD = IM
0573 * Inicializa motor de passo com a configuracao 0110 (6b)
0574 *
0575 * 430 in = 6b
0576 * call InMot(Lu_MPG, in)
0577 * mot_lib = .false.
0578 * goto 5
0579 *
0580 * ----- | CMD = PC
0581 * Posicao corrente do motor
0582 *
0583 * 440 write(1,*) 'Posicao atual:'
0584 * write(1,*) 'Passo: ', npa
0585 * write(1,*) '% Range: ', ipor(npa)
0586 * if(mot_lib) then
0587 *   write(1,*) vm, 'Motor Liberado'
0588 * end if
0589 * goto 5
0590 *
0591 * ----- | CMD = CM
0592 * Faz leitura do campo via gaussimetro
0593 *
0594 * 450 if(lu_gss.eq.lu_gsv) then
0595 *   write(1,*) 'Gaussimetro Varian'
0596 *   read(lu_gss,*) campo
0597 *   write(1,*) '(=Campo: ',f8.2') campo
0598 *

```

```

0659 *
0660 *
0661 *
0662 *
0663 *
0664 *
0665 *
0666 *
0667 *
0668 *
0669 *
0670 *
0671 *
0672 *
0673 *
0674 *
0675 *
0676 *
0677 *
0678 *
0679 *
0680 *
0681 *
0682 *
0683 *
0684 *
0685 *
0686 *
0687 *
0688 *
0689 *
0690 *
0691 *
0692 *
0693 *
0694 *
0695 *
0696 *
0697 *
0698 *
0699 *
0700 *
0701 *
0702 *
0703 *
0704 *
0705 *
0706 *
0707 *
0708 *
0709 *
0710 *
0711 *
0712 *
0713 *

```

```

0599 *
0600 *
0601 *
0602 *
0603 *
0604 *
0605 *
0606 *
0607 *
0608 *
0609 *
0610 *
0611 *
0612 *
0613 *
0614 *
0615 *
0616 *
0617 *
0618 *
0619 *
0620 *
0621 *
0622 *
0623 *
0624 *
0625 *
0626 *
0627 *
0628 *
0629 *
0630 *
0631 *
0632 *
0633 *
0634 *
0635 *
0636 *
0637 *
0638 *
0639 *
0640 *
0641 *
0642 *
0643 *
0644 *
0645 *
0646 *
0647 *
0648 *
0649 *
0650 *
0651 *
0652 *
0653 *
0654 *
0655 *
0656 *
0657 *
0658 *

```

```

function ipor (iqnp)
-----
Esta funcao devolve o valor do "percent of range" correspondente
a um dado numero de passos executados pelo motor. Admite-se que
o helipot tenha sido levado a posicao CCU no inicio do programa.

ipor = (iqnp - 1000)/20
return
end

subroutine InMot(Lu_MPG, in)
-----
Esta rotina inicializa o motor de passo na configuracao (in)
onde (in) e' um octal igual a 6b, 5b, 11b ou 12b. Outras con-
figuracoes nao sao validas para motor de 4 fases e podem le-
var a resultador imprevisiveis. A rotina NAO testa a valida-
de da configuracao. LuMPC e' a unidade logica do Multiprog.

write(Lu_MPG, '(="060T")')
| Inic. Multiprog.
| Transmite (in)
| p/ porta paralela
| e retorna

write(Lu_MPG, '(="L", @2, "T")') in
return
end

subroutine Cntrl_MPG(LuMPC, icnwd)
-----
Esta rotina manda um controle para o multiprogramador para inibir
ou habilitar as saidas de todos os cartoes instalados.

A palavra de controle ICNUD ajusta os bits HMT e HSS onde:

HMT = 1 > Habilita o modo temporizado, onde o MPC so aceita
um novo comando apos executar a tarefa em curso.

HSS = 1 > Habilita simultaneamente a saida de todos cartoes
de saida instalados no MPC

ICNUD = 0 >> HMT=0 e HSS=0
ICNUD = 20B >> HMT=1 e HSS=0
ICNUD = 40B >> HMT=0 e HSS=1
ICNUD = 60B >> HMT=1 e HSS=1

return
end

write(LuMPC, '(="0", @2, "T")') icnwd
return
end

end

```

0059 *
0060 *
0061 *
0062 *
0063 *
0064 *
0065 *
0066 *
0067 *
0068 *
0069 *
0070 *
0071 *
0072 *
0073 *
0074 *
0075 *
0076 *
0077 *
0078 *
0079 *
0080 *
0081 *
0082 *
0083 *
0084 *
0085 *
0086 *
0087 *
0088 *
0089 *
0090 *
0091 *
0092 *
0093 *
0094 *
0095 *
0096 *
0097 *
0098 *
0099 *
0100 *
0101 *
0102 *
0103 *
0104 *
0105 *
0106 *
0107 *
0108 *
0109 *
0110 *
0111 *
0112 *
0113 *
0114 *
0115 *
0116 *
0117 *
0118 *

program SMOIN, 5
COMMONS:
common /ulogs/ lu(10) | Unidades Logicas LUs
common /vlogs/ logic(10) | Variaveis logicas
common /parml/ iclas, ifcm, npa, idel | Parametros (1)
common /parm2/ nm_gss | Parametros (2)
CHARACTERS:
0011 *
0012 *
0013 *
0014 *
0015 *
0016 *
0017 *
0018 *
0019 *
0020 *
0021 *
0022 *
0023 *
0024 *
0025 *
0026 *
0027 *
0028 *
0029 *
0030 *
0031 *
0032 *
0033 *
0034 *
0035 *
0036 *
0037 *
0038 *
0039 *
0040 *
0041 *
0042 *
0043 *
0044 *
0045 *
0046 *
0047 *
0048 *
0049 *
0050 *
0051 *
0052 *
0053 *
0054 *
0055 *
0056 *
0057 *
0058 *

character*1 esc | escape
character*5 cldsp | clear display (HP)
character*5 vm, vd, am, az | atributos de cor (HP)
character*16 klend | string calendario
LOGICALS:
logical sim, logic | teste de resposta
logical usa_fita, usa_dmm, usa_fmo
logical usa_gss, usa_mpg, usa_gon
EQUIVALENCES:
1) Equipamentos HP-IB
equivalence (lu_plt, lu(1)), (lu_adc, lu(2)), (lu_dmm, lu(3)),
(lu_fmo, lu(4)), (lu_gsm, lu(5)), (lu_mpg, lu(6)),
(lu_gon, lu(7)), (lu_gsv, lu(8)), (lu_gss, lu(9))
2) Variaveis Logicas
equivalence (usa_fita, logic(1)), (usa_dmm, logic(2)),
(usa_fmo, logic(3)), (usa_gss, logic(4)),
(usa_mpg, logic(4)), (usa_gon, logic(5))
esc = char(27)
cldsp = esc//h//esc//'J_'
vd = esc//&v2S'
am = esc//&v3S'
write(1,*) esc//&v1a1z41'
call klend (klend)
write(1,*) cldsp
write(1,*) vd, '
write(1,*) am, 'SHOP - Sistema do Motor de Passo'
write(1,*) am, 'Laboratorio de Ressonancia Magnetica'
write(1,*) vd, '
lu_plt = 35
lu_adc = 36
lu_dmm = 42
lu_fmo = 43
lu_gsm = 41
lu_mpg = 44
lu_gon = 39

Lu do plotter HP HP1B 05
LU do ADC HP1B 06
LU do DMM Keythley HP1B 12
LU do Freq. M. Onda HP1B 13
LU do Gauss. Metrolab HP1B 11
LU do Multiprogramador HP1B 14
LU do Goniometro HP1B 09

! Chama a atencao do operador
! para a inicializacao do motor

```
0119
0120
0121 *
0122
0123
0124 *
0125
0126
0127
0128
0129
0130
0131
0132
0133
0134
```

```
in = 6b
call InMot(LuMPC, in)
-----
call segnt
end
-----
subroutine input (iresp,nw)
iresp = 0
do while(iresp.ne.2hSI.and.iresp.ne.2hNA)
  call reio(1,401b,iresp,nw)
  call clcuc(iresp,nw)
end do
return
end
-----
ends
```

```
8SHOVR T=00004 IS ON CR00026 USING 00012 BLKS R=0000
```

```
0001 ftn7x,1
0002 *
0003 $ema /xy/
0004 *
0005 program smovr,5
0006 -----
0007 x(2001), y(2001)
0008 common /xy/
0009 common /cmdpr/ ip(8), it(7)
0010 common /comdo/ icmd
0011 common /ulogs/ lu(10)
0012 common /vlogs/ logic (10)
0013 *
0014 *
0015 real*4 ofset (100)
0016 real*4 scadc (4)
0017 -----
0018 integer*2 mcmd1 (10)
0019 integer*2 nomsp (40)
0020 integer*2 ivost (100)
0021 integer*2 ifcos (1)
0022 *
0023 logical motmov
0024 *
0025 *
0026 equivalence (lu(1),lu_plr), (lu(2),lu_adc), (lu(3),lu_dnm),
0027 (lu(4),lu_fmo), (lu(5),lu_gsm), (lu(6),lu_mpg),
0028 (lu(7),lu_gon)
0029 -----
0030
0031 data mcmd1 /2hFE,2h0S,2hPL,2hGN,2hAD,2h ,2h ,2h ,2h /
0032 data scadc /1.0, 2.5, 5.0, 10.0/
0033
0034 *
0035 kfl = 0
0036 do j = 1,10
0037 if(icmd.eq.mcmd1(j)) kfl = j
0038 end do
0039 if(kfl.eq.0) then
0040 write(1,*) 'SMAVR: Comando inexistente'
0041 goto 5
0042 else
0043 goto (10, 20, 30, 40, 50) kfl
0044 end if
0045 *
0046 *
0047 *
0048 *
0049 -----
0050 Informe sobre fundo de escala do ADC
0051 -----
0052
0053 write(1,*) '-----'
0054 write(1,*) 'O ADC foi inicialmente ajustado da seguinte maneira:'
0055 write(1,*) 'Canal 1 : 2,000 volts pico a pico - 1.0 mV/contagem'
0056 write(1,*) 'Canal 2 : 5,000 volts pico a pico - 2.5 mV/contagem'
0057 write(1,*) 'Canal 3 : 10,00 volts pico a pico - 5.0 mV/contagem'
0058 write(1,*) 'Canal 4 : 20,00 volts pico a pico - 10.0 mV/contagem'
0059 write(1,*) '-----'
0060 write(1,*) 'Para mudar estes valores, consulte antes o manual do'
```



```

0059 write(1,*) 'instrumento para obter as informacoes necessarias'
0060 write(1,*) '=====
0061 goto 5
0062 -----
0063 Medc Off-Set
0064 -----
0065
0066 | Programa e dispara o
0067 | Verifica parametros
0068 |
0069 |
0070 |
0071 |
0072 |
0073 |
0074 |
0075 |
0076 |
0077 |
0078 | Programa e dispara o
0079 | Verifica parametros
0080 |
0081 |
0082 |
0083 |
0084 |
0085 |
0086 |
0087 |
0088 |
0089 |
0090 |
0091 |
0092 |
0093 |
0094 |
0095 |
0096 |
0097 |
0098 |
0099 |
0100 |
0101 |
0102 |
0103 |
0104 |
0105 |
0106 |
0107 |
0108 |
0109 |
0110 |
0111 |
0112 |
0113 |
0114 |
0115 |
0116 |
0117 |
0118 |

write(1,*) 'instrumento para obter as informacoes necessarias'
write(1,*) '=====
goto 5
-----
Medc Off-Set
-----
20 if(it(1).ne.1) then
write(1,*) 'Canal do ADC? (1,2,3,4)'
read(1,*,end=5,iostat=ios,err=900) nadc
else
nadc = ip(1)
end if
if(nadc.lt.1.or.nadc.gt.4) then
write(1,*) 'Canal Inexistente'
goto 5
end if
nadcb = 2*(nadc - 1)
write(lu_adc, '(HL",r1,i1,"J_")' ) ifcos, nadcb | ifcos, nadcb | relógio do ADC
call REIO (1, 100B+36, ivost, 100) | Toma 100 medidas
write(lu_adc, '(I_")' ) | Para o relógio do ADC
do j = 1, 100 | Calcula off-set em
offset(j) = ivost(j) * scadc(nadc) | millivolts
end do
write(1, '(10(x,f6.3))' ) (offset(j), j=1,100)
soma = 0.
do j = 1, 100
soma = soma + offset(j)
end do
avg = soma/100.
call sig2(offset, 100, avg, dp, vr)
write(1,*) '-----'
write(1,*) ' Canal: ', nadc
write(1,*) ' Off-Set: ', avg
write(1,*) ' Sigma^2: ', vr
write(1,*) '-----'
goto 5
Exibe espectro - Plotter HP - Interface HP-IB CMD = PL
-----
30 write(1,*) 'Nome do grafico?'
read(1, '(40a2)', end=5) (nomsp(k), k=1,40)
write(1,*) 'Xtic ?'
read(1,*,end=5,iostat=ios,err=900) xt
call Hplot(x,y,np,1,7,nomsp,xt)
goto 5
-----
Controle do goniometro motorizado CMD = GN
-----
40 if(ip(1).eq.2hrs) then
write(lu_gon, '(C10")' )
goto 5
end if
if(ip(1).eq.2hM0) then
if(it(2)*it(3).ne.1) then

```

```

0119 write(1,*) 'Parametros invalidos'
0120 goto 5
0121 else
0122 lang = 100*iabs(ip(2) + ip(3))
0123 if(ip(2).lt.0) lang = -lang
0124 if(iabs(lang).gt.9000) then
0125 write(1,*) 'Angulo invalido'
0126 goto 5
0127 end if
0128 if(motmov(lu_gon)) then
0129 write(1,*) 'Motor em movimento'
0130 goto 5
0131 else
0132 write(lu_gon, '(SP,"I1=",i5.5,"I",SS)') lang
0133 call move_mot(lu_gon, lang)
0134 goto 5
0135 end if
0136 end if
0137 end if
0138 -----
0139 | Define Passo
0140 |
0141 |
0142 |
0143 |
0144 |
0145 |
0146 |
0147 |
0148 |
0149 |
0150 |
0151 |
0152 |
0153 |
0154 |
0155 |
0156 |
0157 |
0158 |
0159 |
0160 |
0161 |
0162 |
0163 |
0164 |
0165 |
0166 |
0167 |
0168 |
0169 |
0170 |
0171 |
0172 |
0173 |
0174 |
0175 |
0176 |
0177 |
0178 |

if(ip(1).eq.2hDP) then
if(it(2)*it(3).ne.1) then
write(1,*) 'Parametros invalidos'
goto 5
end if
ignstp = 100*iabs(ip(2) + ip(3))
if(ip(2).lt.0) ignstp = -ignstp
goto 5
end if
if(ip(1).eq.2hPA) then
call ipos(lu_gon, ipa)
pa = ipa/100
write(1,*) 'Pos. atual: ', pa
goto 5
end if
if(ip(1).eq.2h)) then
call ipos(lu_gon, ipa)
lang = ipa + ignstp
call move_mot(lu_gon, lang)
goto 5
end if
if(ip(1).eq.2h(( then
call ipos(lu_gon, ipa)
lang = ipa - ignstp
call move_mot(lu_gon, lang)
goto 5
end if
write(1,*) 'Parametro invalido'
goto 5
-----
Executa uma conversao do ADC
-----
50 if(it(1).ne.1) then
write(1,*) 'Canal do ADC? (1,2,3,4)'
read(1,*,end=5,iostat=ios,err=900) nadc

```

```

0179     else
0180         nadc = ip(1)
0181     end if
0182     if(nadc.lt.1.or.nadc.gt.4) then
0183         write(1,*) 'Canal Inexistente'
0184         goto 5
0185     else
0186         nadc = 2**(nadc-1)
0187         write(lu_adc, '(H",i1,"ALJ")') nadc
0188         call reio(1, 100+lu_adc, ivad, 1)
0189         write(lu_adc, '(I")')
0190         volts = ivad*scadc(nadc)/1000.
0191         write(1,*) '-----'
0192         write(1,*) '          Canal: ', nadc
0193         write(1,*) '          Volts: ', volts
0194         write(1,*) '          Leitura: ', ivad
0195         write(1,*) '-----'
0196     end if
0197     goto 5
0198 *
0199 *
0200 *
0201 *
0202     900 write(1,*) 'SMAVR: Erro I/O: ',ios
0203 *
0204 *
0205 *
0206     5 call SEGR
0207     end
0208 *
0209 *
0210 *
0211     logical function motmov(lu)
0212     character ar*4
0213     write(lu, '(I1?)')
0214     read (lu, '(4a)') ar
0215     if(ar.ne.'AR1 ') then
0216         motmov = .true.
0217     else
0218         motmov = .false.
0219     end if
0220     return
0221     end
0222 *
0223 *
0224 *
0225     subroutine move_mot(lu, iang)
0226     write(lu, '(SP,I1=",i5.5,"I",SS)') iang
0227     return
0228     end
0229 *
0230 *
0231 *
0232     subroutine ipos(lu, ipa )
0233     write(lu, '(C1?)')
0234     read (lu, '(3x,i7,i1x)') ipa
0235     return
0236     end
0237 *
0238 *
0239 *
0240 *
0241 *
0242 *
0243 *
0244 *
0245 *
0246 *
0247 *
0248 *
0249 *
0250 *
0251 *
0252 *
0253 *
0254 *

```

SMOCI T=0004 IS ON CR0026 USING 00006 BLKS R=0000

```

0001 ftn7x,1
0002 program smoci.5
0003
0004 *
0005 character ndir*63
0006 character nome*30
0007 *
0008 common /comdo/ icmd
0009 *
0010 if(icmd.eq.2hcd) then
0011
0012     write(1,*) 'Nome do diretorio a criar?'
0013     read(1, '(a63)') ndir
0014     write(1,*) 'Em qual LU? [0 para default]'
0015     read(1,*) lu
0016     ier = FmpCreateDir(ndir, lu)
0017     call ervrf(ier, ndir)
0018     goto 5
0019
0020 else if(icmd.eq.2h0u) then
0021
0022     write(1,*) 'Nome do diretorio?'
0023     read(1, '(a63)') ndir
0024     ier = FmpOwner(ndir, nome)
0025     write(1,*) 'Dono do diretorio: ', nome
0026     call ervrf(ier, ndir)
0027     goto 5
0028
0029 else if(icmd.eq.2hWD) then
0030
0031     ier = FmpWorkingDir(ndir)
0032     if(ier.eq.0) then
0033         write(1,*) 'Dir: ',ndir
0034         goto 5
0035     end if
0036     call ervrf(ier, ndir)
0037     goto 5
0038
0039 end if
0040
0041 *
0042 *
0043 *
0044 *
0045     5 call segt
0046     end
0047 *
0048 *
0049 *
0050 *
0051 *
0052 *
0053 *
0054 *
0055 *
0056 *
0057 *
0058 *
0059 *
0060 *
0061 *
0062 *
0063 *
0064 *
0065 *
0066 *
0067 *
0068 *
0069 *
0070 *
0071 *
0072 *
0073 *
0074 *
0075 *
0076 *
0077 *
0078 *
0079 *
0080 *
0081 *
0082 *
0083 *
0084 *
0085 *
0086 *
0087 *
0088 *
0089 *
0090 *
0091 *
0092 *
0093 *
0094 *
0095 *
0096 *
0097 *
0098 *
0099 *
0100 *
0101 *
0102 *
0103 *
0104 *
0105 *
0106 *
0107 *
0108 *
0109 *
0110 *
0111 *
0112 *
0113 *
0114 *
0115 *
0116 *
0117 *
0118 *
0119 *
0120 *
0121 *
0122 *
0123 *
0124 *
0125 *
0126 *
0127 *
0128 *
0129 *
0130 *
0131 *
0132 *
0133 *
0134 *
0135 *
0136 *
0137 *
0138 *
0139 *
0140 *
0141 *
0142 *
0143 *
0144 *
0145 *
0146 *
0147 *
0148 *
0149 *
0150 *
0151 *
0152 *
0153 *
0154 *
0155 *
0156 *
0157 *
0158 *
0159 *
0160 *
0161 *
0162 *
0163 *
0164 *
0165 *
0166 *
0167 *
0168 *
0169 *
0170 *
0171 *
0172 *
0173 *
0174 *
0175 *
0176 *
0177 *
0178 *
0179 *
0180 *
0181 *
0182 *
0183 *
0184 *
0185 *
0186 *
0187 *
0188 *
0189 *
0190 *
0191 *
0192 *
0193 *
0194 *
0195 *
0196 *
0197 *
0198 *
0199 *
0200 *
0201 *
0202 *
0203 *
0204 *
0205 *
0206 *
0207 *
0208 *
0209 *
0210 *
0211 *
0212 *
0213 *
0214 *
0215 *
0216 *
0217 *
0218 *
0219 *
0220 *
0221 *
0222 *
0223 *
0224 *
0225 *
0226 *
0227 *
0228 *
0229 *
0230 *
0231 *
0232 *
0233 *
0234 *

```

I <890524.2053>
I >890524.1550<

LSHDAQ T=00004 IS ON CR00026 USING 00002 BLKS R=0000

```

0001 ftn7x,1
0002 *
0003 $ema /xy/
0004 *
0005 program smaq,5
0006
0007 common /xy/ x(2001), y(2001)
0008
0009 common /cadpr/ ip(8), it(7)
0010 common /comdo/ icmd
0011 common /ulogs/ lu(10)
0012 common /vlogs/ logic(10)
0013 common /data1/ kbuf(4200)
0014 common /para1/ iclas, ifcm, npa, idel
0015 common /para2/ nm_gss
0016
0017 integer*2 iabuf(1024)
0018 integer*2 idat(200)
0019
0020 logical logic, cond1, cond2
0021
0022 equivalence (idat(1), kbuf(4001))
0023
0024 equivalence (idat(1), ifc), (idat(2), no1), (idat(3), ipv1),
0025 (idat(4), ipv2), (idat(5), nchan), (idat(6), ir11),
0026 (idat(7), ir12), (idat(8), nspec), (idat(9), ipnd),
0027 (idat(10), np), (idat(11), nmrn), (idat(12), nmri),
0028 (idat(13), no2), (idat(14), no3), (idat(15), b1),
0029 (idat(17), b2), (idat(19), no4), (idat(20), no5)
0030
0031 equivalence (lu(1), lu_plt), (lu(2), lu_adc), (lu(3), lu_dmm),
0032 (lu(4), lu_fao), (lu(5), lu_gsm), (lu(6), lu_mpg),
0033 (lu(7), lu_gon), (lu(8), lu_gsv), (lu(9), lu_gss)
0034
0035
0036 equivalence (usa_fite, logic(1)), (usa_dmm, logic(2)),
0037 (usa_fmo, logic(3)), (usa_gss, logic(4)),
0038 (usa_mpg, logic(5)), (usa_gon, logic(6))
0039
0040
0041
0042 if(ipnd.ne.0) then
0043 write(1,*) 'Dados pendentes na'
0044 write(1,*) 'memoria. Salve-os'
0045 write(1,*) 'ou ignore-os! (16)'
0046 goto 5
0047 end if
0048
0049 if(ipor(npa).ne.ipv1) then
0050 write(1,*) 'Posicionando Motor...'
0051 np = iqp(ipv1) - npa
0052 idir = 1
0053 if(np.lt.0) then
0054 idir = -1
0055 np = -np
0056 call steps(npa,np,idir,nnp,iu_mpg,ier)
0057 write(1,*) 'Ok'
0058
0059
0060
0061
0062
0063
0064
0065
0066
0067
0068
0069
0070
0071
0072
0073
0074
0075
0076
0077
0078
0079
0080
0081
0082
0083
0084
0085
0086
0087
0088
0089
0090
0091
0092
0093
0094
0095
0096
0097
0098
0099
0100
0101
0102
0103
0104
0105
0106
0107
0108
0109
0110
0111
0112
0113
0114
0115
0116
0117
0118

end if
idir = 1
-----
| Retorna sentido CU
-----
Programa o ADC com
| a freq. e o canal.
-----
write(iu_adc, '(H",ri,il,"L") ifcm, nchan
-----
call cnfg(iu_adc,1,37000b)
call exec(22, 1)
-----
lu_bin = lu_adc+100b
-----
call field (b1, usa_gss, lu_gss, nm_gss)
| Obtem valor do campo
| no primeiro ponto
-----
npaq = 1
do while (npaq.le.np)
naq = nmrn
cond1 = ipor(npa).ge.ir11
cond2 = ipor(npa).le.ir12
if(cond1.and.cond2) naq = nmri
-----
call exec(17,lu_bin,iabuf,naq,0,0,iclas)
| Inicia leitura Class
...
call exec(21,iclas+4000b,iabuf,0)
| Aguarda fim de Class
| Se esta' no ultimo
| ponto, entao le o va
| lor do campo
| Da' um passo no motor
| Ajusta npa
| Recupera dados do buf
| mas nao libera classe
| Calcula a
| leituras
| Calc. media aritmetica
| Atualiza ponto
| Se preciso,
| chama rotina
| de atraso
-----
5 call SegRt
end
-----
subroutine isig2 (ix, np, rmed, dp, vr)
dimension ix(1)
-----
soma = 0.
do j = 1, np
soma = soma + ix(j)
end do
rmed = soma/np
-----
soma = 0.
do j = 1, np
soma = soma + (ix(j)-rmed)*(ix(j)-rmed)
end do
dp = sqrt(soma/np)
-----
| Media aritmetica
-----
| Desvio padrao
-----

```

```

0119 * -----
0120 * vr = dp*dp | Variância
0121 * return
0122 * -----
0123 * end
0124 * -----
0125 * subroutine atraso (idel)
0126 * -----
0127 * | Dezenas de miliseg
0128 * | Time schedule
0129 * |
0130 * end
0131 * -----
0132 * subroutine field (b, usa_gss, lu_gss, nm_gss)
0133 * -----
0134 * logical usa_gss, c1, c2, c3
0135 * -----
0136 * c1 = .not.usa_gss | Nao usa gaussimetro
0137 * c2 = nm_gss.eq.2hVA | Gaussimetro Varian
0138 * c3 = nm_gss.eq.2hME | Gaussimetro Metrolab
0139 * -----
0140 * if(c1) then
0141 * | write(1,*) '0 uso do gaussimetro nao foi previsto!'
0142 * | write(1,*) 'Entre com o valor do campo: _'
0143 * | read(1,*) b
0144 * | return
0145 * | else if(c2) then | Varian
0146 * | read(lu_gss) b
0147 * | return
0148 * | else if(c3) then | Metrolab
0149 * | read(lu_gss) b
0150 * | return
0151 * | end if
0152 * | end
0153 * -----
0154 * ends$

```

Apêndice 4

Características do computador HP 1000

O nome "Computador HP 1000" é a denominação genérica de uma família de mini-computadores de tempo real produzidos pela Hewlett Packard Company, cuja configuração final pode ser escolhida pelo usuário de acordo com as suas necessidades e/ou disponibilidades orçamentárias. Dadas as suas características de "tempo real", estas máquinas encontram suas principais aplicações nos sistemas de aquisição de dados e controle de processos em laboratórios de pesquisa e unidades industriais em geral. Neste trabalho, usamos um computador HP 1000 - Série F em uma configuração cujas características principais estão resumidas a seguir.

CPU do sistema:

Modelo:	HP 2117F
Memória:	1 Megabytes
Palavra:	16 bits
DMA:	2 canais
Velocidade:	1 Mips (instruções básicas)
Placas de E/S:	14, máximo

Coprocessadores instalados:

FFP:	Fast Fortran Processor
FPP:	Floating Point Processr
VIS:	Vector Instruction Set

Periféricos principais:

Disco:	132 Megabytes
Fita 1:	1600 bpi, compatível com IBM

Fita 2: Streammer, 60 Mb por cartucho
MUX: 8 linhas RS 232C
HP-IB: 14 instrumentos, norma IEEE 488
Impressora: 300 lpm, gráfica
Terminal 1: Gráfico, a cores - 512H X 390V
Terminal 2: Gráfico, a cores - 600H X 400V
Terminal 3: Alfanumérico - caracteres especiais
Terminal 4: Alfanumérico
Plotter: Tamanho A2 - 4096H X 4096V
Mesa
Digitadora: 50cm X 50cm - 4000H X 4000V

Sistema Operacional:

Nome: RTE 6 - VM
Tipo: Tempo Real, Multi-tarefa, Multi-usuário
Software
instalado: FORTRAN 77, Macro, Assembler, Editores,
Montadores, Bibliotecas e Utilitários de
uso geral.
Capacidade de
endereçamento: Programas: 64 kb - Dados: 128 Mb
No. de periféricos: 256 (máximo)

O multiprogramador conectado ao HP 1000 tem as seguintes caracte-
rísticas:

Modelo: STD 85-MP
Capacidade: 15 cartões funcionais
Interface: IEEE-488
Processador: 8085
Cartões: E/S digitais
DAC - 12 bits
ADC - 12 bits
Relés

Apêndice 5

Outros Programas do Sistema

```

1 ftn7x,1
2 program rmu04

```

```

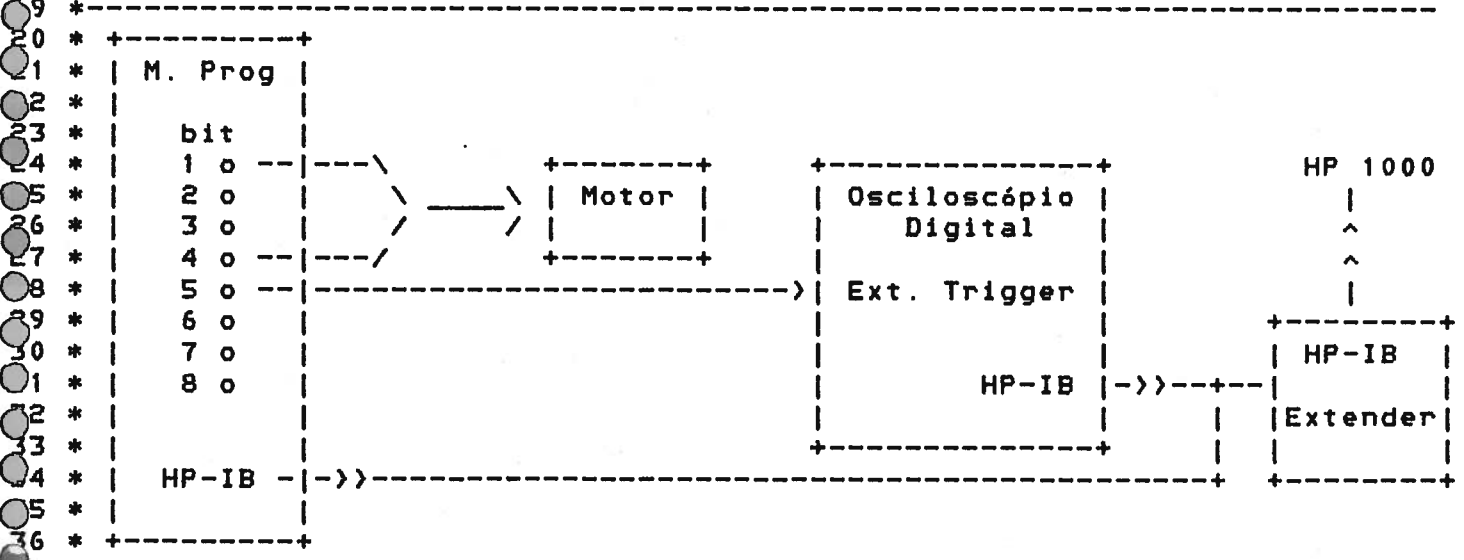
3 * -----
4 * Este programa foi escrito para a medicao da variacao do campo
5 * magnetico ao longo de um passo do motor. A ideia basica usada
6 * neste caso foi colocar uma bobina no entreferro do eletroima
7 * e amostrar a FEM induzida que aparece quando o campo varia.
8 *

```

```

9 * A integracao desta FEM nos da' a variacao do fluxo e, portanto,
10 * a variacao do campo ao longo do passo. Como o sinal da bobina
11 * e' de poucos milivolts, a medida e' repetida varias vezes e
12 * cada uma e' somada no processo de average disponivel no osci-
13 * loscopio TEK 7854. A sincronizacao foi obtida usando-se o bit
14 * 5 da saida paralela do multiprogramador para disparar o trigger
15 * externo do 7854. Depois de armazenadas, as medidas sao transmi-
16 * tidas para o computador com o programa SENDT. A escolha do mo-
17 * do "average" deve ser feita no painel do osciloscopio.
18 * Bob ! <900427.1827>

```



```

37 * -----
38 *
39 *
40 *
41 * integer*2 passo(0:3)
42 *
43 * -----
44 * data passo /05b, 11b, 12b, 06b/ ! Config. das fases
45 *
46 * isconf = 60b ! Configuracao do
47 * write(44, '( "0", @2, "T" )' ) isconf ! multiprogramador
48 *
49 * write(1,*) 'Quantos passos?' ! Le o numero de passos
50 * read (1,*) np ! e coloca
51 * ist = 0 ! o motor
52 * isa = passo(iand(ist,3)) ! em uma
53 * write(44, '( "L", @5, "T" )' ) isa ! posicao inicial
54 * pause ! Pausa
55 *
56 * -----
57 * do k = 1,np ! Inicio do loop
58 * ist = ist+1 ! Incr. cont. de passo
59 * call pulsa_bit(isa,5,44) ! Simula pulso no bit 5
60 * call exec(12,0,1,0,-25) ! Espera 250 ms
61 * isa = passo(iand(ist,3)) ! Xmite configuracao
62 * write(44, '( "L", @5, "T" )' ) isa ! para o motor

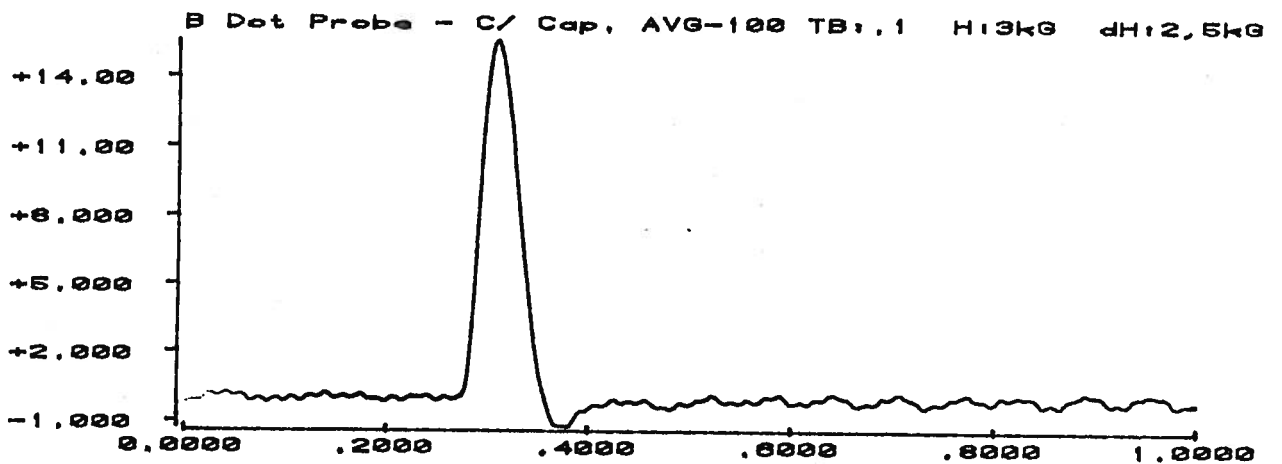
```



```

61      call exec(12,0,1,0,-100)           ! Espera 1000 ms
62      end do                             ! Fim do loop
63      pause                              ! Pausa
64 * -----
65      do k = np,1,-1                     ! Inicio do loop
66          ist = ist - 1                  ! Decr. cont. de passo
67          isa = passo(iand(ist,3))      ! Xmite configuracao
68          write(44,('( "L",@5,"T")')) isa ! para o motor
69      end do                             ! Fim do loop
70 * -----
71      isa = 0                            ! Limpa a configuracao
72      write(44,('( "L",@5,"T")')) isa    ! Xmite para deixar o
73      stop                               ! motor livre e encerra
74 * -----
75      end
76 * =====
77      subroutine pulsa_bit(ivar,ibit,lu)
78 * -----
79 * Esta rotina cria um pulso no bit <ibit> da saida paralela do mul-
80 * tiprogramador. A largura deste pulso nao e' controlada e depende
81 * apenas do tempo de execucao da rotina. O bit pulsado por esta ro-
82 * tina pode ser usado, por exemplo, como trigger para instrumentos
83 * ligados a uma experiencia. O bit pulsado retorna a sua condicao
84 * inicial, ou seja, se ele for 1 e' pulsado em zero e se for zero
85 * e' pulsado em um.
86 * -----
87      if(btest(ivar,ibit)) then          ! Se o bit vale 1 entao
88          ivar = ibclr(ivar,ibit)        ! faz o bit valer 0
89          write(lu,('( "L",@5,"T")')) ivar ! e xmite para a porta.
90          ivar = ibset(ivar,ibit)        ! Volta o bit para 1
91          write(lu,('( "L",@5,"T")')) ivar ! e xmite para a porta.
92          return                          ! Retorna
93      else                                 ! Caso contrario,
94          ivar = ibset(ivar,ibit)        ! faz o bit valer 1
95          write(lu,('( "L",@5,"T")')) ivar ! e xmite para a porta.
96          ivar = ibclr(ivar,ibit)        ! Volta o bit para 0
97          write(lu,('( "L",@5,"T")')) ivar ! e xmite para a porta
98          return                          ! Retorna
99      end if                              ! Fim
100 * -----
101      end

```



20 * Dados obtidos com este programa

